



EFEKTYWNE DZIAŁANIE PRZEZ MAPOWANIE
KARDIOLOGIA I ONKOLOGIA



Mapa potrzeb zdrowotnych w zakresie onkologii dla Polski

PROJEKT WSPÓŁFINANSOWANY Z EUROPEJSKIEGO FUNDUSZU SPOŁECZNEGO W RAMACH PROGRAMU OPERACYJNEGO KAPITAŁ LUDZKI



Człowiek – najlepsza inwestycja

www.mapypotrzebzdrowotnych.mz.gov.pl



Spis treści

Informacje wstępne	3
I Aspekty demograficzne i epidemiologiczne	3
Struktura ludności i demografia	3
Zachorowania na nowotwory złośliwe	3
Zgony z powodu chorób onkologicznych	5
II Analizy stanu i wykorzystania zasobów	5
Lecznictwo szpitalne	5
1 Szpitale udzielające świadczeń onkologicznych	5
2 Analiza świadczeniodawców według leczonych grup nowotworów	6
3 Analiza udzielonych świadczeń szpitalnych	7
4 Analiza świadczeń chemioterapeutycznych	8
5 Analiza świadczeń radioterapeutycznych	8
Obszar Ambulatoryjnej Opieki Specjalistycznej	9
Kadry medyczne	9
III Prognozy potrzeb zdrowotnych	12
Prognoza demograficzna	12
1 Prognozowana struktura ludności i demografii	12
Prognoza liczby chorych	12
1 Prognoza zachorowalności	12
2 Prognoza 5-letniej chorobowości	13
Prognoza świadczeń	13
1 Zakres szpitalny	13
2 Prognoza świadczeń Pozytonowej Tomografii Emisyjnej (PET)	14
3 Zakres chemioterapia	14
4 Zakres radioterapia	14
Załączniki	17



Informacje wstępne

1. W niniejszym dokumencie uwzględniono rozpoznania onkologiczne z zakresu nowotworów złośliwych za wyjątkiem nieczerniakowych nowotworów skóry oraz nowotworów układu chłonnego i krwiotwórczego (kody: C00-C43, C45-C80, D05 wg Międzynarodowej Statystycznej Klasyfikacji Chorób i Problemów Zdrowotnych Rewizja dziesiąta)
2. W celu określenia liczby nowo zdiagnozowanych pacjentów onkologicznych w latach 2010-2012 wykorzystano dane Krajowego Rejestru Nowotworów, uzupełnione o informacje sprawozdawcze Narodowego Funduszu Zdrowia. Działanie to nie polegało na bezkrytycznym połączeniu ww. zbiorów z bazy KRN wyłączeni zostali pacjenci, którzy mimo wpisu pierwszorazowego zostali, na podstawie udzielonych im świadczeń, zakwalifikowani jako pacjenci rozpoznani w latach wcześniejszych (tzw. follow-up). Natomiast z bazy NFZ wyłączeni zostali pacjenci, którzy byli sprawozdani z innym nowotworem niż w bazie KRN (nadrzędność bazy KRN nad bazą NFZ). Z tej grupy również zostali wyłączeni pacjenci, których ścieżka leczenia nie była adekwatna dla leczenia nowo zdiagnozowanego pacjenta z danym typem nowotworu. Informacje o ścieżce leczenia (obejmującej okres 365 dni od pierwszej daty pojawienia się w systemie) uwzględniały informacje o sprawozdanych procedurach wg ICD-9, sprawozdanych świadczeniach chemioterapii i radioterapii oraz informacje o zgonie pacjenta. Informacje uwzględnione w ścieżce leczenia posłużyły do oszacowania stadium zaawansowania nowotworu dla pacjentów, dla których nie było ono określone w bazie KRN.
3. Tak przygotowana informacja o pacjentach posłużyła do przekwalifikowania części świadczeń szpitalnych sprawozdanych z rozpoznaniem D37-D48 (związanych z leczeniem zachowawczym lub zabiegowym) na odpowiednie grupy rozpoznań onkologicznych.
4. Podstawowa Opieka Zdrowotna ma charakter lokalny, a celem Mapy Potrzeb Zdrowotnych w zakresie onkologii dla Polski jest analiza zjawisk ponadregionalnych. W związku z tym w niniejszym dokumencie nie przeprowadzono dokładnej analizy Podstawowej Opieki Zdrowotnej.

Część I

Aspekty demograficzne i epidemiologiczne

Struktura ludności i demografia

W 2014 roku Polskę zamieszkiwało 38,5 mln osób. Najwięcej w województwie mazowieckim (13,9% ludności kraju) oraz śląskim (11,9%). Najmniej w województwie opolskim (2,6%) oraz lubuskim (2,7%). Największą gęstość zaludnienia odnotowano w województwie śląskim (372 osób/1 km²).

Populacja Polski była zróżnicowana względem wieku. W 2014 roku osób najmłodszych (do 19 r. ż) było 7,8 mln. Stanowili oni największy odsetek ogółu ludności w województwach podkarpackim, śląskim, wielkopolskim oraz warmińsko-mazurskim. Populacja ludności w wieku średnim (między 20 a 64 lata) wyniosła 24,8 mln osób. Osób w wieku powyżej 65 lat było 5,8 mln. Seniorzy stanowili największy odsetek ludności w województwach: lubuskim, świętokrzyskim, podlaskim oraz mazowieckim.

Zachorowania na nowotwory złośliwe

1. W 2012 roku w Polsce zdiagnozowano 164,1 tys. nowych przypadków nowotworów złośliwych, z czego najwięcej w województwie mazowieckim (23,6 tys.), śląskim (20,7 tys.), a najmniej w województwach opolskim (4 tys.) i lubuskim (4,4 tys.). Można zatem stwierdzić, że w województwie mazowieckim odnotowano o 490% pacjentów więcej niż w województwie opolskim.



2. Aby wyeliminować wpływ liczby ludności wyliczono liczbę przypadków nowotworów złośliwych w przeliczeniu na 100 tys. mieszkańców. W tym współczynniku dominowały woj. łódzkie (466), pomorskie (463), zachodniopomorskie (456) oraz śląskie (450). Z kolei najmniejsze współczynniki zapadalności na 100 tys. mieszkańców obserwowane były w woj. podkarpackim (357), lubelskim (372), opolskim (392) i małopolskim (393).
3. Standaryzowany względem wieku współczynnik zapadalności (liczba zachorowań na 100 tys. ludności) był najwyższy w województwie pomorskim, a najniższy w woj. lubelskim, jeśli chodzi o nowotwory złośliwe ogółem. Natomiast we wszystkich z badanych grup nowotworów pod względem powyższego współczynnika dominowały województwa łódzkie, śląskie i świętokrzyskie. Dodatkowo w przypadku nowotworów złośliwych piersi, współczynnik ten osiągnął drugą najwyższą wartość w woj. dolnośląskim. Z kolei najniższe wartości standaryzowanego współczynnika zapadalności w większości analizowanych grup nowotworów odnotowano w województwach warmińsko-mazurskim oraz lubuskim.
4. Najczęściej rozpoznawanymi nowotworami były nowotwory złośliwe płuc (25,5 tys. przypadków), nowotwory piersi (19,5 tys.), gruczołu krokowego (14,6 tys.), jelita grubego (13,9 tys.) i nowotwory pęcherza moczowego (8,2 tys.). Łącznie stanowiły one ok. 50% nowotworów zdiagnozowanych w 2012 roku.
5. Nowotwory najczęściej wykrywane były w II lub IV stadium zaawansowania choroby, z tym że rozkład był mocno zróżnicowany w zależności od nowotworu. W 2012 roku do najwcześniej diagnozowanych nowotworów (I i II stadium łącznie) należały nowotwory tarczycy, trzonu macicy czy wargi, natomiast w gronie najpóźniej rozpoznawanych (IV stadium) nowotworów złośliwych znalazły się nowotwory trzustki, wątroby oraz przełyku.
6. Nowotwory złośliwe ogółem najwcześniej rozpoznawane (I i II stadium) były w woj. podkarpackim oraz małopolskim (ponad 50% przypadków w I lub II stadium). Najpóźniej natomiast wykrywano je w woj. dolnośląskim i świętokrzyskim (40% przypadków w IV stadium).
7. Nowotwory złośliwe płuc są bardzo późno rozpoznawane we wszystkich województwach. Najwyższy udział dwóch pierwszych stadiów występował w woj. warmińsko-mazurskim. Natomiast największy udział IV stadium zaobserwowano w woj. dolnośląskim (62%).
8. Nowotwór złośliwy piersi był diagnozowany we wcześniejszych stadiach rozwoju choroby. Udział I stadium był największy w woj. dolnośląskim, a sumarycznie I i II w woj. opolskim. Najpóźniej nowotwór piersi rozpoznawano w woj. podkarpackim (18% udziału stadium IV).
9. Województwo opolskie dominowało we wczesnych rozpoznaniach (I i II stadium) nowotworów odbytnicy i odbytu. Najpóźniej rozpoznawany był w woj. świętokrzyskim (44% diagnoz nowotworu w IV stadium).
10. W 2012 r. nowotwór złośliwy gruczołu krokowego najczęściej rozpoznawany był w II stadium. Największy udział wczesnych rozpoznań widoczny był w woj. pomorskim (77% nowotworów w stadium I lub II) i opolskim (76%). Z kolei najpóźniej nowotwór ten diagnozowano w woj. lubuskim (34% w IV stadium) oraz świętokrzyskim (33%).
11. Nowotwór złośliwy pęcherza moczowego charakteryzował się dużym zróżnicowaniem w strukturze rozpoznań względem stadium pośród województw. W województwie dolnośląskim bardzo często rozpoznawany był w IV stadium (59%), ale jednocześnie występowała tam największa rozpoznawalność w I stadium (15%). Największy udział I lub II stadium występował w woj. opolskim.



Zgony z powodu chorób onkologicznych

1. Nowotwory były drugą co do częstości przyczyną zgonów mieszkańców Polski. W latach 2011-2013 były one odpowiedzialne za 24,5% ogółu zgonów mieszkańców kraju (26% w przypadku mężczyzn, 22,8% w przypadku kobiet). Współczynnik rzeczywisty zgonów z powodu nowotworów mieszkańców Polski wynosił 243,2 (na 100 tys. mieszkańców), przy czym najwyższą wartość odnotowano w woj. kujawsko-pomorskim, a najniższą w woj. podkarpackim.
2. W Polsce nowotwory płuc były najczęstszą przyczyną zgonów wśród nowotworów złośliwych (24%). Współczynnik rzeczywisty dla Polski równy był 58,5. Wartość wskaźnika SMR dla nowotworu płuc była najwyższa w województwie warmińsko-mazurskim (1,27), a najniższa w podkarpackim (0,7).
3. Rak piersi był odpowiedzialny za 13,5% zgonów kobiet w Polsce spowodowanych nowotworem złośliwym. Najwyższą wartość SMR odnotowano w woj. śląskim, a najniższą w woj. lubelskim.
4. Nowotwór dolnego odcinka układu pokarmowego odpowiadał za 11,8% zgonów spowodowanych nowotworami złośliwymi w latach 2011-2013. Współczynnik rzeczywisty w Polsce wynosił 28,7, a najwyższą wartość wskaźnika SMR zaobserwowano w woj. opolskim. Z kolei najniższa wartość występowała w woj. podkarpackim.
5. Nowotwór gruczołu krokowego odpowiadał za 8% zgonów spowodowanych nowotworami złośliwymi wśród mężczyzn. Najwyższe wartości współczynnika SMR występowały w województwach: kujawsko-pomorskim, lubuskim i podlaskim. Z kolei najniższe wartości współczynnika dla nowotworu prostaty występowały województwie łódzkim i mazowieckim.
6. Nowotwory pęcherza stanowiły w latach 2011-2013 przyczynę 5% zgonów z powodu nowotworów złośliwych mieszkańców Polski. W przypadku nowotworów o tym umiejscowieniu najwyższymi wartościami współczynnika SMR charakteryzowały się województwa warmińsko-mazurskie i lubuskie, a najniższymi lubelskie i podkarpackie.

Część II

Analizy stanu i wykorzystania zasobów

Lecznictwo szpitalne

1 Szpitale udzielające świadczeń onkologicznych

1. W 2012 roku w Polsce 806 szpitali udzielało świadczeń onkologicznych. Największą liczbą świadczeniodawców charakteryzowały się duże miasta na prawach powiatu, przede wszystkim Warszawa (42), Katowice (23), Łódź (22) oraz Kraków (20). Leczenie onkologiczne w Polsce jest dość scentralizowane – 98 świadczeniodawców udzieliło świadczeń onkologicznych dla 80% pacjentów. Wśród tych jednostek najwięcej było zlokalizowanych w województwie mazowieckim (17 świadczeniodawców) oraz śląskim (12), z kolei najmniej w województwach opolskim (1 świadczeniodawca), podkarpackim (2), lubuskim (2) oraz świętokrzyskim (2).
2. Najwięcej pacjentów w Polsce przyjęło Centrum Onkologii - Instytut im. Marii Skłodowskiej-Curie w Warszawie (11,3 tys.; 4,8% pacjentów leczonych w Polsce). Kolejną placówką, Wojewódzki Szpital Specjalistyczny im. M. Kopernika w Łodzi przyjął 6,7 tys. pacjentów (2,9% pacjentów leczonych w kraju), a w Centrum Onkologii im. Prof. Franciszka Łukaszczyka w Bydgoszczy leczono 6,4 tys. pacjentów (2,7% pacjentów leczonych w Polsce).
3. W większości województw nie występowały znaczące migracje pacjentów. Procent pacjentów spoza województwa leczonych w województwie wahał się w większości przypadków w granicach 5-10%. Wyższy odsetek pacjentów spoza województwa odnotowano w województwach mazowieckim (14%),



kujawsko-pomorskim (13%) i śląskim (12%). Również procent pacjentów wyjeżdżających z województwa wahał się w większości przypadków w granicach około 5-15%. Wyższy odsetek odnotowano w województwach lubuskim (32%), opolskim (20%) i warmińsko-mazurskim (17%).

4. Spośród 19 szpitali, które leczyły najwięcej pacjentów onkologicznych w Polsce, świadczeniodawcą udzielającym najwięcej świadczeń pacjentom z innych województw było Centrum Onkologii - Instytut im. Marii Skłodowskiej-Curie Oddział w Gliwicach (2,2 tys. pacjentów; 39,3% udział wśród wszystkich leczonych pacjentów).
5. Średnio na 1 pacjenta w skali całego kraju przypadało 2,34 hospitalizacji. Najwyższe wartości tej statystyki zaobserwowano dla województwa łódzkiego (2,73), dolnośląskiego (2,58) oraz zachodniopomorskiego (2,45). Z kolei najniższe wartości liczby hospitalizacji przypadającej na pacjenta odnotowano w województwach kujawsko-pomorskim (2,04), świętokrzyskim (1,99) i pomorskim (1,85).
6. Dalsza analiza została przeprowadzona dla 19 szpitali, z których każdy leczył ponad 1% pacjentów onkologicznych w skali kraju. Pacjenci onkologiczni z tych szpitali byli najczęściej hospitalizowani na oddziałach chirurgii onkologicznej (20,1 tys.), radioterapii (19,9 tys.), onkologicznym (12,8 tys.) oraz onkologii klinicznej/chemioterapii (11,3 tys.). Ponadto w 13 szpitalach pacjenci onkologiczni byli hospitalizowani na oddziałach ginekologii onkologicznej, a w 10 na oddziałach urologicznych.
7. W szpitalach przyjmujących ponad 1% pacjentów leczonych w Polsce najwięcej osób było hospitalizowanych w zakresach chirurgia onkologiczna - hospitalizacja (24,5 tys.), chemioterapia - hospitalizacja z zakresem skojarzonym (20,4 tys.) oraz onkologia kliniczna - hospitalizacja (16 tys.). Znacząca liczba pacjentów była hospitalizowana także w zakresie teleradioterapii (12,2 tys.).
8. Ponad 70% pacjentów onkologicznych w Polsce zostało przyjętych w trybie planowym na podstawie skierowania (największy udział 100% planowych pacjentów było w Dolnośląskim Centrum Onkologii). Co czwarty pacjent był przyjęty w trybie nagłym, ale nie poprzez przekazanie przez zespół ratownictwa medycznego. We wszystkich z 19 szpitali, leczących najwięcej pacjentów onkologicznych dominowały przyjęcia w trybie planowym na podstawie skierowania.
9. W 2012 r. w szpitalach leczących ponad 1% pacjentów w skali kraju największą liczbę pacjentów leczonych w trybie szpitalnym stanowili pacjenci z nowotworem złośliwym piersi (16,4 tys.) oraz nowotworami złośliwymi żeńskich narządów płciowych (11,1 tys.). Najmniej odnotowano przypadków nowotworów złośliwych jądra (786 pacjentów). W Wielkopolskim Centrum Onkologii im. Marii Skłodowskiej-Curie w Poznaniu, Szpitalu Centrum Onkologii - Instytucie Oddziału w Krakowie, Dolnośląskim Centrum Onkologii we Wrocławiu oraz Centrum Onkologii Ziemi Lubelskiej im. Św. Jana z Dukli SPZOZ w Lublinie ponad 1/4 pacjentów z nowotworami stanowili pacjenci z nowotworami piersi. Podobny udział (31%) zaobserwowano w Centrum Onkologii-Instytucie im. Marii Skłodowskiej-Curie Oddziale w Gliwicach w zakresie hospitalizacji z powodu nowotworów tarczycy.

2 Analiza świadczeniodawców według leczonych grup nowotworów

1. Wyszczególniono 8 kategorii nowotworów złośliwych: centralnego układu nerwowego, głowy i szyi, jądra, nerki, górnego odcinka układu pokarmowego, tarczycy oraz nowotwory ginekologiczne i czerniak. Ze względu na to, że nowotwory te leczono w niewielkiej liczbie szpitali, analiza świadczeniodawców leczących najwięcej pacjentów z każdej z grup została przeprowadzona na poziomie kraju, a nie województwa, jak było to zrobione w przypadku nowotworów złośliwych: płuca, piersi, dolnego odcinka układu pokarmowego, gruczołu krokowego oraz pęcherza moczowego.
2. W latach 2010-2012 w Polsce leczono 7,7 tys. pacjentów z nowotworem złośliwym jądra, z czego 8 świadczeniodawców hospitalizowało więcej niż 2% pacjentów w skali kraju. Łącznie tych 8 świadczeniodawców hospitalizowało około 22% wszystkich pacjentów z nowotworem złośliwym jądra. Zdecydowanie najwięcej pacjentów z tym nowotworem (ponad 400) leczono w Centrum Onkologii - Instytucie im. Marii Skłodowskiej-Curie w Warszawie.



3. W latach 2010-2012 w Polsce leczono około 21 tys. pacjentów z nowotworem złośliwym tarczycy, z czego 7 świadczeniodawców hospitalizowało więcej niż 2% pacjentów w skali kraju. Łącznie tych 7 świadczeniodawców hospitalizowało około 72% wszystkich pacjentów z nowotworem złośliwym tarczycy. Świadczy to o bardzo mocnym scentralizowaniu leczenia tego nowotworu. Zdecydowanie najwięcej pacjentów z tym nowotworem (ponad 5 tys.) leczono w Centrum Onkologii - Instytucie im. Marii Skłodowskiej-Curie Oddziale w Gliwicach.
4. W latach 2010-2012 w Polsce leczono około 35 tys. pacjentów z nowotworem złośliwym centralnego układu nerwowego, z czego 5 świadczeniodawców hospitalizowało więcej niż 2% pacjentów w skali kraju. Łącznie tych 5 świadczeniodawców hospitalizowało około 12% wszystkich pacjentów z nowotworem złośliwym centralnego układu nerwowego. Zdecydowanie najwięcej pacjentów z tym nowotworem (prawie 1 tys.) leczono w 10 Wojskowym Szpitalu Klinicznym z Polikliniką w Bydgoszczy.
5. W latach 2010-2012 w Polsce leczono 13,5 tys. pacjentów z czerniakiem, z czego 12 świadczeniodawców hospitalizowało więcej niż 2% pacjentów w skali kraju. Łącznie tych 12 świadczeniodawców hospitalizowało około 45% wszystkich pacjentów z czerniakiem. Zdecydowanie najwięcej pacjentów z tym nowotworem (ponad 1,2 tys.) leczono w Centrum Onkologii - Instytucie im. Marii Skłodowskiej-Curie w Warszawie.
6. W latach 2010-2012 w Polsce leczono 31 tys. pacjentów z nowotworem złośliwym nerki, z czego 5 świadczeniodawców hospitalizowało więcej niż 2% pacjentów w skali kraju. Łącznie tych 5 świadczeniodawców hospitalizowało około 12% wszystkich pacjentów z nowotworem złośliwym nerki. Świadczy to o rozproszeniu leczenia tego nowotworu. Najwięcej pacjentów z tym nowotworem (prawie 800) leczono w Centrum Onkologii im. prof. Łukaszczyka w Bydgoszczy.
7. W latach 2010-2012 w Polsce leczono ponad 89 tys. pacjentów z nowotworami złośliwymi górnego odcinka pokarmowego, z czego 7 świadczeniodawców hospitalizowało więcej niż 2% pacjentów w skali kraju. Łącznie tych 7 świadczeniodawców hospitalizowało około 13% wszystkich pacjentów z nowotworami złośliwymi górnego odcinka pokarmowego. Świadczy to o rozproszeniu leczenia tego nowotworu. Najwięcej pacjentów z tym nowotworem (ponad 1,2 tys.) leczono w Samodzielnym Publicznym Centralnym Szpitalu Klinicznym w Warszawie.
8. W latach 2010-2012 w Polsce leczono ponad 43 tys. pacjentów z nowotworami złośliwymi głowy i szyi, z czego 10 świadczeniodawców hospitalizowało więcej niż 2% pacjentów w skali kraju. Łącznie tych 10 świadczeniodawców hospitalizowało około 27% wszystkich pacjentów z nowotworami złośliwymi głowy i szyi. Zdecydowanie najwięcej pacjentów z tym nowotworem (prawie 2,4 tys.) leczono w Centrum Onkologii - Instytucie im. Marii Skłodowskiej-Curie w Warszawie.
9. W latach 2010-2012 w Polsce leczono 76 tys. pacjentów z nowotworami złośliwymi ginekologicznymi, z czego 16 świadczeniodawców hospitalizowało więcej niż 2% pacjentów w skali kraju. Łącznie tych 16 świadczeniodawców hospitalizowało około 41% wszystkich pacjentów z nowotworami złośliwymi ginekologicznymi. Zdecydowanie najwięcej pacjentów z tym nowotworem (ponad 4 tys.) leczono w Centrum Onkologii - Instytucie im. Marii Skłodowskiej-Curie w Warszawie.

3 Analiza udzielonych świadczeń szpitalnych

1. W 2012 roku 19 świadczeniodawców sprawozdało prawie 36,5 tys. JGP zabiegowych oraz ponad 13 tys. JGP zachowawczych. Sześciu z tych świadczeniodawców sprawozdało mniej niż 1 500 hospitalizacji onkologicznych (z wyłączeniem hospitalizacji do chemio- i radioterapii), natomiast ośmiu mniej niż 3 500, ale więcej niż 1 500. Jedynie u dwóch świadczeniodawców stosunek sprawozdawanych świadczeń zachowawczych do zabiegowych był większy niż 1:1, a u sześciu ten stosunek wynosił ok. 1:2 (wśród pozostałych świadczeniodawców na każde sprawozdanie świadczenie zachowawcze przypadało powyżej 2,7 świadczenia zabiegowego). Przy założeniu, że struktura pacjentów względem typu nowotworu i stadium zaawansowania jest taka sama u tych świadczeniodawców, dwunastu z nich sprawozdawałoby świadczenia zabiegowe i zachowawcze w stosunku wyższym niż 2:1.



2. Liczba JGP zabiegowych, w ramach których sprawozdano procedury uznane w sprawozdawczości jako radykalne (na podstawie ICD-9) wśród tych świadczeniodawców wyniosła w 2012 roku około 23,5 tys. Spośród tych świadczeniodawców tylko trzech sprawozdało mniej niż 730 zabiegów radykalnych w 2012 roku. Oznacza to, że pozostali świadczeniodawcy wykonywali średnio więcej niż 2 zabiegi radykalne dziennie. Wśród 19 największych świadczeniodawców stosunek JGP zabiegowych z procedurą uznaną za radykalną do pozostałych wynosił ok. 2:1.
3. Wymiarem pod kątem którego przeprowadzono analizę JGP zachowawczych sprawozdawanych przez największych świadczeniodawców jest średni czas pobytu. Wśród sześciu świadczeniodawców sprawozdających co najmniej 1000 JGP zachowawczych trzech charakteryzowało się wartością tej statystyki na poziomie 4 dni. Dla pozostałych trzech świadczeniodawców z tej grupy, wartość analizowanej statystyki wynosiła od 4,5 do 5,5 dni.
4. Zależność pomiędzy liczbą zabiegów chirurgicznych wykonywanych rocznie w szpitalu a efektywnością tych zabiegów była tematem licznych opracowań medycznych i statystycznych w ostatnim XX-leciu. Ogólnym wnioskiem płynącym z tych prac jest dodatnia zależność pomiędzy liczbą pacjentów, którzy w danym ośrodku poddani byli konkretnemu typowi zabiegu chirurgicznego, a jakością leczenia. Zakładając minimalną liczbę zabiegów z zakresu chirurgii radykalnej na poziomie 60 zabiegów rocznie, w Polsce tylko 54 świadczeniodawców spełniało ww. kryterium w przypadku leczenia nowotworów dolnego odcinka układu pokarmowego. Pozostałych 433 świadczeniodawców sprawozdało mniej zabiegów. W przypadku chirurgii piersi jedynie 55 z 336 (16%) świadczeniodawców spełniło to kryterium. W przypadku nowotworów gruczołu krokowego 13 z 175 świadczeniodawców sprawozdało powyżej 60 zabiegów radykalnych.

4 Analiza świadczeń chemioterapeutycznych

1. W roku 2012 w Polsce funkcjonowało 212 placówek realizujących świadczenia chemioterapii i posiadających umowę na realizację tych świadczeń z płatnikiem publicznym. 16 z nich znajdowało się w Warszawie, 10 w Poznaniu, a 8 we Wrocławiu.
2. Najwyższy udział świadczeń skojarzonych z hospitalizacją odnotowano w województwach lubelskim i opolskim, przekroczył on tam poziom 50% wszystkich udzielonych chemioterapii.
3. Najwyższy udział świadczeń chemioterapii w trybie ambulatoryjnym odnotowano w województwach kujawsko-pomorskim (ponad 40% wszystkich chemioterapii) oraz pomorskim (ponad 30% wszystkich chemioterapii).
4. Chemioterapia w trybie jednodniowym była najczęstszym trybem udzielania chemioterapii w województwach świętokrzyskim i mazowieckim.

5 Analiza świadczeń radioterapeutycznych

1. W Polsce w 2012 roku 34 ośrodki udzielały świadczeń z zakresu radioterapii. Centrum Onkologii-Instytut im. Marii Skłodowskiej-Curie w Warszawie sprawozdało świadczenia z zakresu teleradioterapii dla 6,8 tys. pacjentów, a zakresu brachyterapii dla 834 pacjentów. Centrum Onkologii - Instytut im. Marii Skłodowskiej-Curie Oddział w Gliwicach przyjęło 5,85 tys. pacjentów w zakresie teleradioterapii oraz 780 pacjentów w zakresie brachyterapii. W 2012 roku dla mieszkańców Polski rozliczono prawie 35,5 tys. świadczeń teleterapii radykalnej oraz ponad 22,2 tys. świadczeń teleterapii paliatywnej.
2. Pacjenci z poszczególnych województw korzystali ze świadczeń z zakresu teleterapii w zróżnicowanym stopniu (wyniki te potwierdzają również dane standaryzowane, eliminujące wpływ rodzaju nowotworu oraz jego stadium). W skali kraju na 100 pacjentów onkologicznych przypadało 24 świadczeń w zakresie teleterapii. Najczęściej korzystali z nich pacjenci mieszkający w województwach: śląskim (30,9 świadczeń na 100 pacjentów onkologicznych), lubuskim (29,3), kujawsko-pomorskim (28,1) oraz podkarpackim (27). Najniższe wartości notowano w województwach świętokrzyskim



(17,6 świadczenia na 100 pacjentów), warmińsko-mazurskim (18,1) oraz łódzkim (19,3). Mediana dla województw Polski wyniosła 23,9 świadczenia w zakresie teleradioterapii radykalnej na 100 pacjentów onkologicznych.

3. Dane potwierdziły tezę, że liczba świadczeń teleterapii jest ujemnie zależna od odległości powiatu zamieszkania pacjenta od najbliższej zlokalizowanego przyspieszacza liniowego (odległość liczona w linii prostej pomiędzy miastami powiatowymi). Oznacza to, że w ogólności im dalej pacjent mieszka od najbliższego ośrodka z zainstalowanym akceleratorem, tym rzadziej korzysta ze świadczeń teleterapeutycznych. Współczynnik korelacji liniowej pomiędzy odległością, a liczbą świadczeń teleterapeutycznych na 100 pacjentów onkologicznych wynosił w skali kraju -0,38.

Obszar Ambulatoryjnej Opieki Specjalistycznej

Świadczeniodawcy udzielający świadczeń onkologicznych

1. W roku 2012 na terenie kraju znajdowały się 4 603 podmioty ambulatoryjnej opieki specjalistycznej, w których realizowano świadczenia onkologiczne. Najwięcej podmiotów zlokalizowanych było w miastach będących siedzibą władz wojewódzkich oraz w innych miastach na prawach powiatu.
2. W większości województw nie występowały znaczące migracje pacjentów. Procent pacjentów spoza województwa leczonych w województwie wahał się w większości przypadków w granicach 5-10%. Wyższy odsetek odnotowano w województwach mazowieckim (11%), świętokrzyskim (11%) i śląskim (12%). Z kolei najniższy udział przyjezdnych pacjentów odnotowano w województwach łódzkim i pomorskim (po 3%).

Świadczenia PET (Pozytonowej Tomografii Emisyjnej)

1. W 2012 sprawozdano do Narodowego Funduszu Zdrowia wykonanie ponad 29,3 tys. badań PET w 11 województwach (nie sprawozdano w województwach: lubuskim, opolskim, podkarpackim, podlaskim, zachodniopomorskim), z czego ponad 21,1 tys. badań (72%) sprawozdano pacjentom mieszkającym w województwie wykonania świadczenia.
2. W 2014 nie sprawozdano takich badań tylko w 2 województwach (lubuskie, opolskie) a spośród ponad 38,2 tys. wykonanych badań ponad 29,3 tys. (77%) zostało wykonanych pacjentom w województwie zamieszkania. Największy udział pacjentów spoza województwa dotyczył województwa kujawsko-pomorskiego, w którym to wynosił 44% w roku 2012 (40% w roku 2014).
3. Liczba wykonanych badań PET na 100 tys. mieszkańców¹ w roku 2012 wynosił od około 32 badań na 100 tys. mieszkańców w woj. podkarpackim do około 133 badań w woj. świętokrzyskim. W roku 2014 wartości te wynosiły około 45 dla woj. podkarpackiego i około 192 dla woj. świętokrzyskiego.

Kadry medyczne

Chirurdzy onkolodzy

1. W bazie NIL w roku 2012 zarejestrowanych było 499 chirurgów onkologów². Najwięcej chirurgów onkologów było w woj. mazowieckim (88), najmniej w woj. podkarpackim, gdzie nie było żadnego chirurga onkologa.

¹ badań wykonanych mieszkańcom danego województwa, w tym badania zrealizowane w innych województwach

² Liczba lekarzy nie jest liczbą unikalną – jeżeli lekarz pracuje w kilku województwach to jest on uwzględniony w każdym z nich. Analogicznie postąpiono w przypadku specjalizacji - w przypadku gdy lekarz ma kilka specjalizacji to jest on uwzględniony w każdej z nich.



2. W 2012 roku najwięcej chirurgów onkologów w przeliczeniu na 100 tys. dorosłej ludności (powyżej 18 roku życia) przypadało w woj. świętokrzyskim, a najmniej (wyluczając woj. podkarpackie) w woj. lubuskim.
3. Najmniejsza liczba umów przypadająca na jednego chirurga onkologa odnotowana została w woj. lubuskim (1,11 umowy na lekarza), natomiast największa w woj. łódzkim (3,79 umowy na lekarza).
4. W Polsce w 2012 roku najwięcej praktykujących chirurgów onkologów było w przedziale wiekowym między 55 a 60 lat.

Ginekolodzy onkologiczni

1. W bazie NIL w roku 2012 zarejestrowanych było 152 ginekologów onkologicznych. Najwięcej z nich zarejestrowanych było w woj. mazowieckim, a najmniej w woj. lubelskim (2).
2. Największy stosunek liczby ginekologów onkologicznych do 100 tys. dorosłej ludności odnotowano w woj. świętokrzyskim, a najmniejszy w woj. lubelskim.
3. W 2012 roku najwięcej umów przypadało na jednego ginekologa onkologicznego w woj. mazowieckim (średnio 2,62), a najmniej w województwach lubuskim, opolskim, małopolskim, podkarpackim i lubelskim (w każdym średnio 1).
4. W Polsce najwięcej ginekologów onkologicznych było w wieku między 40 a 45 lat.

Onkolodzy i hematolodzy dziecięcy

1. W bazie NIL w roku 2012 zarejestrowanych było 152 specjalistów w dziedzinie onkologia i hematologia dziecięca. Najwięcej lekarzy było zarejestrowanych w woj. mazowieckim, natomiast w województwach podkarpackim oraz opolskim nie był zarejestrowany ani jeden lekarz specjalista w dziedzinie onkologia i hematologia dziecięca.
2. W 2012 roku stosunek liczby specjalistów w dziedzinie onkologia i hematologia dziecięca do 100 tys. niepełnoletniej ludności wyniósł najwięcej w woj. lubelskim, a najmniej w woj. lubuskim (pomijając województwa bez zarejestrowanych specjalistów).
3. Najwięcej umów przypadających na jednego specjalistę w dziedzinie onkologia i hematologia dziecięca przypadało w woj. mazowieckim (2,71).
4. Najwięcej specjalistów w dziedzinie onkologia i hematologia dziecięca było w wieku 50-55 lat.

Onkolodzy kliniczni

1. W bazie NIL w roku 2012 zarejestrowanych było 863 onkologów klinicznych. Najwięcej spośród nich zarejestrowanych było w woj. mazowieckim (213), a najmniej w województwach lubuskim i opolskim – odpowiednio 17 i 18.
2. Najwyższy stosunek liczby onkologów klinicznych do 100 tys. dorosłej ludności zaobserwowany został w województwie mazowieckim, a najniższy w województwie podkarpackim.
3. Najwięcej umów na jednego onkologa klinicznego przypadało w woj. śląskim (3,74), a najmniej w województwie lubuskim i opolskim (po 1,05).
4. Dominującą grupą wiekową onkologów klinicznych była grupa wiekowa 40-45 lat.

Patomorfolodzy

1. W bazie NIL w roku 2012 zarejestrowanych było 82 patomorfologów, z czego najliczniej występowali w województwach śląskim oraz łódzkim³. W województwach dolnośląskim, lubelskim i warmińsko-mazurskim nie było żadnego zarejestrowanego specjalisty w tej dziedzinie.

³Warto wspomnieć, że patomorfolodzy nie mają obowiązku rejestrowania działalności.



2. Największy stosunek patomorfologów do 100 tys. dorosłej ludności odnotowano w województwach łódzkim i śląskim, a najmniejszy (poza województwami, w których brak było zarejestrowanych patomorfologów) w województwie wielkopolskim.
3. Zarejestrowani patomorfolodzy byli głównie w wieku 45-50 lat.

Radioterapeuci

1. W bazie NIL w roku 2012 zarejestrowanych było 608, z czego najwięcej w województwie śląskim (112), a najmniej w województwie lubuskim (13).
2. Największy stosunek liczby radioterapeutów do 100 tys. dorosłej ludności występował w województwach śląskim i opolskim, a najmniejszy w województwach wielkopolskim oraz podkarpackim.
3. Województwo śląskie było województwem, w którym radioterapeuci mieli średnio największą liczbę podpisanych umów (3,37). Najmniej umów przypadających na jednego radioterapeutę było w województwie opolskim (1,04).
4. Najwięcej radioterapeutów było w przedziale wiekowym między 45 a 50 lat.

Pielęgniarki onkologiczne

W 2015 roku w Polsce liczba pielęgniarek onkologicznych wynosiła 1 251⁴, z czego najwięcej zarejestrowanych było w województwie wielkopolskim (126), a najmniej w województwie opolskim (4). Pielęgniarki były głównie w wieku 40—49 lat.

⁴Pielęgniarki z tytułem specjalisty w dziedzinie pielęgniarstwa onkologicznego mogą pracować w innym profilowo oddziale niż posiadana dziedzina specjalizacji. Dodatkowo w oddziałach o profilu onkologicznym, oprócz pielęgniarek z tytułem specjalisty w dziedzinie pielęgniarstwa onkologicznego, pracują także pielęgniarki bez dodatkowych kwalifikacji nabytych w ramach kształcenia podyplomowego. Dlatego liczby przedstawionej na wykresie (liczba pielęgniarek z tytułem specjalisty w dziedzinie pielęgniarstwa onkologicznego) nie należy interpretować jako faktycznej liczby pielęgniarek zatrudnionych w danej dziedzinie.



Część III

Prognozy potrzeb zdrowotnych

Prognoza demograficzna

1 Prognozowana struktura ludności i demografii

W okresie 2014-2029 liczba mieszkańców Polski spadnie o 1,17 mln osób, czyli o ok. 3%. Struktura płci w 2029 roku będzie zbliżona do 2014 roku (przewaga liczby kobiet w populacji). Ludność Polski w 2029 roku średnio będzie starsza niż w 2014 roku.

Oczekuje się, że do 2029 liczba mieszkańców większości województw będzie ulegała zmniejszeniu, za wyjątkiem województw mazowieckiego (+1,69%), pomorskiego (+1,48%), małopolskiego (+1,12%) oraz wielkopolskiego (+0,12%). Zmiany struktury wiekowej poszczególnych województw będą przebiegać w większości podobnie jak dla całego kraju.

Prognoza liczby chorych

1 Prognoza zachorowalności

1. Uwzględniając wyłącznie procesy demograficzne szacuje się, że w okresie 2016-2029 liczba nowych przypadków nowotworów złośliwych wzrośnie z poziomu 180,3 tys. do 213,1 tys. (+18%). W 2016 roku największa liczba nowych przypadków nowotworów złośliwych w Polsce zostanie odnotowana w województwach mazowieckim (25,1 tys.) oraz śląskim (22,5 tys.). Najmniej nowych przypadków wystąpi w województwach opolskim i lubuskim – odpowiednio 4,8 tys. i 4,7 tys. Najszybszy wzrost zachorowalności w latach 2016–2029 obserwowany będzie w województwach wielkopolskim (22,3%), pomorskim (22,3%), podkarpackim (22,2%) i małopolskim (21,8%), zaś najmniejszy w województwach łódzkim (11,6%) i śląskim (13,4%). W 2029 roku dalej dominującym nowotworem pod względem liczby zachorowań będzie nowotwór złośliwy płuca. Najszybciej będzie wzrastać zachorowalność na nowotwór gruczoły krokowego (29% przyrostu między 2016 a 2029 rokiem). Nowotworem, w przypadku którego prognozuje się spadek zachorowalności w analizowanym przedziale czasu jest nowotwór jądra. Największa zmiana w liczbie nowych przypadków nowotworów złośliwych nastąpi w grupie wiekowej 75–84 lat. W stosunku do roku 2016, w roku 2029 odnotowanych zostanie 60% więcej nowych przypadków.
2. W 2016 roku w Polsce odnotowanych zostanie ponad 27,6 tys. nowych przypadków nowotworów złośliwych płuca. Najwięcej z nich wystąpi w województwach mazowieckim (3 830) oraz śląskim (3 471). Najmniejsza liczba nowych przypadków zostanie odnotowana w województwie lubuskim (725). W 2029 roku w Polsce odnotowanych zostanie ponad 32,5 tys. nowych zachorowań na nowotwory złośliwe płuc. Najwięcej z nich także wystąpi w województwach mazowieckim (4 548) oraz śląskim (3 898). Najmniejsza liczba nowych przypadków zostanie odnotowana w województwie opolskim (854). Największy wzrost liczby nowych przypadków nowotworów złośliwych płuc zostanie odnotowany w województwach podkarpackim i małopolskim – odpowiednio 23% i 21%, a najmniejszy w województwach łódzkim (10%) i śląskim (12%).
3. W 2016 roku w Polsce odnotowanych zostanie ponad 20,3 tys. nowych przypadków nowotworów złośliwych piersi. Największa ich liczba wystąpi w województwie mazowieckim (2 803). Najmniejsza liczba nowych przypadków nowotworów złośliwych piersi zostanie odnotowana w województwach lubuskim (535) i opolskim (547). W 2029 roku w Polsce odnotowanych zostanie ponad 22,9 tys. nowych zachorowań na nowotwory złośliwe piersi. Najwięcej z nich ponownie wystąpi w województwie mazowieckim (3 205). Najmniejsza liczba nowych przypadków zostanie odnotowana w województwie lubuskim (608) i opolskim (592). Największy wzrost liczby nowych przypadków nowotworów złośliwych piersi zostanie odnotowany w województwach pomorskim, wielkopolskim i małopolskim – po 17%, a najmniejszy w województwie łódzkim (7%).



4. W 2016 roku w Polsce odnotowanych zostanie 15,1 tys. nowych przypadków nowotworów złośliwych jelita grubego. Najwięcej nowych przypadków zostanie odnotowanych w województwie mazowieckim (2 130). Najmniej nowych przypadków zostanie odnotowanych w województwie lubuskim – 390. Z kolei w 2029 roku w Polsce odnotowanych zostanie ponad 18,7 tys. nowych przypadków nowotworów złośliwych jelita grubego. Najmniejsza liczba nowych przypadków wystąpi w województwie opolskim – 489. Największym wzrostem liczby nowych zachorowań na nowotwory złośliwe jelita grubego zostanie odnotowanych w województwach pomorskim, warmińsko-mazurskim oraz wielkopolskim – 28%. Najniższym wzrostem liczby nowych przypadków charakteryzować się będzie województwo łódzkie – 17%.
5. W 2016 roku w Polsce odnotowanych zostanie ponad 8,6 tys. nowych przypadków nowotworów złośliwych odbytnicy i odbytu, z czego najwięcej w województwach mazowieckim (1 209) i śląskim (1 087). Najmniej zachorowań będzie w województwie lubuskim (224) i opolskim (234). Do roku 2029 największy wzrost liczby nowych przypadków odnotowany zostanie w województwach wielkopolskim, pomorskim oraz warmińsko-mazurskim - po 26%.
6. Nowych przypadków nowotworów gruczołu krokowego będzie w Polsce ponad 16,4 tys. w roku 2016, z czego najwięcej w województwach mazowieckim (2 267) i śląskim (2 074), a najmniej w województwie lubuskim (424). Do roku 2029 najbardziej zmieni się sytuacja w województwie warmińsko-mazurskim, lubuskim oraz podkarpackim - liczba nowych przypadków wzrośnie w tych województwach odpowiednio o: 37%, 36% oraz 36%.
7. Nowotworu złośliwego pęcherza moczowego w 2016 roku będzie 9,3 tys. przypadków. Najwięcej z nich wystąpi w województwach mazowieckim (1 312) i śląskim (1 169), a najmniej w woj. lubuskim (240). Do roku 2029 największy wzrost zachorowalności obserwowany będzie w województwach warmińsko-mazurskim, pomorskim oraz wielkopolskim - po 28% więcej przypadków zachorowań niż w roku 2016.

2 Prognoza 5-letniej chorobowości

Prognozowana 5-letnia chorobowość onkologiczna wzrośnie w latach 2016-2029 o 81 tys. przypadków (tj. z poziomu 474 tys. do 555 tys.; +17%). Największa chorobowość 5-letnia w Polsce w 2016 będzie dotyczyć nowotworów złośliwych piersi i będzie wynosić 82 551. Drugim typem nowotworu o największej 5-letniej chorobowości będzie nowotwór gruczołu krokowego – 60 666. Te same dwa typy nowotworów będą odznaczać się najwyższą chorobowością w roku 2029 – dla nowotworu piersi będzie to 90 968, a dla nowotworu gruczołu krokowego 79 968.

Prognoza świadczeń

1 Zakres szpitalny

1. Na podstawie danych sprawozdawczych NFZ za lata 2009-2014 opracowano empiryczny model realizacji hospitalizacji w celu przeprowadzenia radykalnego zabiegu chirurgicznego. Na podstawie danych, dla każdej kohorty pacjentów, określono liczbę i rozkład w czasie zrealizowanych zabiegów chirurgicznych w podziale na: rodzaj nowotworu (zgodnie z podziałem na grupy), stadium zaawansowania w momencie diagnozy, grupy wiekowe, województwo leczenia pacjenta.
2. Przeprowadzone analizy (uwzględniające jedynie zmiany demograficzne, *ceteris paribus*) wskazują, że zapotrzebowanie na hospitalizacje celem wykonania zabiegów chirurgicznych, uznane jako radykalne będzie rosło. W 2018 roku największe zapotrzebowanie na chirurgię przewiduje się dla nowotworów piersi (18,1 tys.), które wzrośnie do 18,9 tys. w roku 2024. Najwięcej hospitalizacji celem wykonania zabiegu z powodu tego nowotworu odbędzie się w woj. mazowieckim.
3. Kolejnym nowotworem ze względu na liczbę prognozowanych zabiegów radykalnych jest nowotwór dolnego odcinka układu pokarmowego. Najwięcej hospitalizacji wymaganych będzie w woj. mazowieckim.



4. Maksymalna liczba umów na udzielanie świadczeń w zakresie skojarzony "pakiet onkologiczny" w 2018 r. powinna być zmniejszona w niektórych zakresach stosunku do roku 2015. Sumarycznie dla Polski maksymalna liczba umów w roku 2018 będzie największa dla chirurgii onkologicznej (381 umów), z czego najwięcej w woj. mazowieckim (67), a najmniej w woj. opolskim (9). Z kolei w roku 2024 liczba umów w zakresie chirurgii onkologicznej powinna maksymalnie wynieść 410 (34% wszystkich umów z zakresie skojarzonym nielimitowanym - "pakiet onkologiczny"), z czego znów najwięcej w woj. mazowieckim (72), a najmniej w opolskim (10). Najmniej umów przewidzianych jest w zakresie chirurgii plastycznej - 1 (woj. zachodniopomorskie).

2 Prognoza świadczeń Pozytonowej Tomografii Emisyjnej (PET)

1. Ze względu na wzrost znaczenia diagnostyki przy pomocy PET (w tym wzrost liczby udzielonych świadczeń z 29 346 w roku 2012 do 34 174 w roku 2014) do prognoz użyto poziomu wykonania w roku 2014. Na podstawie rzeczywistego wykonania określono liczbę świadczeń realizowanych pacjentom w poszczególnych grupach definiowanych ze względu na: województwo zamieszkania pacjenta⁵, wiek (w podziale na grupy wiekowe) i płeć. Na tej podstawie opracowano współczynniki realizacji tych świadczeń.
2. Prognozowana liczba świadczeń PET umożliwia określenie liczby wymaganych aparatów PET. Prognozę zapotrzebowania na sprzęt przedstawiono w dwóch scenariuszach: realizacji na poziomie 1913 świadczenia na urządzenie (średnia wartość w roku 2014) oraz 4474 świadczeń na aparat (najwyższą sprawozdana wartość w 2014 roku)⁶. Zakłada się, że w roku 2018 będzie zapotrzebowanie na 21 aparatów PET w Polsce, z czego po 3 w woj. mazowieckim, małopolskim, śląskim i wielkopolskim. W każdym województwie powinien znajdować się co najmniej 1 aparat.

3 Zakres chemioterapii

1. W scenariuszu maksymalnym, w badanym horyzoncie czasowym, szacuje się nieznaczny wzrost zapotrzebowania na świadczenia w zakresie chemioterapii (hospitalizacja, jednodniowa, ambulatoryjna) z 1 055 tys. osobodni w roku 2016 do 1 142 tys. osobodni w roku 2029 (+9%).
2. W scenariuszu minimalnym, w badanym horyzoncie czasowym, szacuje się spadek zapotrzebowania na świadczenia w zakresie chemioterapii (hospitalizacja, jednodniowa, ambulatoryjna) z 777 tys. osobodni w roku 2016 do 637 tys. osobodni w roku 2029 (-18,1%).
3. Najwięcej osobodni świadczeń w zakresie chemioterapii zarówno w 2016, jak i 2029 szacuje się dla województwa mazowieckiego, a najmniej dla województwa opolskiego.

4 Zakres radioterapii

1. W Polsce w 2014 roku znajdowało się 144 akceleratorów liniowych. Najwięcej znajdowało się w województwach śląskim (25 akceleratorów liniowych), mazowieckim (17) oraz małopolskim (15). Najmniej w województwach lubuskim i opolskim (po trzy). Najwięcej z nich znajdowało się w dużych ośrodkach miejskich (Warszawa, Poznań, Gliwice). Na 1 akcelerator przypadało 273 tys. ludności, przez co nie zostały spełnione wymogi zaleceń ESTRO z 2005 roku (1 akcelerator na 250 tys. ludności), ani IAEA z 2010 roku (1 akcelerator na 180 tys. ludności). Najlepszym stosunkiem liczby ludności do zainstalowanych akceleratorów charakteryzowały się w kolejności województwa śląskie (1 na 184 tys.), zachodniopomorskie (1 na 215 tys.), małopolskie (1 na 240 tys.) oraz warmińsko-mazurskie (1 na 241 tys.). Były to jedyne województwa spełniające zalecenia ESTRO z 2005 r. Żadne województwo w Polsce nie spełniało zaleceń IAEA.

⁵W przypadku kiedy nie sprawozdano TERYTu pacjenta (pacjent nie miał przypisanego kodu TERYT w Centralnym Wykazie Ubezpieczonych) przypisywano TERYT komórki realizującej świadczenie (zakładamy, że pacjent nie migrował).

⁶W przypadku świadczeń PET głównym ograniczeniem liczby wykonanych badań jest obecnie wysokość kontraktu. Pierwszy scenariusz przedstawia w uproszczeniu sytuację, w której nie zwiększamy kontraktu. Drugi natomiast bazuje na maksymalnym potencjale (wyliczonym na bazie obecnie sprawozdanego).



2. W 2014 roku liczba pacjentów, którym udzielano świadczeń teleradioterapii wyniosła blisko 65 tys., co oznacza że na 1 akcelerator przypadają średnio 0,45 tys. pacjentów (spełnione zalecenia IAEA z 2010 roku rekomendujące 450 pacjentów na akcelerator).
3. Średni wiek akceleratora w Polsce wyniósł 5,6 roku. Średnio najstarsze akceleratory znajdowały się w województwach pomorskim (7,2) oraz kujawsko-pomorskim (7,2). Wysokim średnim wiekiem przyspieszaczy charakteryzowały się także województwa wielkopolskie (7) oraz łódzkie (6,9). Mediana dla województw wyniosła 6,3 roku. Średnio najmłodsze przyspieszacze zainstalowane były w województwach warmińsko-mazurskim (2,8), podlaskim (3,3) oraz małopolskim (3,8).
4. Prognozowane zapotrzebowanie na świadczenia z zakresu teleterapii na 2025 rok wyniosło w Polsce blisko 90 tys.
5. Zgodnie z modelem optymalizacji zakupu i lokalizacji przyspieszaczy liniowych na lata 2016-2025 w roku 2025 w kraju powinno być zainstalowanych 200 przyspieszaczy liniowych. Najwięcej w Warszawie (13 akceleratorów), Poznaniu (11) oraz Gliwicach (10).



EFEKTYWNE DZIAŁANIE
PRZEZ MAPOWANIE
KARDIOLOGIA I ONKOLOGIA



Załączniki



Spis załączników

I	Aspekty demograficzne i epidemiologiczne	19
1.1	Struktura ludności	20
1.2	Zgony z powodu nowotworów złośliwych	25
1.3	Współczynnik chorobowości szpitalnej – nowotwory złośliwe	31
1.4	Zachorowania na nowotwory złośliwe	33
II	Analiza stanu i wykorzystania zasobów	51
2.1	Obszar szpitalny	52
2.1.1	Analiza świadczeń zabiegowych i zachowawczych	79
2.1.2	Analiza świadczeń chemioterapeutycznych	83
2.1.3	Analiza świadczeń radioterapeutycznych	85
2.1.4	Obszar szpitalny - dzieci do 18 roku życia	87
2.2	Obszar Ambulatoryjnej Opieki Specjalistycznej	90
2.3	Pozytonowa Tomografia Emisyjna (PET)	95
2.4	Kadry medyczne	97
III	Prognozy potrzeb zdrowotnych	104
3.1	Prognozowana struktura ludności	105
3.2	Prognoza epidemiologiczna	109
3.2.1	Prognoza zachorowalności	109
3.2.2	Prognoza 5-letniej chorobowości	117
3.2.3	Prognoza świadczeń z zakresu chirurgii	120
3.2.4	Prognoza świadczeń PET	121
3.2.5	Prognoza świadczeń chemioterapeutycznych	123
3.2.6	Prognoza świadczeń radioterapeutycznych	124



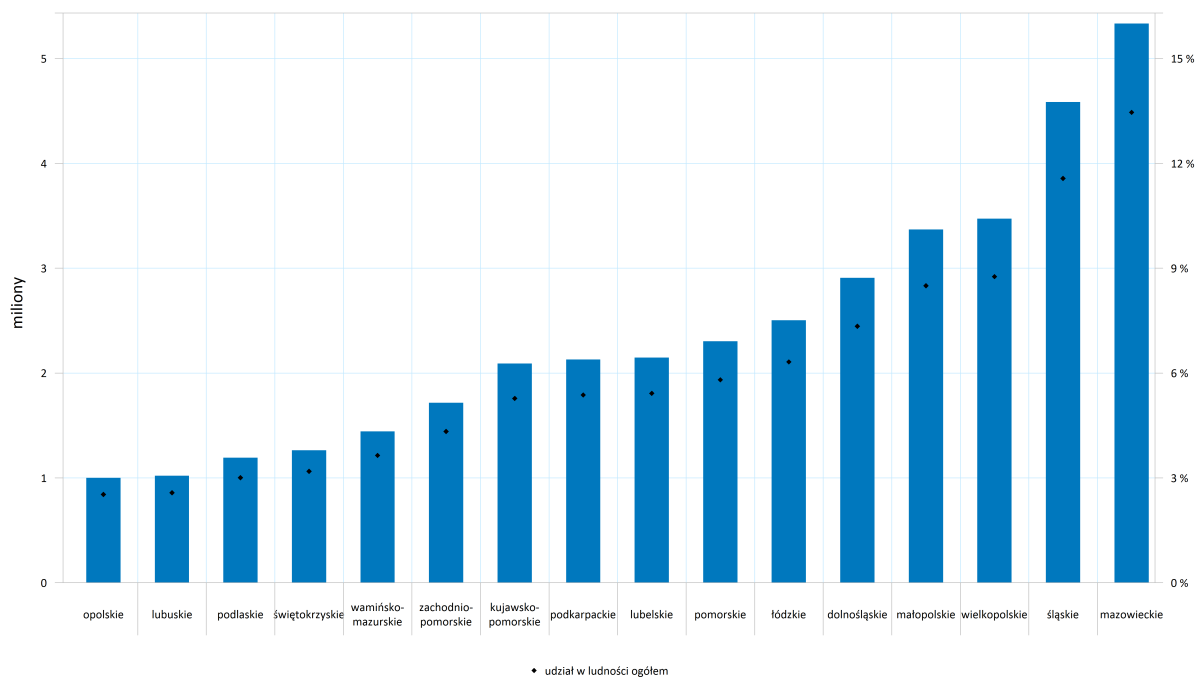
EFEKTYWNE DZIAŁANIE
PRZEZ MAPOWANIE
KARDIOLOGIA I ONKOLOGIA



Załączniki do części I
Aspekty demograficzne i epidemiologiczne

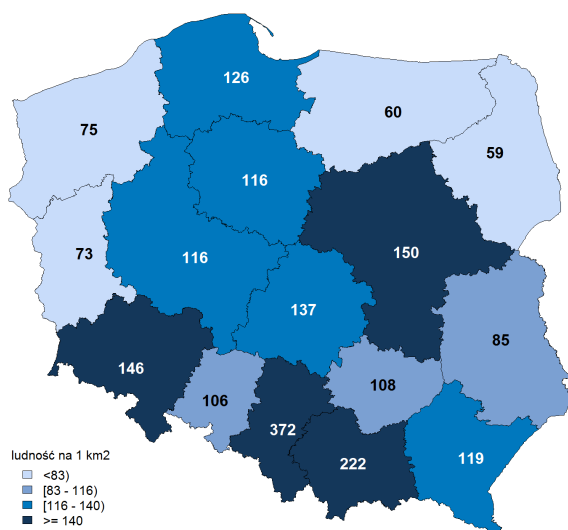
1.1 Struktura ludności

Wykres 1: Ludność w Polsce wg województw (2014)



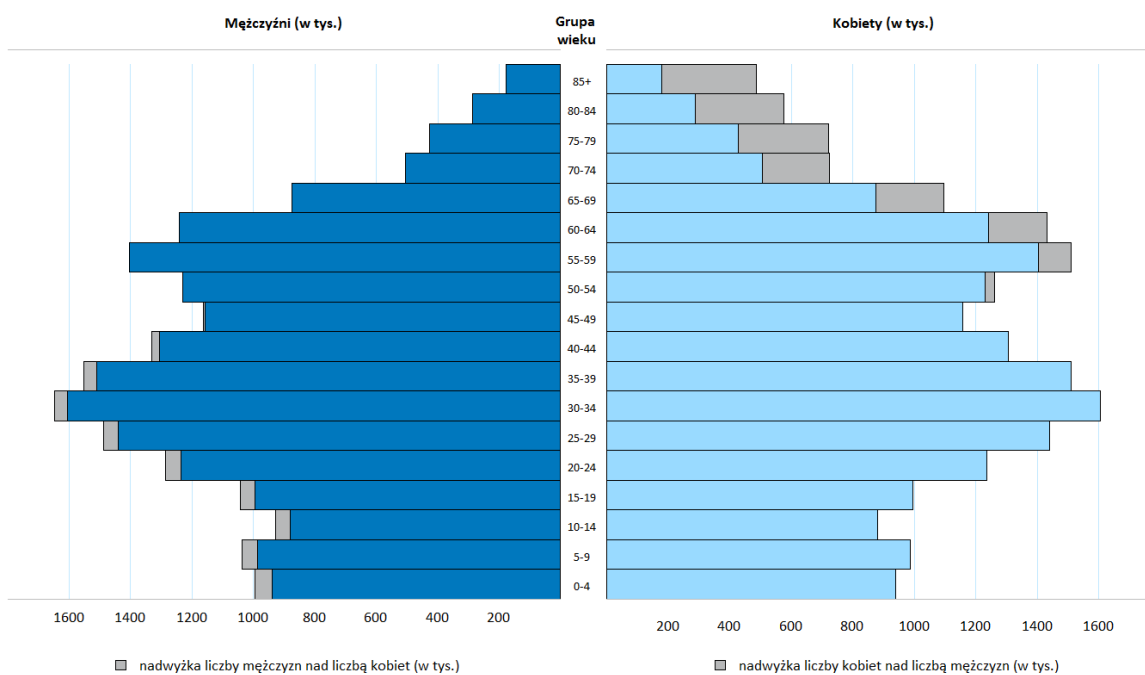
Źródło: opracowanie własne na podstawie danych GUS.

Wykres 2: Gęstość zaludnienia wg województw (2014)



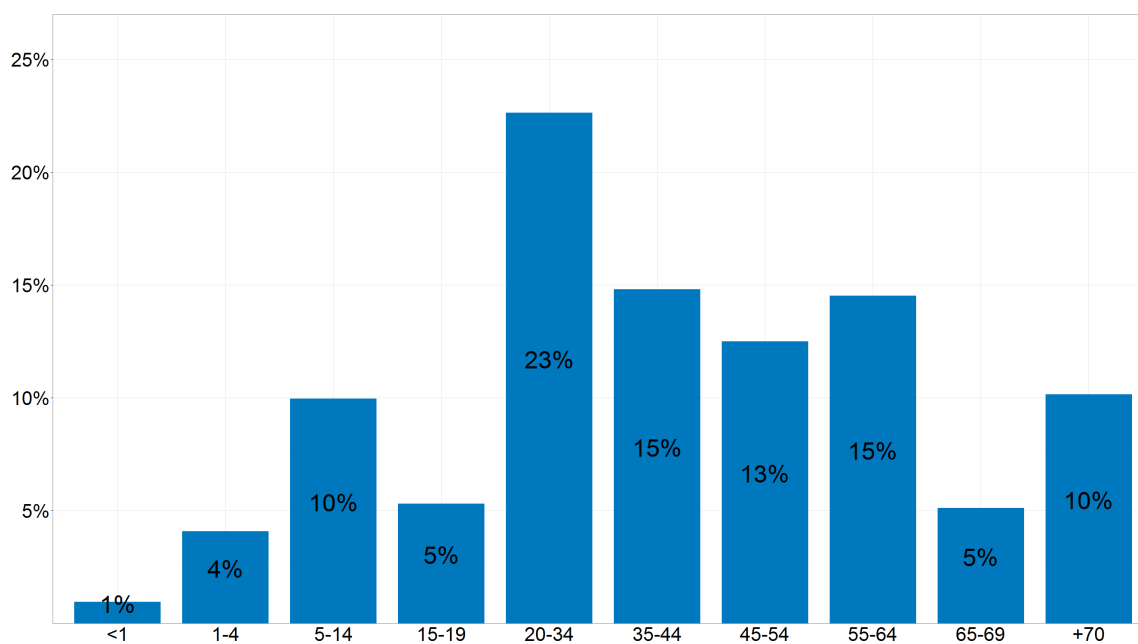
Źródło: opracowanie własne na podstawie danych GUS.

Wykres 3: Struktura ludności wg płci i wieku w Polsce (2014)



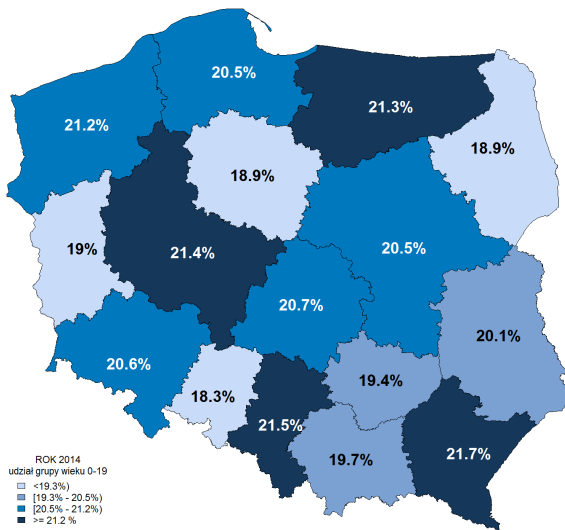
Źródło: opracowanie własne na podstawie danych GUS.

Wykres 4: Struktura ludności według grup wieku w Polsce (2014)



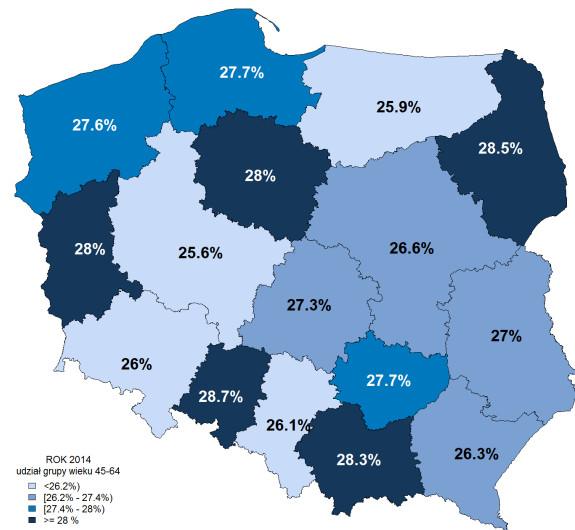
Źródło: opracowanie własne na podstawie danych GUS.

Wykres 5: Udział osób do 19 r.ż. wg województw (2014)



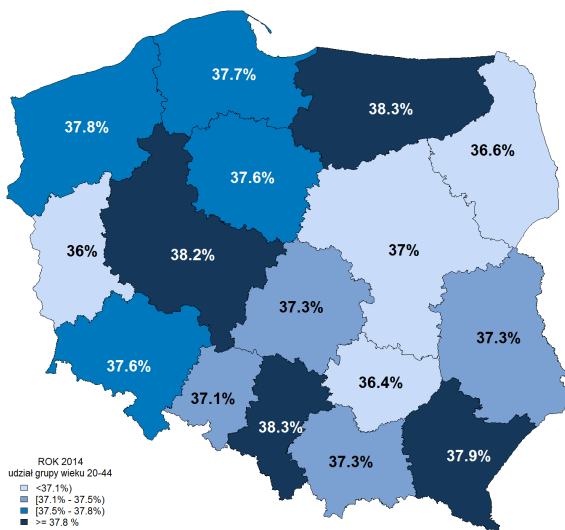
Źródło: opracowanie własne na podstawie danych GUS.

Wykres 7: Udział osób w wieku 45-64 lat wg województw (2014)



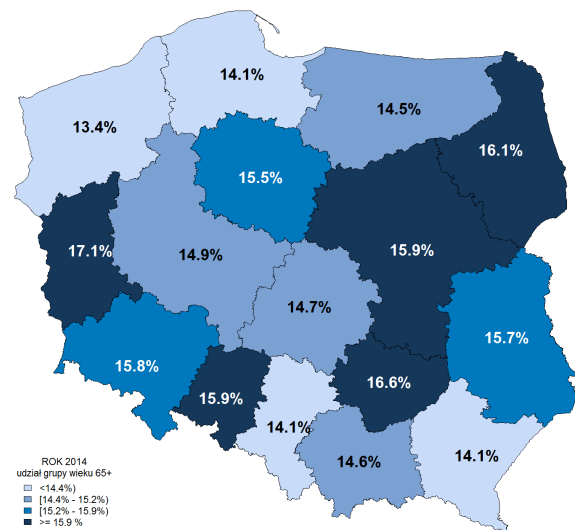
Źródło: opracowanie własne na podstawie danych GUS.

Wykres 6: Udział osób w wieku 20-44 lat wg województw (2014)



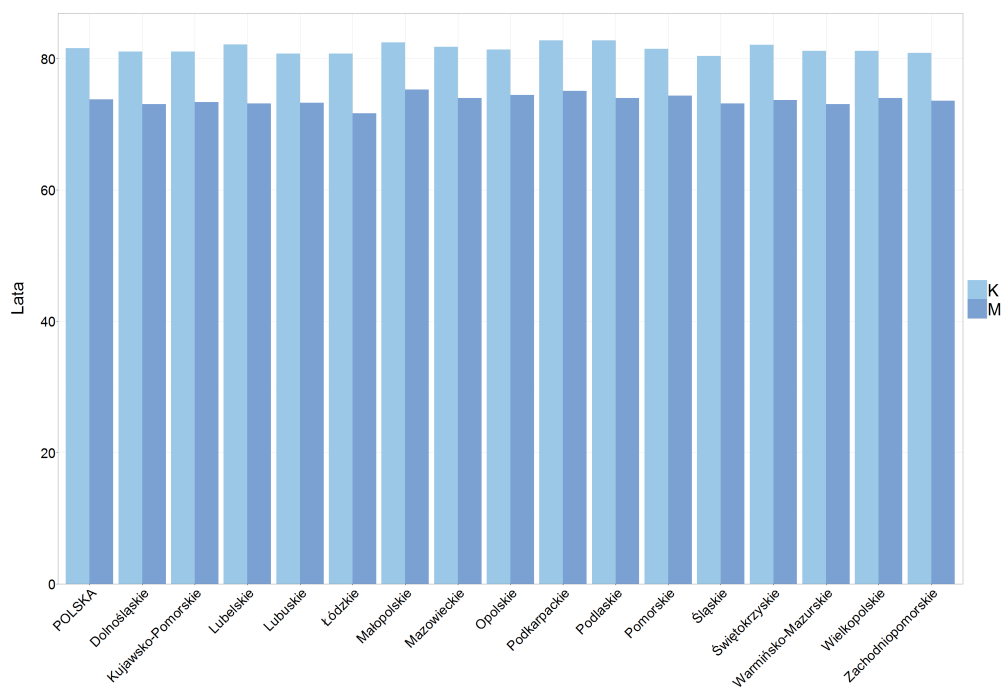
Źródło: opracowanie własne na podstawie danych GUS.

Wykres 8: Udział osób w wieku 65 lat i więcej wg województw (2014)



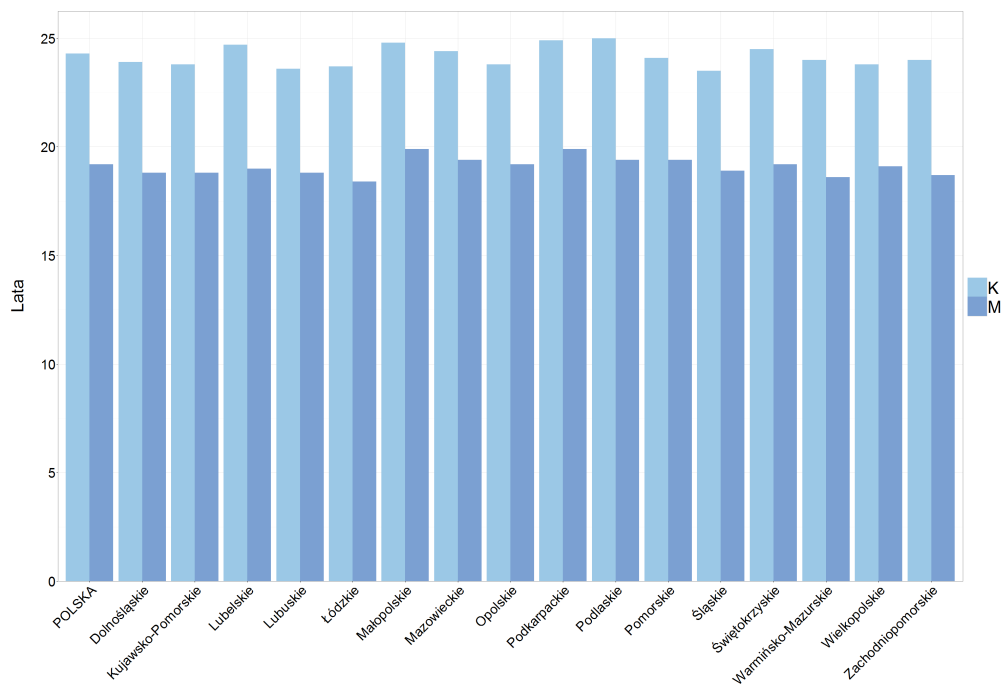
Źródło: opracowanie własne na podstawie danych GUS.

Wykres 9: Oczekiwane trwanie życia noworodka wg województw (2014)



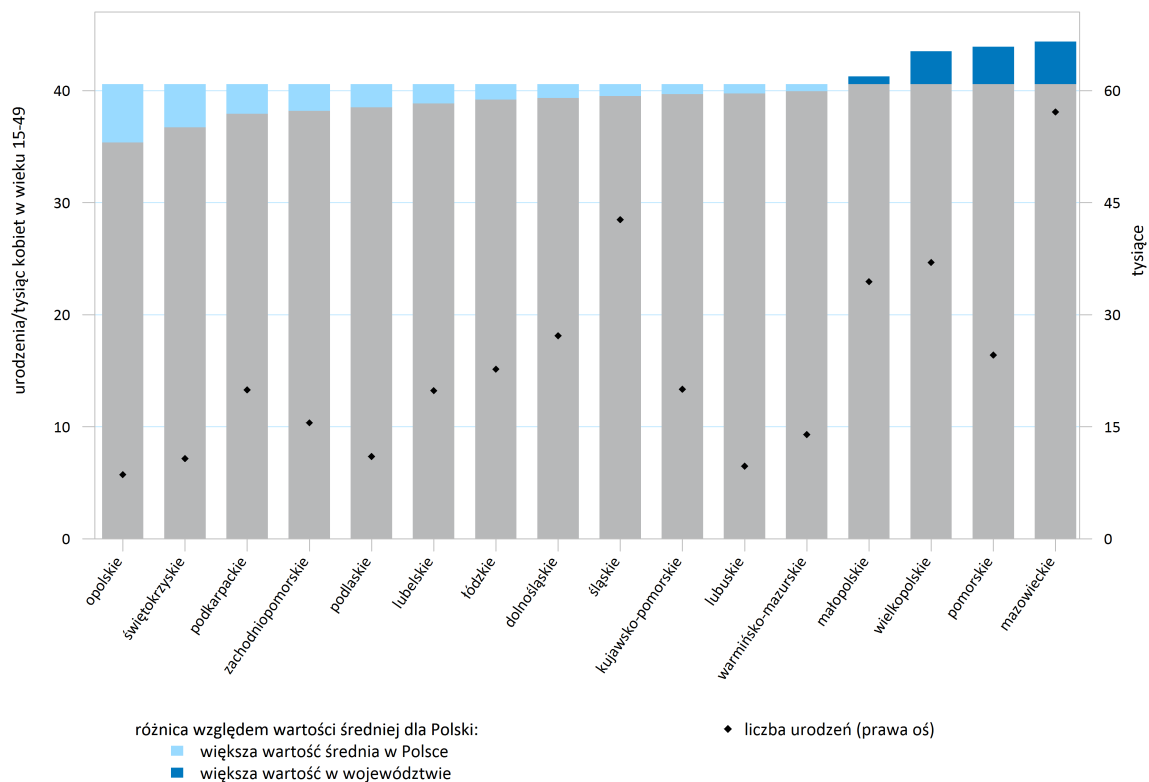
Źródło: opracowanie własne na podstawie danych GUS.

Wykres 10: Oczekiwana długość trwania życia osoby w wieku 60 ukończonych lat wg województw (2014)



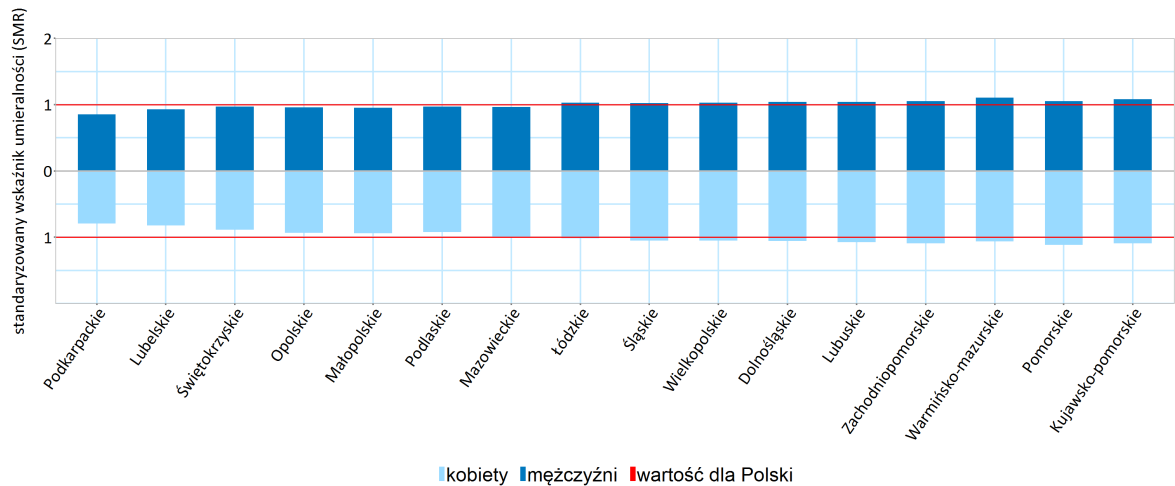
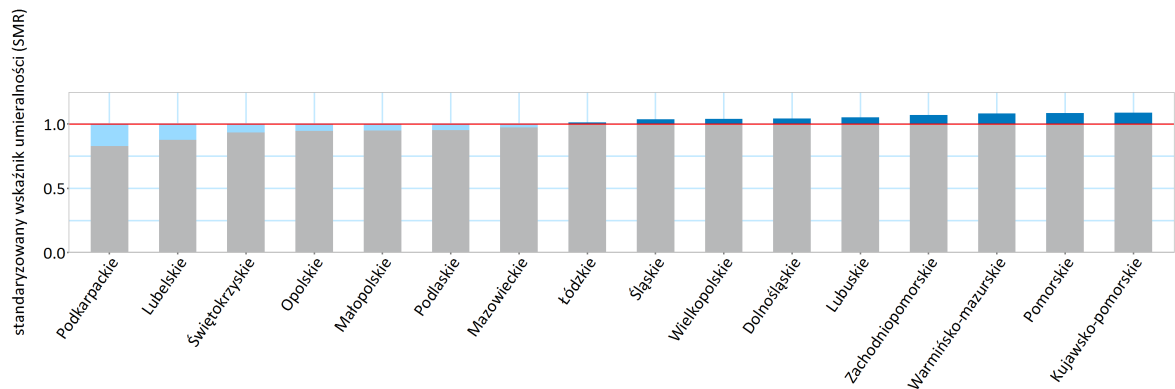
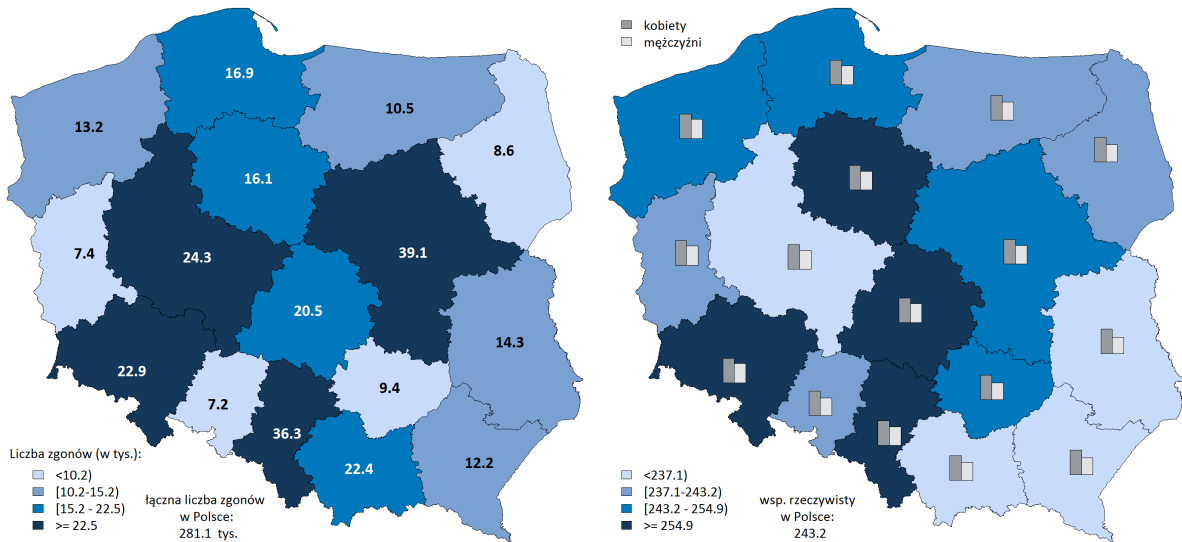
Źródło: opracowanie własne na podstawie danych GUS.

Wykres 11: Współczynnik płodności oraz urodzenia wg województw (2014)



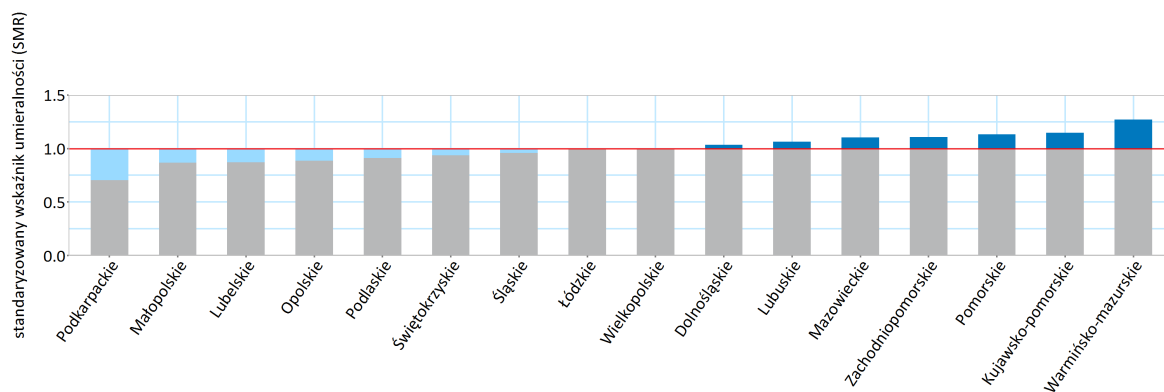
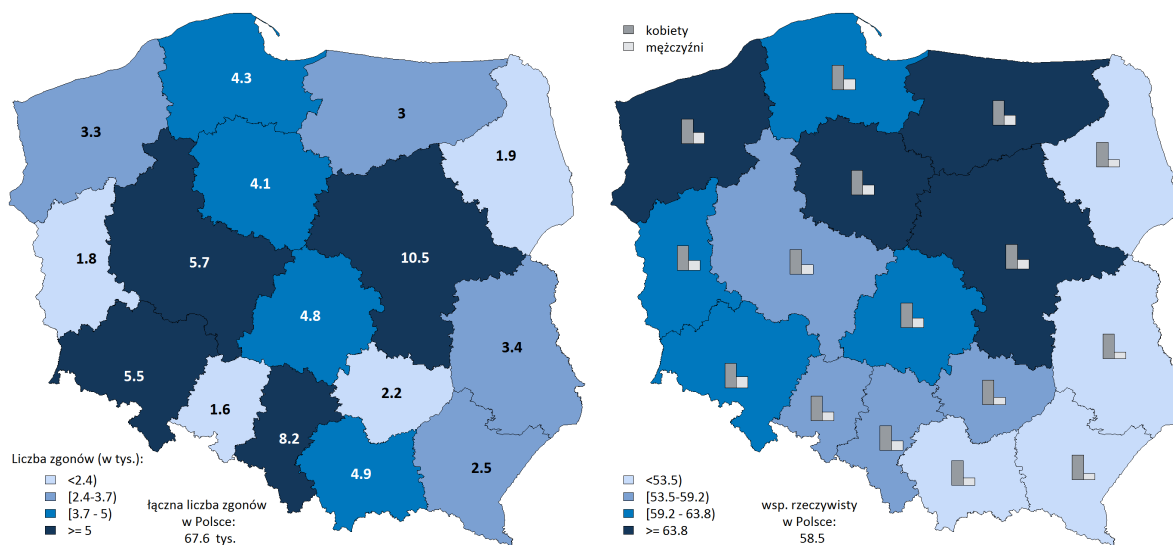
1.2 Zgony z powodu nowotworów złośliwych

Wykres 12: Zgony spowodowane przez nowotwory złośliwe ogółem (C00–C97) (2011–2013)



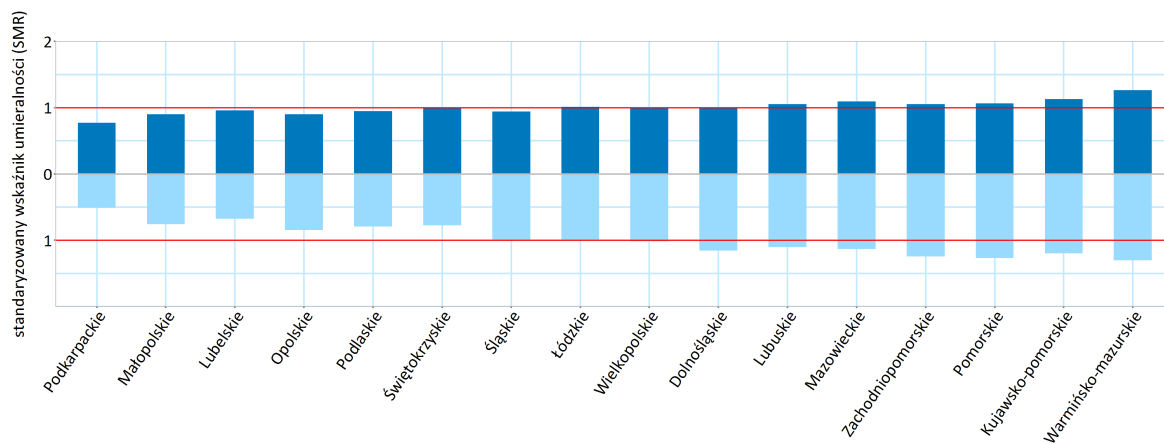
Źródło: opracowanie własne na podstawie danych NIZP-PZH.

Wykres 13: Zgony spowodowane przez nowotwory złośliwe tchawicy, oskrzela i płuca (C33–C34) (2011–2013)



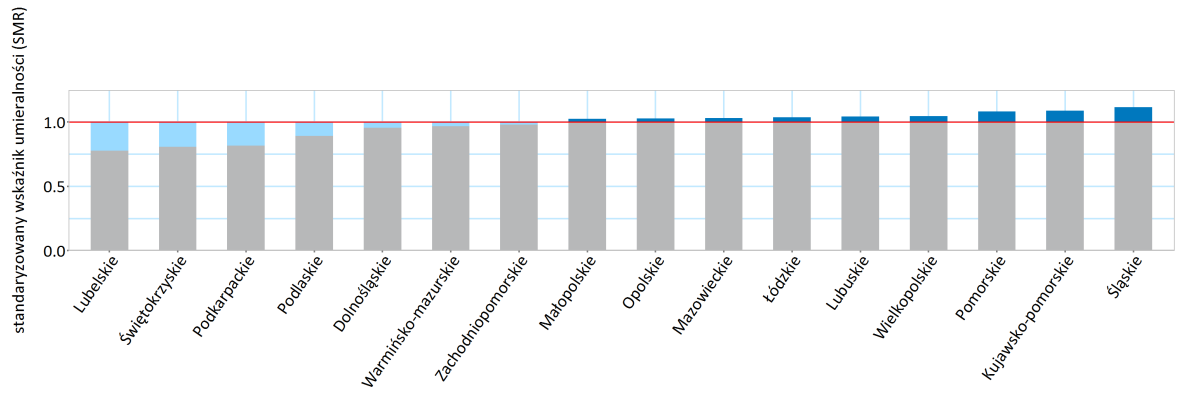
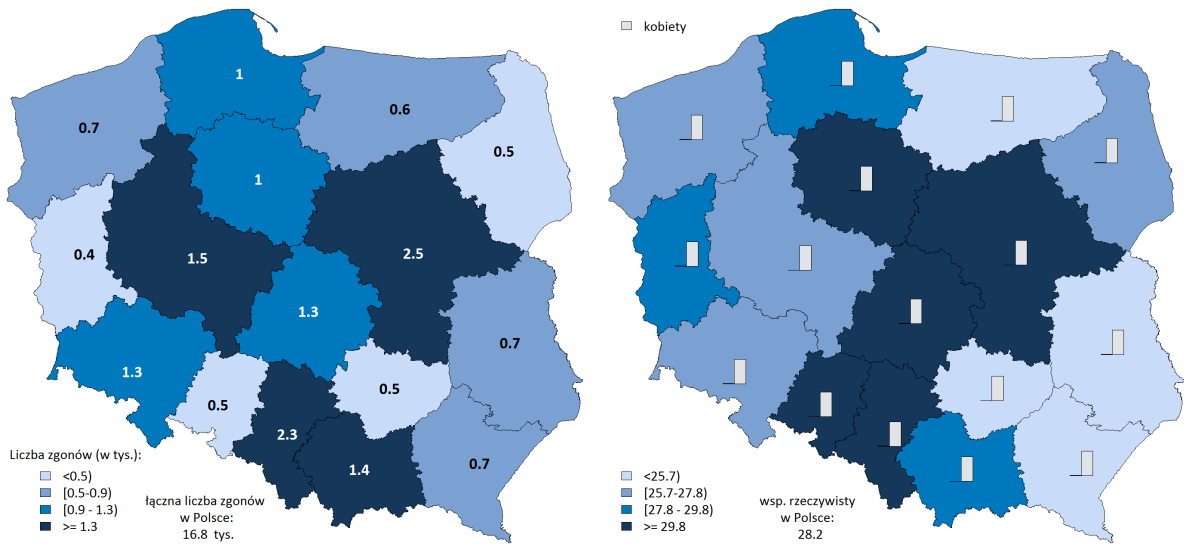
różnica względem wartości wskaźnika dla województw:

■ większa wartość w Polsce ■ większa wartość w województwie ■ wartość dla Polski



Źródło: opracowanie własne na podstawie danych NIZP-PZH.

Wykres 14: Zgony spowodowane przez nowotwory złośliwe piersi u kobiet (C50) (2011–2013)

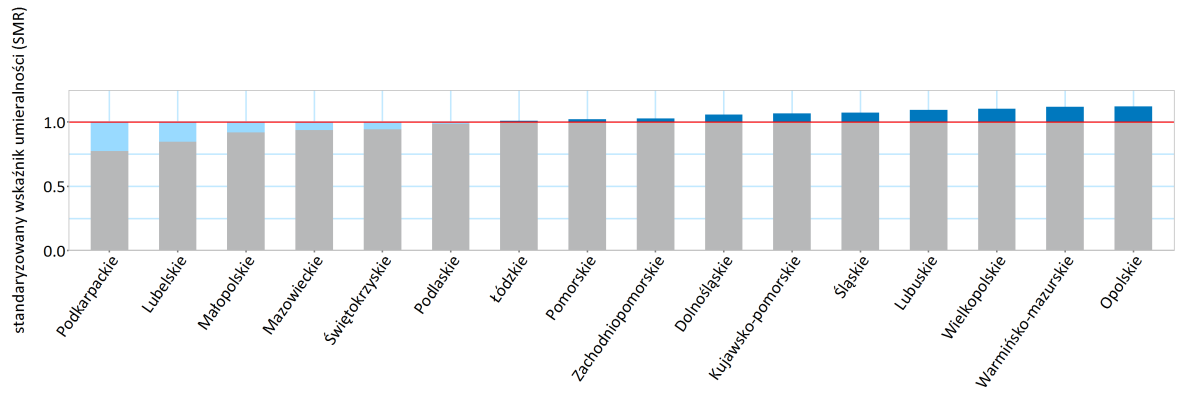
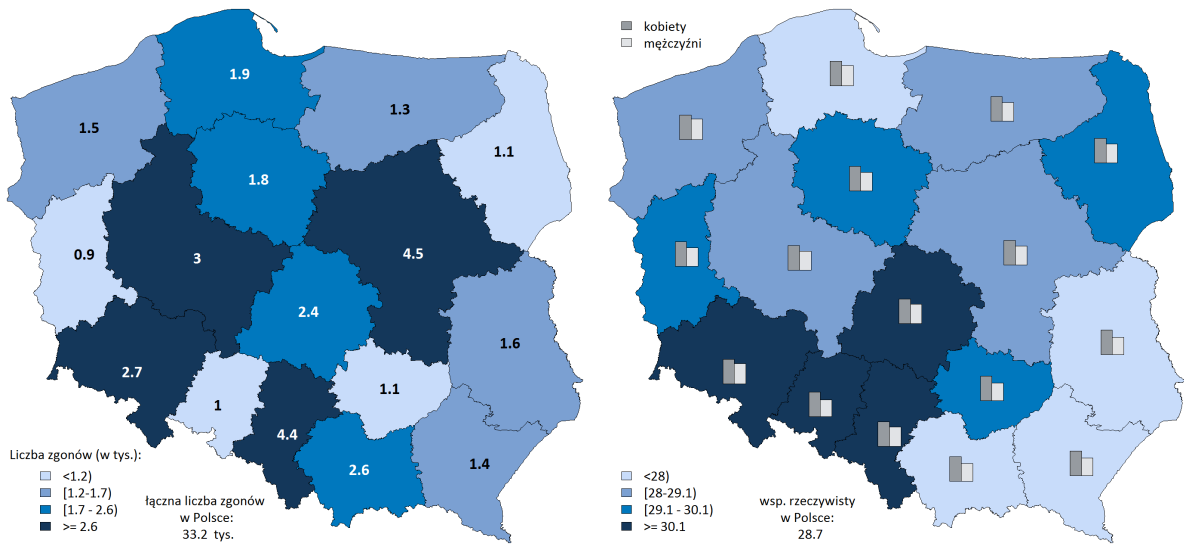


różnica względem wartości wskaźnika dla województw:

■ większa wartość w Polsce ■ większa wartość w województwie ■ wartość dla Polski

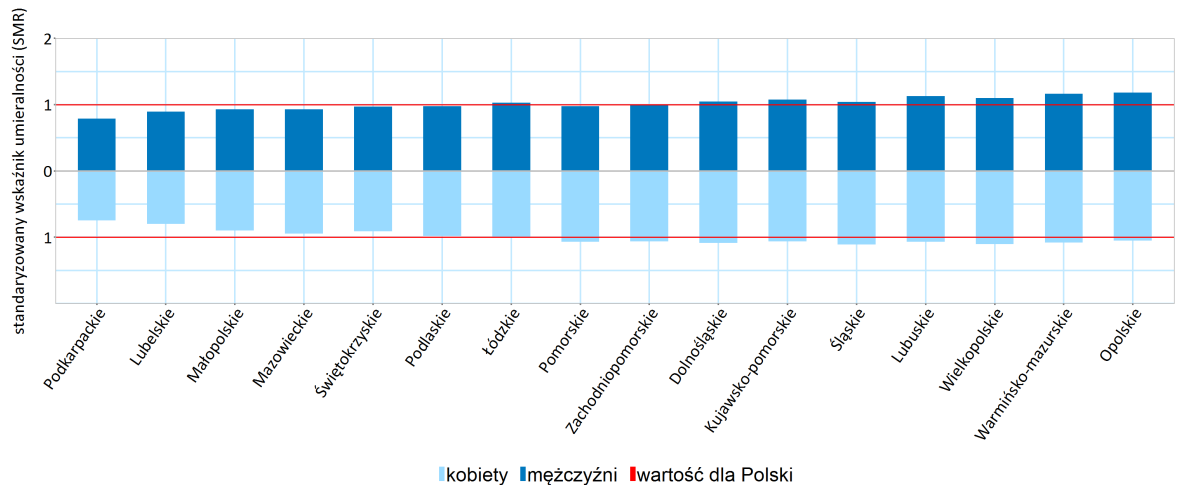
Źródło: opracowanie własne na podstawie danych NIZP-PZH.

Wykres 15: Zgony spowodowane przez nowotwory złośliwe dolnego odcinka układu pokarmowego (C18–C21) (2011–2013)



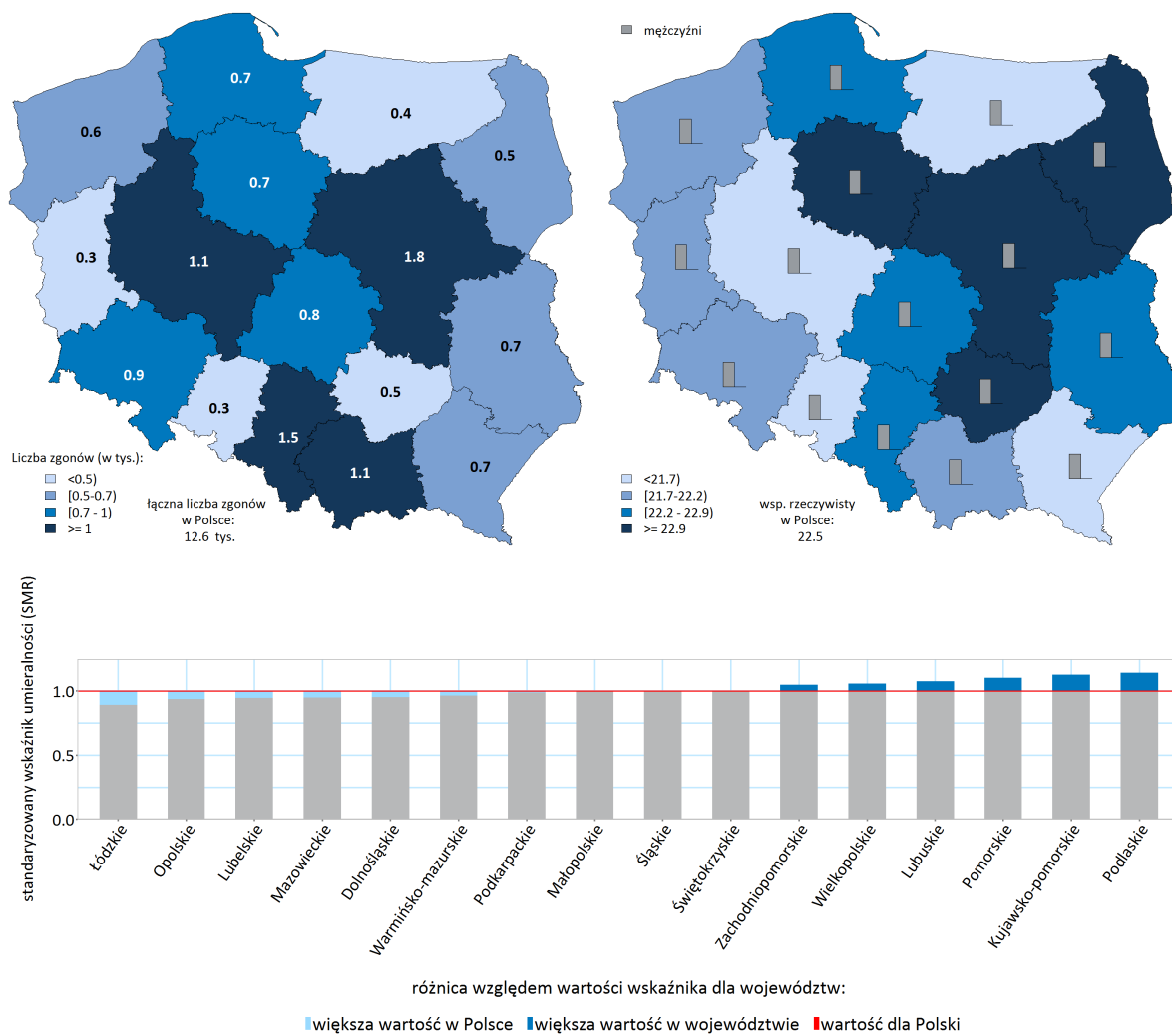
różnica względem wartości wskaźnika dla województw:

■ większa wartość w Polsce ■ większa wartość w województwie ■ wartość dla Polski



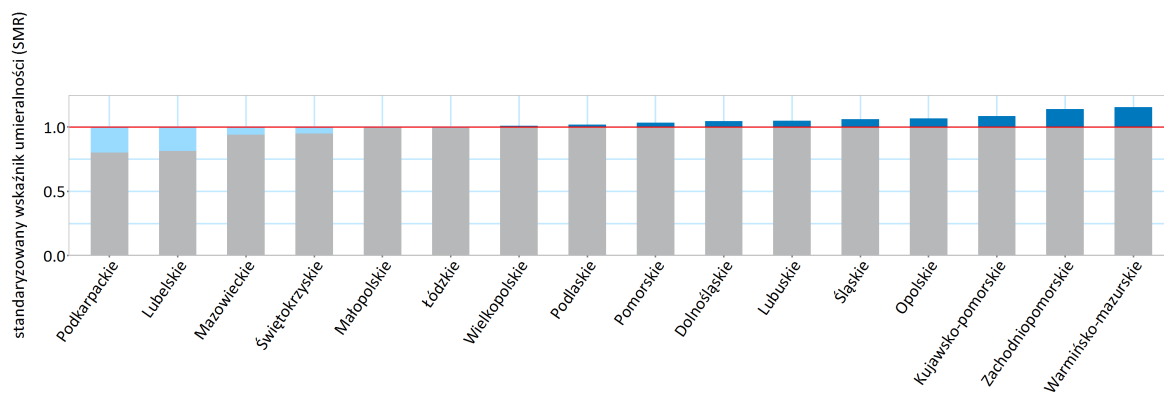
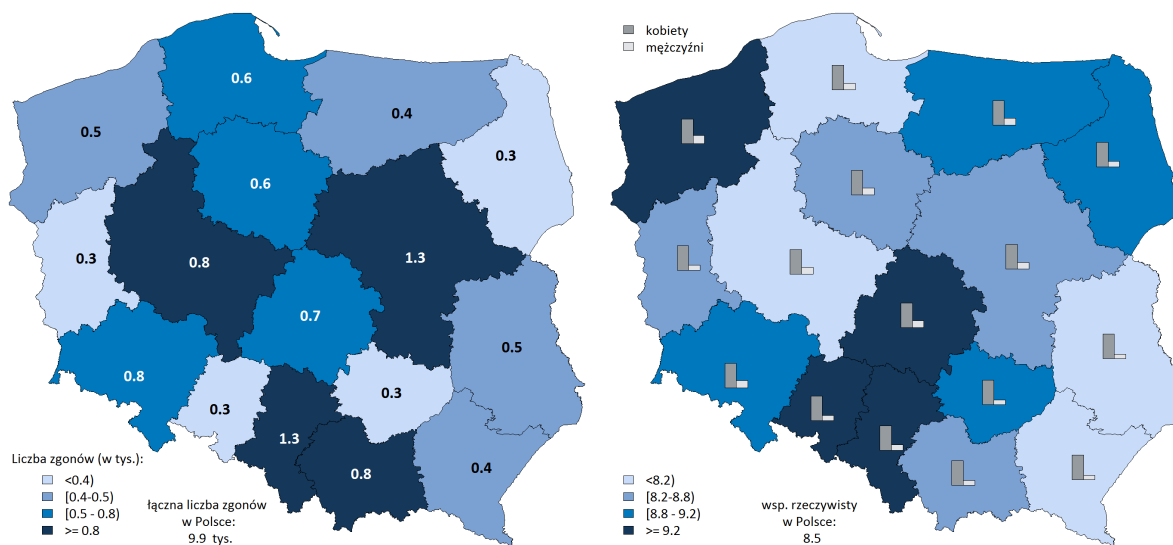
Źródło: opracowanie własne na podstawie danych NIZP-PZH.

Wykres 16: Zgony spowodowane przez nowotwory złośliwe gruczołu krokowego (prostaty)(C61)(2011–2013)



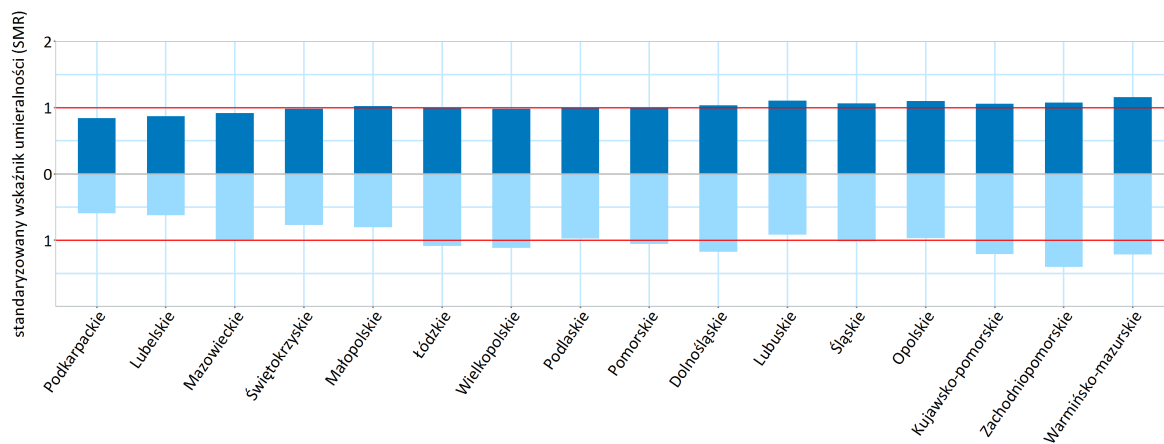
Źródło: opracowanie własne na podstawie danych NIZP-PZH.

Wykres 17: Zgony spowodowane przez nowotwory złośliwe pęcherza moczowego (C67)(2011–2013)



różnica względem wartości wskaźnika dla województw:

■ większa wartość w Polsce ■ większa wartość w województwie ■ wartość dla Polski

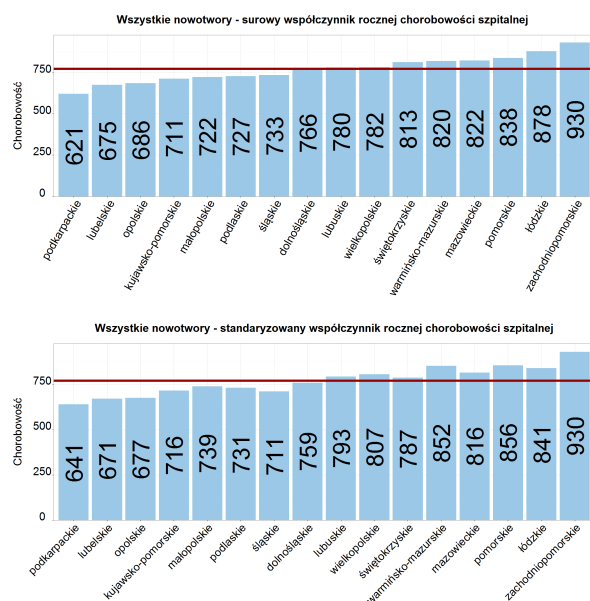


■ kobiety ■ mężczyźni ■ wartość dla Polski

Źródło: opracowanie własne na podstawie danych NIZP-PZH.

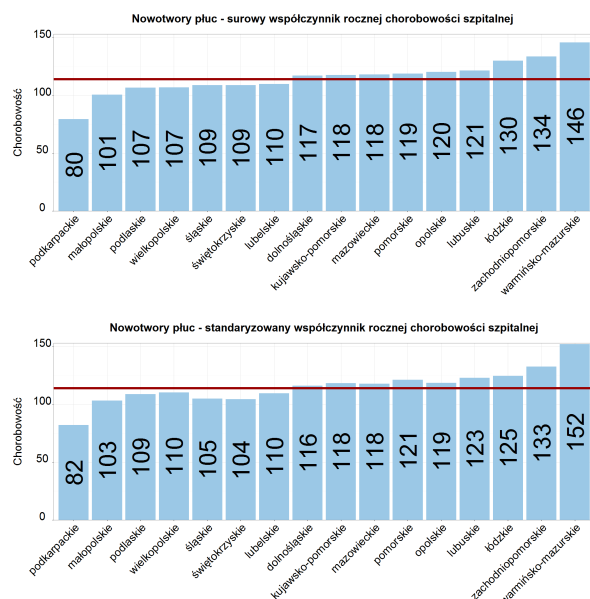
1.3 Współczynnik chorobowości szpitalnej – nowotwory złośliwe

Wykres 18: Współczynnik rocznej chorobowości szpitalnej - wszystkie nowotwory złośliwe (2012)w Polsce



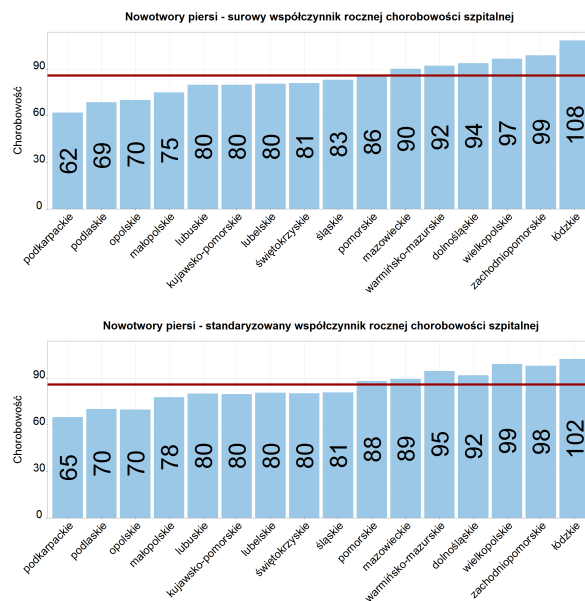
Źródło: opracowanie DAiS na podstawie danych z NFZ i GUS.

Wykres 19: Współczynnik rocznej chorobowości szpitalnej - nowotwory złośliwe płuc (2012)



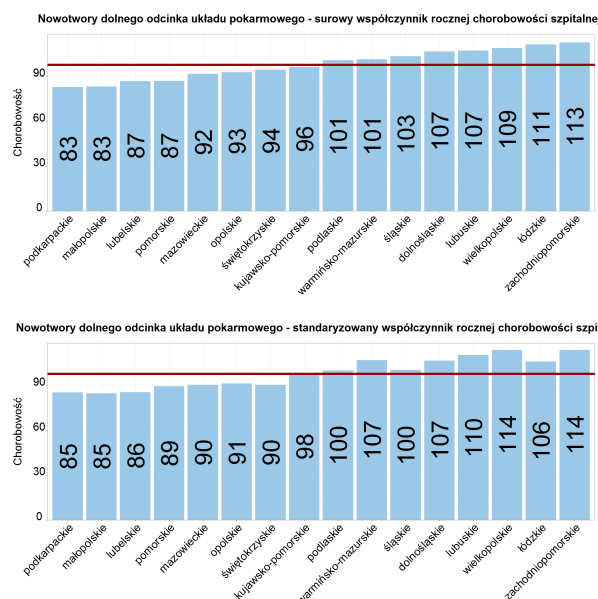
Źródło: opracowanie DAiS na podstawie danych z NFZ i GUS.

Wykres 20: Współczynnik rocznej chorobowości szpitalnej - nowotwory złośliwe piersi (2012)



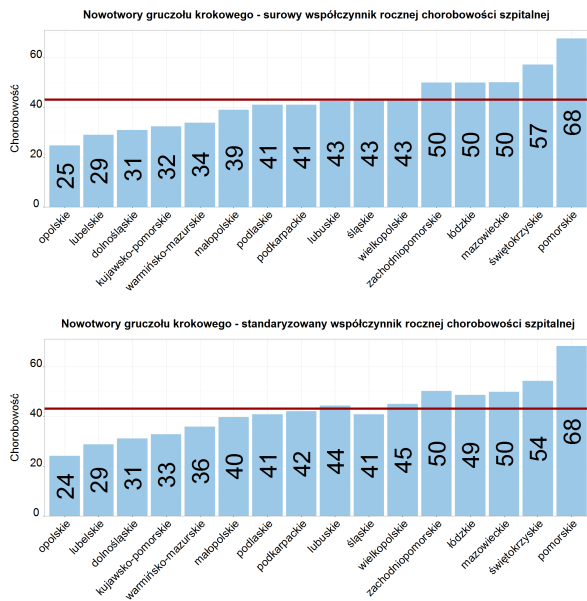
Źródło: opracowanie DAiS na podstawie danych z NFZ i GUS.

Wykres 21: Współczynnik rocznej chorobowości szpitalnej - nowotwory złośliwe dolnego odcinka układu pokarmowego (2012)



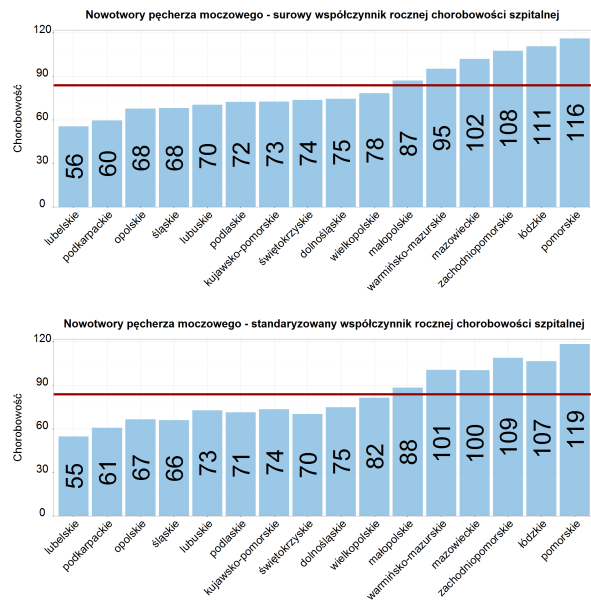
Źródło: opracowanie DAiS na podstawie danych z NFZ i GUS.

Wykres 22: Współczynnik rocznej chorobowości szpitalnej - nowotwory złośliwe gruczołu krokowego (2012)



Źródło: opracowanie DAiS na podstawie danych z NFZ i GUS.

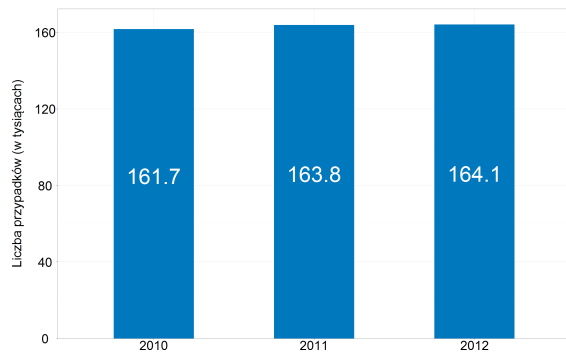
Wykres 23: Współczynnik rocznej chorobowości szpitalnej - nowotwory złośliwe pęcherza moczowego (2012)



Źródło: opracowanie DAiS na podstawie danych z NFZ i GUS.

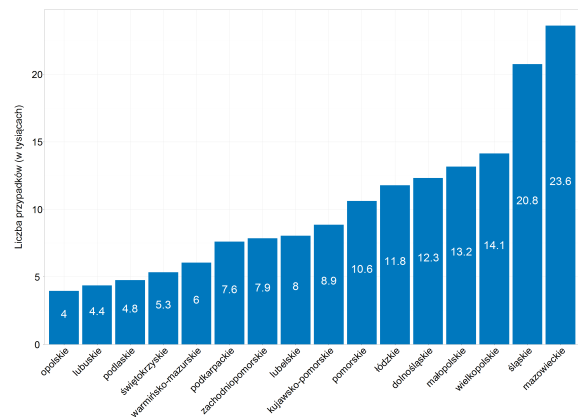
1.4 Zachorowania na nowotwory złośliwe

Wykres 24: Zachorowania na nowotwory złośliwe w Polsce - z uwzględnieniem D05 oraz z wyłączeniem C44, C81-C96 wg ICD10 (2010-2012)



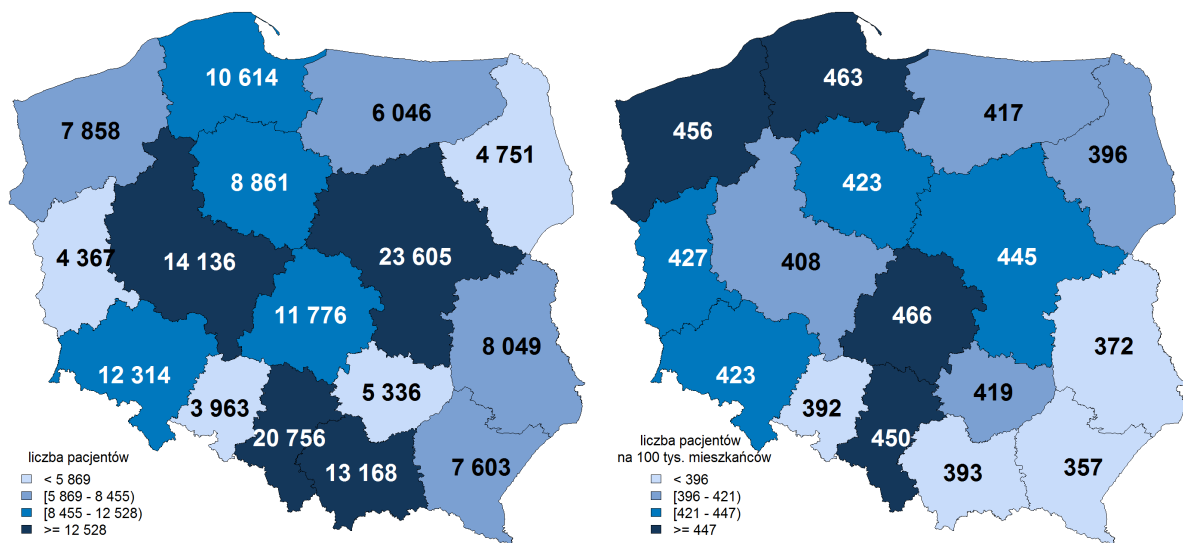
Źródło: opracowanie DAiS na podstawie bazy KRn, NFZ.

Wykres 25: Nowi pacjenci onkologiczni wg województw - z uwzględnieniem D05 oraz z wyłączeniem C44, C81-C96 wg ICD10 (2012)



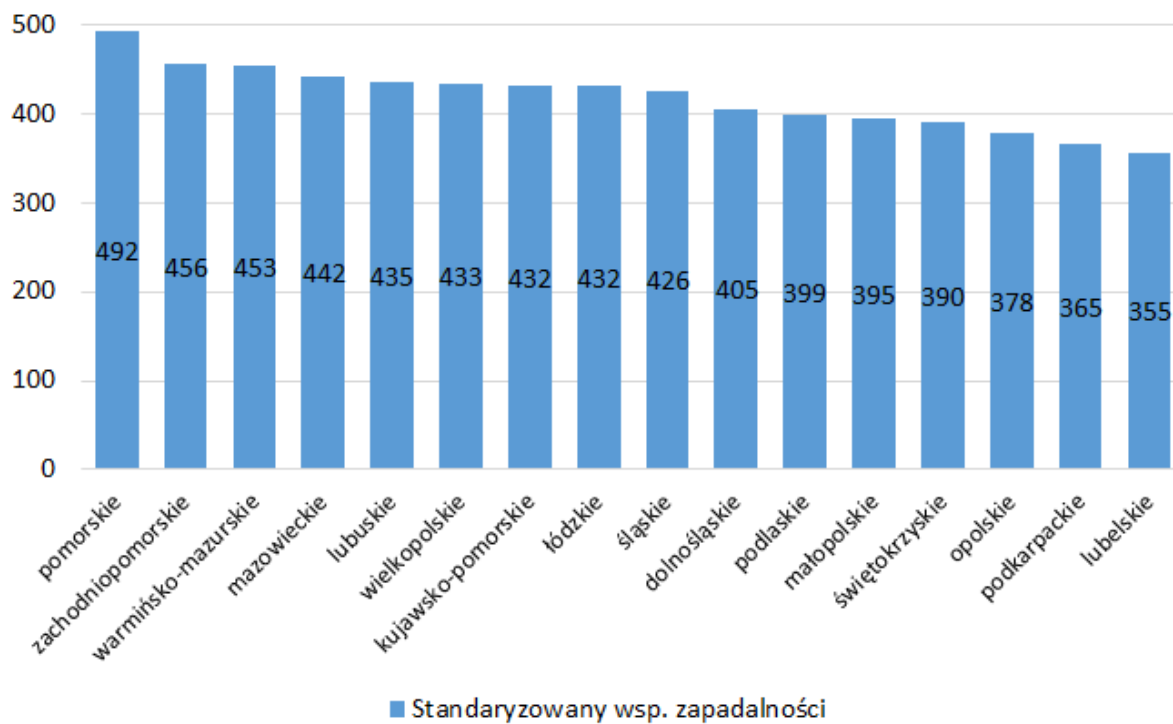
Źródło: opracowanie DAiS na podstawie bazy KRn, NFZ.

Wykres 26: Pacjenci, u których rozpoznano nowotwór złośliwy po raz pierwszy (dalej: nowi pacjenci onkologiczni) wg województw - z uwzględnieniem D05 oraz z wyłączeniem C44, C81-C96 wg ICD10 (2010-2012)



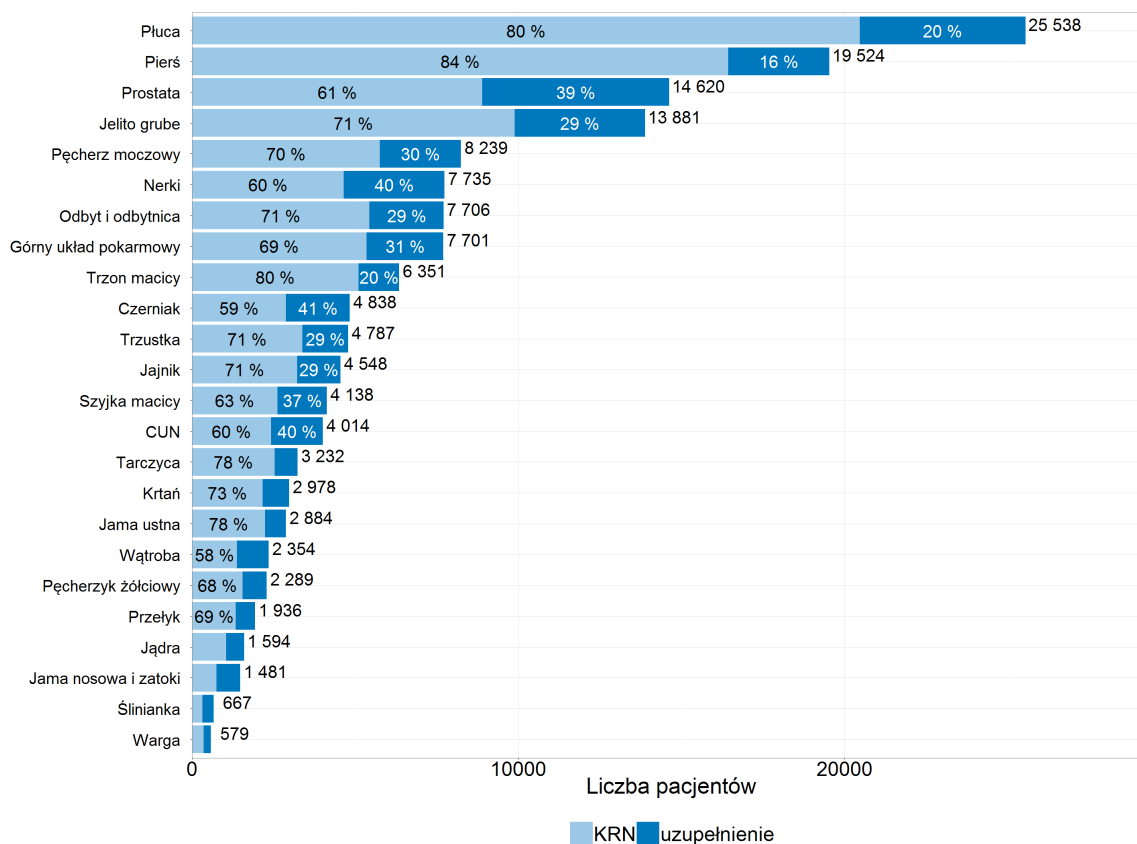
Źródło: opracowanie DAiS na podstawie bazy KRn, NFZ.

Wykres 27: Standaryzowany względem wieku współczynnik zapadalności na nowotwory ogółem (2012)



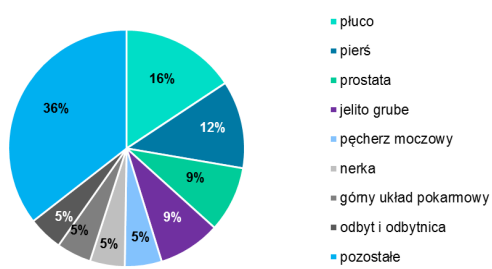
Źródło: opracowanie DAiS na podstawie bazy KRN, NFZ.

Wykres 28: Łączna zachorowalność na nowotwory złośliwe w Polsce wg typu nowotworu określona na podstawie danych KRN uzupełnionych o sprawozdawczość NFZ (2012)



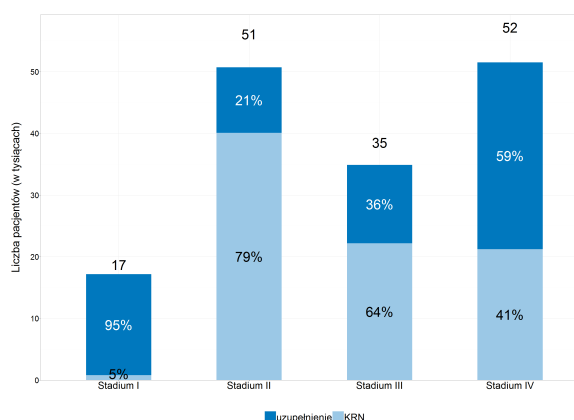
Źródło: opracowanie DAiS na podstawie bazy KRN, NFZ.

Wykres 29: Udział poszczególnych grup nowotworów w strukturze zachorowań na nowotwory złośliwe (2012)



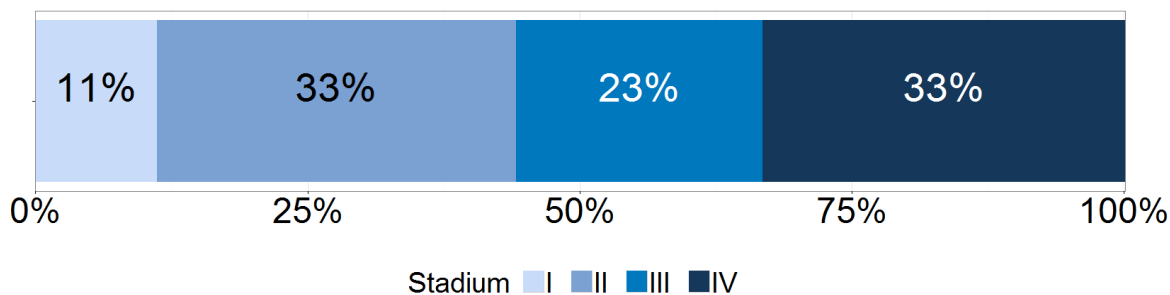
Źródło: opracowanie DAiS na podstawie bazy KRN, NFZ.

Wykres 30: Rozkład nowych przypadków nowotworów złośliwych wg podziału na stadium zaawansowania choroby (dalej: stadium) (2012)



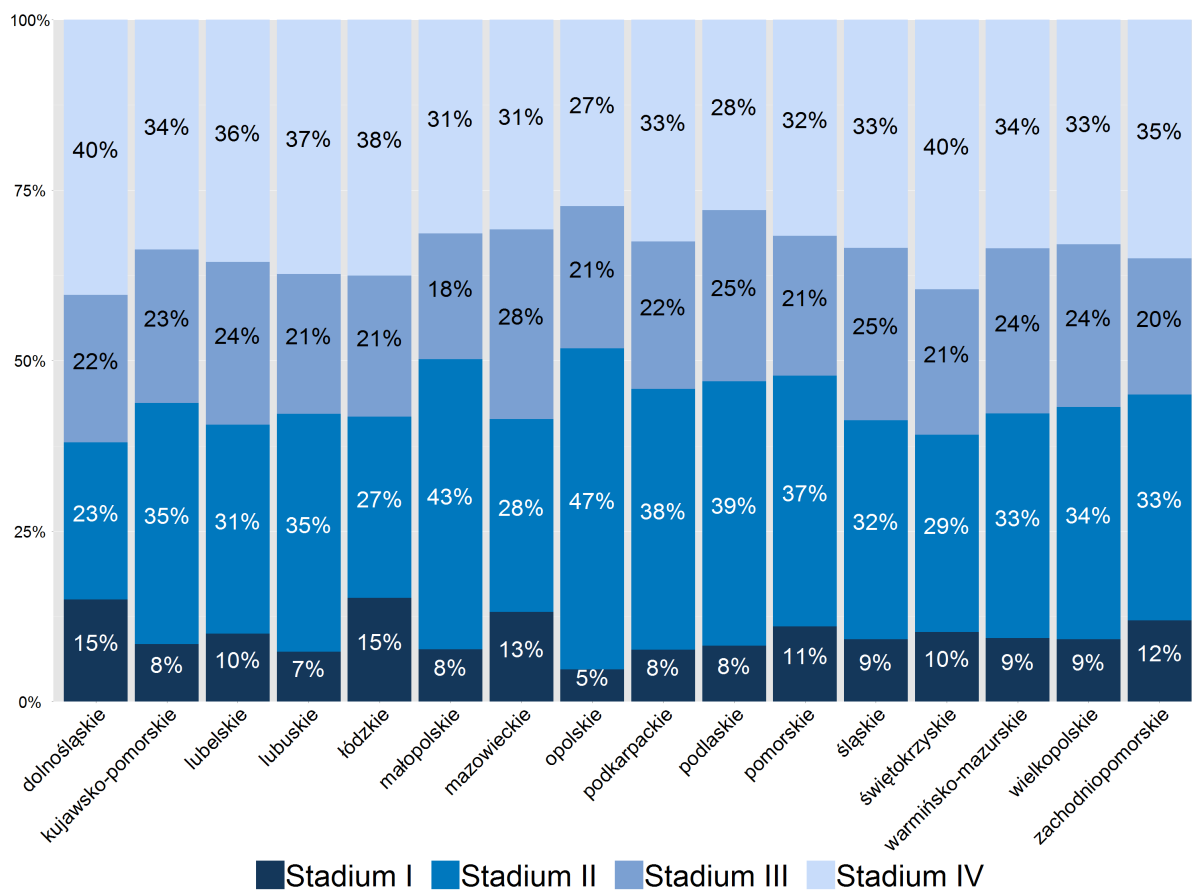
Źródło: opracowanie DAiS na podstawie bazy KRN, NFZ.

Wykres 31: Procentowy rozkład nowych przypadków nowotworów złośliwych wg podziału na stadia zaawansowania choroby (dalej: stadium) (2012)



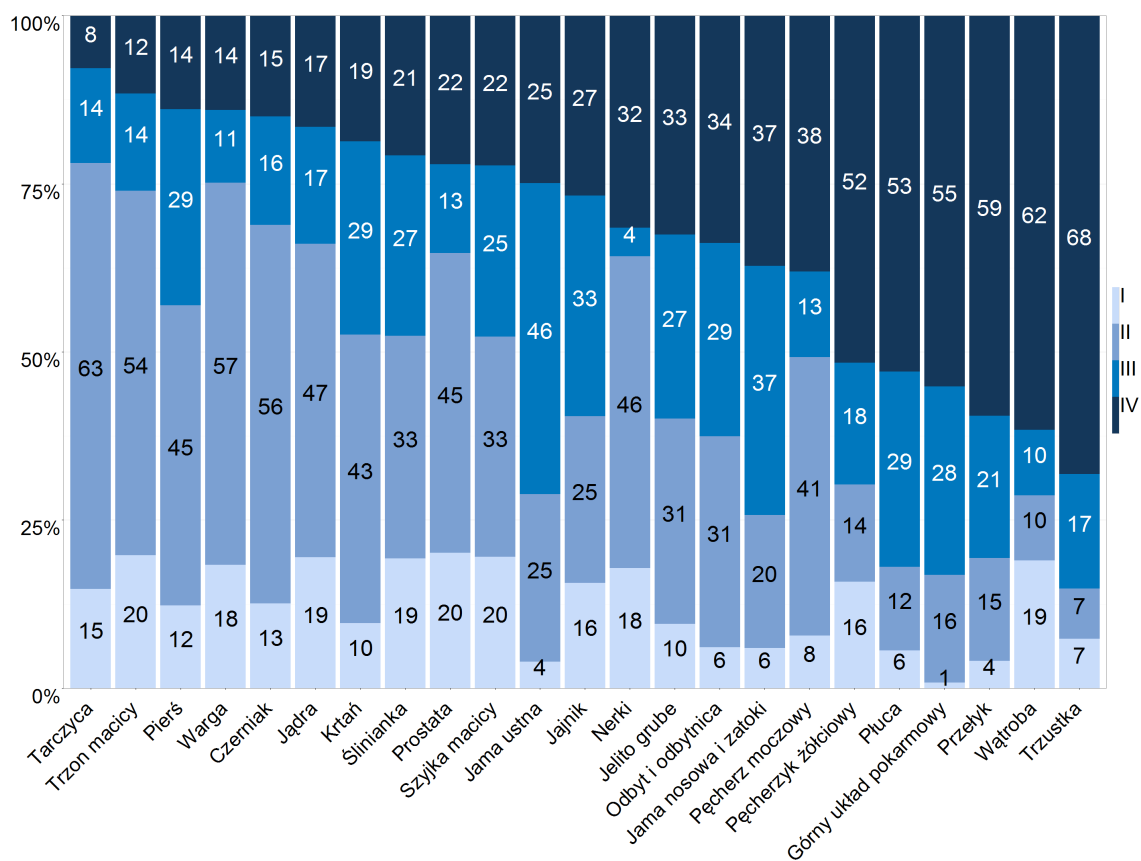
Źródło: opracowanie DAiS na podstawie bazy KRN, NFZ.

Wykres 32: Struktura zachorowań w podziale na stadium rozwoju nowotworu wg województw (2012)



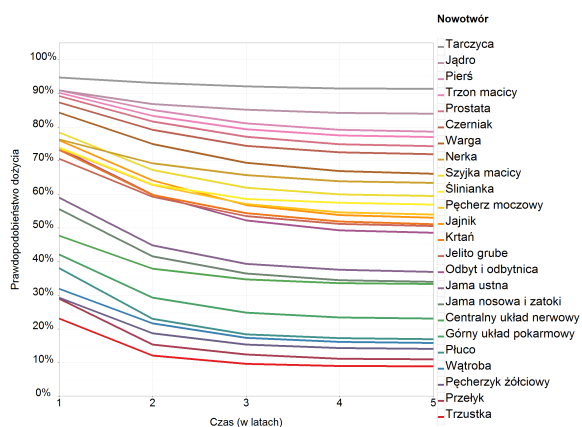
Źródło: opracowanie DAiS na podstawie bazy KRN, NFZ.

Wykres 33: Rozkład stadium wg grup nowotworów



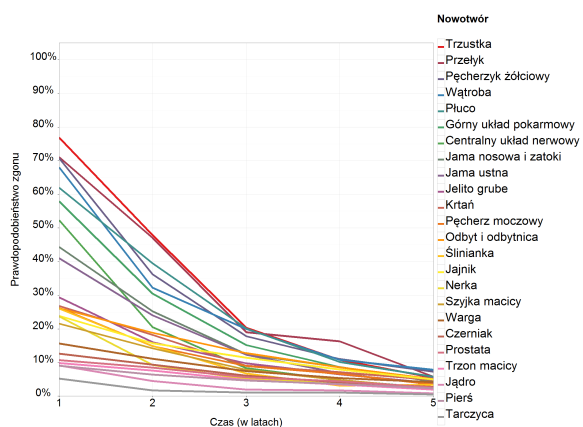
Źródło: opracowanie DAiS na podstawie bazy KRN, NFZ.

Wykres 34: Bezwarunkowe krzywe przeżycia pacjentów onkologicznych



Źródło: opracowanie DAiS na podstawie bazy KRN, NFZ.

Wykres 35: Ryzyko zgonu pacjentów z rozpoznaniem nowotworu złośliwego



Źródło: opracowanie DAiS na podstawie bazy KRN, NFZ.

Tabela 1: Prawdopodobieństwo przeżycia

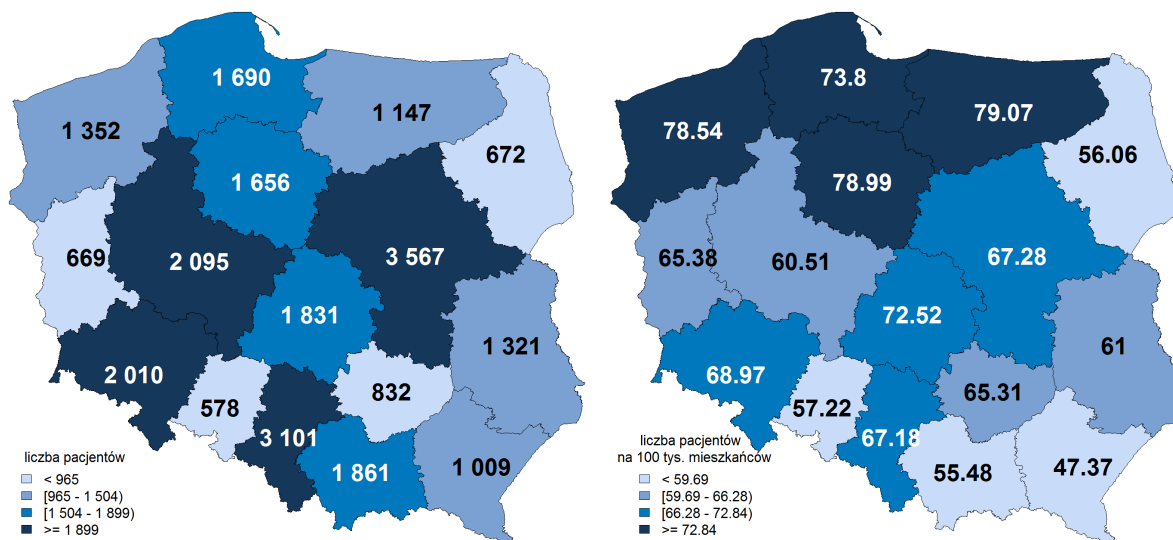
Grupa nowotworu	Grupy wg ICD-10	Pacjenci zdiagnozowani w latach 2010-2012 (źródło: dane KRN i NFZ)		Pacjenci zdiagnozowani w latach 2000-2002 (źródło: publikacja KRN)	
		Bezwarunkowe prawdopodobieństwo przeżycia 1 roku	Bezwarunkowe prawdopodobieństwo przeżycia 5 lat	Bezwarunkowe prawdopodobieństwo przeżycia 1 roku	Bezwarunkowe prawdopodobieństwo przeżycia 5 lat
Warga	C00	0,84	0,66		
Jama ustna	C01, C02, C03, C04, C05, C06, C09, C10, C14	0,59	0,37		
Ślinianka	C07, C08	0,74	0,57		
Jama nosowa i zatoki	C11, C12, C13, C30, C31	0,56	0,34		
Przełyk	C15	0,29	0,11	0,27	0,05
Górny układ pokarmowy	C16, C26	0,42	0,23	0,35 (C16)	0,13 (C16)
Jelito grube	C18, C19	0,71	0,51	0,67	0,36
Odbyt i odbytnica	C20, C21	0,74	0,49		
Wątroba	C22	0,32	0,16	0,23	0,08
Pęcherzyk żółciowy	C23, C24	0,29	0,14	0,21 (C23)	0,07 (C23)
Trzustka	C25	0,23	0,09		
Krtani	C32	0,73	0,51	0,76	0,45
Płuco	C33, C34	0,38	0,17	0,35	0,10
Czerniak	C43	0,87	0,72	0,82	0,61
Piersś	C50, D05	0,91	0,79	0,91 (C50)	0,69 (C50)
Szyjka macicy	C53	0,78	0,60	0,80	0,51
Trzon macicy	C54	0,90	0,77	0,89	0,70
Jajnik	C56	0,76	0,53	0,71	0,39
Prostata	C61	0,89	0,74	0,80	0,48
Jądro	C62	0,91	0,84	0,93	0,85
Nerka	C64, C65, C66	0,76	0,63	0,69 (C64, C65)	0,46 (C64, C65)
Pęcherz moczowy	C67	0,74	0,54	0,74	0,46
Centralny układ nerwowy	C70, C71, C72	0,48	0,33	0,45 (C71)	0,23 (C71)
Tarczycyca	C73	0,95	0,91	0,90	0,83

Źródło: opracowanie DAiS na podstawie bazy KRN, NFZ,

Ditkowska, J., Wojciechowska, U., Zatoński, W., Wskaźniki przeżyć chorych na nowotwory złośliwe w Polsce zdiagnozowanych w latach 2000-2002, Warszawa 2009

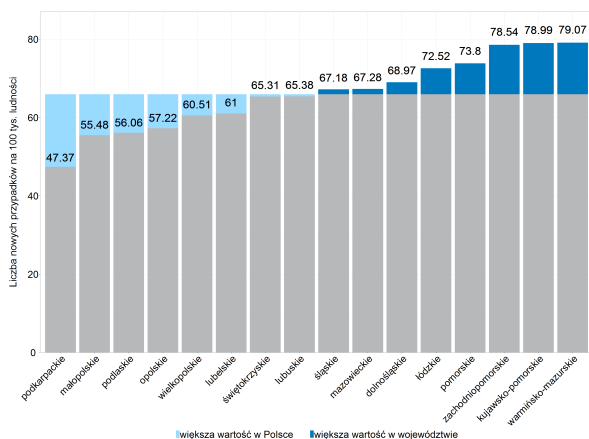
Nowotwory złośliwe tchawicy, oskrzela i płuca (C33, C34)

Wykres 36: Nowe przypadki nowotworów złośliwych tchawicy, oskrzela i płuc – C33,C3 w Polsce (2012)



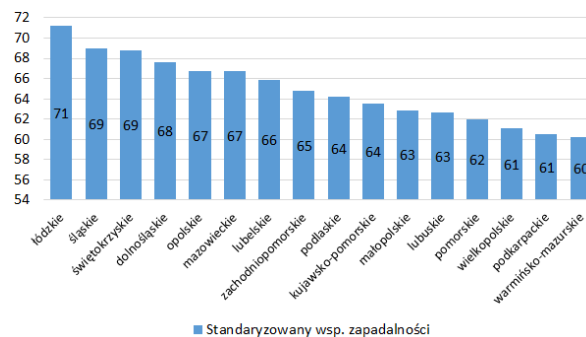
Źródło: opracowanie DAiS na podstawie bazy KRN, NFZ.

Wykres 37: Liczba nowych przypadków nowotworów złośliwych płuc na 100 tys. ludności w Polsce (2012)



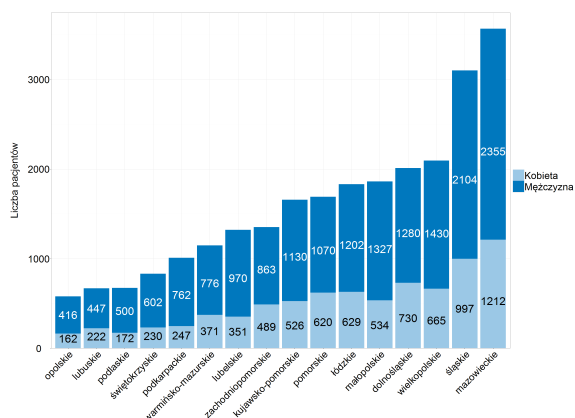
Źródło: opracowanie DAiS na podstawie bazy KRN, NFZ.

Wykres 38: Standaryzowany względem wieku współczynnik zapadalności na nowotwory złośliwe płuc (2012)



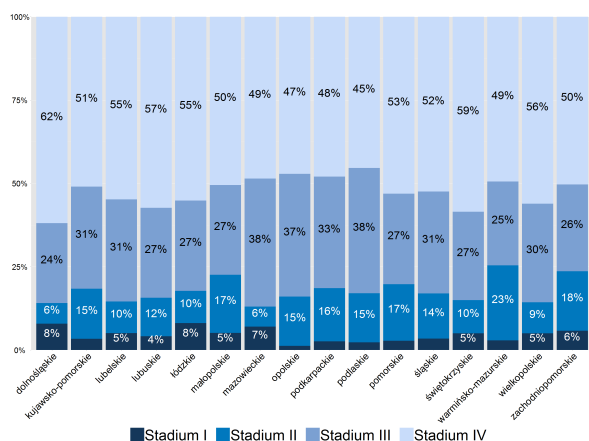
Źródło: opracowanie DAiS na podstawie bazy KRN, NFZ.

Wykres 39: Liczba nowych przypadków nowotworów złośliwych płuc w województwach w podziale na płeć (2012)



Źródło: opracowanie DAiS na podstawie bazy KRN, NFZ.

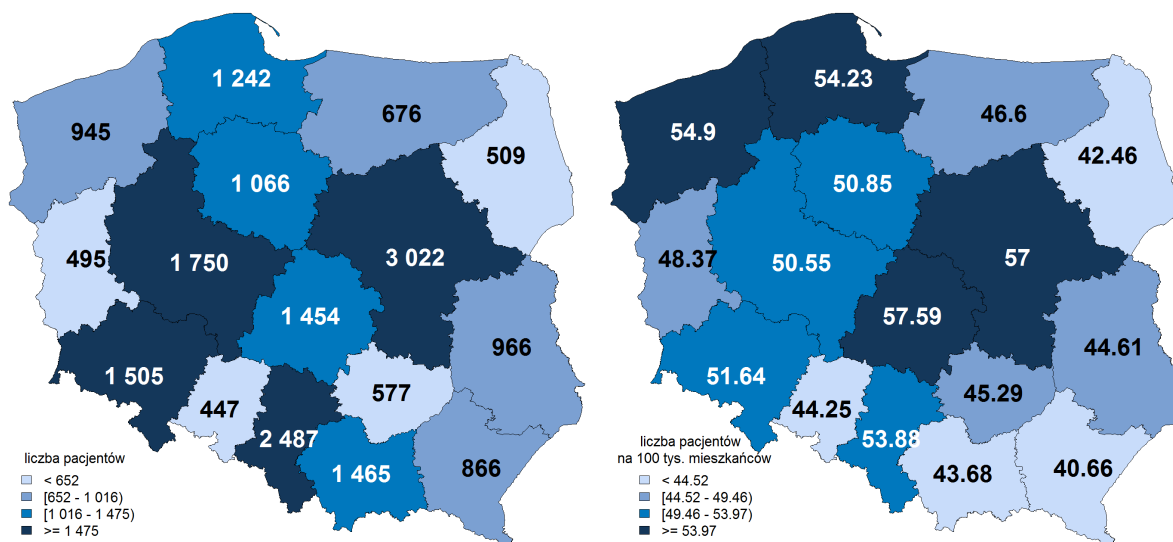
Wykres 40: Struktura zachorowań w podziale na stadium rozwoju nowotworu płuca wg województw (2012)



Źródło: opracowanie DAiS na podstawie bazy KRN, NFZ.

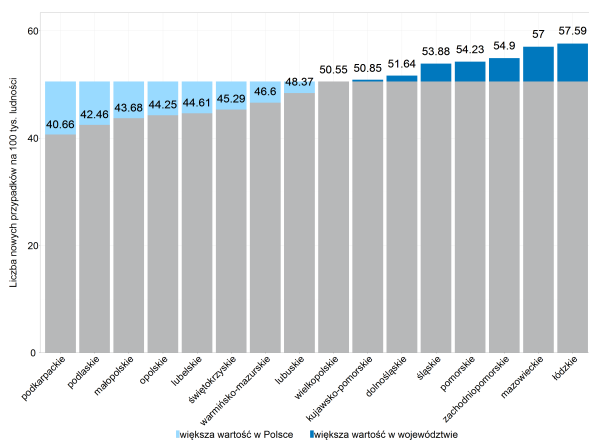
Nowotwory złośliwe piersi (C50, D05)

Wykres 41: Nowe przypadki nowotworów złośliwych piersi – C50, D05 w Polsce (2012)



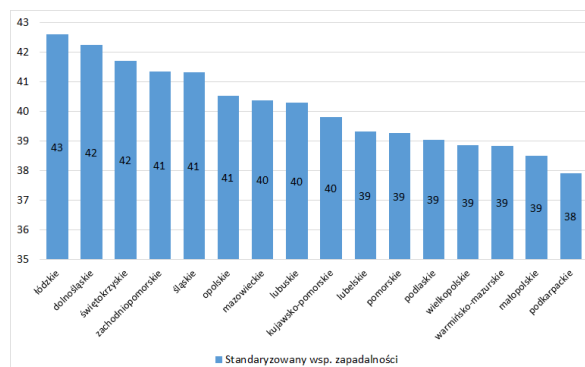
Źródło: opracowanie DAiS na podstawie bazy KRN, NFZ.

Wykres 42: Liczba nowych przypadków nowotworów złośliwych piersi na 100 tys. ludności w 2012 r. w Polsce



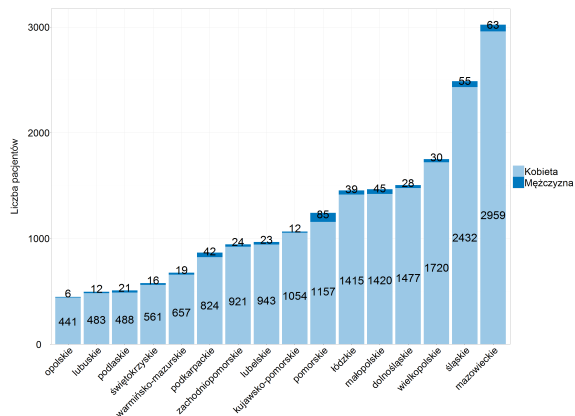
Źródło: opracowanie DAiS na podstawie bazy KRN, NFZ.

Wykres 43: Standaryzowany względem wieku współczynnik zapadalności na nowotwory złośliwe piersi (2012)



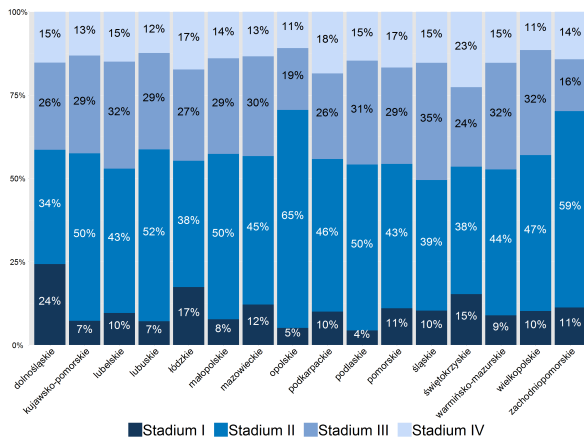
Źródło: opracowanie DAiS na podstawie bazy KRN, NFZ.

Wykres 44: Liczba nowych przypadków nowotworów złośliwych piersi w województwach w podziale na płeć (2012)



Źródło: opracowanie DAiS na podstawie bazy KRN, NFZ.

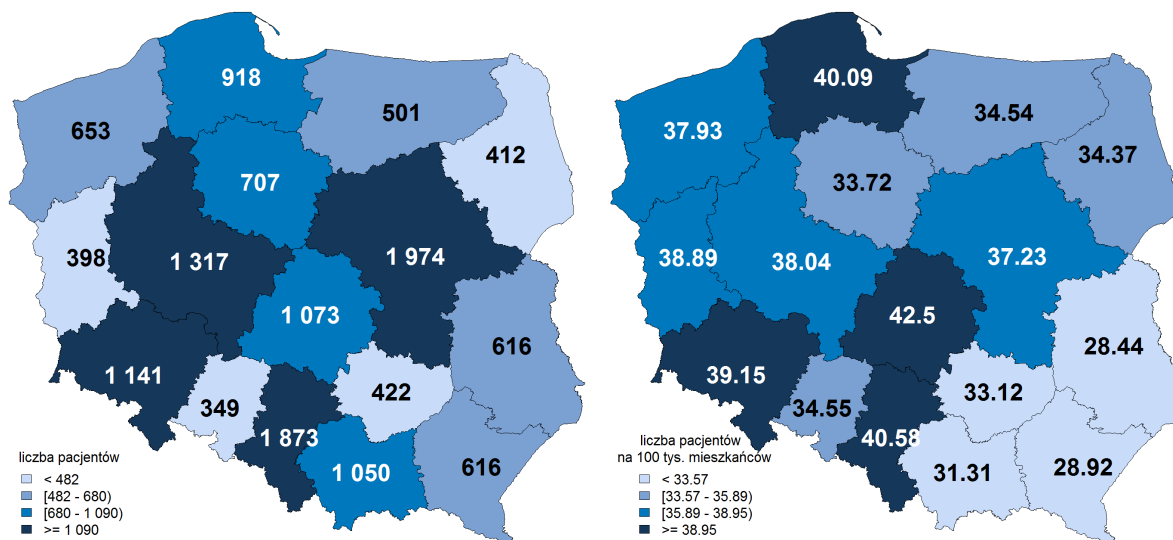
Wykres 45: Struktura zachorowań w podziale na stadium rozwoju nowotworu piersi wg województw (2012)



Źródło: opracowanie DAiS na podstawie bazy KRN, NFZ.

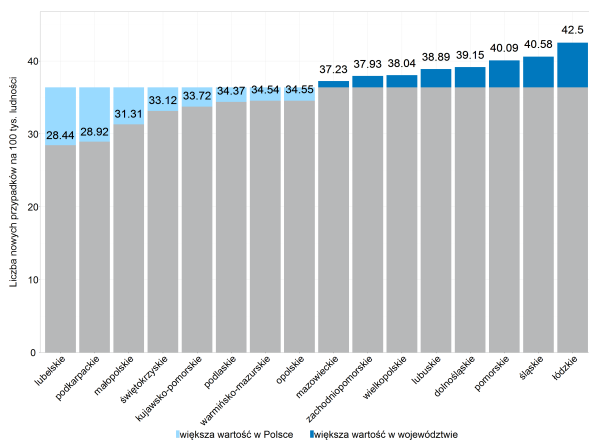
Nowotwory złośliwe jelita grubego (C18, C19)

Wykres 46: Nowe przypadki nowotworów złośliwych jelita grubego – C18, C19 w Polsce (2012)



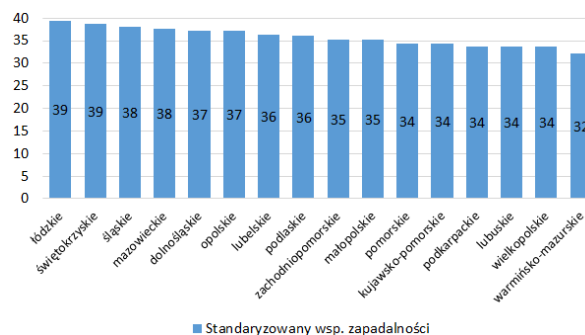
Źródło: opracowanie DAiS na podstawie bazy KRN, NFZ.

Wykres 47: Liczba nowych przypadków nowotworów złośliwych jelita grubego na 100 tys. ludności (2012)



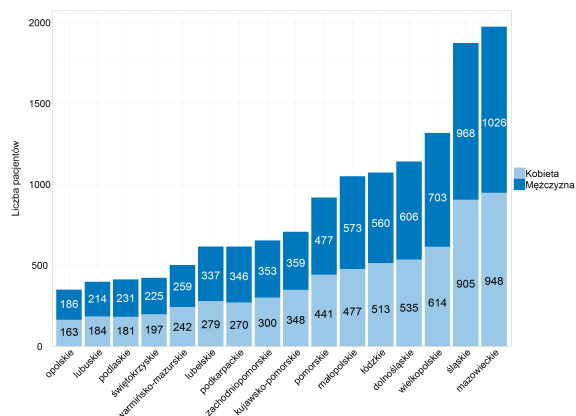
Źródło: opracowanie DAiS na podstawie bazy KRN, NFZ.

Wykres 48: Standaryzowany względem wieku współczynnik zapadalności na nowotwory złośliwe jelita grubego (2012)



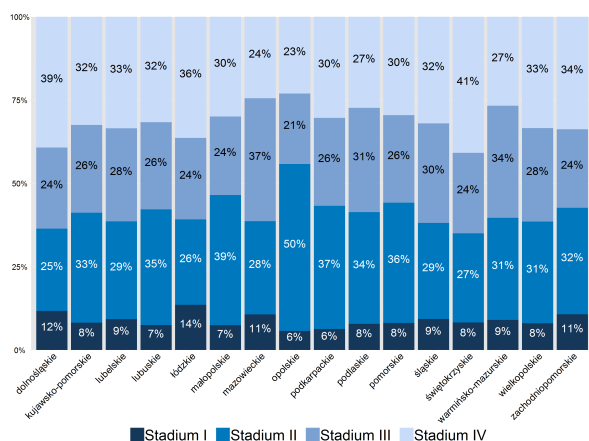
Źródło: opracowanie DAiS na podstawie bazy KRN, NFZ.

Wykres 49: Liczba nowych przypadków nowotworów złośliwych jelita grubego w województwach w podziale na płeć (2012)



Źródło: opracowanie DAiS na podstawie bazy KRN, NFZ.

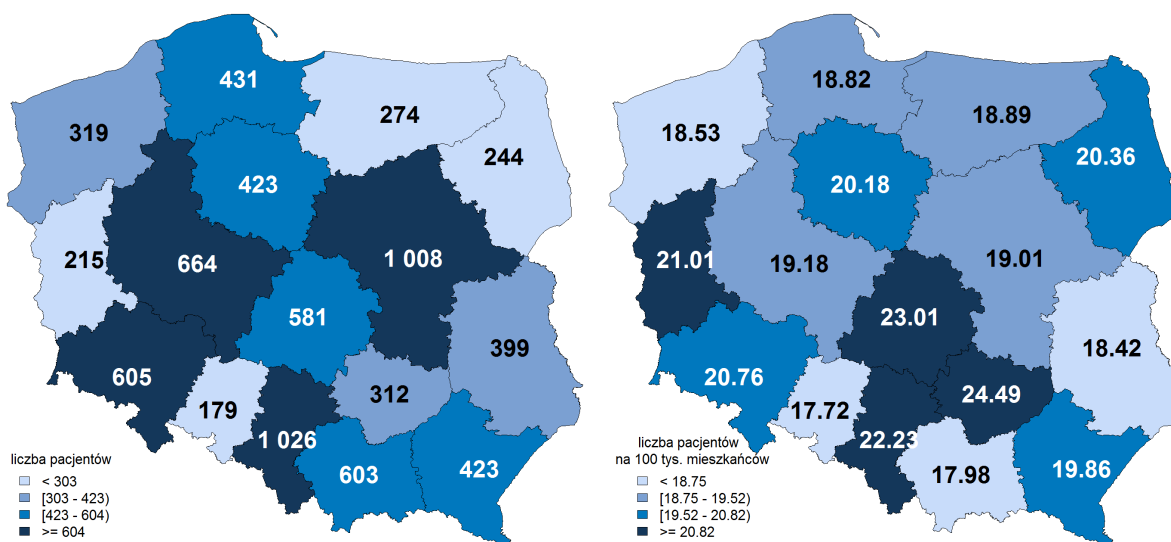
Wykres 50: Struktura zachorowań w podziale na stadium rozwoju nowotworu jelita grubego wg województw (2012)



Źródło: opracowanie DAiS na podstawie bazy KRN, NFZ.

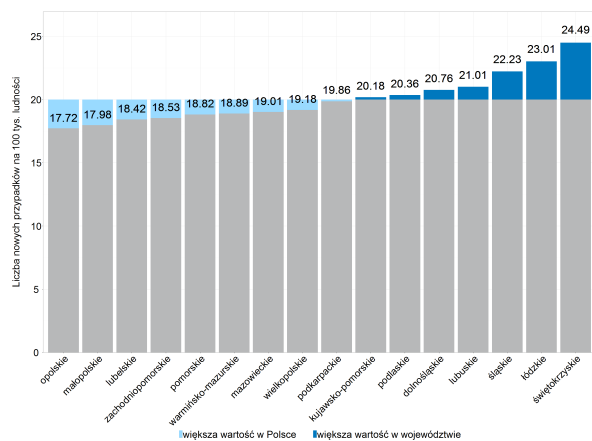
Nowotwory złośliwe odbytnicy i odbytu (C20, C21)

Wykres 51: Nowe przypadki nowotworów złośliwych odbytnicy i odbytu – C20, C21 (2012)



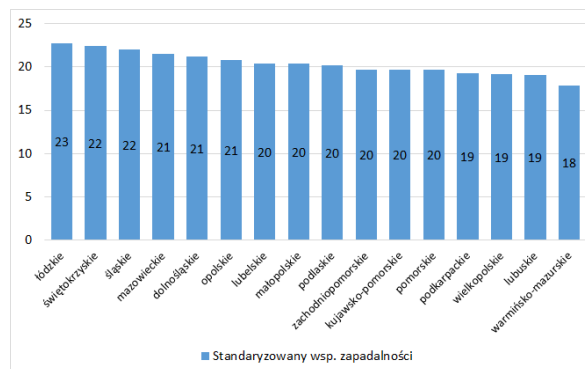
Źródło: opracowanie DAiS na podstawie bazy KRN, NFZ.

Wykres 52: Liczba nowych przypadków nowotworów złośliwych odbytnicy i odbytu na 100 tys. ludności (2012)



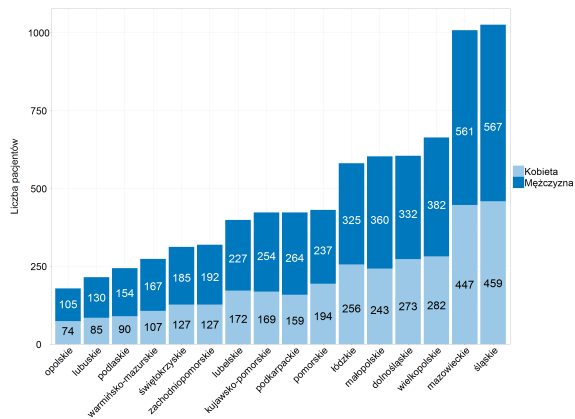
Źródło: opracowanie DAiS na podstawie bazy KRN, NFZ.

Wykres 53: Standardyzowany względem wieku współczynnik zapadalności na nowotwory złośliwe odbytnicy i odbytu (2012)



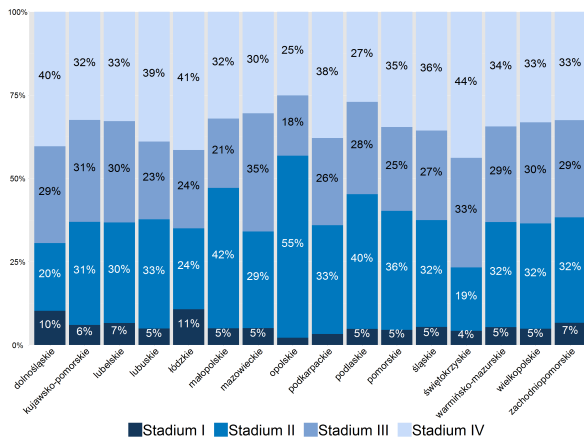
Źródło: opracowanie DAiS na podstawie bazy KRN, NFZ.

Wykres 54: Liczba nowych przypadków nowotworów złośliwych odbyticy i odbytu w województwach w podziale na płeć (2012)



Źródło: opracowanie DAiS na podstawie bazy KRN, NFZ.

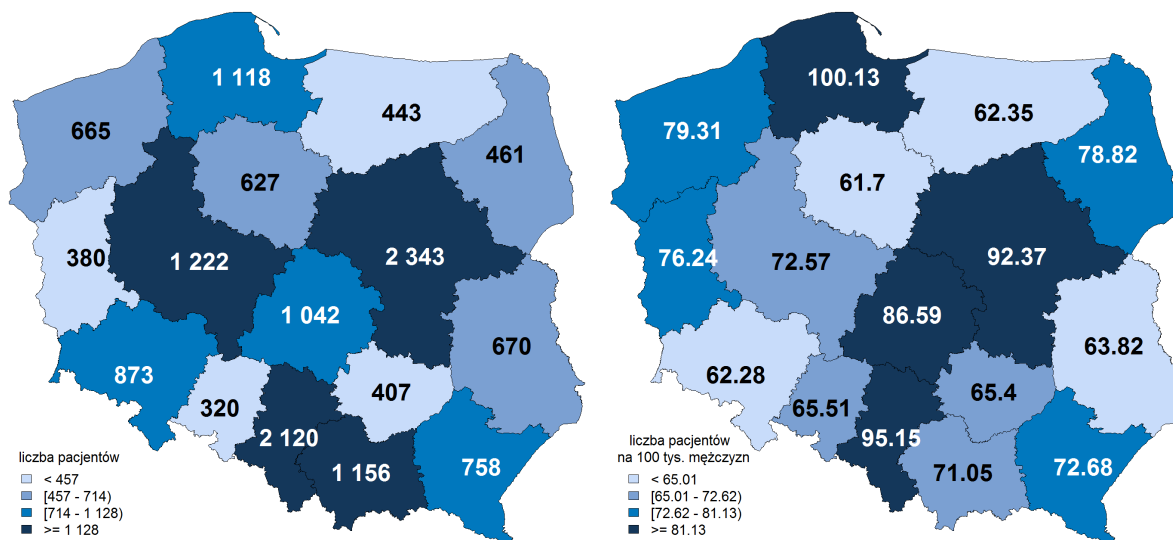
Wykres 55: Struktura zachorowań w podziale na stadium rozwoju nowotworu odbyticy i odbytu wg województw (2012)



Źródło: opracowanie DAiS na podstawie bazy KRN, NFZ.

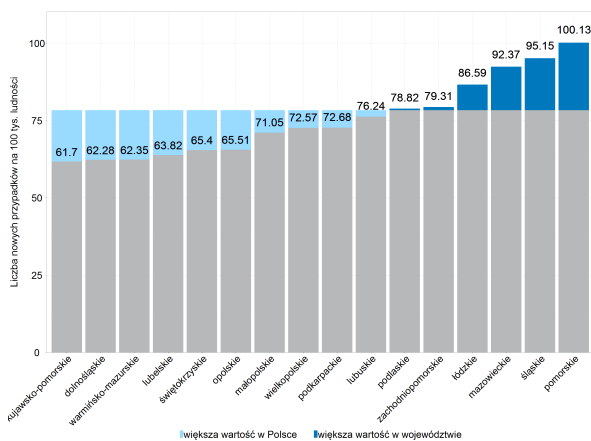
Nowotwór złośliwy gruczołu krokowego (C61)

Wykres 56: Nowe przypadki nowotworu złośliwego gruczołu krokowego – C61 w Polsce (2012)



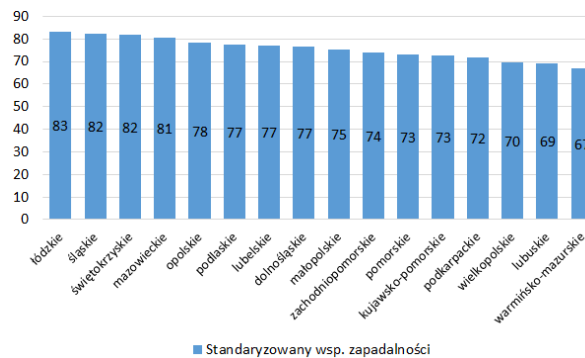
Źródło: opracowanie DAiS na podstawie bazy KRn, NFZ.

Wykres 57: Liczba nowych przypadków nowotworu złośliwego gruczołu krokowego na 100 tys. ludności w Polsce (2012)



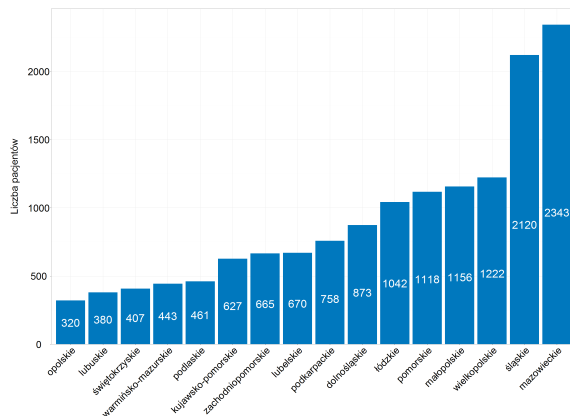
Źródło: opracowanie DAiS na podstawie bazy KRn, NFZ.

Wykres 58: Standaryzowany względem wieku współczynnik zapadalności na nowotwory złośliwe gruczołu krokowego (2012)



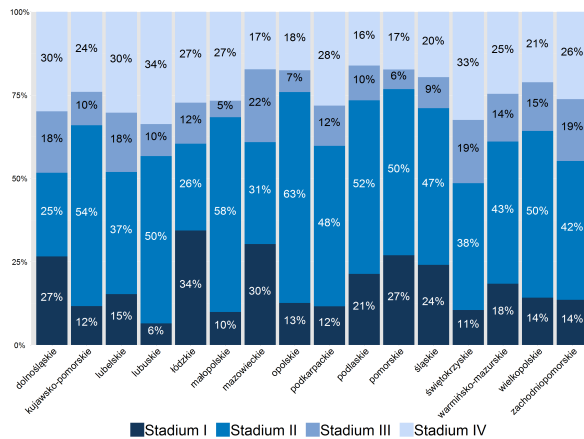
Źródło: opracowanie DAiS na podstawie bazy KRn, NFZ.

Wykres 59: Liczba nowych przypadków nowotworu złośliwego gruczołu krokowego w województwach (2012)



Źródło: opracowanie DAiS na podstawie bazy KRN, NFZ.

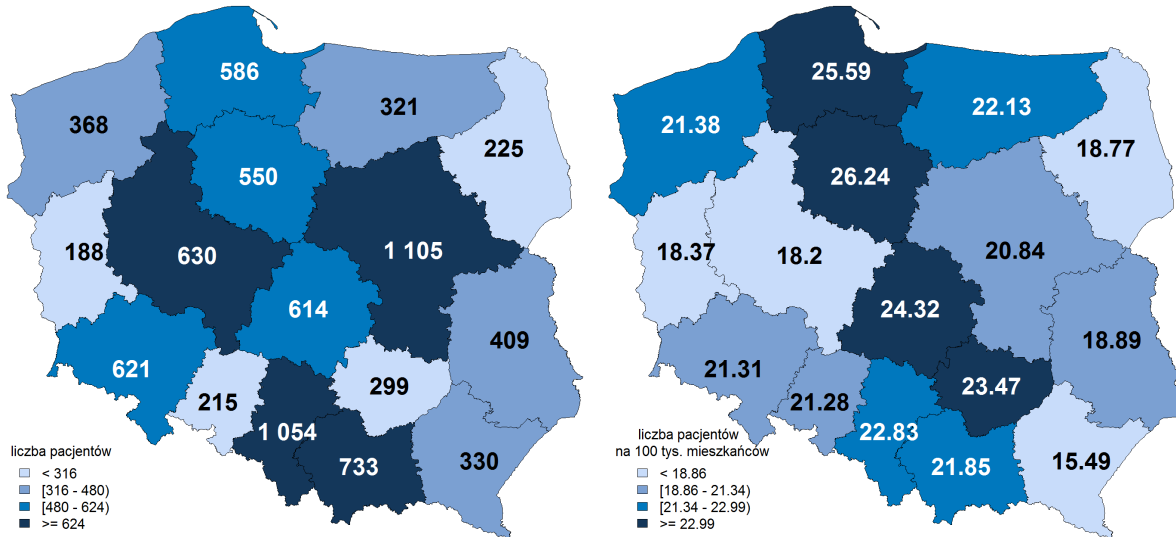
Wykres 60: Struktura zachorowań w podziale na stadium rozwoju nowotworu gruczołu krokowego wg województw (2012)



Źródło: opracowanie DAiS na podstawie bazy KRN, NFZ.

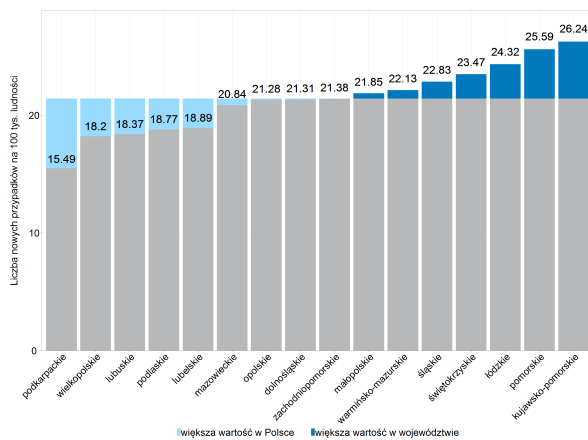
Nowotwór złośliwy pęcherza moczowego (C67)

Wykres 61: Nowe przypadki nowotworu złośliwego pęcherza moczowego – C67 (2012)



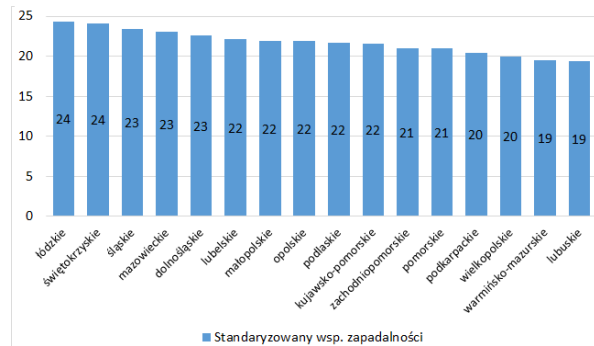
Źródło: opracowanie DAiS na podstawie bazy KRN, NFZ.

Wykres 62: Liczba nowych przypadków nowotworu złośliwego pęcherza moczowego na 100 tys. ludności w Polsce (2012)



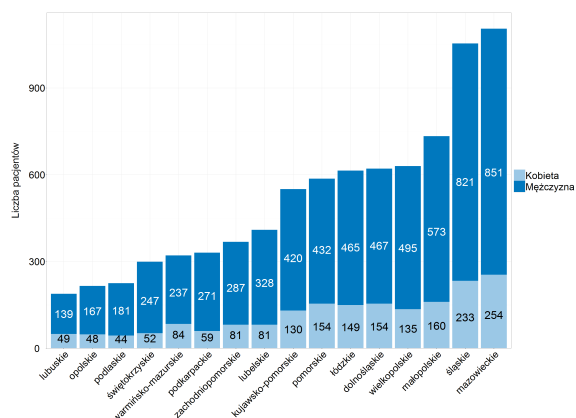
Źródło: opracowanie DAiS na podstawie bazy KRN, NFZ.

Wykres 63: Standaryzowany względem wieku współczynnik zapadalności na nowotwory złośliwe pęcherza moczowego (2012)



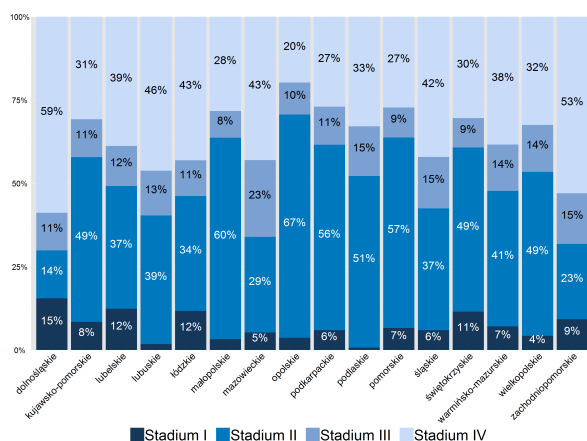
Źródło: opracowanie DAiS na podstawie bazy KRN, NFZ.

Wykres 64: Liczba nowych przypadków nowotworu złośliwego pęcherza moczowego w województwach w podziale na płeć (2012)



Źródło: opracowanie DAiS na podstawie bazy KRN, NFZ.

Wykres 65: Struktura zachorowań w podziale na stadium rozwoju nowotworu pęcherza wg województw (2012)



Źródło: opracowanie DAiS na podstawie bazy KRN, NFZ.



EFEKTYWNE DZIAŁANIE
PRZEZ MAPOWANIE
KARDIOLOGIA I ONKOLOGIA

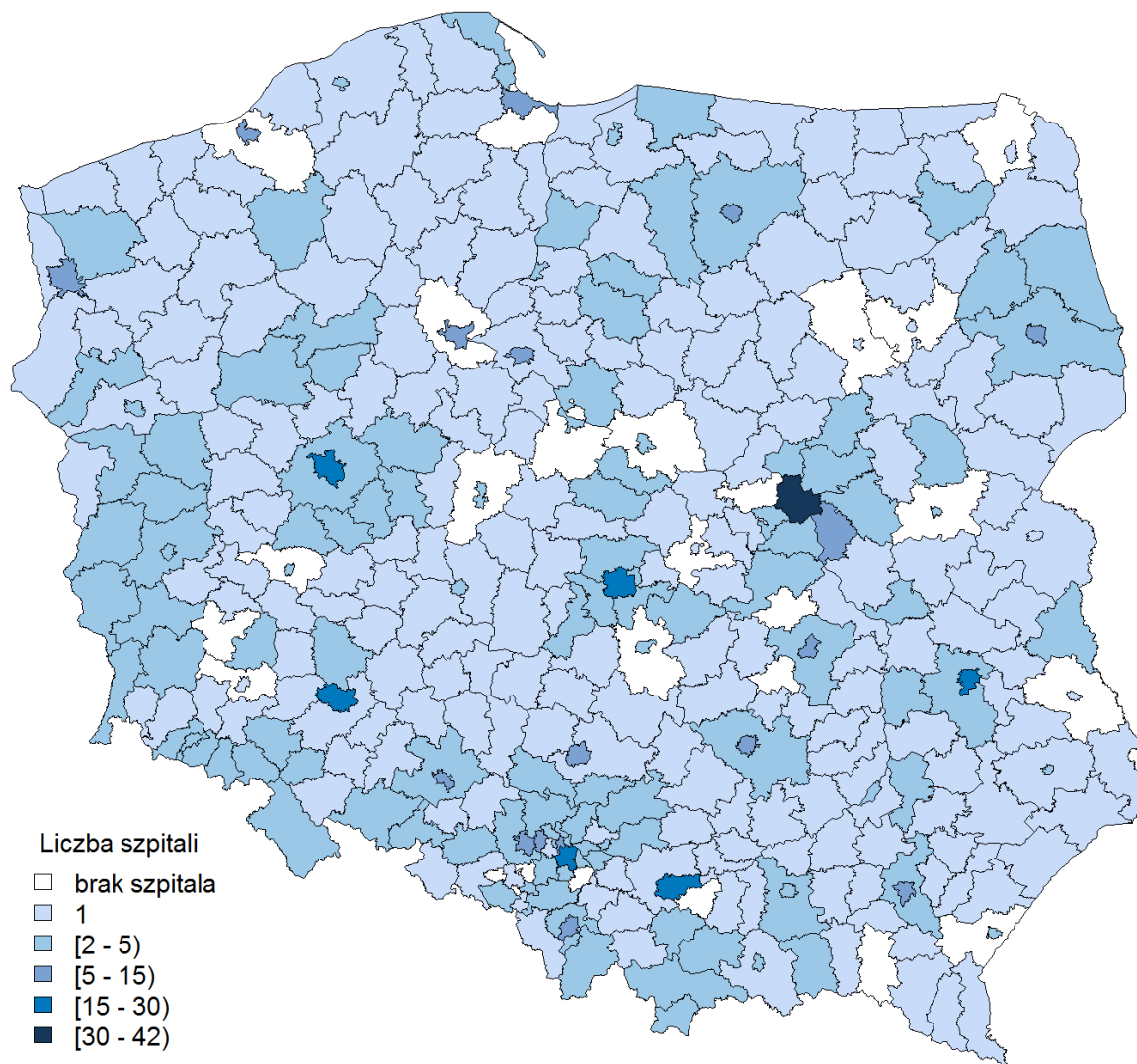


Załączniki do części II
Analiza stanu i wykorzystania zasobów

2.1 Obszar szpitalny

Świadczeniodawcy w Polsce

Wykres 66: Szpitale realizujące świadczenia onkologiczne dotyczące analizowanej grupy nowotworów (2012)



Źródło: opracowanie DAiS na podstawie bazy NFZ (2012).

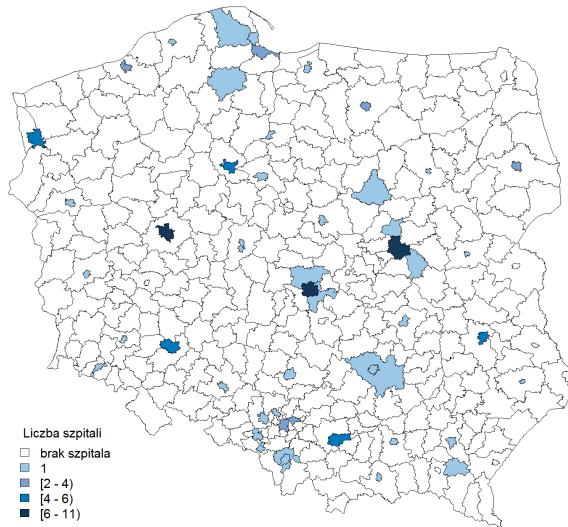
Tabela 2: Szpitale leczące łącznie około 80% pacjentów z rozpoznaniem onkologicznym (2012)

Lp.	Nazwa świadczeniodawcy	Liczba pacjentów	Procent pacjentów	Procent skumulowany
1	Centrum Onkologii - Instytut im. Marii Skłodowskiej-Curie w Warszawie	11 324	4,8%	4,8%
2	Wojewódzki Szpital Specjalistyczny im. M. Kopernika w Łodzi	6 737	2,9%	7,7%
3	Centrum Onkologii im. Prof. Franciszka Łukaszczyka w Bydgoszczy	6 377	2,7%	10,4%
4	Wielkopolskie Centrum Onkologii im. Marii Skłodowskiej-Curie w Poznaniu	5 685	2,4%	12,8%
5	Centrum Onkologii-Instytut im. Marii Skłodowskiej-Curie Oddział w Gliwicach	5 455	2,3%	15,1%
6	Świętokrzyskie Centrum Onkologii w Kielcach	4 899	2,1%	17,2%
7	Uniwersyteckie Centrum Kliniczne w Gdańsku	4 483	1,9%	19,1%
8	Zachodniopomorskie Centrum Onkologii w Szczecinie	4 231	1,8%	20,9%
9	Szpital Centrum Onkologii - Instytut Oddziału w Krakowie	3 915	1,7%	22,6%
10	Uniwersyteckie Lecznictwo Szpitalne w Krakowie	3 910	1,7%	24,3%
11	Dolnośląskie Centrum Onkologii we Wrocławiu	3 829	1,6%	25,9%
12	Samodzielny Publiczny Zakład Opieki Zdrowotnej Ministerstwa Spraw Wewnętrznych z Warmińsko-Mazurskim Centrum Onkologii w Olsztynie	3 374	1,4%	27,3%
13	Wojskowy Instytut Medyczny w Warszawie	2 942	1,3%	28,6%
14	Centrum Onkologii Ziemi Lubelskiej im. Św. Jana z Dukli Samodzielny Publiczny Zakład Opieki Zdrowotnej	2 702	1,2%	29,7%
15	Centrum Medyczne "Zdrowie"/Mazowiecki Szpital Onkologiczny w Wieliszewie	2 674	1,1%	30,9%
16	Szpital Morski im. PCK w Gdyni	2 604	1,1%	32,0%
17	Szpital Specjalistyczny w Brzozowie Podkarpacki Ośrodek Onkologiczny im. Ks. B. Markiewicza	2 474	1,1%	33,0%
18	Wojewódzki Szpital Specjalistyczny im. Fryderyka Chopina w Rzeszowie	2 426	1,0%	34,1%
19	Białostockie Centrum Onkologii im. Marii Skłodowskiej - Curie w Białymstoku	2 388	1,0%	35,1%
20	Beskidzkie Centrum Onkologii-Szpital Miejski im. Jana Pawła II w Bielsku-Białej	2 224	0,9%	36,0%
21	Samodzielny Publiczny Centralny Szpital Kliniczny w Warszawie	2 168	0,9%	37,0%
22	Centralny Szpital Kliniczny MSW w Warszawie	2 147	0,9%	37,9%
23	Dolnośląskie Centrum Chorób Płuc we Wrocławiu	2 126	0,9%	38,8%
24	Instytut Gruźlicy i Chorób Płuc w Warszawie	2 101	0,9%	39,7%
25	Szpital Wojewódzki im. Św. Łukasza Sp ZOZ w Tarnowie - Lecznictwo Ambulatoryjne	2 086	0,9%	40,6%
26	Samodzielny Publiczny Szpital Kliniczny nr 4 w Lublinie	2 008	0,9%	41,4%
27	Wielkopolskie Centrum Pulmonologii i Torakochirurgii im. Eugenii i Janusza Zeylandów w Poznaniu	1 992	0,8%	42,3%
28	Uniwersytecki Szpital Kliniczny im. Jana Mikulicza-Radeckiego we Wrocławiu	1 988	0,8%	43,1%
29	Samodzielny Publiczny Szpital Kliniczny nr 2 Pomorskiego Uniwersytetu Medycznego w Szczecinie	1 806	0,8%	43,9%
30	Wojewódzki Szpital Specjalistyczny im. N. M. P. w Częstochowie	1 741	0,7%	44,6%
31	Niepubliczny Zakład Opieki Zdrowotnej Magodent w Warszawie	1 726	0,7%	45,4%
32	Wojewódzki Szpital Zespolony w Elblągu	1 720	0,7%	46,1%
33	Centrum Medyczne Hcp Sp. z o.o. NZOZ Centrum Medyczne Hcp Lecznictwo Stacjonarne w Poznaniu	1 716	0,7%	46,8%
34	Szpital Wojewódzki SPZOZ w Zielonej Górze	1 690	0,7%	47,5%
35	Specjalistyczny Szpital im. Prof. Alfreda Sokołowskiego w Szczecinie	1 670	0,7%	48,3%
36	Wojewódzki Szpital Specjalistyczny im. Janusza Korczaka w Słupsku	1 656	0,7%	49,0%
37	Samodzielny Publiczny Zakład Opieki Zdrowotnej - Opolskie Centrum Onkologii im. Prof. T. Koszarowskiego w Opolu	1 652	0,7%	49,7%
38	Wojewódzki Szpital Specjalistyczny we Wrocławiu	1 641	0,7%	50,4%
39	Szpital im. Stanisława Leszczyńskiego w Katowicach	1 629	0,7%	51,1%
40	Sp ZOZ Uniwersytecki Szpital Kliniczny im. Wojskowej Akademii Medycznej UM w Łodzi - Centralny Szpital Weteranów	1 596	0,7%	51,7%
41	Samodzielny Publiczny Zakład Opieki Zdrowotnej Wojewódzki Szpital Specjalistyczny nr 3 w Rybniku	1 582	0,7%	52,4%
42	Szpital Specjalistyczny im. Ludwika Rydygiera w Krakowie - Lecznictwo Szpitalne	1 575	0,7%	53,1%
43	Wojewódzki Szpital Specjalistyczny nr 5 im. Św. Barbary w Sosnowcu	1 499	0,6%	53,7%
44	Samodzielny Publiczny Szpital Wojewódzki im. Papieża Jana Pawła II w Zamościu	1 498	0,6%	54,4%
45	Specjalistyczny Szpital im. Dra Alfreda Sokołowskiego w Wałbrzychu	1 485	0,6%	55,0%
46	Szpital Kliniczny im. Heliodora Świąćckiego Uniwersytetu Medycznego im. Karola Marcinkowskiego w Poznaniu	1 484	0,6%	55,6%
47	4 Wojskowy Szpital Kliniczny z Polikliniką Samodzielny Publiczny Zakład Opieki Zdrowotnej we Wrocławiu	1 475	0,6%	56,2%
48	Krakowski Szpital Specjalistyczny im. Jana Pawła II - Oddziały Szpitalne	1 467	0,6%	56,9%
49	Wojewódzki Szpital Zespolony w Koninie	1 446	0,6%	57,5%
50	Niepubliczny Zakład Opieki Zdrowotnej Szpital Specjalistyczny im. Prof. E. Michałowskiego w Katowicach	1 422	0,6%	58,1%
51	Szpital Kliniczny Przemienienia Pańskiego Uniwersytetu Medycznego im. Karola Marcinkowskiego w Poznaniu	1 416	0,6%	58,7%

52	Wojewódzki Szpital Specjalistyczny im. Marii Skłodowskiej - Curie w Zgierzu	1 385	0,6%	59,3%
53	Szpital Bielański im. Ks. Jerzego Popiełuszki Samodzielny Publiczny Zakład Opieki Zdrowotnej w Warszawie	1 334	0,6%	59,9%
54	Szpital Wojewódzki im. M. Kopernika w Koszalinie	1 334	0,6%	60,4%
55	Wojewódzki Szpital Zespolony im. L. Rydygiera w Toruniu	1 325	0,6%	61,0%
56	Uniwersytecki Szpital Kliniczny w Białymstoku	1 301	0,6%	61,5%
57	Wojewódzki Szpital Specjalistyczny w Radomiu	1 277	0,5%	62,1%
58	Wojewódzki Szpital Zespolony w Płocku	1 274	0,5%	62,6%
59	Szpital Kliniczny Dzieciątka Jezus w Warszawie	1 244	0,5%	63,2%
60	Wielospecjalistyczny Szpital Miejski im. Józefa Strusia z Zakładem Opiekuńczo-Lecznym. Samodzielny Publiczny Zakład Opieki Zdrowotnej z Siedzibą w Poznaniu Przy Ul. Szwajcarskiej 3	1 226	0,5%	63,7%
61	SPZOZ Wojewódzki Szpital Specjalistyczny nr 4 w Bytomiu	1 214	0,5%	64,2%
62	Wojewódzkie Centrum Szpitalne Kotliny Jeleniogórskiej	1 192	0,5%	64,7%
63	Szpital Miejski Specjalistyczny im. G. Narutowicza w Krakowie	1 178	0,5%	65,2%
64	Szpital Specjalistyczny Św. Wojciecha Samodzielny Publiczny Zakład Opieki Zdrowotnej w Gdańsku	1 178	0,5%	65,7%
65	Wojewódzki Szpital Specjalistyczny w Legnicy	1 176	0,5%	66,2%
66	Wojewódzki Szpital Specjalistyczny im. Św. Rafała w Czerwonej Górze	1 176	0,5%	66,7%
67	Wielospecjalistyczny Szpital Wojewódzki w Gorzowie Wlkp. Spółka z Ograniczoną Odpowiedzialnością	1 160	0,5%	67,2%
68	Wojewódzki Specjalistyczny Szpital im. M. Pirogowa w Łodzi	1 120	0,5%	67,7%
69	Specjalistyczny Zespół Opieki Zdrowotnej Nad Matką i Dzieckiem w Poznaniu	1 119	0,5%	68,2%
70	Samodzielny Publiczny Szpital Kliniczny nr 1 w Lublinie	1 096	0,5%	68,6%
71	Centrum Pulmonologii i Torakochirurgii w Bystrej	1 090	0,5%	69,1%
72	Mazowieckie Centrum Leczenia Chorób Płuc i Gruźlicy	1 083	0,5%	69,5%
73	Wojewódzki Szpital Specjalistyczny im. Stefana Kard. Wyszyńskiego Samodzielny Publiczny Zakład Opieki Zdrowotnej w Lublinie	1 073	0,5%	70,0%
74	Wojewódzki Zespół Zakładów Opieki Zdrowotnej Centrum Leczenia Chorób Płuc i Rehabilitacji w Łodzi	1 070	0,5%	70,5%
75	Szpital Specjalistyczny im. Floriana Ceynowy w Wejherowie	1 038	0,4%	70,9%
76	Siedlecki Szpital Specjalistyczny	1 021	0,4%	71,3%
77	Międzyleski Szpital Specjalistyczny w Warszawie	1 016	0,4%	71,8%
78	Szpital Specjalistyczny w Kościerzynie	1 007	0,4%	72,2%
79	Szpital Uniwersytecki nr 1 im. Dr. Antoniego Jurasza w Bydgoszczy	984	0,4%	72,6%
80	Regionalny Szpital Specjalistyczny im. Dr Władysława Biegańskiego w Grudziądzu	966	0,4%	73,0%
81	Samodzielny Publiczny Zespół Gruźlicy i Chorób Płuc w Olsztynie	962	0,4%	73,4%
82	Sp Centralny Szpital Kliniczny im. Prof. Kornela Gibińskiego Śląskiego Uniwersytetu Medycznego w Katowicach	959	0,4%	73,8%
83	Miejski Szpital Zespolony w Olsztynie	948	0,4%	74,2%
84	Wojewódzki Zespół Zakładów Opieki Zdrowotnej Centrum Leczenia Chorób Płuc i Rehabilitacji w Łodzi	939	0,4%	74,6%
85	Wojewódzki Szpital Specjalistyczny nr 2 w Jastrzębiu Zdroju	930	0,4%	75,0%
86	Samodzielny Publiczny Wojewódzki Szpital Zespolony w Szczecinie	926	0,4%	75,4%
87	Affidea Onkoterapia Spółka z Ograniczoną Odpowiedzialnością w Koszalinie	924	0,4%	75,8%
88	Ośrodek Leczenia Szpitalnego w Nowym Sączu	903	0,4%	76,2%
89	Mazowiecki Szpital Specjalistyczny im. Dr Józefa Psarskiego w Ostrołęce	887	0,4%	76,6%
90	Samodzielny Publiczny Szpital Kliniczny im. Prof. Witolda Orłowskiego Centrum Medycznego Kształcenia Podyplomowego w Warszawie	867	0,4%	77,0%
91	Samodzielny Publiczny Zakład Opieki Zdrowotnej Ministerstwa Spraw Wewnętrznych w Łodzi	863	0,4%	77,3%
92	Sp ZOZ Wojewódzki Szpital Zespolony im. J. Śniadeckiego w Białymstoku	854	0,4%	77,7%
93	Szpital Uniwersytecki nr 2 im. Dr Jana Biziela w Bydgoszczy	850	0,4%	78,1%
94	Poliklinika Bródnowskiego Centrum Klinicznego w Warszawie	849	0,4%	78,4%
95	Specjalistyczny Szpital Wojewódzki w Ciechanowie	840	0,4%	78,8%
96	Kujawsko - Pomorskie Centrum Pulmonologii w Bydgoszczy	840	0,4%	79,1%
97	Samodzielny Publiczny Zakład Opieki Zdrowotnej Uniwersytecki Szpital Kliniczny nr 1 im. Norberta Barlickiego Uniwersytetu Medycznego w Łodzi	832	0,4%	79,5%
98	Sosnowiecki Szpital Miejski Spółka z Ograniczoną Odpowiedzialnością	832	0,4%	79,8%
	SUMA:	234 880	100,0%	

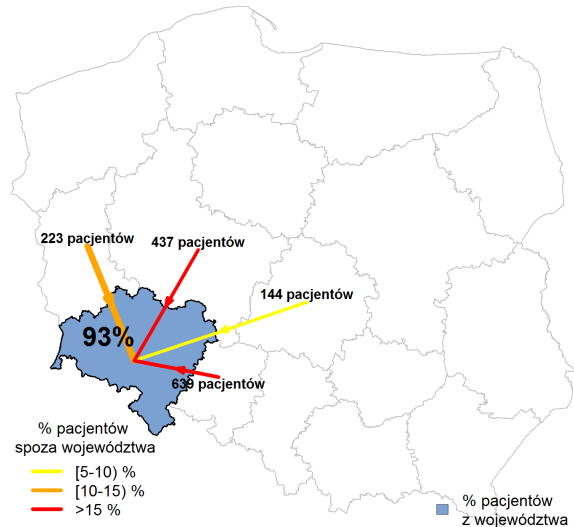
Źródło: opracowanie DAiS na podstawie bazy NFZ.

Wykres 67: Szpitale leczące łącznie około 80% pacjentów ze schorzeniami onkologicznymi (2012)



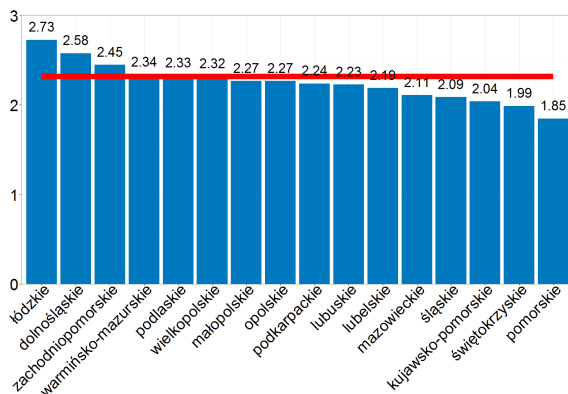
Źródło: opracowanie DAiS na podstawie bazy NFZ.

Wykres 69: Migracje pacjentów ze schorzeniami onkologicznymi do województwa dolnośląskiego (2012)



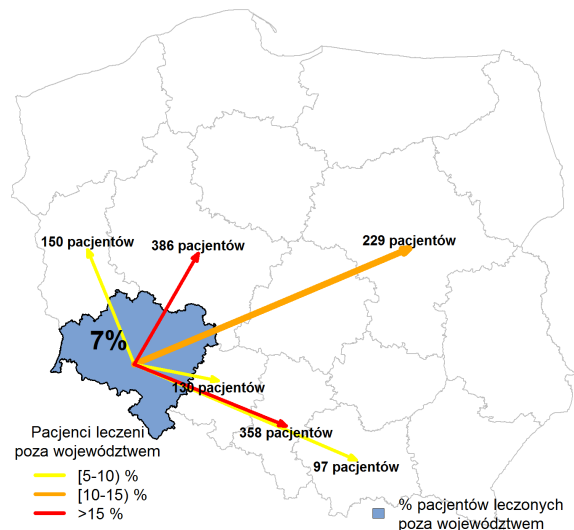
Źródło: opracowanie DAiS na podstawie bazy NFZ.

Wykres 68: Średnia liczba hospitalizacji przypadająca na jednego pacjenta w województwach (2012)



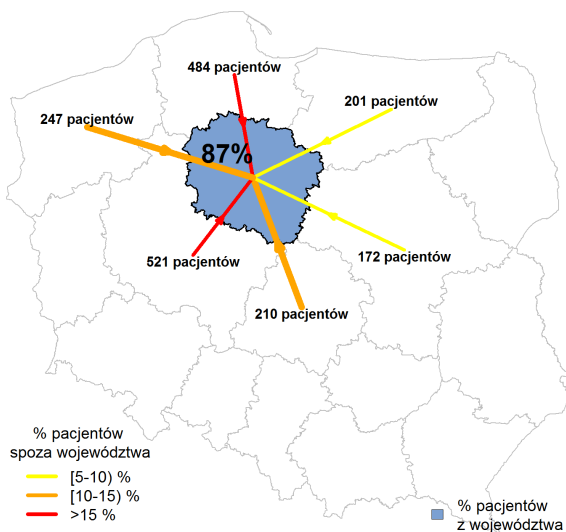
Źródło: opracowanie DAiS na podstawie bazy NFZ.

Wykres 70: Migracje pacjentów ze schorzeniami onkologicznymi z województwa dolnośląskiego (2012)



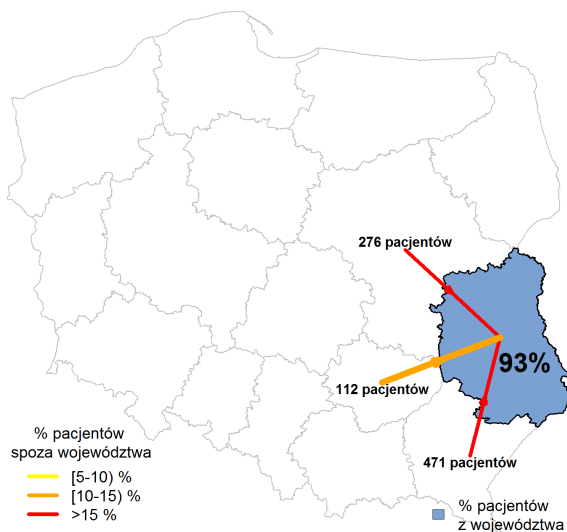
Źródło: opracowanie DAiS na podstawie bazy NFZ.

Wykres 71: Migracje pacjentów ze schorzeniami onkologicznymi do województwa kujawsko-pomorskiego (2012)



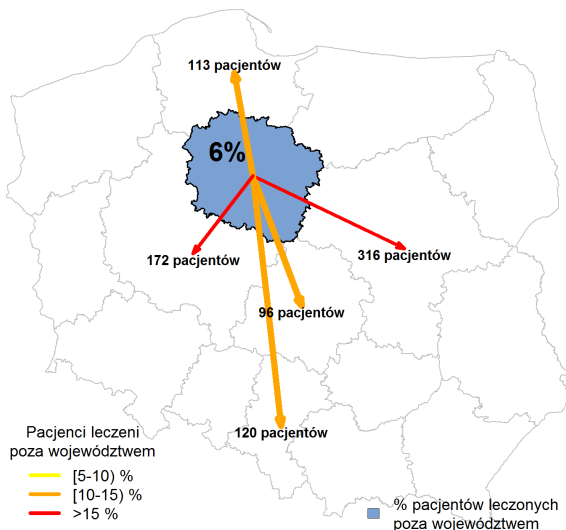
Źródło: opracowanie DAiS na podstawie bazy NFZ.

Wykres 73: Migracje pacjentów ze schorzeniami onkologicznymi do województwa lubelskiego (2012)



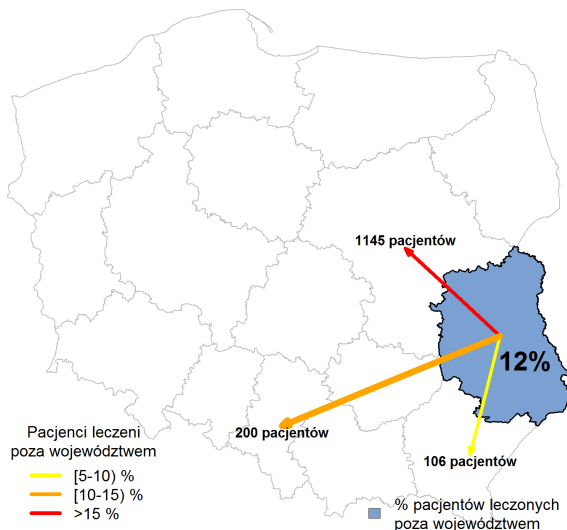
Źródło: opracowanie DAiS na podstawie bazy NFZ.

Wykres 72: Migracje pacjentów ze schorzeniami onkologicznymi z województwa kujawsko-pomorskiego (2012)



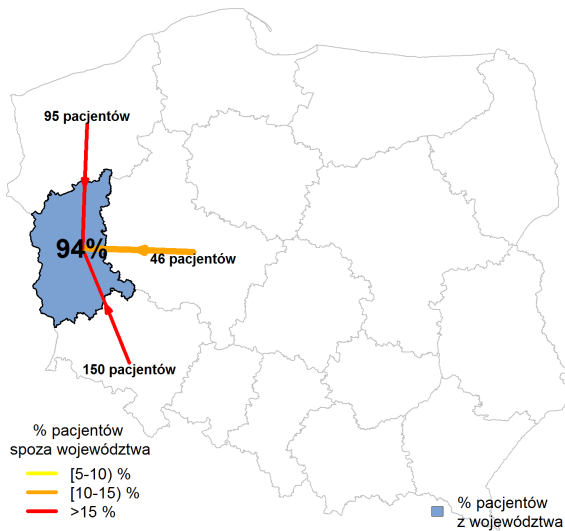
Źródło: opracowanie DAiS na podstawie bazy NFZ.

Wykres 74: Migracje pacjentów ze schorzeniami onkologicznymi z województwa lubelskiego (2012)



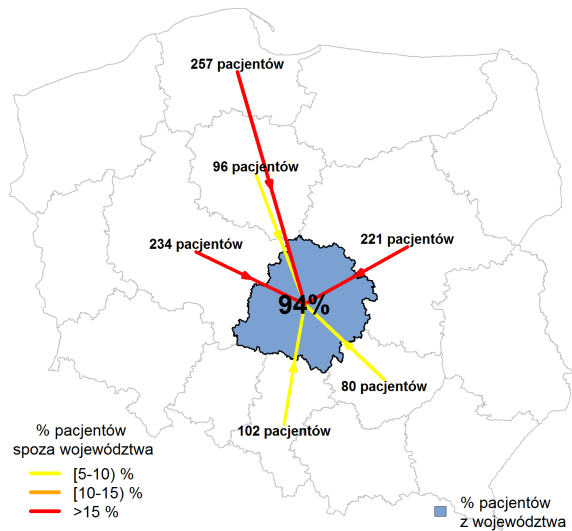
Źródło: opracowanie DAiS na podstawie bazy NFZ.

Wykres 75: Migracje pacjentów ze schorzeniami onkologicznymi do województwa lubuskiego (2012)



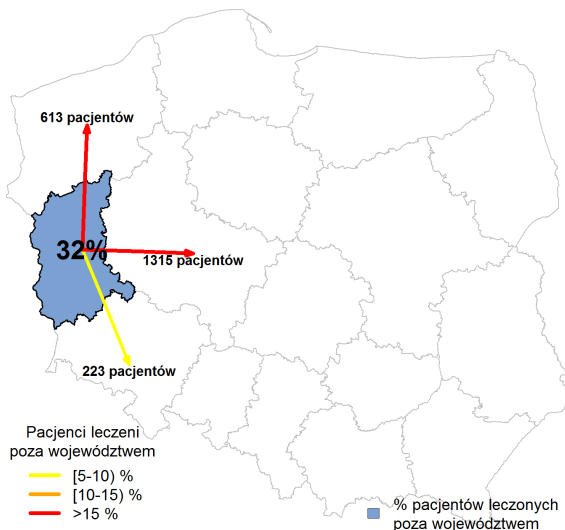
Źródło: opracowanie DAiS na podstawie bazy NFZ.

Wykres 77: Migracje pacjentów ze schorzeniami onkologicznymi do województwa łódzkiego (2012)



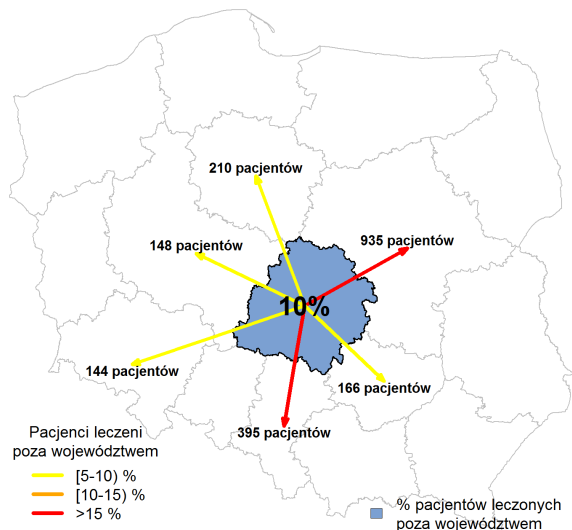
Źródło: opracowanie DAiS na podstawie bazy NFZ.

Wykres 76: Migracje pacjentów ze schorzeniami onkologicznymi z województwa lubuskiego (2012)



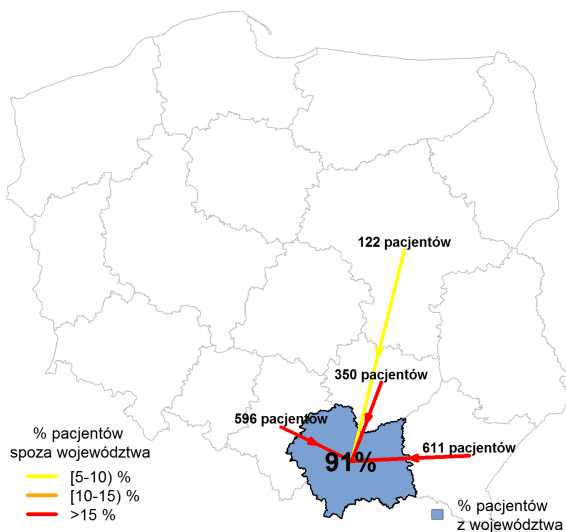
Źródło: opracowanie DAiS na podstawie bazy NFZ.

Wykres 78: Migracje pacjentów ze schorzeniami onkologicznymi z województwa łódzkiego (2012)



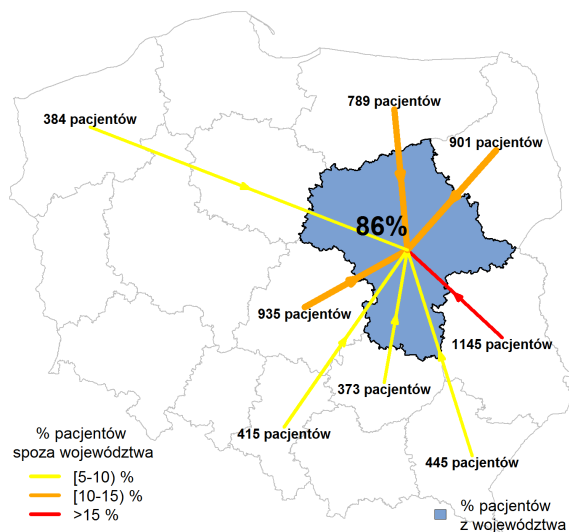
Źródło: opracowanie DAiS na podstawie bazy NFZ.

Wykres 79: Migracje pacjentów ze schorzeniami onkologicznymi do województwa małopolskiego (2012)



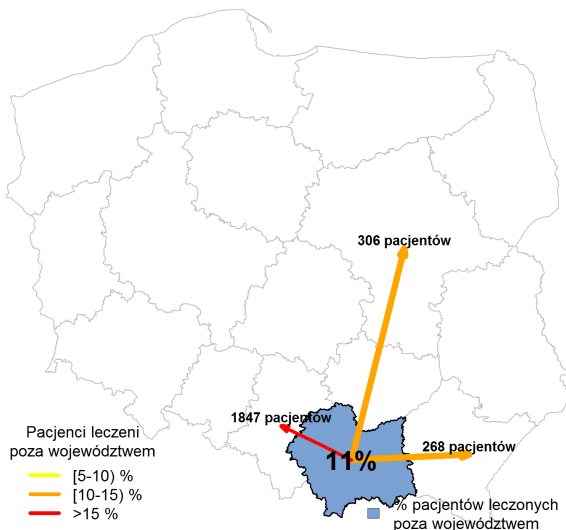
Źródło: opracowanie DAiS na podstawie bazy NFZ.

Wykres 81: Migracje pacjentów ze schorzeniami onkologicznymi do województwa mazowieckiego (2012)



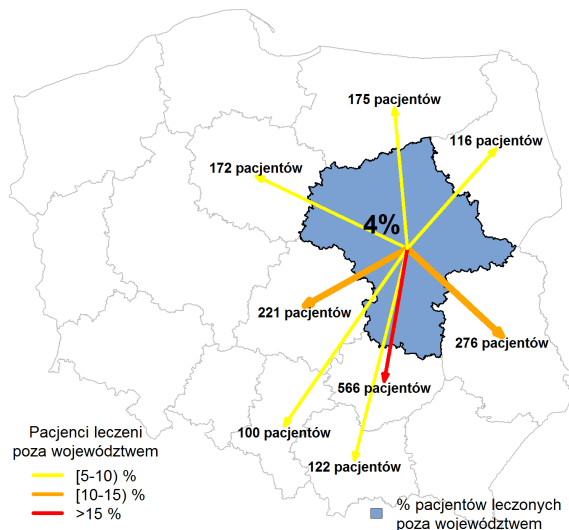
Źródło: opracowanie DAiS na podstawie bazy NFZ.

Wykres 80: Migracje pacjentów ze schorzeniami onkologicznymi z województwa małopolskiego (2012)



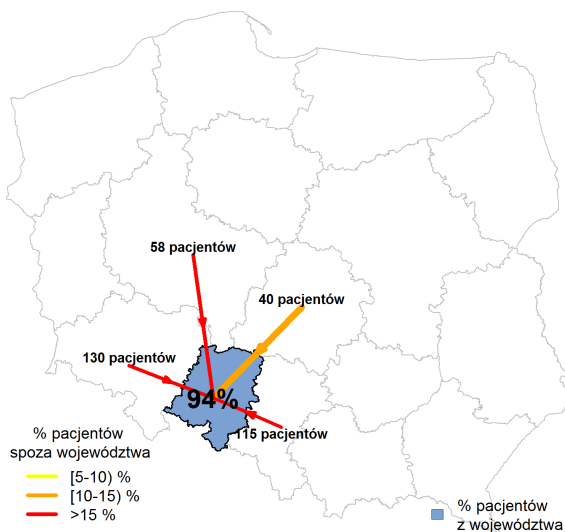
Źródło: opracowanie DAiS na podstawie bazy NFZ.

Wykres 82: Migracje pacjentów ze schorzeniami onkologicznymi z województwa mazowieckiego (2012)



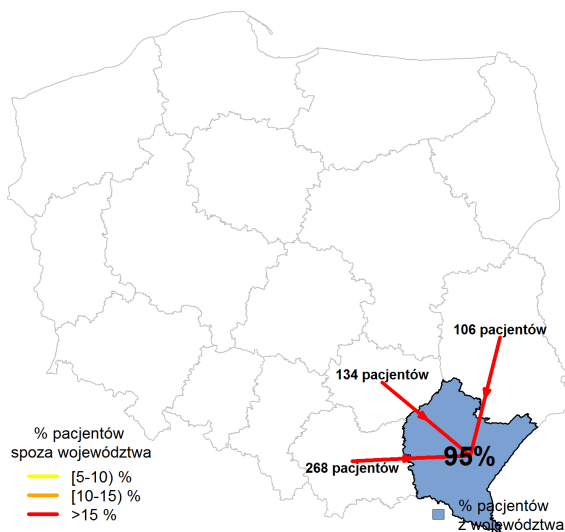
Źródło: opracowanie DAiS na podstawie bazy NFZ.

Wykres 83: Migracje pacjentów ze schorzeniami onkologicznymi do województwa opolskiego (2012)



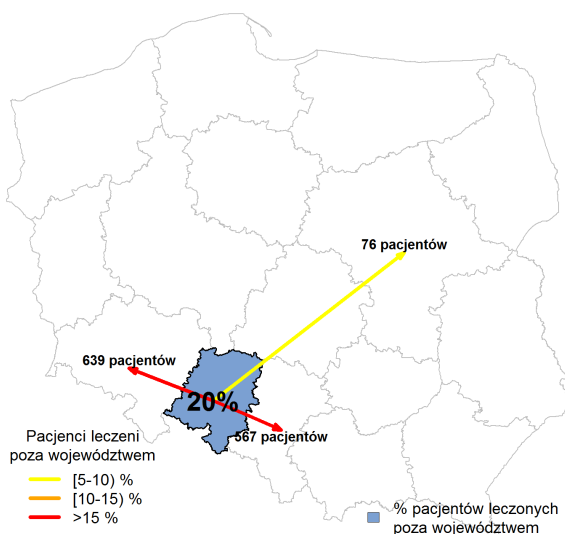
Źródło: opracowanie DAiS na podstawie bazy NFZ.

Wykres 85: Migracje pacjentów ze schorzeniami onkologicznymi do województwa podkarpackiego (2012)



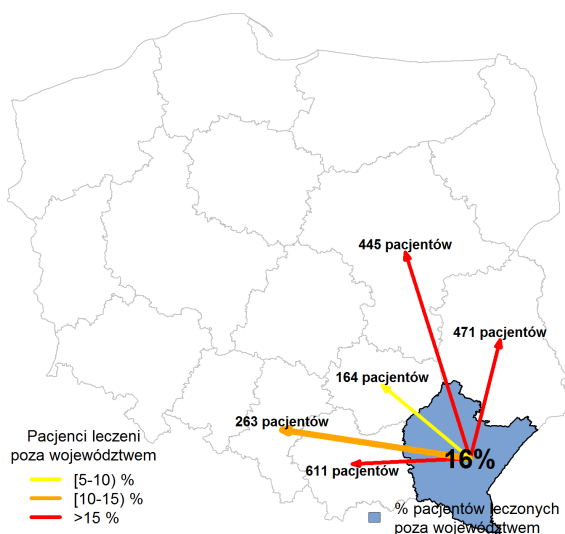
Źródło: opracowanie DAiS na podstawie bazy NFZ.

Wykres 84: Migracje pacjentów ze schorzeniami onkologicznymi z województwa opolskiego (2012)



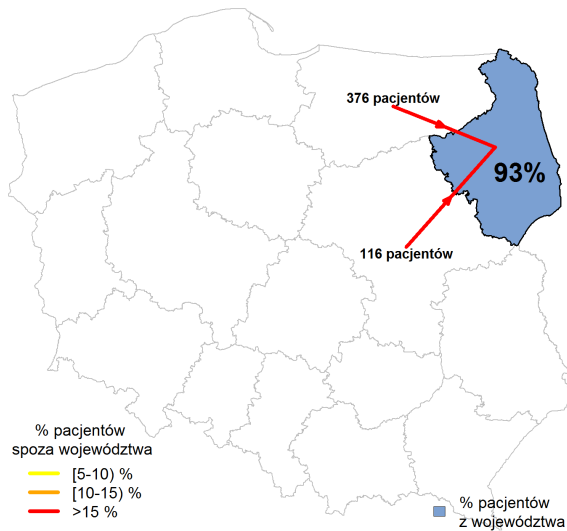
Źródło: opracowanie DAiS na podstawie bazy NFZ.

Wykres 86: Migracje pacjentów ze schorzeniami onkologicznymi z województwa podkarpackiego (2012)



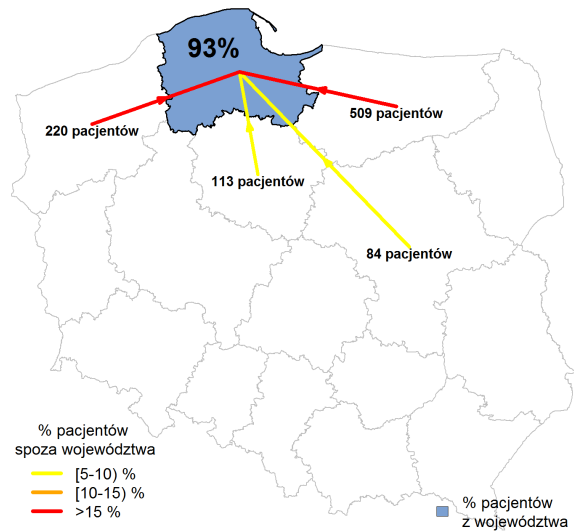
Źródło: opracowanie DAiS na podstawie bazy NFZ.

Wykres 87: Migracje pacjentów ze schorzeniami onkologicznymi do województwa podlaskiego (2012)



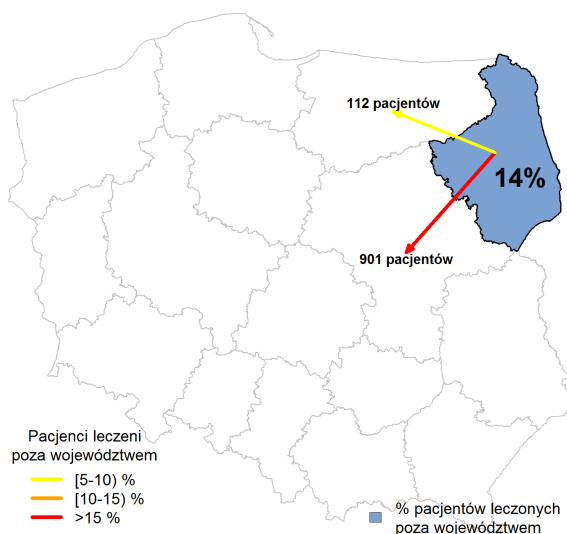
Źródło: opracowanie DAiS na podstawie bazy NFZ.

Wykres 89: Migracje pacjentów ze schorzeniami onkologicznymi do województwa pomorskiego (2012)



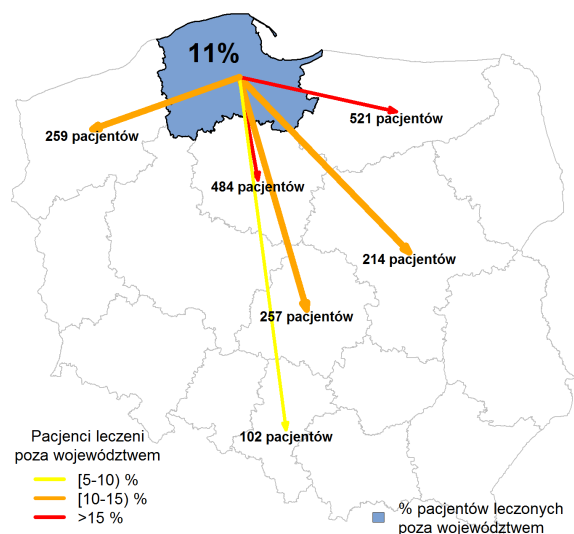
Źródło: opracowanie DAiS na podstawie bazy NFZ.

Wykres 88: Migracje pacjentów ze schorzeniami onkologicznymi z województwa podlaskiego (2012)



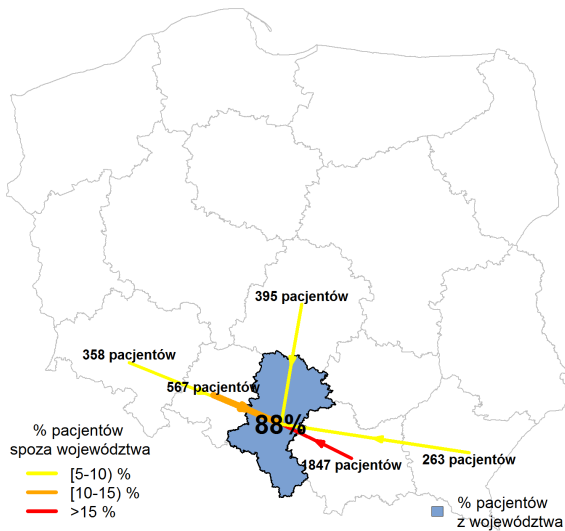
Źródło: opracowanie DAiS na podstawie bazy NFZ.

Wykres 90: Migracje pacjentów ze schorzeniami onkologicznymi z województwa pomorskiego (2012)



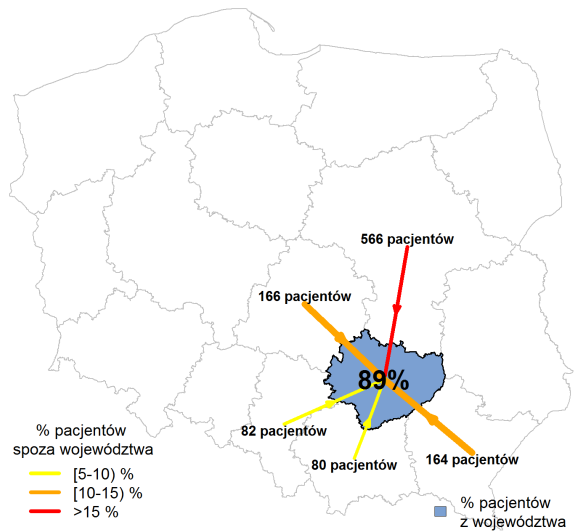
Źródło: opracowanie DAiS na podstawie bazy NFZ.

Wykres 91: Migracje pacjentów ze schorzeniami onkologicznymi do województwa śląskiego (2012)



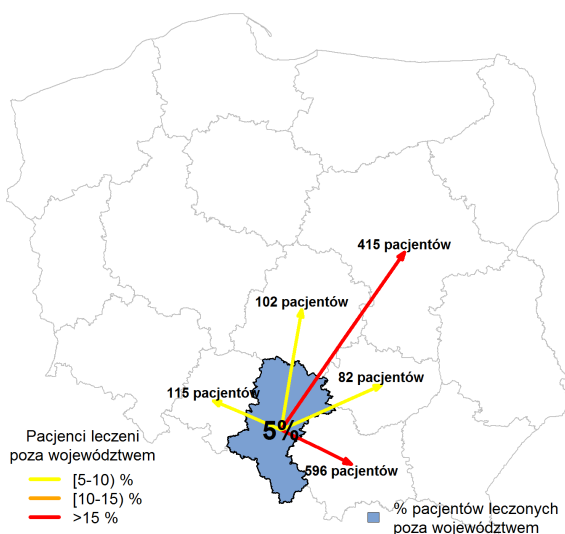
Źródło: opracowanie DAiS na podstawie bazy NFZ.

Wykres 93: Migracje pacjentów ze schorzeniami onkologicznymi do województwa świętokrzyskiego (2012)



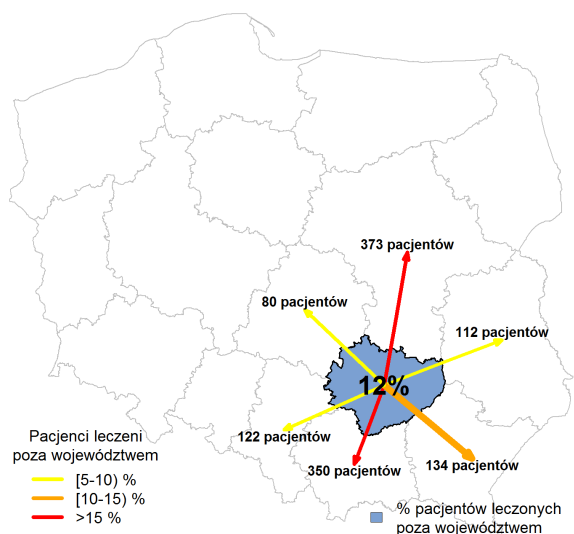
Źródło: opracowanie DAiS na podstawie bazy NFZ.

Wykres 92: Migracje pacjentów ze schorzeniami onkologicznymi z województwa śląskiego (2012)



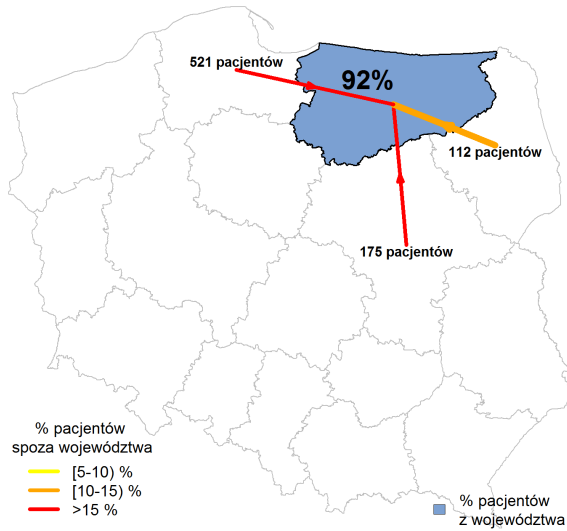
Źródło: opracowanie DAiS na podstawie bazy NFZ.

Wykres 94: Migracje pacjentów ze schorzeniami onkologicznymi z województwa świętokrzyskiego (2012)



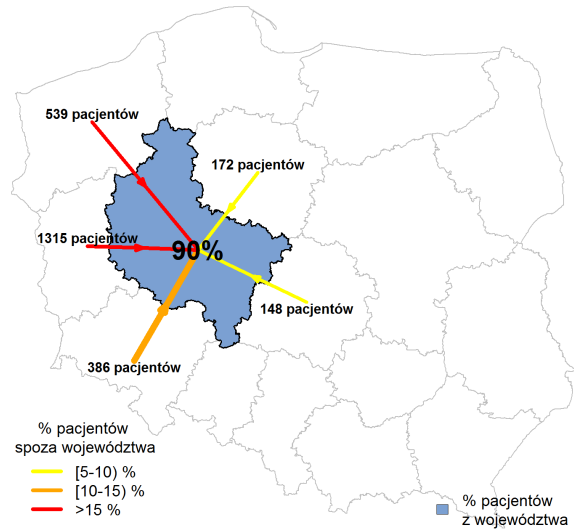
Źródło: opracowanie DAiS na podstawie bazy NFZ.

Wykres 95: Migracje pacjentów ze schorzeniami onkologicznymi do województwa warmińsko-mazurskiego (2012)



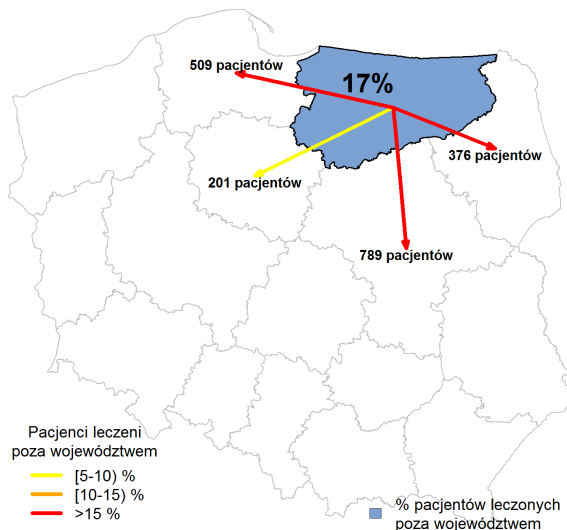
Źródło: opracowanie DAiS na podstawie bazy NFZ.

Wykres 97: Migracje pacjentów ze schorzeniami onkologicznymi do województwa wielkopolskiego (2012)



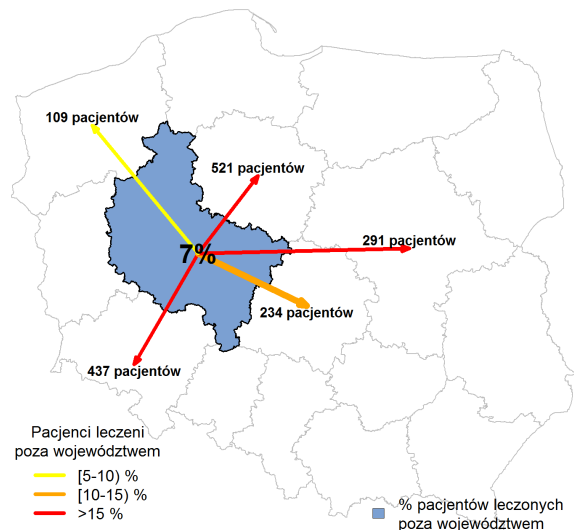
Źródło: opracowanie DAiS na podstawie bazy NFZ.

Wykres 96: Migracje pacjentów ze schorzeniami onkologicznymi z województwa warmińsko-mazurskiego (2012)



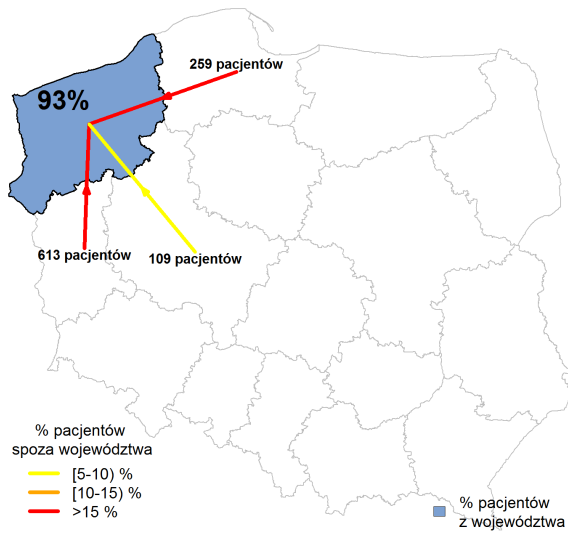
Źródło: opracowanie DAiS na podstawie bazy NFZ.

Wykres 98: Migracje pacjentów ze schorzeniami onkologicznymi z województwa wielkopolskiego (2012)



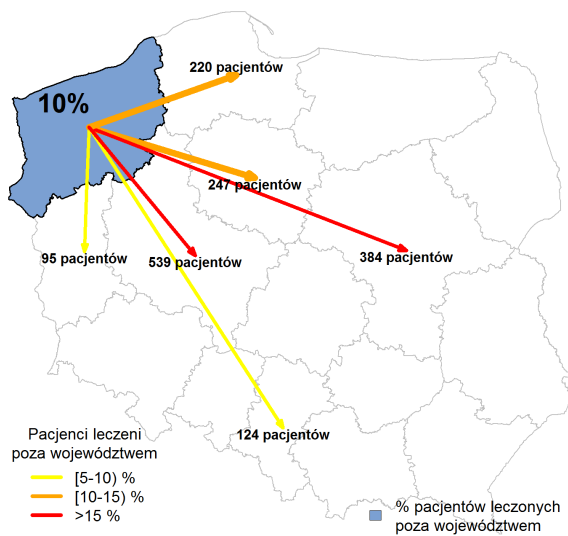
Źródło: opracowanie DAiS na podstawie bazy NFZ.

Wykres 99: Migracje pacjentów ze schorzeniami onkologicznymi do województwa zachodniopomorskiego (2012)



Źródło: opracowanie DAiS na podstawie bazy NFZ.

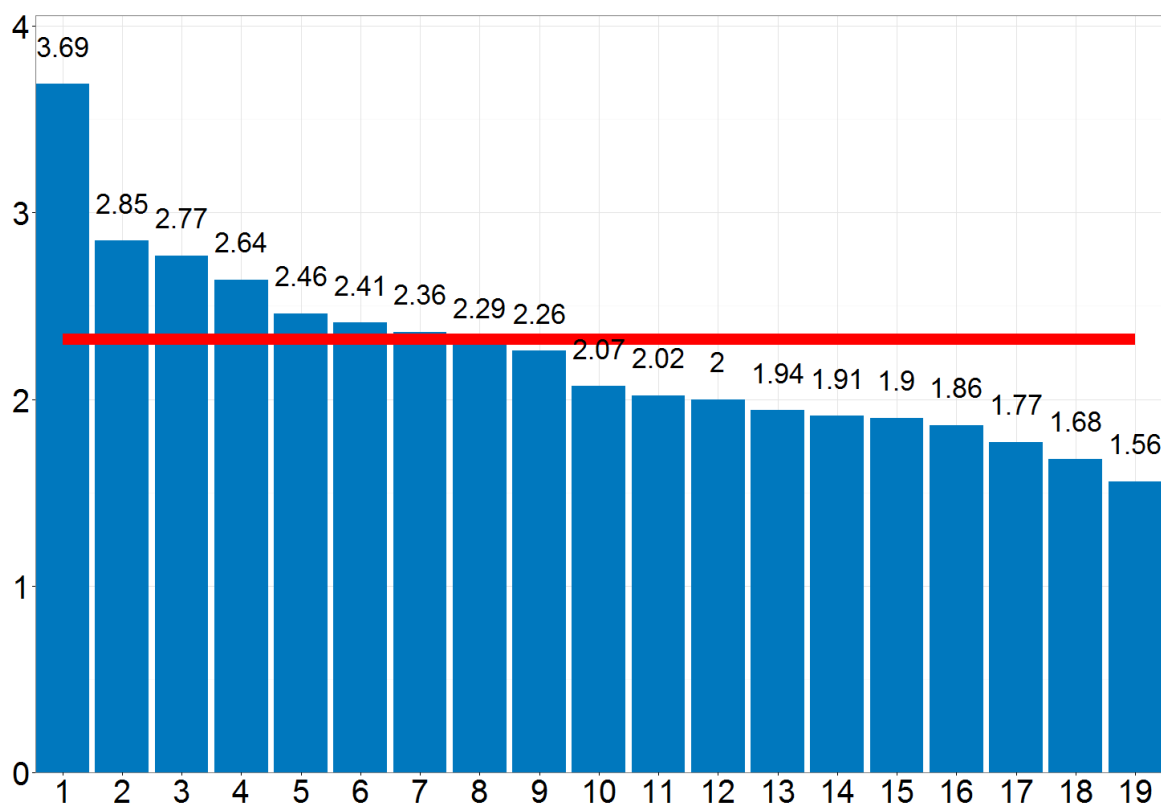
Wykres 100: Migracje pacjentów ze schorzeniami onkologicznymi z województwa zachodniopomorskiego (2012)



Źródło: opracowanie DAiS na podstawie bazy NFZ.

Analiza wybranych świadczeniodawców

Wykres 101: Średnia liczba hospitalizacji na jednego pacjenta w poszczególnych szpitalach (2012)



Lp.	Nazwa świadczeniodawcy	Liczba pacjentów	Hospitalizacje na pacjenta
1	Wojewódzki Szpital Specjalistyczny im. M. Kopernika w Łodzi	6 737	3,69
2	Szpital Specjalistyczny w Brzozowie Podkarpacki Ośrodek Onkologiczny im. Ks. B. Markiewicza	2 474	2,85
3	Zachodniopomorskie Centrum Onkologii	4 231	2,77
4	Białostockie Centrum Onkologii im. Marii Skłodowskiej - Curie	2 388	2,64
5	Dolnośląskie Centrum Onkologii we Wrocławiu	3 829	2,46
6	Centrum Onkologii Ziemi Lubelskiej im. Św. Jana z Dukli SPZOZ	2 702	2,41
7	Wojewódzki Szpital Specjalistyczny im. Fryderyka Chopina	2 426	2,36
8	Wojskowy Instytut Medyczny	2 942	2,29
9	Uniwersyteckie Lecznictwo Szpitalne	3 910	2,26
10	Szpital Centrum Onkologii - Instytut Oddziału w Krakowie	3 915	2,07
11	Świętokrzyskie Centrum Onkologii w Kielcach	4 899	2,02
12	Centrum Onkologii im. Prof. Franciszka Łukaszczyka w Bydgoszczy	6 377	2
13	Samodzielny Publiczny Zakład Opieki Zdrowotnej Ministerstwa Spraw Wewnętrznych z Warmińsko-Mazurskim Centrum Onkologii w Olsztynie	3 374	1,94
14	Centrum Onkologii-Instytut im. Marii Skłodowskiej-Curie Oddział w Gliwicach	5 455	1,91
15	Wielkopolskie Centrum Onkologii im. Marii Skłodowskiej-Curie	5 685	1,9
16	Centrum Onkologii - Instytut im. Marii Skłodowskiej-Curie	11 324	1,86
17	Uniwersyteckie Centrum Kliniczne	4 483	1,77
18	Centrum Medyczne "Zdrowie"/Mazowiecki Szpital Onkologiczny/Przychodnia Mazowieckiego Szpitala Onkologicznego/	2 674	1,68
19	Szpital Morski im. Pck	2 604	1,56

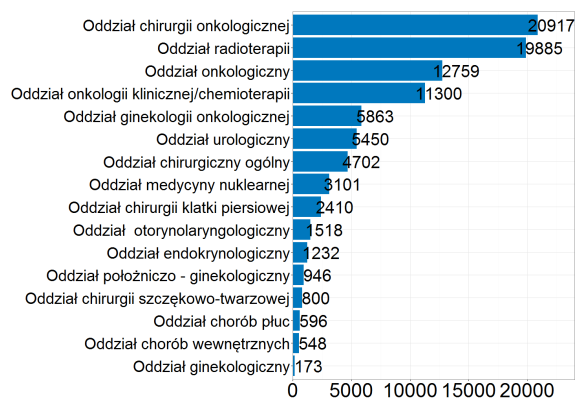
Źródło: opracowanie DAiS na podstawie bazy NFZ.

Tabela 3: Udział pacjentów spoza województwa wśród pacjentów ze schorzeniami onkologicznymi wg poszczególnych świadczeniodawców (2012)

Lp.	Nazwa świadczeniodawcy	Udział pacj. spoza woj.
1	Centrum Onkologii - Instytut im. Marii Skłodowskiej-Curie w Warszawie	22,2%
2	Wojewódzki Szpital Specjalistyczny im. M. Kopernika w Łodzi	4,4%
3	Centrum Onkologii im. Prof. Franciszka Łukaszczyka w Bydgoszczy	19,7%
4	Wielkopolskie Centrum Onkologii im. Marii Skłodowskiej-Curie w Poznaniu	15,2%
5	Centrum Onkologii-Instytut im. Marii Skłodowskiej-Curie Oddział w Gliwicach	39,3%
6	Świętokrzyskie Centrum Onkologii w Kielcach	14,6%
7	Uniwersyteckie Centrum Kliniczne w Gdańsku	10,7%
8	Zachodniopomorskie Centrum Onkologii w Szczecinie	8,5%
9	Szpital Centrum Onkologii - Instytut Oddziału w Krakowie	6,4%
10	Uniwersyteckie Lecznictwo Szpitalne w Krakowie	19,2%
11	Dolnośląskie Centrum Onkologii we Wrocławiu	10,3%
12	Samodzielny Publiczny Zakład Opieki Zdrowotnej Ministerstwa Spraw Wewnętrznych z Warmińsko-Mazurskim Centrum Onkologii w Olsztynie	7,3%
13	Wojskowy Instytut Medyczny w Warszawie	25,1%
14	Centrum Onkologii Ziemi Lubelskiej im. Św. Jana z Dukli SPZOZ w Lublinie	9,6%
15	Centrum Medyczne "Zdrowie"/Mazowiecki Szpital Onkologiczny w Wieliszewie	7,0%
16	Szpital Morski im. PCK w Gdyni	3,8%
17	Szpital Specjalistyczny w Brzozowie Podkarpacki Ośrodek Onkologiczny im. Ks. B. Markiewicza	5,2%
18	Wojewódzki Szpital Specjalistyczny im. Fryderyka Chopina w Rzeszowie	3,2%
19	Białostockie Centrum Onkologii im. Marii Skłodowskiej - Curie w Białymstoku	8,6%

Źródło: opracowanie DAiS na podstawie bazy NFZ.

Wykres 102: Liczba pacjentów ze schorzeniami nowotworowymi na oddziałach w poszczególnych szpitalach (2012)



Źródło: opracowanie DAiS na podstawie bazy NFZ.

Tabela 4: Liczba pacjentów ze schorzeniami nowotworowymi w poszczególnych szpitalach wg oddziałów (2012)

Nazwa świadczeniodawcy\Nazwa oddziału	Oddział chirurgiczny ogólny	Oddział chirurgii klatki piersiowej	Oddział chirurgii onkologicznej	Oddział chirurgii szczękowo-twarzowej	Oddział chorób wewnętrznych	Oddział endokrynologiczny	Oddział medycyny nuklearnej	Oddział chorób płuc	Oddział położniczo - ginekologiczny	Oddział ginekologiczny	Oddział otorynolaryngologiczny	Oddział urologiczny	Oddział ginekologii onkologicznej	Oddział onkologiczny	Oddział onkologii klinicznej/chemioterapii	Oddział radioterapii	Pozostałe	SUMA	Unikalni pacjenci	
Centrum Onkologii - Instytut im. Marii Skłodowskiej-Curie w Warszawie		668	3 439	671			1 080				474	644	3 901		1 712	604	13 193	11 324		
Wojewódzki Szpital Specjalistyczny im. M. Kopernika w Łodzi	544	1 139		85						94	636	397		3 366	1 075	376	7 750	6 737		
Centrum Onkologii im. Prof. Franciszka Łukaszczyka w Bydgoszczy		746	1 863							771	640	971	983	1 327			7 301	6 377		
Wielkopolskie Centrum Onkologii im. Marii Skłodowskiej-Curie w Poznaniu	1 295		1 430							441		878		983	1 312	13	6 352	5 685		
Centrum Onkologii-Instytut im. Marii Skłodowskiej-Curie Oddział w Gliwicach			1 589		38	1 821							1 936	693		4	6 081	5 455		
Świętokrzyskie Centrum Onkologii w Kielcach			1 428		495	136				311	560	274	745	1 949	36	5 934	4 899			
Uniwersyteckie Centrum Kliniczne w Gdańsku	479	452	823	42	32	28				183	820	475	1 013			554	4 909	4 483		
Zachodniopomorskie Centrum Onkologii w Szczecinie			1 682											814	2 632	1	5 129	4 231		
Szpital Centrum Onkologii - Instytut Oddziału w Krakowie			1 160				15				374	524	878	1 670			4 621	3 910		
Uniwersyteckie Lecznictwo Szpitalne w Krakowie	1 111			101	238	49	117	635		200	510		424			260	4 188	3 915		
Dolnośląskie Centrum Onkologii we Wrocławiu			1 406										419	995	1 807	1	4 628	3 829		
Samodzielny Publiczny Zakład Opieki Zdrowotnej Ministerstwa Spraw Wewnętrznych z Warmińsko-Mazurskim Centrum Onkologii w Olsztynie	284		997		140					67		103	650	1 756	52	4 073	3 374			
Wojskowy Instytut Medyczny w Warszawie	612			49	433		196			173	92	386		1 091		383	3 417	2 942		
Centrum Onkologii Ziemi Lubelskiej im. Św. Jana z Dukli SPZOZ w Lublinie			1 099										572		426	910	6	3 013	2 702	
Centrum Medyczne "Zdrowie"/Mazowiecki Szpital Onkologiczny/Przychodnia Mazowieckiego Szpitala Onkologicznego/ w Wieliszewie	26		587								586		220		1 623		3 042	2 474		
Szpital Morski im. PCK w Gdyni			628		159		283	1					323	1 580		87	3 061	2 674		
Szpital Specjalistyczny w Brzozowie Podkarpacki Ośrodek Onkologiczny im. Ks. B. Markiewicza	288		704		31			70						1 144	618	23	3 043	2 604		
Wojewódzki Szpital Specjalistyczny im. Fryderyka Chopina w Rzeszowie	607			38				240		130	333	206		552	790	54	2 950	2 388		
Białostockie Centrum Onkologii im. Marii Skłodowskiej - Curie w Białymstoku			943										408	694	704		2 749	2 426		

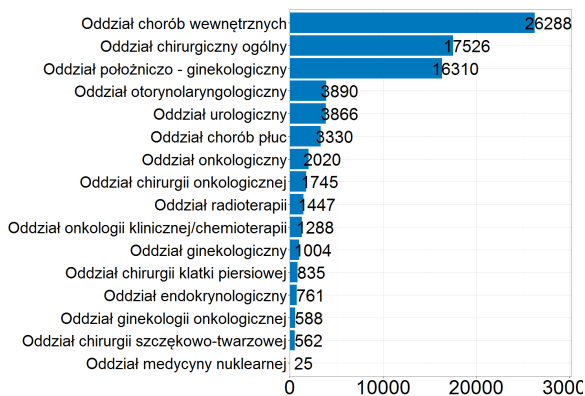
Źródło: opracowanie DAiS na podstawie bazy NFZ.

Tabela 5: Udział pacjentów ze schorzeniami nowotworowymi w poszczególnych szpitalach wg oddziałów (2012)

Nazwa świadczeniodawcy\Nazwa oddziału	Oddział chirurgiczny ogólny	Oddział chirurgii klatki piersiowej	Oddział chirurgii onkologicznej	Oddział chirurgii szczękowo-twarzowej	Oddział chorób wewnętrznych	Oddział endokrynologiczny	Oddział medycyny nuklearnej	Oddział chorób płuc	Oddział położniczo - ginekologiczny	Oddział ginekologiczny	Oddział otorynolaryngologiczny	Oddział urologiczny	Oddział ginekologii onkologicznej	Oddział onkologiczny	Oddział onkologii klinicznej/chemioterapii	Oddział radioterapii	Pozostałe	SUMA
Centrum Onkologii - Instytut im. Marii Skłodowskiej-Curie w Warszawie		5%	26%	5%			8%					4%	5%	30%		13%	5%	100%
Wojewódzki Szpital Specjalistyczny im. M. Kopernika w Łodzi		7%	15%		1%						1%	8%	5%		43%	14%	5%	100%
Centrum Onkologii im. Prof. Franciszka Łukaszczyka w Bydgoszczy		10%	26%									11%	9%	13%	14%	18%		100%
Wielkopolskie Centrum Onkologii im. Marii Skłodowskiej-Curie w Poznaniu	20%		23%								7%		14%		16%	21%		100%
Centrum Onkologii-Instytut im. Marii Skłodowskiej-Curie Oddział w Gliwicach			26%			1%	30%							32%	11%			100%
Świętokrzyskie Centrum Onkologii w Kielcach			24%			8%	2%				5%	9%	5%	13%		33%	1%	100%
Uniwersyteckie Centrum Kliniczne w Gdańsku	10%	9%	17%	1%	1%	1%					4%	17%	10%	21%			11%	100%
Zachodniopomorskie Centrum Onkologii w Szczecinie			33%												16%	51%		100%
Szpital Centrum Onkologii - Instytut Oddziału w Krakowie			25%									8%	11%	19%		36%		100%
Uniwersyteckie Lecznictwo Szpitalne w Krakowie	27%				2%	6%	1%	3%	15%		5%	12%		10%			6%	100%
Dolnośląskie Centrum Onkologii we Wrocławiu			30%										9%		22%	39%		100%
Samodzielny Publiczny Zakład Opieki Zdrowotnej Ministerstwa Spraw Wewnętrznych z Warmińsko-Mazurskim Centrum Onkologii w Olsztynie	7%		25%		3%						2%		3%		16%	43%	1%	100%
Wojskowy Instytut Medyczny w Warszawie	18%			1%	13%		6%			5%	3%	11%		32%			11%	100%
Centrum Onkologii Ziemi Lubelskiej im. Św. Jana z Dukli SPZOZ w Lublinie			37%										19%		14%	30%		100%
Centrum Medyczne "Zdrowie"/Mazowiecki Szpital Onkologiczny/Przychodnia Mazowieckiego Szpitala Onkologicznego/ w Wieliszewie	1%		19%									19%		7%		53%		100%
Szpital Morski im. Pck w Gdyni			21%		5%			9%					11%	52%			3%	100%
Szpital Specjalistyczny w Brzozowie Podkarpacki Ośrodek Onkologiczny im. Ks. B. Markiewicza	10%		23%		1%			2%							38%	20%	1%	100%
Wojewódzki Szpital Specjalistyczny im. Fryderyka Chopina w Rzeszowie	21%			1%					8%		4%	11%	7%		19%	27%	2%	100%
Białostockie Centrum Onkologii im. Marii Skłodowskiej - Curie w Białymstoku			34%									15%		25%	26%			100%

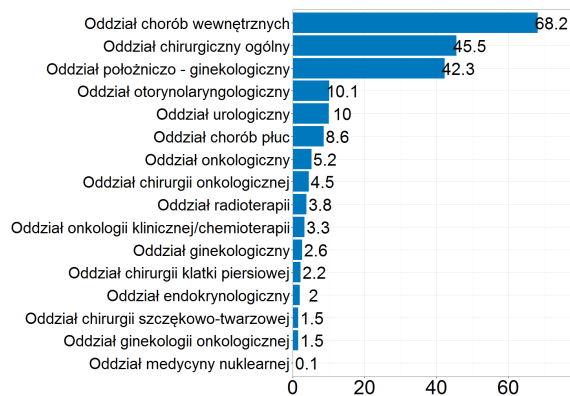
Źródło: opracowanie DAiS na podstawie bazy NFZ.

Wykres 103: Liczba łóżek na oddziałach [stan na 30.06.2012]



Źródło: opracowanie DAiS na podstawie bazy NFZ i RPWDL.

Wykres 104: Liczba łóżek na oddziałach na 100 tys. ludności [stan na 30.06.2012]



Źródło: opracowanie DAiS na podstawie bazy NFZ i RPWDL.

Tabela 6: Liczba łóżek w poszczególnych szpitalach wg oddziałów [stan na 30.06.2012]

Nazwa świadczeniodawcy\Nazwa oddziału	Oddział chirurgiczny ogólny	Oddział chirurgii klatki piersiowej	Oddział chirurgii onkologicznej	Oddział chirurgii szcękowo-twarzowej	Oddział chorób wewnętrznych	Oddział endokrynologiczny	Oddział medycyny nuklearnej	Oddział chorób płuc	Oddział położniczo-ginekologiczny	Oddział ginekologiczny	Oddział otorynolaryngologiczny	Oddział urologiczny	Oddział ginekologii onkologicznej	Oddział onkologiczny	Oddział onkologii klinicznej/chemioterapii	Oddział radioterapii
Centrum Onkologii - Instytut im. Marii Skłodowskiej-Curie w Warszawie		25	137	35	13	10						18	40	241		90
Wojewódzki Szpital Specjalistyczny im. M. Kopernika w Łodzi		20	53		20							14	38	21	109	75
Centrum Onkologii im. Prof. Franciszka Łukaszczyka w Bydgoszczy		35	63									25	35	26	35	78
Wielkopolskie Centrum Onkologii im. Marii Skłodowskiej-Curie w Poznaniu	42		53								25		61		52	98
Centrum Onkologii-Instytut im. Marii Skłodowskiej-Curie Oddział w Gliwicach			79											216	64	
Świętokrzyskie Centrum Onkologii w Kielcach			46		20	5				26	21	29	44			82
Uniwersyteckie Centrum Kliniczne w Gdańsku	41	24	24	6	13	22				23	24	48	55		10	
Zachodniopomorskie Centrum Onkologii w Szczecinie			53												62	103
Szpital Centrum Onkologii - Instytut Oddziału w Krakowie			36									8	32	39		81
Uniwersyteckie Lecznictwo Szpitalne w Krakowie	104				60	45	4	46	146	62	38			26	16	
Dolnośląskie Centrum Onkologii we Wrocławiu			76										23		54	272
Samodzielny Publiczny Zakład Opieki Zdrowotnej Ministerstwa Spraw Wewnętrznych z Warmińsko-Mazurskim Centrum Onkologii w Olsztynie	32		38		38						12		14	19	34	60
Wojskowy Instytut Medyczny w Warszawie	75			8	12		34			32	34	30		56		
Centrum Onkologii Ziemi Lubelskiej im. Św. Jana z Dukli SPZOZ w Lublinie			36										32		35	89
Centrum Medyczne "Zdrowie"/Mazowiecki Szpital Onkologiczny/Przychodnia Mazowieckiego Szpitala Onkologicznego/ w Wieliszewie	2	2	16								15		2	10		14
Szpital Morski im. Pck w Gdyni			30		28		31	58					20	106		
Szpital Specjalistyczny w Brzozowie Podkarpacki Ośrodek Onkologiczny im. Ks. B. Markiewicza	50		50		60			33							80	43
Wojewódzki Szpital Specjalistyczny im. Fryderyka Chopina w Rzeszowie	50			17				86		34	42		35		25	50
Białostockie Centrum Onkologii im. Marii Skłodowskiej - Curie w Białymstoku			40										30		43	41

Źródło: opracowanie DAiS na podstawie bazy NFZ.

Tabela 7: Liczba hospitalizowanych pacjentów w poszczególnych szpitalach wg zakresu świadczeń (2012)

Nazwa świadczeniodawcy\ Zakres świadczeń	Brachyterapia	Chemioterapia - hospitalizacja z zakresem skojarzonym	Chirurgia klatki piersiowej - hospitalizacja	Chirurgia ogólna - hospitalizacja	Chirurgia onkologiczna - hospitalizacja	Choroby płuc - hospitalizacja	Endokrynologia - hospitalizacja	Ginekologia onkologiczna - hospitalizacja	Okulistyka - hospitalizacja	Onkologia kliniczna - hospitalizacja	Otolaryngologia - hospitalizacja	Położnictwo i ginekologia - hospitalizacja III poziom referencyjny	Teleradioterapia	Terapia izotopowa	Urologia - hospitalizacja	Urologia - hospitalizacja planowa	Pozostałe	SUMA	Unikalni pacjenci
Centrum Onkologii - Instytut im. Marii Skłodowskiej-Curie w Warszawie	890	2 267	535	35	3 732		152	538		2 393	317		837	947	474		849	13 966	11 324
Wojewódzki Szpital Specjalistyczny im. M. Kopernika w Łodzi	3	3 650	437	226	1 378					1 303	94		1		636		600	8 328	6 737
Centrum Onkologii im. Prof. Franciszka Łukaszczyka w Bydgoszczy		1 835	589		1 863			640		1 560					771		181	7 439	6 377
Wielkopolskie Centrum Onkologii im. Marii Skłodowskiej-Curie w Poznaniu		1 166		102	2 593			321		2 043	441						13	6 679	5 685
Centrum Onkologii-Instytut im. Marii Skłodowskiej-Curie Oddział w Gliwicach		1 382			1 589		1 817			1 691								6 479	5 455
Świętokrzyskie Centrum Onkologii w Kielcach	492	902	174	1	1 189		494	274		1 311			1 790	136	560		160	6 484	4 899
Uniwersyteckie Centrum Kliniczne w Gdańsku		361	296	501	823	161	16	380	5	970	183		1		820		681	5 198	4 483
Zachodniopomorskie Centrum Onkologii w Szczecinie		814			1 682								2 632				1	5 129	4 231
Szpital Centrum Onkologii - Instytut Oddziału w Krakowie	111	1 073			1 160			366		123			1 623	15	374			4 845	3 910
Uniwersyteckie Lecznictwo Szpitalne w Krakowie	256	713		336	1 100	111	229		297	87	200	359		49	510		379	4 626	3 915
Dolnośląskie Centrum Onkologii we Wrocławiu	46	995			1 406			419					1 774				1	4 641	3 829
Samodzielny Publiczny Zakład Opieki Zdrowotnej Ministerstwa Spraw Wewnętrznych z Warmińsko-Mazurskim Centrum Onkologii w Olsztynie	214	641		219	997			103		17	67		1 604				292	4 154	3 374
Wojskowy Instytut Medyczny w Warszawie		661		172	456	192	433	8		822	92				386		599	3 821	2 942
Centrum Onkologii Ziemi Lubelskiej im. Św. Jana z Dukli SPZOZ w Lublinie		915			1 099					1 056							6	3 076	2 702
Centrum Medyczne "Zdrowie"/Mazowiecki Szpital Onkologiczny/Przychodnia Mazowieckiego Szpitala Onkologicznego/ w Wieliszewie	217	178		26	587					71			1 530		586			3 195	2 474
Szpital Morski im. Pck w Gdyni	59	331			628	283	3	323		934			394				244	3 199	2 674
Szpital Specjalistyczny w Brzozowie Podkarpacki Ośrodek Onkologiczny im. Ks. B. Markiewicza		1 070		66	704					733						224	296	3 093	2 604
Wojewódzki Szpital Specjalistyczny im. Fryderyka Chopina w Rzeszowie		639		9	602					861	130	240	1		333		92	2 907	2 388
Białostockie Centrum Onkologii im. Marii Skłodowskiej - Curie w Białymstoku		791			943					1 290								3 024	2 426

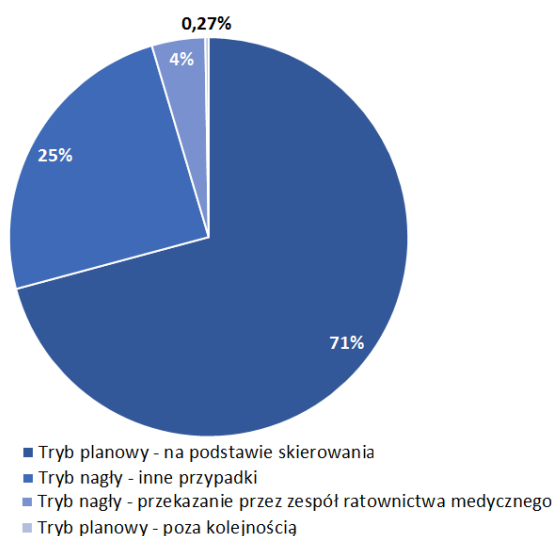
Źródło: opracowanie DAiS na podstawie bazy NFZ.

Tabela 8: Udział hospitalizowanych pacjentów w poszczególnych szpitalach wg zakresu świadczeń (2012)

Nazwa świadczeniodawcy\ Zakres świadczeń	Brachyterapia	Chemioterapia - hospitalizacja z zakresem skojarzonym	Chirurgia klatki piersiowej - hospitalizacja	Chirurgia ogólna - hospitalizacja	Chirurgia onkologiczna - hospitalizacja	Choroby płuc - hospitalizacja	Endokrynologia - hospitalizacja	Ginekologia onkologiczna - hospitalizacja	Okulistyka - hospitalizacja	Onkologia kliniczna - hospitalizacja	Otorynolaryngologia - hospitalizacja	Położnictwo i ginekologia - hospitalizacja III poziom referencyjny	Teleradioterapia	Terapia izotopowa	Urologia - hospitalizacja	Urologia - hospitalizacja planowa	Pozostałe	SUMA
Centrum Onkologii - Instytut im. Marii Skłodowskiej-Curie w Warszawie	6%	16%	4%		27%		1%	4%		17%	2%		6%	7%	3%		6%	100%
Wojewódzki Szpital Specjalistyczny im. M. Kopernika w Łodzi		44%	5%	3%	17%					16%	1%					8%	7%	100%
Centrum Onkologii im. Prof. Franciszka Łukaszczyka w Bydgoszczy		25%	8%		25%			9%		21%					10%		2%	100%
Wielkopolskie Centrum Onkologii im. Marii Skłodowskiej-Curie w Poznaniu		18%		2%	39%			5%		31%	7%							100%
Centrum Onkologii-Instytut im. Marii Skłodowskiej-Curie Oddział w Gliwicach		21%			25%		28%			26%								100%
Świętokrzyskie Centrum Onkologii w Kielcach	8%	14%	3%		18%		8%	4%			5%		28%	2%	9%		3%	100%
Uniwersyteckie Centrum Kliniczne w Gdańsku		7%	6%	10%	16%	3%		7%		19%	4%				16%		13%	100%
Zachodniopomorskie Centrum Onkologii w Szczecinie		16%			33%								51%					100%
Szpital Centrum Onkologii - Instytut Oddziału w Krakowie	2%	22%			24%			8%		3%			34%		8%			100%
Uniwersyteckie Lecznictwo Szpitalne w Krakowie	6%	15%		7%	24%	2%	5%		6%	2%	4%	8%		1%	11%		8%	100%
Dolnośląskie Centrum Onkologii we Wrocławiu	1%	21%			30%			9%					38%					100%
Samodzielny Publiczny Zakład Opieki Zdrowotnej Ministerstwa Spraw Wewnętrznych z Warmińsko-Mazurskim Centrum Onkologii w Olsztynie	5%	15%		5%	24%			3%			2%		39%				7%	100%
Wojskowy Instytut Medyczny w Warszawie		17%		5%	12%	5%	11%			22%	2%				10%		16%	100%
Centrum Onkologii Ziemi Lubelskiej im. Św. Jana z Dukli SPZOZ w Lublinie		30%			36%					34%								100%
Centrum Medyczne "Zdrowie"/Mazowiecki Szpital Onkologiczny/Przychodnia Mazowieckiego Szpitala Onkologicznego/ w Wieliszewie	7%	6%		1%	18%					2%			48%		18%			100%
Szpital Morski im. Pck w Gdyni	2%	10%			20%	9%		10%		29%			12%				8%	100%
Szpital Specjalistyczny w Brzozowie Podkarpacki Ośrodek Onkologiczny im. Ks. B. Markiewicza		35%		2%	23%					24%						7%	10%	100%
Wojewódzki Szpital Specjalistyczny im. Fryderyka Chopina w Rzeszowie		22%			21%					30%	5%	8%			12%		3%	100%
Białostockie Centrum Onkologii im. Marii Skłodowskiej - Curie w Białymstoku		26%			31%					43%								100%

Źródło: opracowanie DAiS na podstawie bazy NFZ.

Wykres 105: Procentowy udział pacjentów przyjętych w poszczególnych trybach w Polsce (2012)



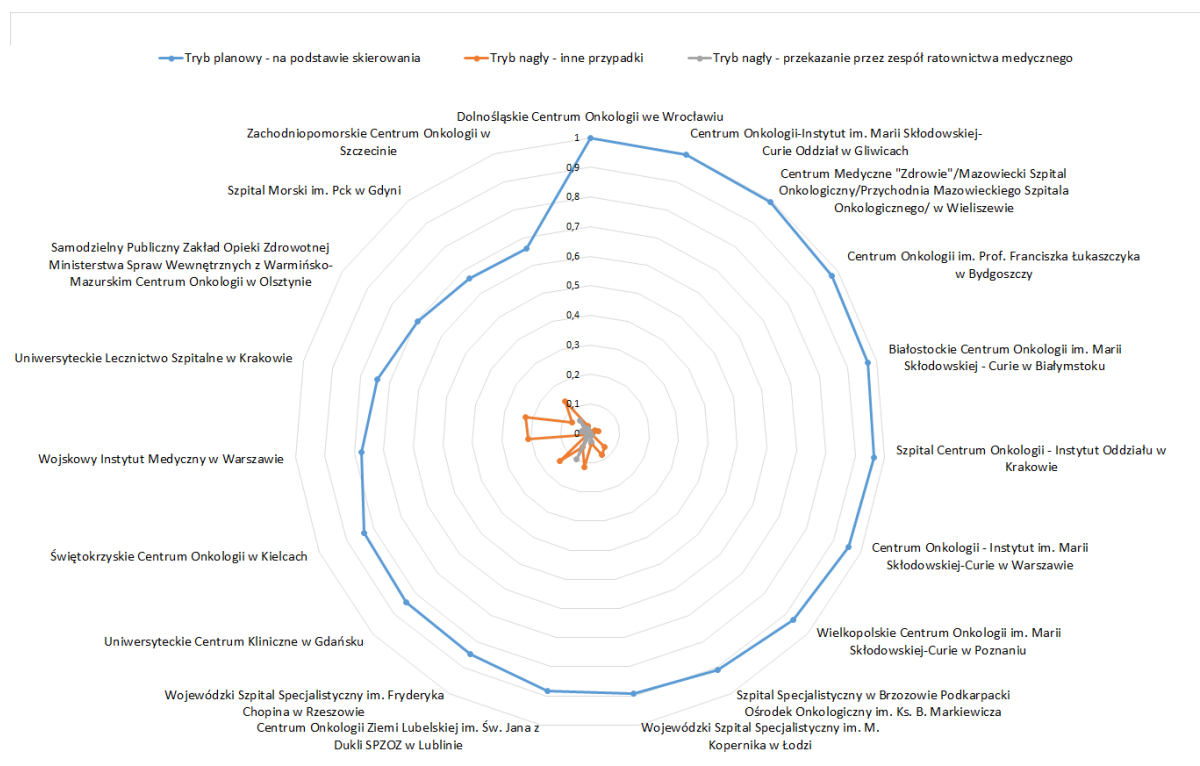
Źródło: opracowanie DAiS na podstawie bazy NFZ.

Tabela 9: Liczba pacjentów w podziale na tryb przyjęcia do szpitala (2012)

Nazwa świadczeniodawcy\Tryb przyjęcia	Tryb planowy - na podstawie skierowania	Tryb nagły - inne przypadki	Tryb nagły - przekazanie przez zespół ratownictwa medycznego	Tryb planowy - poza kolegiacją	Przeniesienie z innego szpitala	Brak danych	SUMA	Unikalni pacjenci
Centrum Onkologii - Instytut im. Marii Skłodowskiej-Curie w Warszawie	10 981	63	11	2		459	11 516	11 324
Wojewódzki Szpital Specjalistyczny im. M. Kopernika w Łodzi	6 467	243	212	339			7 261	6 737
Centrum Onkologii im. Prof. Franciszka Łukaszczyka w Bydgoszczy	6 300	130	6	11			6 447	6 377
Wielkopolskie Centrum Onkologii im. Marii Skłodowskiej-Curie w Poznaniu	5 438	391	5				5 834	5 685
Centrum Onkologii-Instytut im. Marii Skłodowskiej-Curie Oddział w Gliwicach	5 448	4	9				5 461	5 455
Świętokrzyskie Centrum Onkologii w Kielcach	4 413	63	7	2	2	796	5 283	4 899
Uniwersyteckie Centrum Kliniczne w Gdańsku	4 071	668	82	1	4		4 826	4 483
Zachodniopomorskie Centrum Onkologii w Szczecinie	3 122	121	91	3		1 387	4 724	4 231
Szpital Centrum Onkologii - Instytut Oddziału w Krakowie	3 876	34		1		107	4 018	3 910
Uniwersyteckie Lecznictwo Szpitalne w Krakowie	3 216	979	128	2	3		4 328	3 915
Dolnośląskie Centrum Onkologii we Wrocławiu	3 829						3 829	3 829
Samodzielny Publiczny Zakład Opieki Zdrowotnej Ministerstwa Spraw Wewnętrznych z Warmińsko-Mazurskim Centrum Onkologii w Olsztynie	2 641	268	87			803	3 799	3 374
Wojskowy Instytut Medyczny w Warszawie	2 527	687	39				3 253	2 942
Centrum Onkologii Ziemi Lubelskiej im. Św. Jana z Dukli SPZOZ w Lublinie	2 600	343	1	3			2 947	2 702
Centrum Medyczne "Zdrowie"/Mazowiecki Szpital Onkologiczny/Przychodnia Mazowieckiego Szpitala Onkologicznego/ w Wieliszewie	2 670	17		1			2 688	2 474
Szpital Morski im. Pck w Gdyni	1 982	408	162	1		431	2 984	2 674
Szpital Specjalistyczny w Brzozowie Podkarpacki Ośrodek Onkologiczny im. Ks. B. Markiewicza	2 380	216	21	1	2		2 620	2 604
Wojewódzki Szpital Specjalistyczny im. Fryderyka Chopina w Rzeszowie	2 230	133	261	4			2 628	2 388
Białostockie Centrum Onkologii im. Marii Skłodowskiej - Curie w Białymstoku	2 364	73		1			2 438	2 426

Źródło: opracowanie DAiS na podstawie bazy NFZ.

Wykres 106: Procent pacjentów przyjętych w poszczególnych szpitalach z uwzględnieniem trybu przyjęcia (2012)



Źródło: opracowanie DAiS na podstawie bazy NFZ.

Tabela 10: Liczba pacjentów w poszczególnych szpitalach wg umiejscowienia nowotworu (2012)

Nazwa świadczeniodawcy\Rodzaj nowotworu	CUN	Czerniak	Dolny odcinek	Ginekologiczne	Głowa i szyja	Górny odcinek	Jądro	Nerka	Pęcherz	Pierś	Płuco	Prostata	Tarczycza	Pozostałe	SUMA	Unikalni pacjenci
Centrum Onkologii - Instytut im. Marii Skłodowskiej-Curie w Warszawie	308	398	849	1 590	848	625	136	146	234	2 195	1 233	333	1 156	2 201	12 252	11 324
Wojewódzki Szpital Specjalistyczny im. M. Kopernika w Łodzi	125	256	950	724	342	547	67	204	458	1 510	952	355	98	448	7 036	6 737
Centrum Onkologii im. Prof. Franciszka Łukaszczyka w Bydgoszczy	132	150	844	885	210	450	82	271	297	1 346	940	431	21	544	6 603	6 377
Wielkopolskie Centrum Onkologii im. Marii Skłodowskiej-Curie w Poznaniu	127	218	1 023	830	525	486	63	20	52	1 516	56	311	80	490	5 797	5 685
Centrum Onkologii-Instytut im. Marii Skłodowskiej-Curie Oddział w Gliwicach	218	94	498	467	431	265	35	36	35	791	299	219	1 780	538	5 706	5 455
Świętokrzyskie Centrum Onkologii w Kielcach	61	133	409	590	325	217	42	153	269	837	595	439	443	928	5 441	4 899
Uniwersyteckie Centrum Kliniczne w Gdańsku	111	189	284	542	310	442	27	184	441	630	701	313	34	513	4 721	4 483
Zachodniopomorskie Centrum Onkologii w Szczecinie	76	177	629	430	291	265	36	40	79	1 030	613	285	12	794	4 757	4 231
Szpital Centrum Onkologii - Instytut Oddziału w Krakowie	79	218	286	632	158	130	64	107	187	1 180	309	409	18	249	4 026	3 910
Uniwersyteckie Lecznictwo Szpitalne w Krakowie	139	18	511	471	198	520	14	75	401	313	161	68	249	902	4 040	3 915
Dolnośląskie Centrum Onkologii we Wrocławiu	101	101	638	903	267	218	41	23	20	1 102	48	116	7	457	4 042	3 829
Samodzielny Publiczny Zakład Opieki Zdrowotnej Ministerstwa Spraw Wewnętrznych z Warmińsko-Mazurskim Centrum Onkologii w Olsztynie	66	71	511	339	228	295	14	61	106	739	583	172	69	222	3 476	3 374
Wojskowy Instytut Medyczny w Warszawie	102	11	400	247	132	382	31	241	251	217	286	83	393	455	3 231	2 942
Centrum Onkologii Ziemi Lubelskiej im. Św. Jana z Dukli SPZOZ w Lublinie	72	103	268	512	198	135	41	30	37	811	210	90	29	368	2 904	2 702
Centrum Medyczne "Zdrowie"/Mazowiecki Szpital Onkologiczny/Przychodnia Mazowieckiego Szpitala Onkologicznego/ w Wieliszewie	23	32	272	243	111	89	25	107	306	514	169	578	15	286	2 770	2 474
Szpital Morski im. Pck w Gdyni	55	68	307	474	117	176	23	28	28	473	491	166	31	270	2 707	2 674
Szpital Specjalistyczny w Brzozowie Podkarpacki Ośrodek Onkologiczny im. Ks. B. Markiewicza	51	81	442	265	82	234	15	61	105	317	302	282	21	312	2 570	2 604
Wojewódzki Szpital Specjalistyczny im. Fryderyka Chopina w Rzeszowie	16	73	274	507	259	179	18	105	185	386	268	101	8	123	2 502	2 388
Białostockie Centrum Onkologii im. Marii Skłodowskiej - Curie w Białymstoku	55	62	407	434	155	140	12	16	43	479	249	209	14	224	2 499	2 426

Źródło: opracowanie DAiS na podstawie bazy NFZ.

Tabela 11: Udział pacjentów w poszczególnych szpitalach wg umiejscowienia nowotworu (2012)

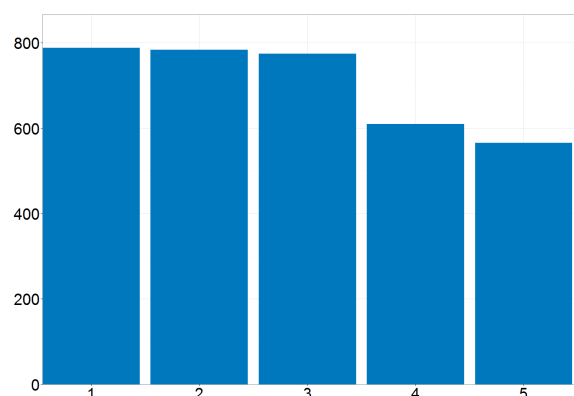
Nazwa świadczeniodawcy\Rodzaj nowotworu	CUN	Czerniak	Dolny odcinek	Ginekologiczne	Głowa i szyja	Górny odcinek	Jądro	Nerka	Pęcherz	Pierś	Płuco	Prostata	Tarczycza	Pozostałe	SUMA
Centrum Onkologii - Instytut im. Marii Skłodowskiej-Curie w Warszawie			7%	13%	7%	5%				18%	10%		9%	18%	100%
Wojewódzki Szpital Specjalistyczny im. M. Kopernika w Łodzi			14%	10%		8%			7%	22%	14%			6%	100%
Centrum Onkologii im. Prof. Franciszka Łukaszczyka w Bydgoszczy			13%	13%		7%				20%	14%	7%		8%	100%
Wielkopolskie Centrum Onkologii im. Marii Skłodowskiej-Curie w Poznaniu			18%	14%	9%	8%				26%		5%		9%	100%
Centrum Onkologii-Instytut im. Marii Skłodowskiej-Curie Oddział w Gliwicach			9%	8%	8%					14%	5%		31%	9%	100%
Świętokrzyskie Centrum Onkologii w Kielcach			8%	11%	6%					15%	11%	8%	8%	17%	100%
Uniwersyteckie Centrum Kliniczne w Gdańsku			6%	12%	7%	9%			9%	13%	15%	7%		11%	100%
Zachodniopomorskie Centrum Onkologii w Szczecinie			13%	9%	6%	6%				22%	13%	6%		17%	100%
Szpital Centrum Onkologii - Instytut Oddziału w Krakowie		5%	7%	16%						29%	8%	10%		6%	100%
Uniwersyteckie Lecznictwo Szpitalne w Krakowie			13%	12%		13%			10%	8%			6%	22%	100%
Dolnośląskie Centrum Onkologii we Wrocławiu			16%	22%	7%	5%				27%				11%	100%
Samodzielny Publiczny Zakład Opieki Zdrowotnej Ministerstwa Spraw Wewnętrznych z Warmińsko-Mazurskim Centrum Onkologii w Olsztynie			15%	10%	7%	9%				21%	17%			6%	100%
Wojskowy Instytut Medyczny w Warszawie			12%	8%		12%		8%	8%	7%	9%		12%	14%	100%
Centrum Onkologii Ziemi Lubelskiej im. Św. Jana z Dukli SPZOZ w Lublinie			9%	18%	7%					28%	7%			13%	100%
Centrum Medyczne "Zdrowie"/Mazowiecki Szpital Onkologiczny/Przychodnia Mazowieckiego Szpitala Onkologicznego/ w Wieliszewie			10%	9%					11%	19%	6%	21%		10%	100%
Szpital Morski im. Pck w Gdyni			11%	18%		7%				18%	18%	6%		10%	100%
Szpital Specjalistyczny w Brzozowie Podkarpacki Ośrodek Onkologiczny im. Ks. B. Markiewicza			17%	10%		9%				12%	12%	11%		12%	100%
Wojewódzki Szpital Specjalistyczny im. Fryderyka Chopina w Rzeszowie			11%	20%	10%	7%			7%	15%	11%				100%
Białostockie Centrum Onkologii im. Marii Skłodowskiej - Curie w Białymstoku			16%	17%	6%	6%				19%	10%	8%		9%	100%

Źródło: opracowanie DAiS na podstawie bazy NFZ.

Analiza świadczeniodawców według leczonych grup nowotworów

Nowotwór złośliwy nerki (C64-C66)

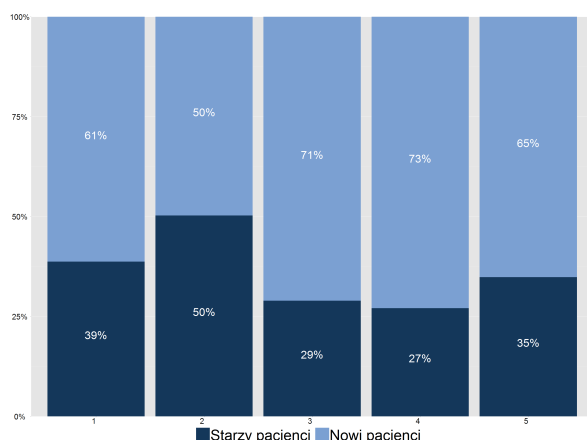
Wykres 107: Liczba pacjentów z nowotworem nerki wg poszczególnych szpitali (2010-2012)



Ip.	Nazwa świadczeniodawcy
1	Centrum Onkologii im. Prof. Franciszka Łukaszczyka w Bydgoszczy
2	Wojskowy Instytut Medyczny w Warszawie
3	Wielospecjalistyczny Szpital Miejski im. Józefa Strusia z Zakładem Opiekuńczo-Lecznicznym. Samodzielny Publiczny Zakład Opieki Zdrowotnej z Siedzibą w Poznaniu Przy Ul. Szwajcarskiej 3
4	Centralny Szpital Kliniczny MSW w Warszawie
5	Uniwersytecki Szpital Kliniczny im. Jana Mikulicza-Radeckiego we Wrocławiu

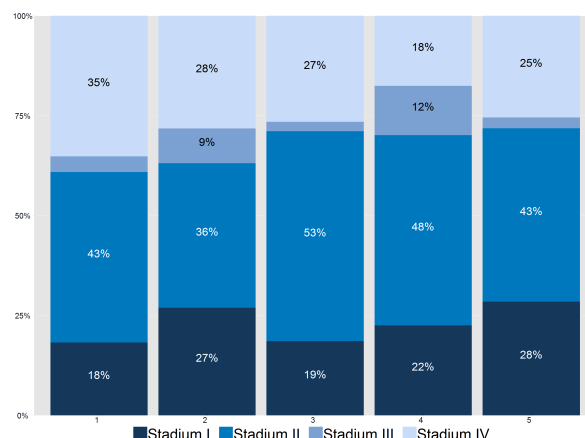
Źródło: opracowanie DAiS na podstawie bazy NFZ.

Wykres 108: Struktura "starych" i "nowych" pacjentów wg poszczególnych szpitali (2010-2012)



Źródło: opracowanie DAiS na podstawie bazy KRN, NFZ.

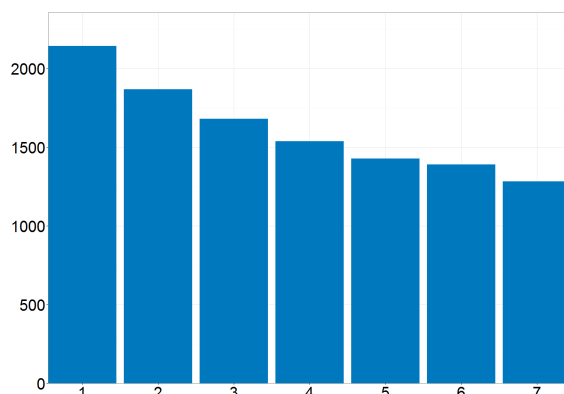
Wykres 109: Udział pacjentów w poszczególnych szpitalach w zależności od stadium zaawansowania choroby nowotworowej (2010-2012)



Źródło: opracowanie DAiS na podstawie bazy KRN, NFZ.

Nowotwory złośliwe górnego odcinka układu pokarmowego (C15, C16, C22-C26)

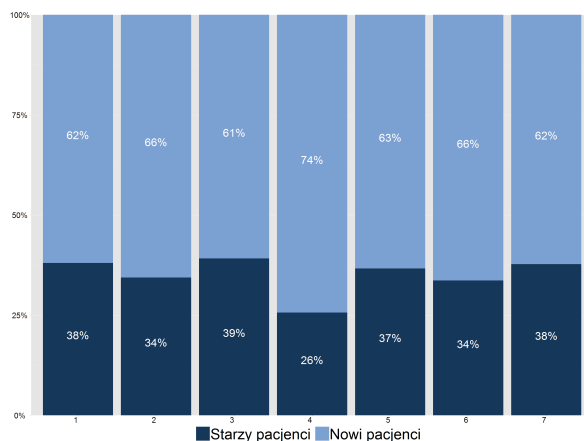
Wykres 110: Liczba pacjentów z nowotworem górnego odcinka układu pokarmowego wg poszczególnych szpitali (2010-2012)



Ip.	Nazwa świadczeniodawcy
1	Samodzielny Publiczny Centralny Szpital Kliniczny w Warszawie
2	Centrum Onkologii - Instytut im. Marii Skłodowskiej-Curie w Warszawie
3	Wojewódzki Szpital Specjalistyczny im. M. Kopernika w Łodzi
4	Uniwersyteckie Lecznictwo Szpitalne
5	Uniwersyteckie Centrum Kliniczne
6	Wielkopolskie Centrum Onkologii im. Marii Skłodowskiej-Curie
7	Centrum Onkologii im. Prof. Franciszka Łukaszczyka w Bydgoszczy

Źródło: opracowanie DAiS na podstawie bazy NFZ.

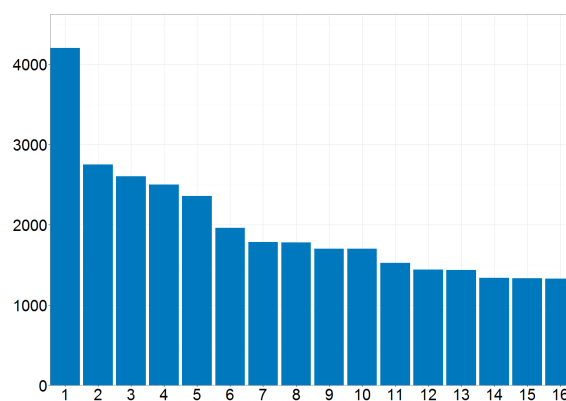
Wykres 111: Struktura "starych" i "nowych" pacjentów wg poszczególnych szpitali (2010-2012)



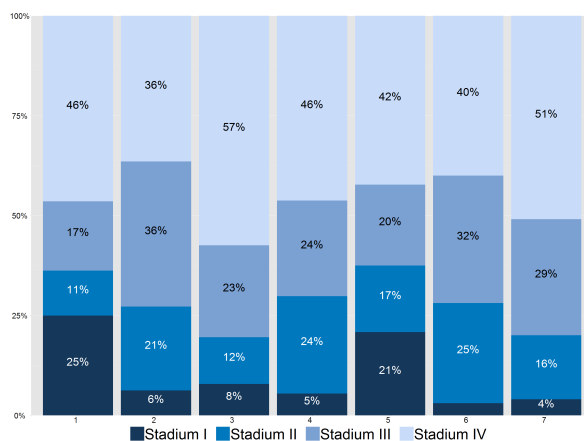
Źródło: opracowanie DAiS na podstawie bazy KRN, NFZ.

Nowotwory złośliwe ginekologiczne (C53, C54, C56, C57)

Wykres 113: Liczba pacjentów z nowotworem ginekologicznym wg poszczególnych szpitali (2010-2012)



Wykres 112: Udział pacjentów w poszczególnych szpitalach w zależności od stadium zaawansowania choroby nowotworowej (2010-2012)

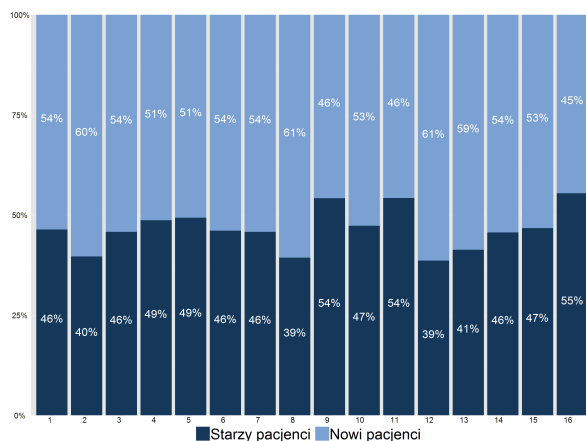


Źródło: opracowanie DAiS na podstawie bazy KRN, NFZ.

Ip.	Nazwa świadczeniodawcy
1	Centrum Onkologii - Instytut im. Marii Skłodowskiej-Curie w Warszawie
2	Dolnośląskie Centrum Onkologii we Wrocławiu
3	Wojewódzki Szpital Specjalistyczny im. M. Kopernika w Łodzi
4	Wielkopolskie Centrum Onkologii im. Marii Skłodowskiej-Curie
5	Centrum Onkologii im. Prof. Franciszka Łukaszczyka w Bydgoszczy
6	Szpital Centrum Onkologii - Instytut Oddziału w Krakowie
7	Świętokrzyskie Centrum Onkologii w Kielcach
8	Ginekologiczno-Położniczy Szpital Kliniczny Uniwersytetu Medycznego im. Karola Marcinkowskiego w Poznaniu
9	Centrum Onkologii-Instytut im. Marii Skłodowskiej-Curie Oddział w Gliwicach
10	Uniwersyteckie Centrum Kliniczne
11	Centrum Onkologii Ziemi Lubelskiej im. Św. Jana z Dukli Samodzielny Publiczny Zakład Opieki Zdrowotnej
12	Szpital Morski im. Pck
13	Wojewódzki Szpital Specjalistyczny im. Fryderyka Chopina
14	Zachodniopomorskie Centrum Onkologii
15	Uniwersyteckie Lecznictwo Szpitalne
16	Białostockie Centrum Onkologii im. Marii Skłodowskiej - Curie

Źródło: opracowanie DAiS na podstawie bazy NFZ.

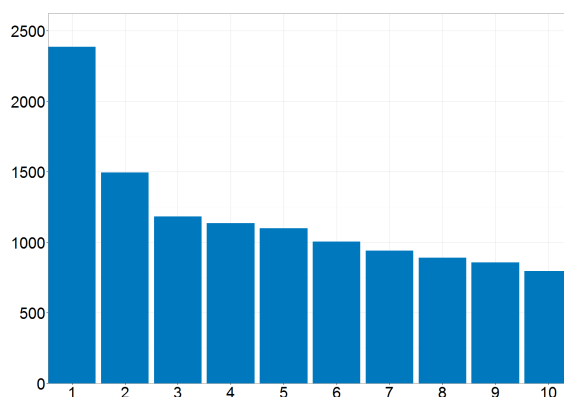
Wykres 114: Struktura "starych" i "nowych" pacjentów wg poszczególnych szpitali (2010-2012)



Źródło: opracowanie DAiS na podstawie bazy KRN, NFZ.

Nowotwory złośliwe głowy i szyi (C00-C14, C30-C32)

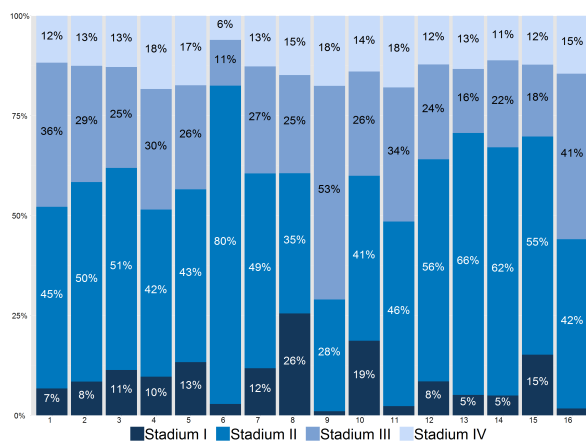
Wykres 116: Liczba pacjentów z nowotworem głowy i szyi wg poszczególnych szpitali (2010-2012)



lp.	Nazwa świadczeniodawcy
1	Centrum Onkologii - Instytut im. Marii Skłodowskiej-Curie w Warszawie
2	Wielkopolskie Centrum Onkologii im. Marii Skłodowskiej-Curie Szpital Kliniczny im. Heliodora Święcickiego Uniwersytetu Medycznego im. Karola Marcinkowskiego w Poznaniu
4	Centrum Onkologii-Instytut im. Marii Skłodowskiej-Curie Oddział w Gliwicach
5	Wojewódzki Szpital Specjalistyczny im. M. Kopernika w Łodzi
6	Świętokrzyskie Centrum Onkologii w Kielcach
7	Uniwersyteckie Centrum Kliniczne
8	Wojewódzki Szpital Specjalistyczny im. Fryderyka Chopina
9	Zachodniopomorskie Centrum Onkologii
10	Dolnośląskie Centrum Onkologii we Wrocławiu

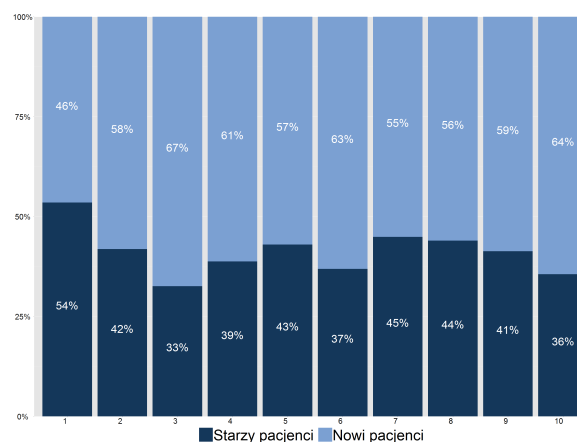
Źródło: opracowanie DAiS na podstawie bazy NFZ.

Wykres 115: Udział pacjentów w poszczególnych szpitalach w zależności od stadium zaawansowania choroby nowotworowej (2010-2012)



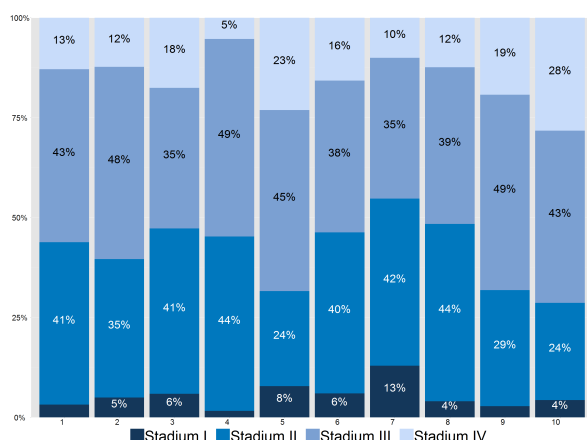
Źródło: opracowanie DAiS na podstawie bazy KRN, NFZ.

Wykres 117: Struktura "starych" i "nowych" pacjentów wg poszczególnych szpitali (2010-2012)



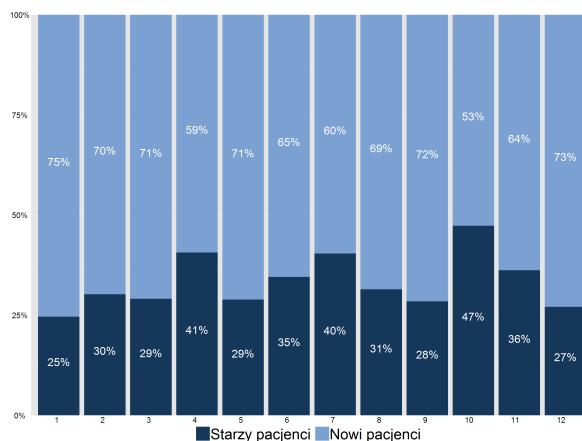
Źródło: opracowanie DAiS na podstawie bazy KRN, NFZ.

Wykres 118: Udział pacjentów w poszczególnych szpitalach w zależności od stadium zaawansowania choroby nowotworowej (2010–2012)



Źródło: opracowanie DAiS na podstawie bazy KRN, NFZ.

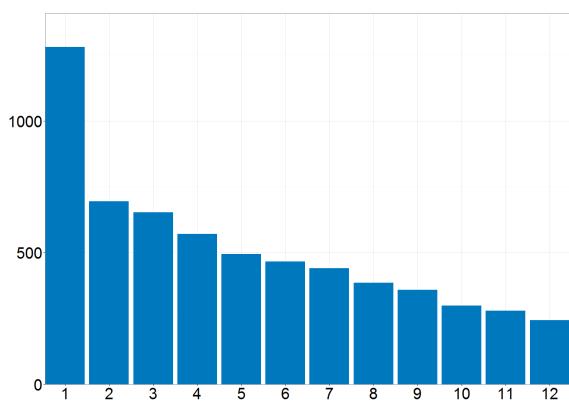
Wykres 120: Struktura "starych" i "nowych" pacjentów wg poszczególnych szpitali (2010-2012)



Źródło: opracowanie DAiS na podstawie bazy KRN, NFZ.

Czerniak (C43)

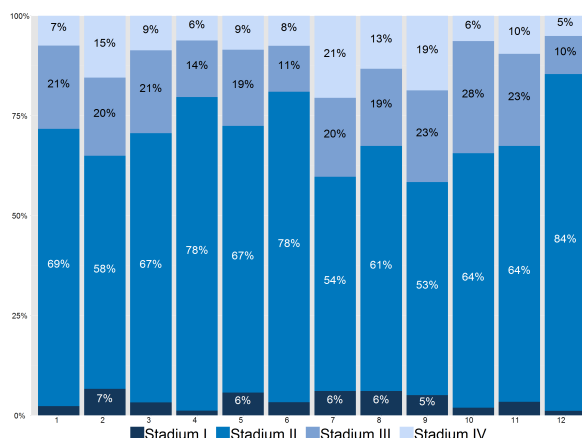
Wykres 119: Liczba pacjentów z czerniakiem wg poszczególnych szpitali (2010-2012)



lp.	Nazwa świadczeniodawcy
1	Centrum Onkologii - Instytut im. Marii Skłodowskiej-Curie w Warszawie
2	Wojewódzki Szpital Specjalistyczny im. M. Kopernika w Łodzi
3	Wielkopolskie Centrum Onkologii im. Marii Skłodowskiej-Curie
4	Szpital Centrum Onkologii - Instytut Oddziału w Krakowie
5	Uniwersyteckie Centrum Kliniczne
6	Zachodniopomorskie Centrum Onkologii
7	Centrum Onkologii im. Prof. Franciszka Łukaszczyka w Bydgoszczy
8	Świętokrzyskie Centrum Onkologii w Kielcach
9	Dolnośląskie Centrum Onkologii we Wrocławiu
10	Centrum Onkologii-Instytut im. Marii Skłodowskiej-Curie Oddział w Gliwicach
11	Centrum Onkologii Ziemi Lubelskiej im. Św. Jana z Dukli Samodzielny Publiczny Zakład Opieki Zdrowotnej
12	Samodzielny Publiczny Zakład Opieki Zdrowotnej - Opolskie Centrum Onkologii im. Prof. T. Koszarowskiego

Źródło: opracowanie DAiS na podstawie bazy NFZ.

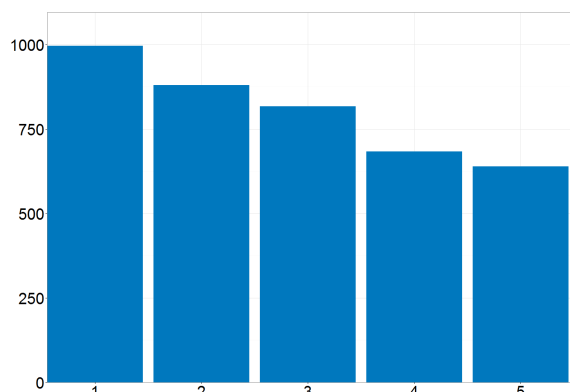
Wykres 121: Udział pacjentów w poszczególnych szpitalach w zależności od stadium zaawansowania choroby nowotworowej (2010–2012)



Źródło: opracowanie DAiS na podstawie bazy KRN, NFZ.

Nowotwór złośliwy centralnego układu nerwowego (C70-C72)

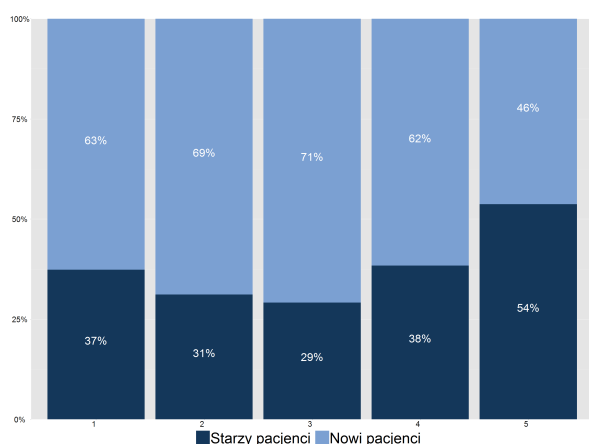
Wykres 122: Liczba pacjentów z nowotworem centralnego układu nerwowego wg poszczególnych szpitali (2010-2012)



lp.	Nazwa świadczeniodawcy
1	SPZOZ 10 Wojskowy Szpital Kliniczny z Polikliniką
2	Centrum Onkologii - Instytut im. Marii Skłodowskiej-Curie w Warszawie
3	Samodzielny Publiczny Szpital Kliniczny nr 4 w Lublinie
4	Wojewódzki Szpital Specjalistyczny nr 5 im. Św. Barbary w Sosnowcu
5	Centrum Onkologii-Instytut im. Marii Skłodowskiej-Curie Oddział w Gliwicach

Źródło: opracowanie DAiS na podstawie bazy NFZ.

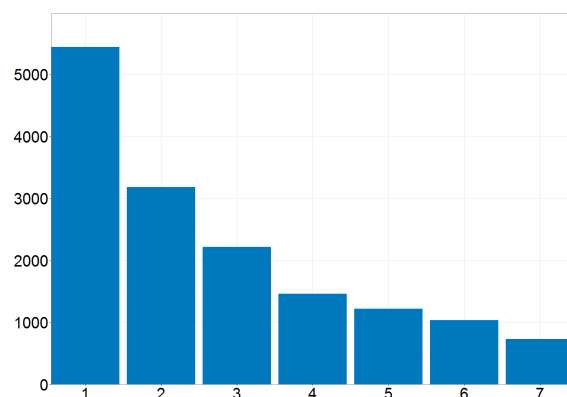
Wykres 123: Struktura "starych" i "nowych" pacjentów wg poszczególnych szpitali (2010-2012)



Źródło: opracowanie DAiS na podstawie bazy KRN, NFZ.

Nowotwór złośliwy tarczycy (C73)

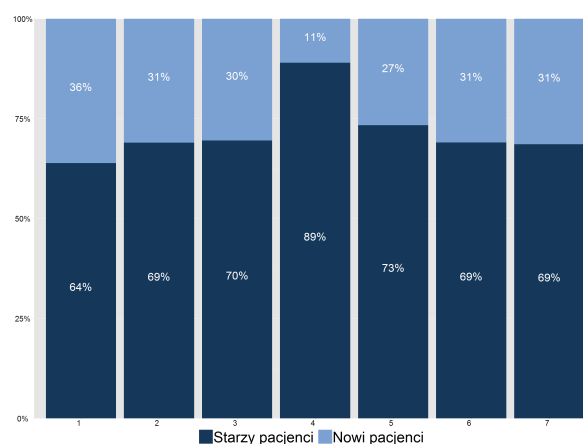
Wykres 124: Liczba pacjentów z nowotworem tarczycy wg poszczególnych szpitali (2010-2012)



lp.	Nazwa świadczeniodawcy
1	Centrum Onkologii-Instytut im. Marii Skłodowskiej-Curie Oddział w Gliwicach
2	Centrum Onkologii - Instytut im. Marii Skłodowskiej-Curie w Warszawie
3	Wojewódzki Szpital Specjalistyczny im. Marii Skłodowskiej - Curie w Zgierzu
4	Szpital Kliniczny im. Heliodora Święcickiego Uniwersytetu Medycznego im. Karola Marcinkowskiego w Poznaniu
5	Świętokrzyskie Centrum Onkologii w Kielcach
6	Wojskowy Instytut Medyczny w Warszawie
7	Uniwersyteckie Lecznictwo Szpitalne

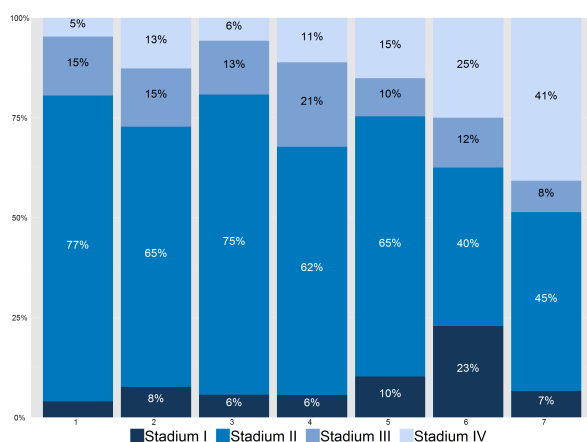
Źródło: opracowanie DAiS na podstawie bazy NFZ.

Wykres 125: Struktura "starych" i "nowych" pacjentów wg poszczególnych szpitali (2010-2012)



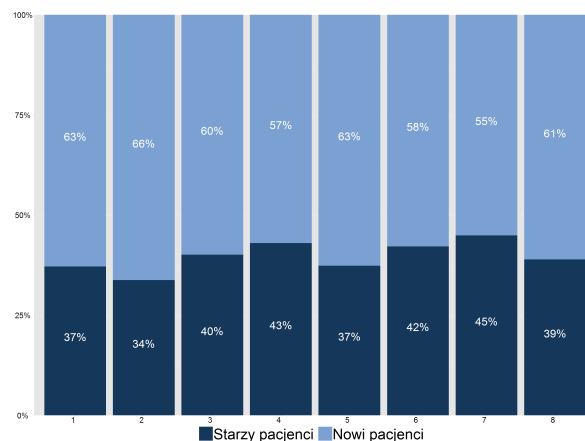
Źródło: opracowanie DAiS na podstawie bazy KRN, NFZ.

Wykres 126: Udział pacjentów w poszczególnych szpitalach w zależności od stadium zaawansowania choroby nowotworowej (2010–2012)



Źródło: opracowanie DAiS na podstawie bazy KRN, NFZ.

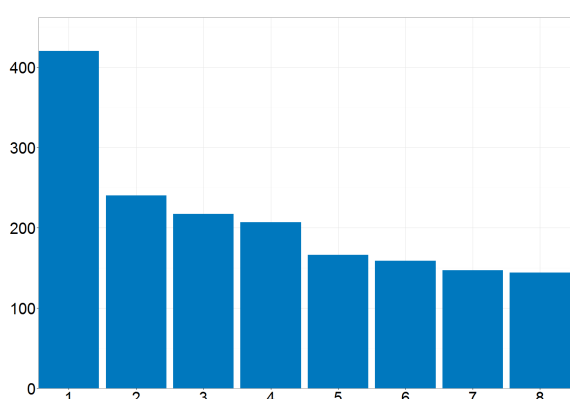
Wykres 128: Struktura "starych" i "nowych" pacjentów wg poszczególnych szpitali (2010-2012)



Źródło: opracowanie DAiS na podstawie bazy KRN, NFZ.

Nowotwór złośliwy jądra (C62)

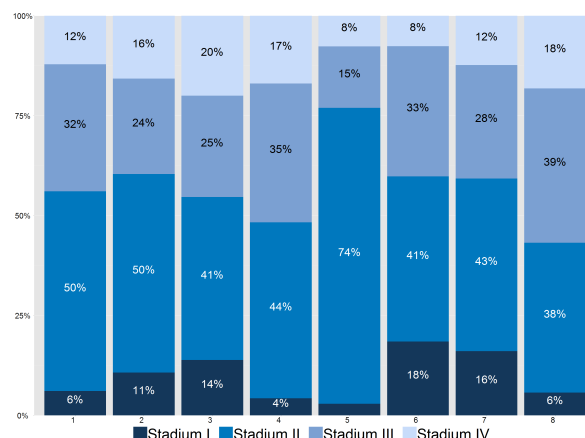
Wykres 127: Liczba pacjentów z nowotworem jądra wg poszczególnych szpitali (2010-2012)



lp.	Nazwa świadczeniodawcy
1	Centrum Onkologii - Instytut im. Marii Skłodowskiej-Curie w Warszawie
2	Centrum Onkologii im. Prof. Franciszka Łukaszczyka w Bydgoszczy
3	Wojewódzki Szpital Specjalistyczny im. M. Kopernika w Łodzi
4	Wielkopolskie Centrum Onkologii im. Marii Skłodowskiej-Curie
5	Szpital Centrum Onkologii - Instytut Oddziału w Krakowie
6	Centralny Szpital Kliniczny MSW w Warszawie
4	Wojskowy Szpital Kliniczny z Polikliniką Samodzielny Publiczny Zakład
7	Opieki Zdrowotnej we Wrocławiu
8	Dolnośląskie Centrum Onkologii we Wrocławiu

Źródło: opracowanie DAiS na podstawie bazy NFZ.

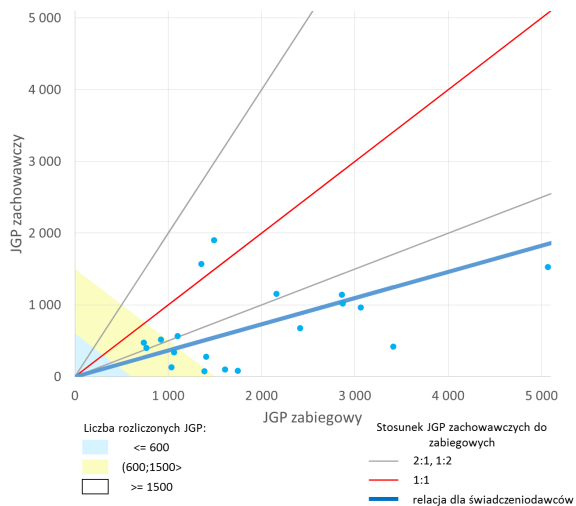
Wykres 129: Udział pacjentów w poszczególnych szpitalach w zależności od stadium zaawansowania choroby nowotworowej (2010–2012)



Źródło: opracowanie DAiS na podstawie bazy KRN, NFZ.

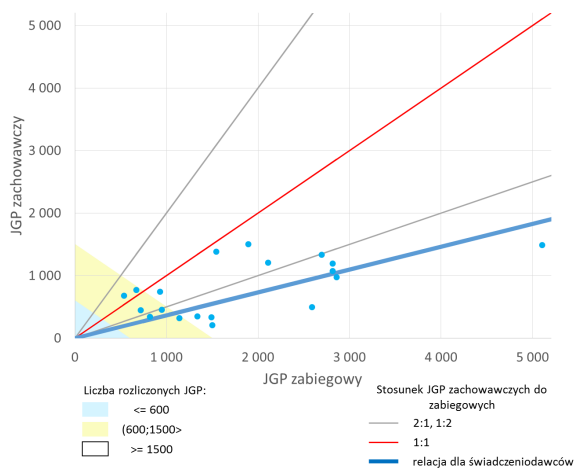
2.1.1 Analiza świadczeń zabiegowych i zachowawczych

Wykres 130: Stosunek sprawozdanych JGP zachowawczych do zabiegowych (dane rzeczywiste)(2012)



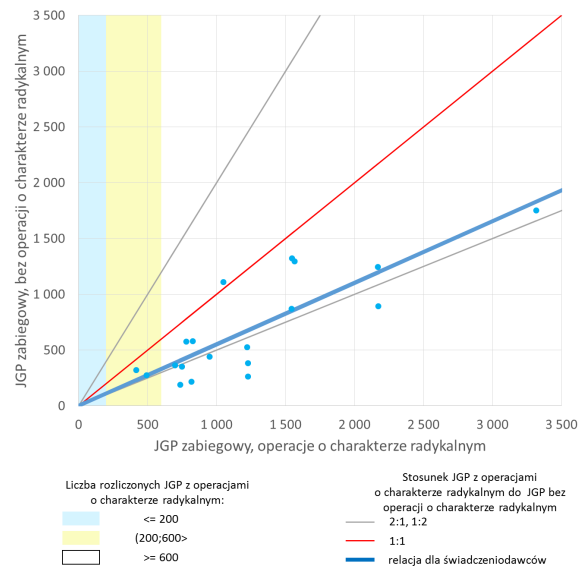
Źródło: opracowanie DAiS na podstawie bazy NFZ.

Wykres 131: Stosunek sprawozdanych JGP zachowawczych do zabiegowych (dane standaryzowane względem typu i stadium zaawansowania nowotworu)(2012)



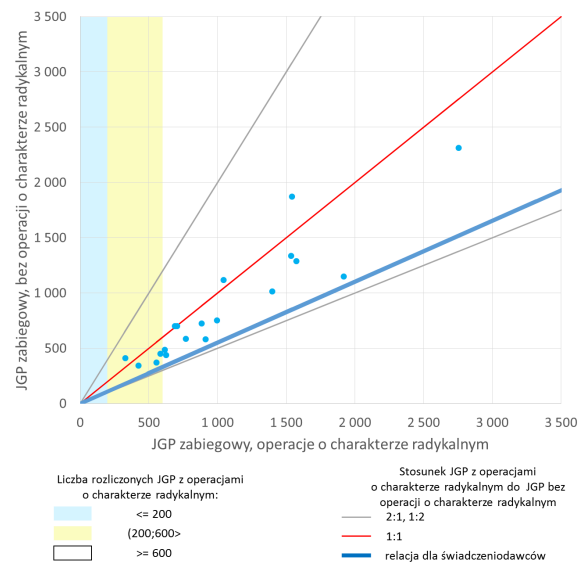
Źródło: opracowanie DAiS na podstawie bazy NFZ.

Wykres 132: Stosunek sprawozdanych JGP zabiegowych z chirurgią radykalną do JGP zabiegowych bez operacji o charakterze radykalnym (dane rzeczywiste)(2012)



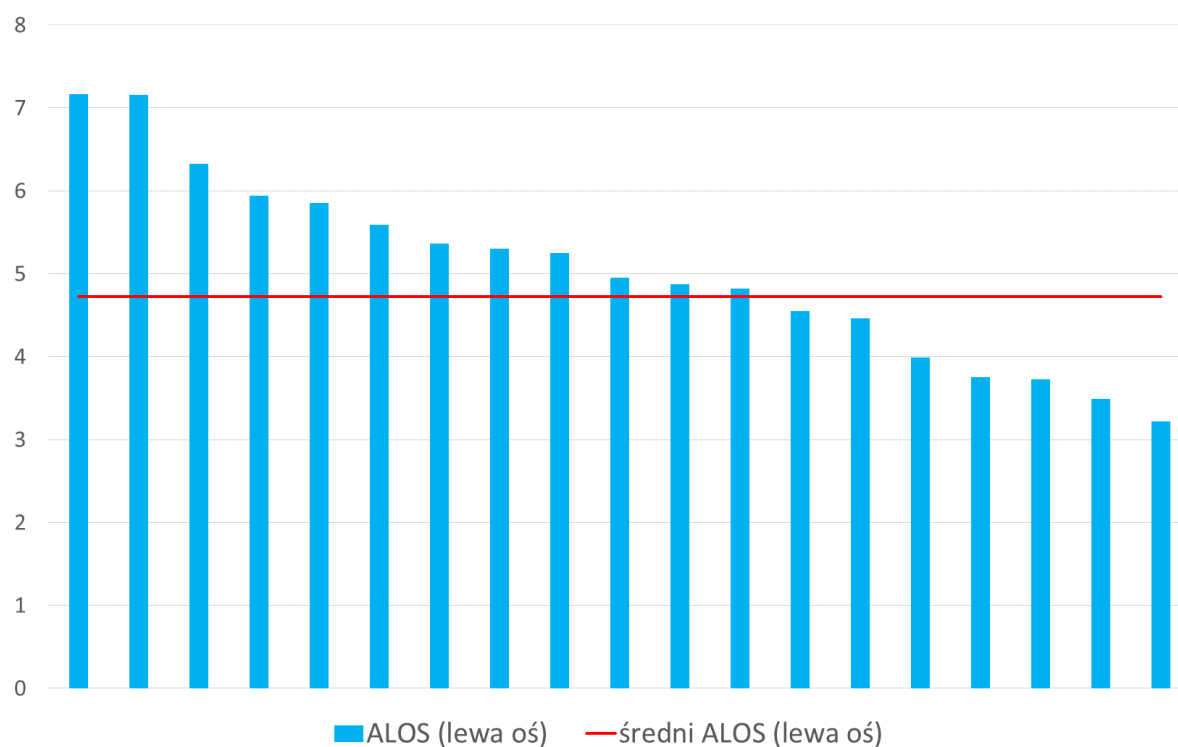
Źródło: opracowanie DAiS na podstawie bazy NFZ.

Wykres 133: Stosunek sprawozdanych JGP zabiegowych z chirurgią radykalną do JGP zabiegowych bez operacji o charakterze radykalnym (dane standaryzowane względem typu i stadium zaawansowania nowotworu)(2012)



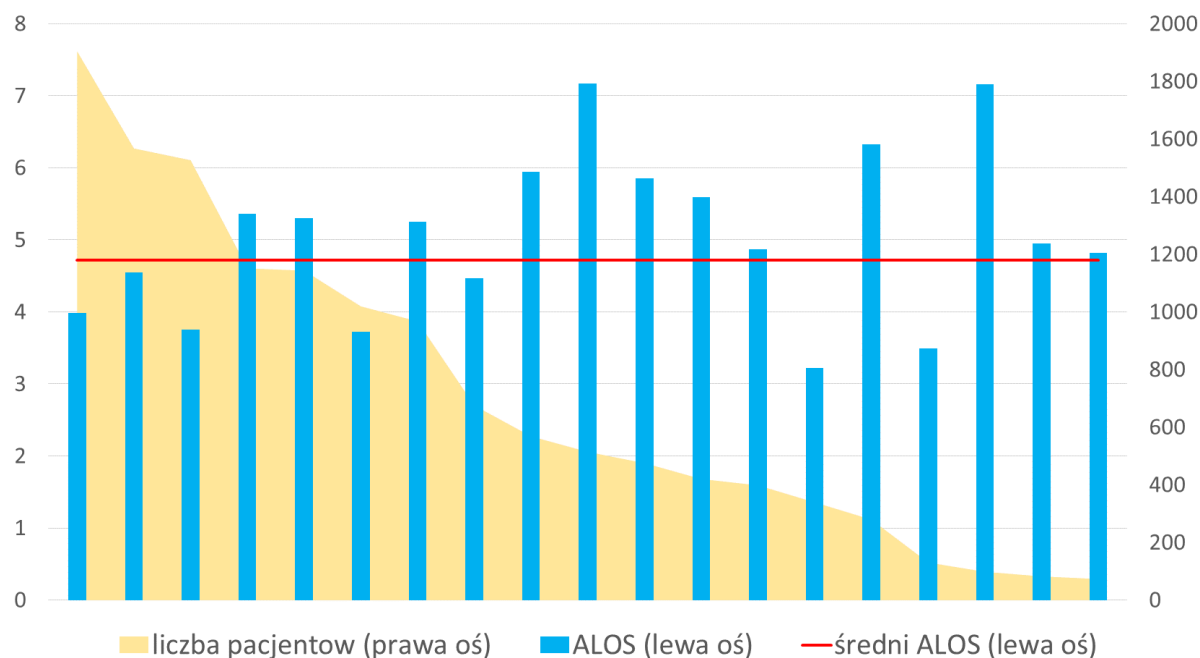
Źródło: opracowanie DAiS na podstawie bazy NFZ.

Wykres 134: Średni czas pobytu pacjenta w ramach JGP zachowawczych wg szpitali (2012)



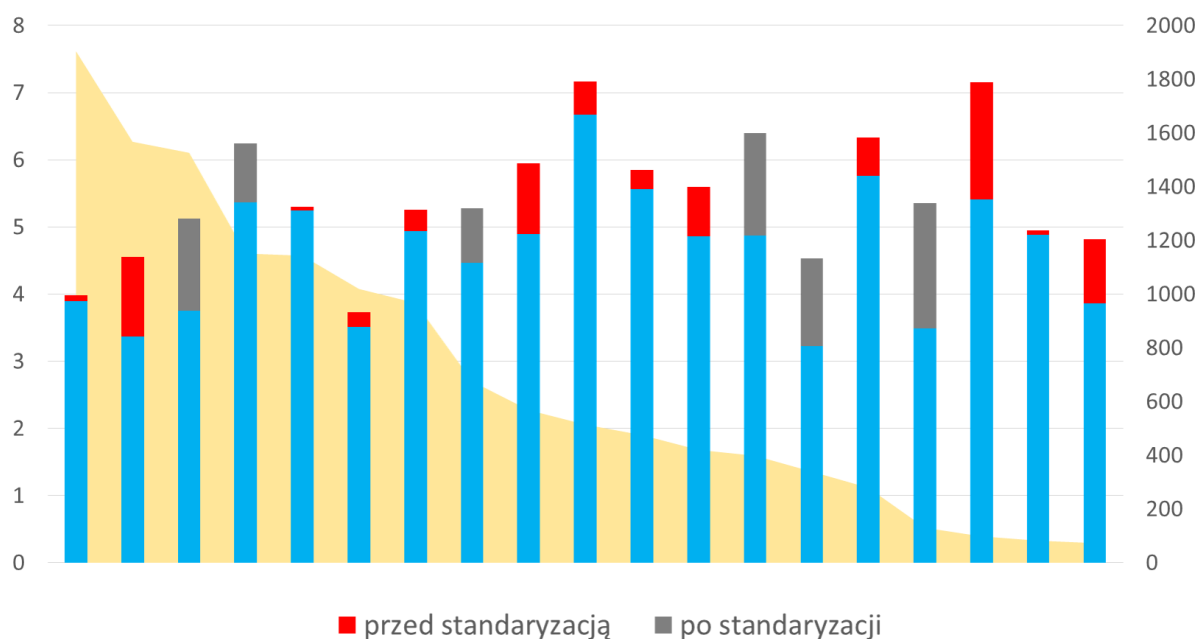
Źródło: opracowanie DAiS na podstawie bazy NFZ.

Wykres 135: Średni czas pobytu pacjenta i liczba hospitalizowanych pacjentów dla poszczególnych świadczeniodawców w ramach sprawozdanych JGP zachowawczych (2012)



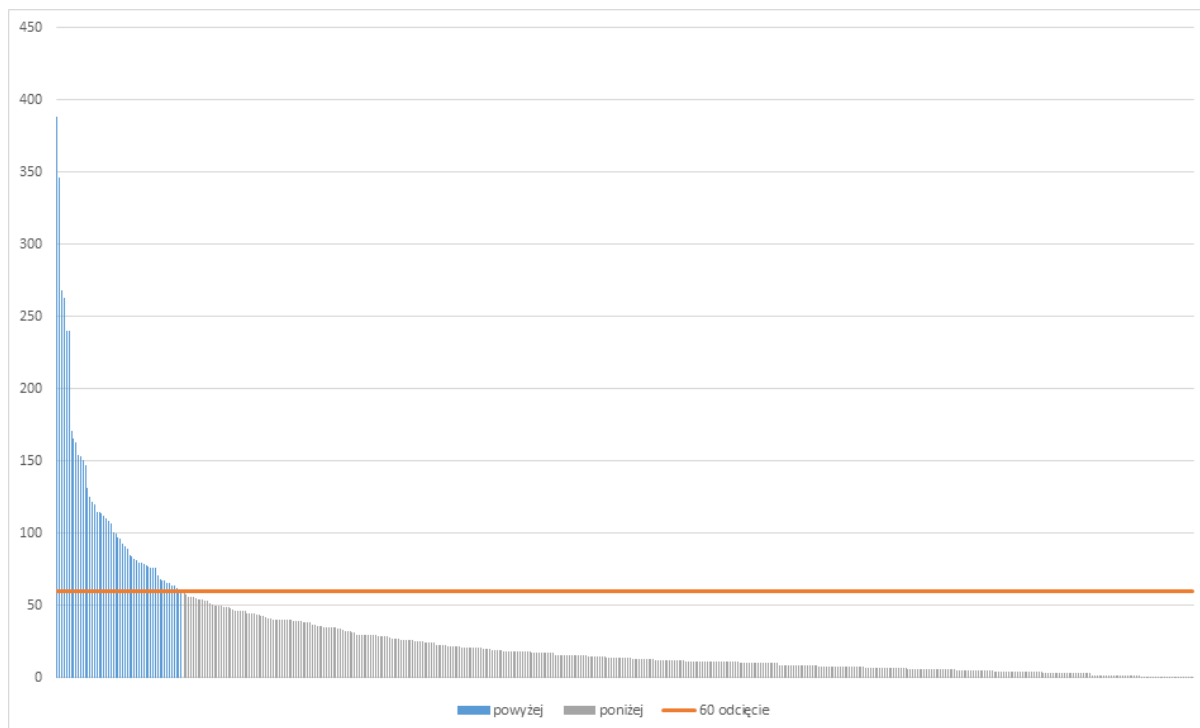
Źródło: opracowanie DAiS na podstawie bazy NFZ.

Wykres 136: Średni czas pobytu pacjenta (standaryzowany względem struktury nowotworów i stadium zaawansowana w województwie) i liczba hospitalizowanych pacjentów (żółty obszar) dla poszczególnych świadczeniodawców w ramach sprawozdanych JGP zachowawczych (2012)



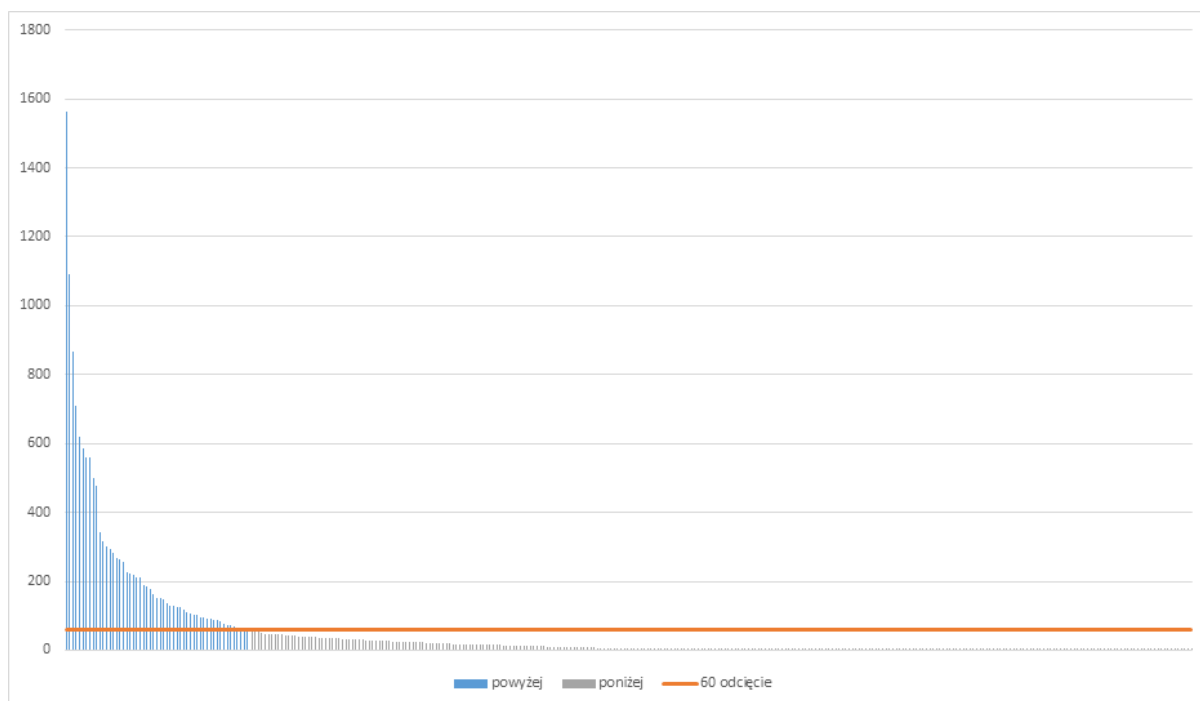
Źródło: opracowanie DAiS na podstawie bazy NFZ.

Wykres 137: Liczba sprawozdanych operacji o charakterze radykalnym nowotworu dolnego odcinka układu pokarmowego na świadczeniodawcę w Polsce (2012)



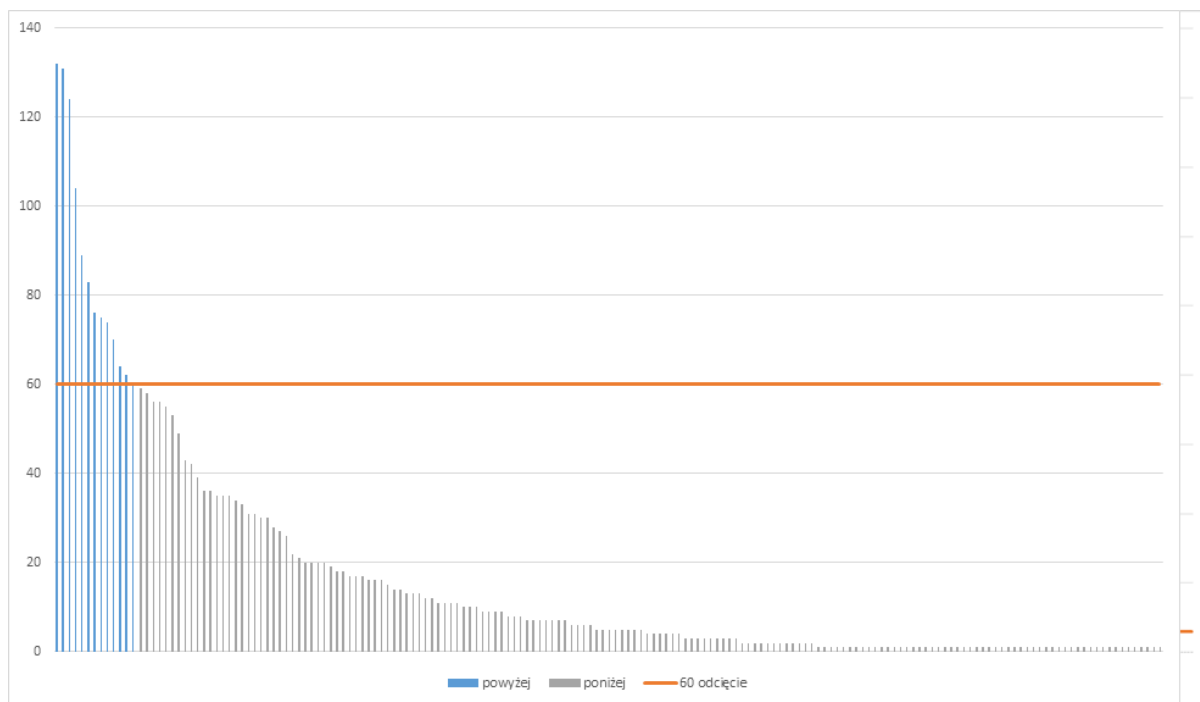
Źródło: opracowanie DAiS na podstawie bazy NFZ.

Wykres 138: Liczba sprawozdanych operacji o charakterze radykalnym nowotworu piersi na świadczeniodawcę w Polsce (2012)



Źródło: opracowanie DAiS na podstawie bazy NFZ.

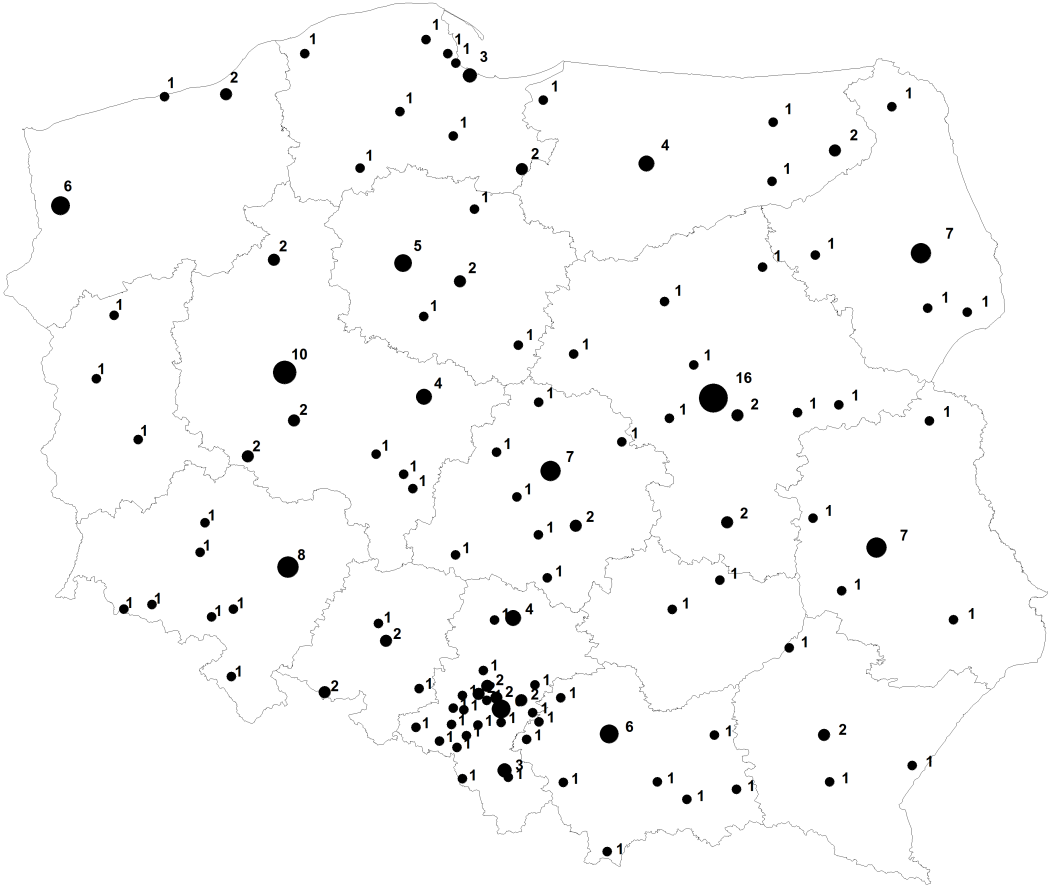
Wykres 139: Liczba sprawozdanych operacji o charakterze radykalnym nowotworu gruczołu krokowego na świadczeniodawcę w Polsce (2012)



Źródło: opracowanie DAiS na podstawie bazy NFZ.

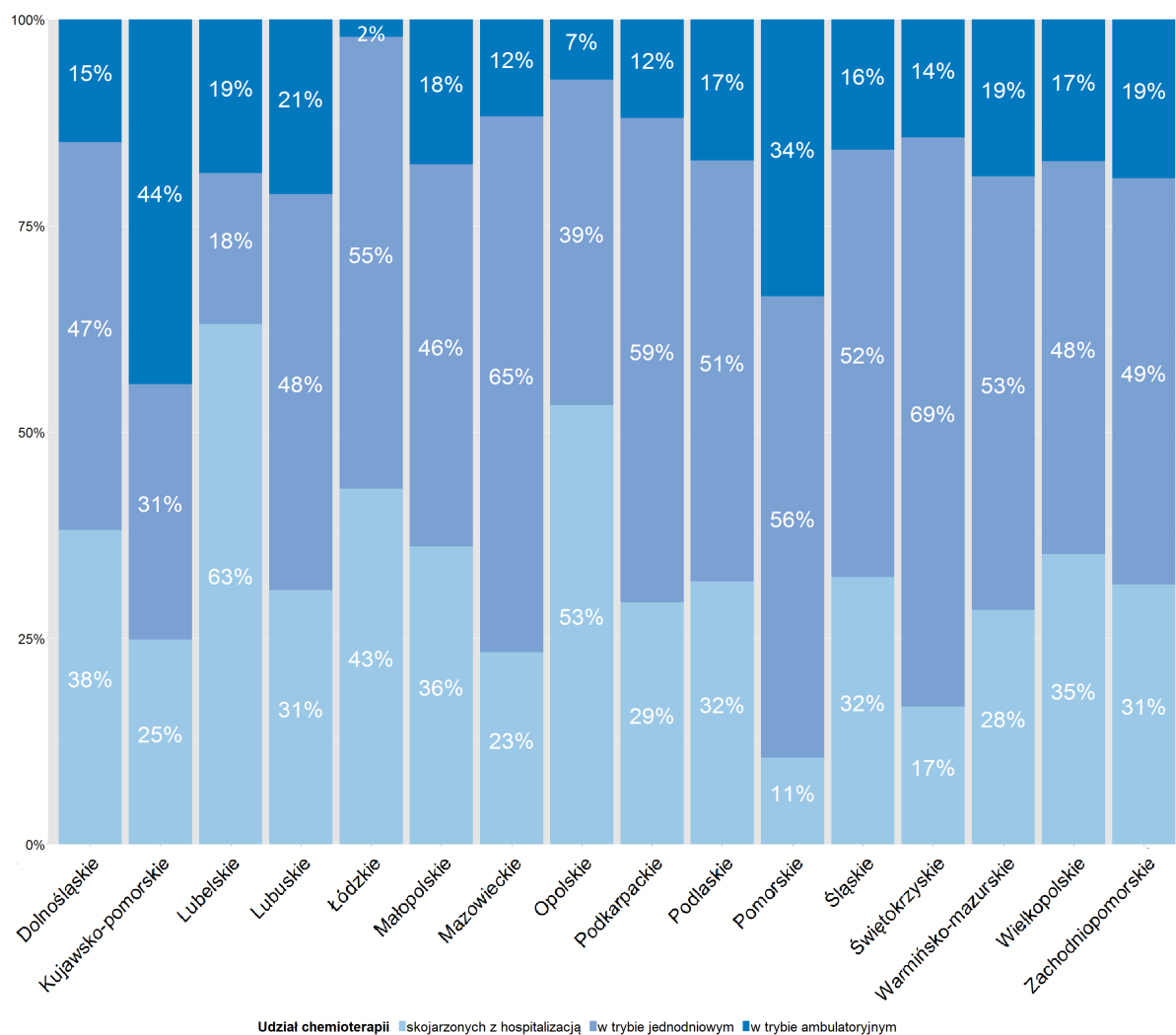
2.1.2 Analiza świadczeń chemioterapeutycznych

Wykres 140: Rozmieszczenie placówek realizujących świadczenia NFZ w zakresie chemioterapii (2012)



Źródło: opracowanie DAiS na podstawie bazy NFZ.

Wykres 141: Struktura trybów sprawozdawczych świadczeń chemioterapeutycznych wg województw (2012)



Udział chemioterapii skojarzonych z hospitalizacją w trybie jednodniowym w trybie ambulatoryjnym

Źródło: opracowanie DAiS na podstawie bazy NFZ.

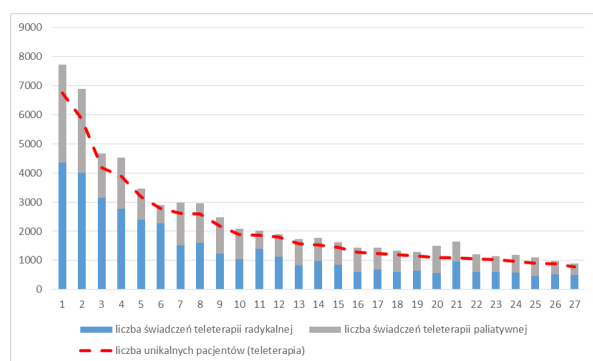
2.1.3 Analiza świadczeń radioterapeutycznych

Tabela 12: Pacjenci przyjęci w w zakresach brachyterapii, teleterapii oraz terapii izotopowej (2012)

województwo	miasto	świadczeniodawca	teleterapia	brachyterapia	terapia izotopowa	radioterapia
dolnośląskie	Wałbrzych	Specjalistyczny Szpital im. dra Alfreda Sokolowskiego	1 051	231	-	1 196
	Wrocław	Dolnośląskie Centrum Onkologii	3 174	419	-	3 246
kujawsko-pomorskie	Bydgoszcz	Centrum Onkologii im. prof. Franciszka Łukaszczyka	3 894	746	-	4 305
lubelskie	Lublin	Centrum Onkologii Ziemi Lubelskiej im. św. Jana z Dukli SP ZOZ	2 588	395	-	2 750
lubuskie	Zielona Góra	Szpital Wojewódzki SP ZOZ	968	118	-	1 008
łódzkie	Łódź	SP ZOZ Centralny Szpital Kliniczny Instytut Stomatologii Uniwersytetu Medycznego	-	-	13	13
		Wojewódzki Szpital Specjalistyczny im. M. Kopemika	2 784	430	-	2 932
	Zgierz	Wojewódzki Szpital Specjalistyczny im. Marii Skłodowskiej - Curie	-	-	498	498
małopolskie	Kraków	Szpital Centrum Onkologii - Instytut Oddziału W Krakowie	1 868	391	22	2 102
		Szpital Dziecięcy	781	-	-	781
		Uniwersyteckie Lecznictwo Szpitalne	-	397	208	605
	Tarnów	Szpital Wojewódzki im. Św. Łukasza SP ZOZ	1 019	90	-	1 043
mazowieckie	Warszawa	Centralny Szpital Kliniczny MSW	-	-	99	99
		Centrum Onkologii - Instytut im. Marii Skłodowskiej-Curie	6 755	834	1 562	8 846
		Wojskowy Instytut Medyczny	-	-	165	165
	Wieliszew	Mazowiecki Szpital Onkologiczny	1 540	220	-	1 635
opolskie	Opole	SP ZOZ - Opolskie Centrum Onkologii im. prof. T. Koszarowskiego	878	144	-	950
podkarpackie	Brzozów	Podkarpacki Ośrodek Onkologiczny im. ks. B. Markiewicza	1 091	321	-	1 292
	Rzeszów	Wojewódzki Szpital Specjalistyczny im. Fryderyka Chopina	1 273	91	-	1 315
podlaskie	białystok	Białostockie Centrum Onkologii im. Marii Skłodowskiej - Curie	1 439	239	-	1 570
pomorskie	Gdańsk	Uniwersyteckie Centrum Kliniczne	1 801	207	-	1 838
	Gdynia	Szpital Morski im. PCK	1 205	174	-	1 255
śląskie	Bielsko-Biała	Beskidzkie Centrum Onkologii im. Jana Pawła II	1 243	65	-	1 251
	Częstochowa	Wojewódzki Szpital Specjalistyczny im. N.M.P.	1 087	87	-	1 103
	Gliwice	Centrum Onkologii-Instytut im. Marii Skłodowskiej-Curie	5 850	780	1 162	7 414
	Katowice	Szpital im. Stanisława Leszczyńskiego	2 178	143	-	2 230
świętokrzyskie	Kielce	Świętokrzyskie Centrum Onkologii	1 885	465	136	2 170
warmińsko-mazurskie	Olsztyn	SP ZOZ Ministerstwa Spraw Wewnętrznych z Warmińsko-Mazurskim Centrum Onkologii	1 580	231	-	1 736
wielkopolskie	Poznań	Centrum Medyczne HCP sp. z o.o. NZOZ Centrum Medyczne HCP Lecznictwo Stacjonarne	1 147	429	-	1 280
		Szpital Kliniczny im. Hellodora Święcickiego Uniwersytetu Medycznego im. Karola Marcinkowskiego	-	-	645	645
		Szpital Kliniczny Przemienienia Pańskiego Uniwersytetu Medycznego im. Karola Marcinkowskiego	-	4	-	4
		Wielkopolskie Centrum Onkologii im. Marii Skłodowskiej-Curie	4 173	742	-	4 506
zachodniopomorskie	Koszalin	Euromedic Onkoterapia - Międzynarodowe Centrum Onkoterapii	897	80	-	924
	Szczecin	Zachodniopomorskie Centrum Onkologii	2 626	297	-	2 699

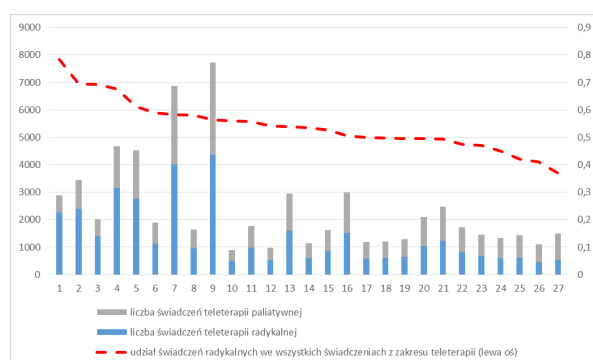
Źródło: opracowanie DAiS na podstawie bazy KRN, NFZ.

Wykres 142: Liczba sprawozdanych świadczeń teleterapii radykalnej, paliatywnej oraz liczba pacjentów, którym udzielono teleterapii (2012)



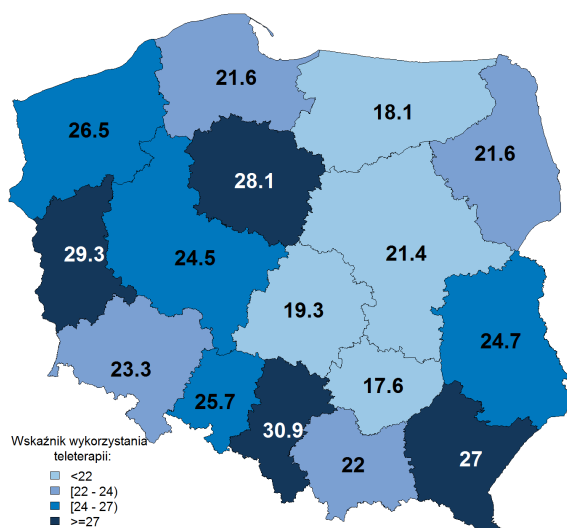
Źródło: opracowanie DAiS na podstawie bazy KRN, NFZ.

Wykres 143: Liczba sprawozdanych świadczeń teleterapii radykalnej, paliatywnej oraz udział świadczeń radykalnych we wszystkich świadczeniach z zakresu teleterapii (2012)



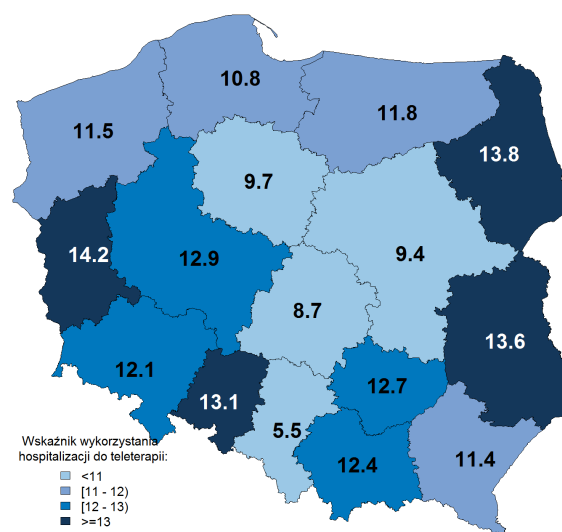
Źródło: opracowanie DAiS na podstawie bazy KRN, NFZ.

Wykres 144: Liczba świadczeń teleterapii (radykalnej i paliatywnej) w przeliczeniu na 100 pacjentów onkologicznych w województwach Polski – dane standaryzowane względem typu i stadium nowotworu (2012)



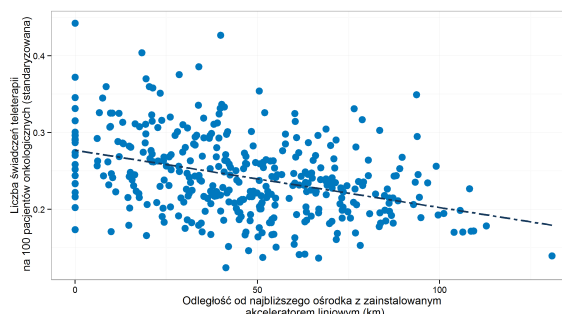
Źródło: opracowanie DAiS na podstawie bazy KRN, NFZ.

Wykres 145: Wskaźnik wykorzystania hospitalizacji do teleterapii w województwach Polski – dane standaryzowane względem typu i stadium nowotworu (2012)



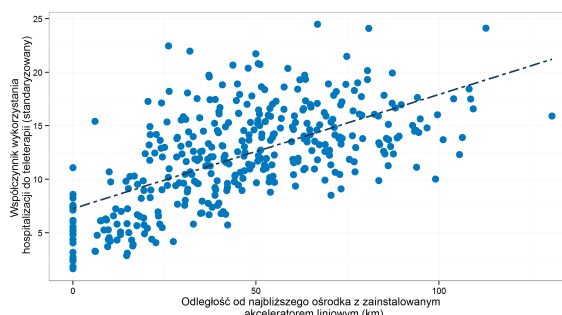
Źródło: opracowanie DAiS na podstawie bazy KRN, NFZ.

Wykres 146: Zależność między standaryzowaną liczbą świadczeń w zakresie teleterapii (radykalnej i paliatywnej) na 100 pacjentów onkologicznych, a odległością od najbliższego ośrodka wyposażonego w akcelerator liniowy w powiatach Polski (2012)



Źródło: opracowanie DAiS na podstawie bazy KRN, NFZ.

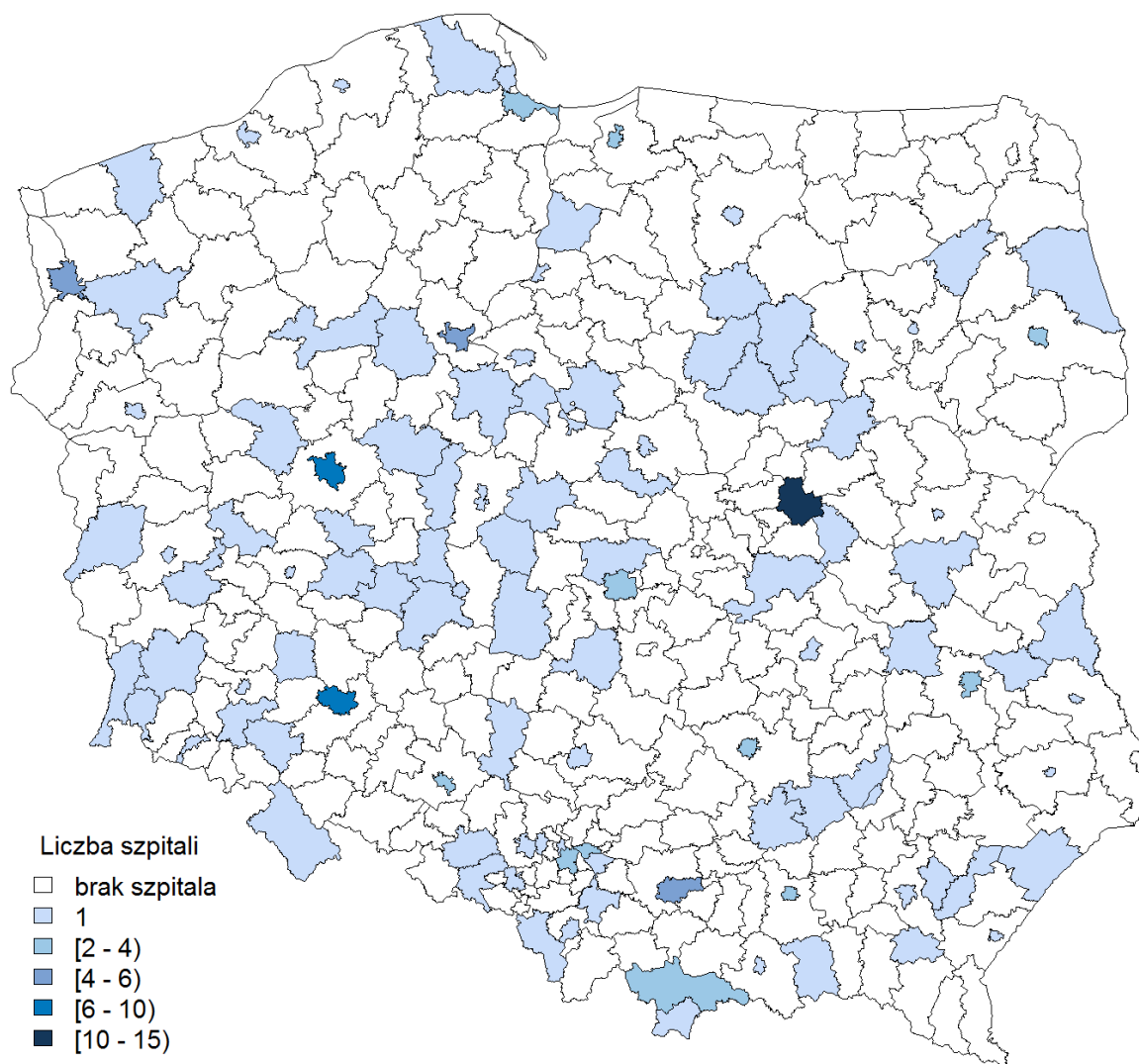
Wykres 147: Zależność między wskaźnikiem wykorzystania hospitalizacji do teleterapii, a odległością od najbliższego ośrodka wyposażonego w akcelerator liniowy w powiatach Polski (2012)



Źródło: opracowanie DAiS na podstawie bazy KRN, NFZ.

2.1.4 Obszar szpitalny - dzieci do 18 roku życia

Wykres 148: Geograficzne rozmieszczenie szpitali udzielających świadczeń pacjentom onkologicznym w wieku do 18 roku życia



Źródło: opracowanie DAiS na podstawie bazy NFZ.

Tabela 13: Szpitale leczące łącznie ponad 2% pacjentów z rozpoznaniem onkologicznym w wieku do 18 lat w skali kraju (2012)

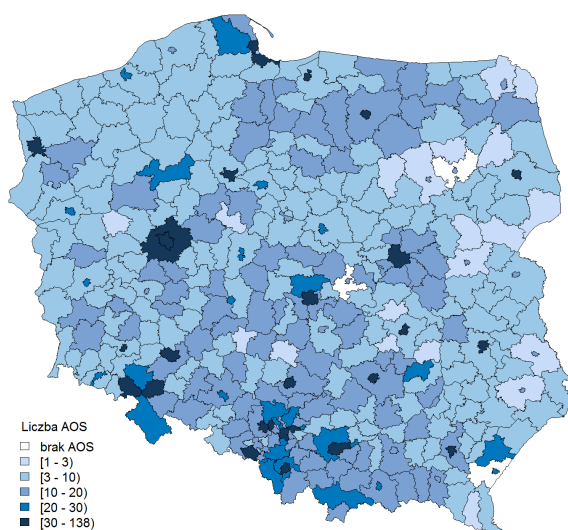
Lp.	Nazwa świadczeniodawcy	Liczba pacjentów	Procent pacjentów	Skumulowany proc. pacjentów
1	Instytut "Pomnik - Centrum Zdrowia Dziecka" w Warszawie	470	21,0%	21,0%
2	Samodzielny Publiczny Szpital Kliniczny nr 1 we Wrocławiu	263	11,7%	32,7%
3	Instytut Matki i Dziecka w Warszawie	203	9,1%	41,8%
4	Samodzielny Publiczny Szpital Kliniczny nr 6 Śląskiego Uniwersytetu Medycznego w Katowicach Górnośląskie Centrum Zdrowia Dziecka	156	7,0%	48,7%
5	Sp ZOZ Uniwersytecki Szpital Kliniczny nr 4 im. Marii Konopnickiej Uniwersytetu Medycznego w Łodzi	155	6,9%	55,7%
6	Szpital Dziecięcy w Krakowie	147	6,6%	62,2%
7	Szpital Kliniczny im. Karola Jonschera Uniwersytetu Medycznego im. Karola Marcinkowskiego w Poznaniu	146	6,5%	68,7%
8	Samodzielny Publiczny Szpital Kliniczny nr 1 im. Prof. Tadeusza Sokołowskiego PUM	141	6,3%	75,0%
9	Uniwersyteckie Centrum Kliniczne w Gdańsku	136	6,1%	81,1%
10	Dolnośląski Szpital Specjalistyczny im. T. Marciniaka - Centrum Medycyny Ratunkowej	108	4,8%	85,9%
11	Szpital Uniwersytecki nr 1 im. Dr. Antoniego Jurasza w Bydgoszczy	98	4,4%	90,3%
12	Uniwersytecki Dziecięcy Szpital Kliniczny im. L. Zamenhofa w Białymstoku	76	3,4%	93,7%
13	Szpital im. Mikołaja Kopernika w Gdańsku	67	3,0%	96,7%
14	Dziecięcy Szpital Kliniczny im. Prof. A. Gębali w Lublinie	65	2,9%	99,6%
15	Uniwersyteckie Lecznictwo Szpitalne w Krakowie	49	2,2%	101,8%
	SUMA (unikalni pacjenci):	2240	100,0%	X

Źródło: opracowanie DAiS na podstawie bazy NFZ.

2.2 Obszar Ambulatoryjnej Opieki Specjalistycznej

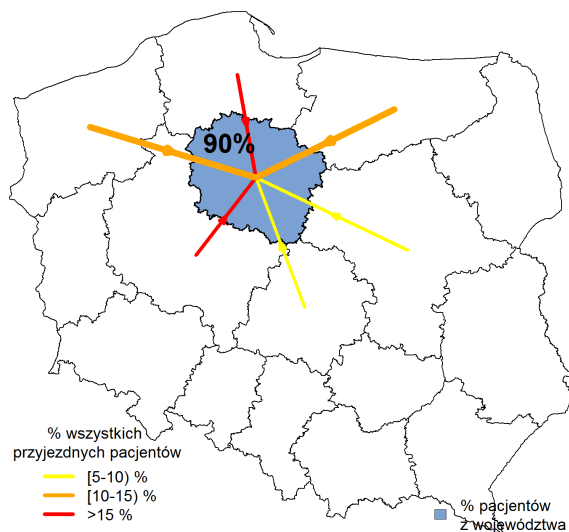
Świadczeniodawcy w Polsce

Wykres 150: Powiaty z ambulatoryjnymi ośrodkami specjalistycznymi leczącymi pacjentów onkologicznych w Polsce (2012)



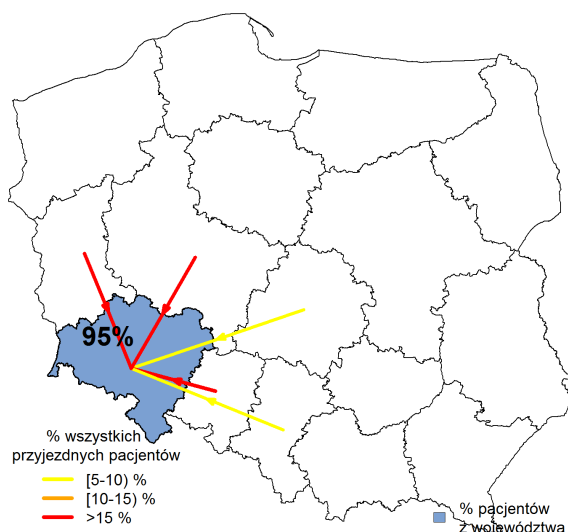
Źródło: opracowanie DAiS na podstawie danych NFZ.

Wykres 152: Migracje pacjentów ambulatoryjnych ośrodków specjalistycznych do województwa kujawsko-pomorskiego (2012)



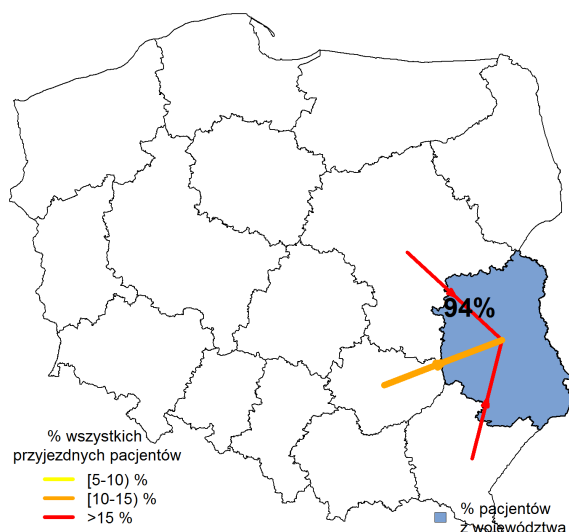
Źródło: opracowanie DAiS na podstawie danych NFZ.

Wykres 151: Migracje pacjentów ambulatoryjnych ośrodków specjalistycznych do województwa dolnośląskiego (2012)



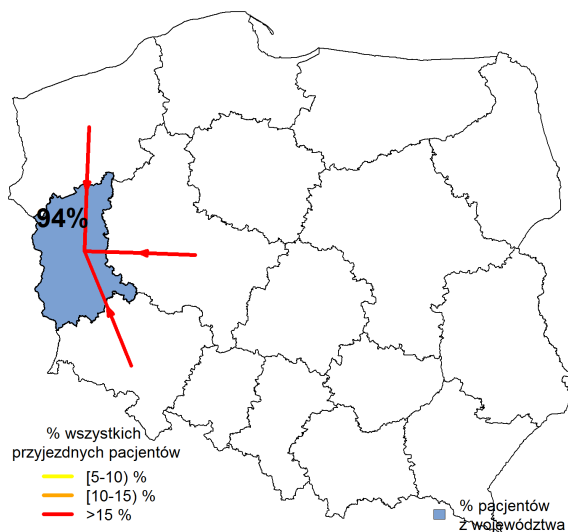
Źródło: opracowanie DAiS na podstawie danych NFZ.

Wykres 153: Migracje pacjentów ambulatoryjnych ośrodków specjalistycznych do województwa lubelskie (2012)



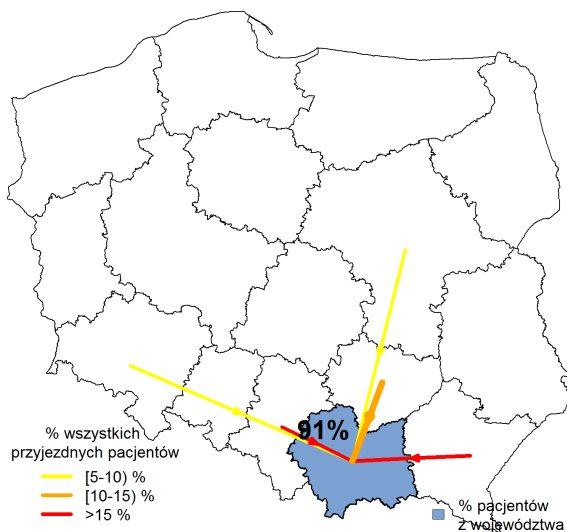
Źródło: opracowanie DAiS na podstawie danych NFZ.

Wykres 154: Migracje pacjentów ambulatoryjnych ośrodków specjalistycznych do województwa lubuskiego (2012)



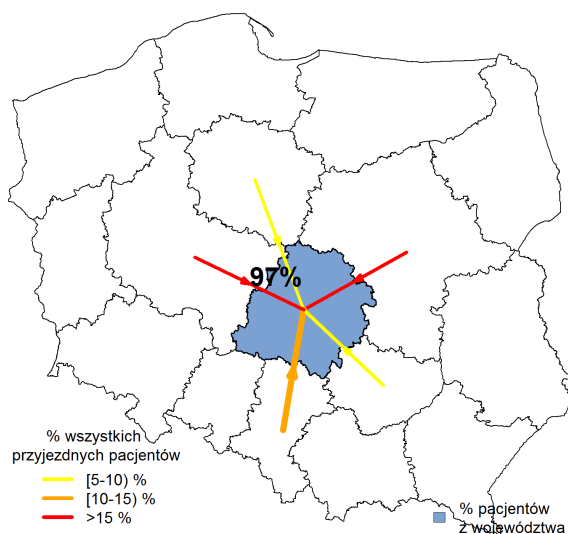
Źródło: opracowanie DAiS na podstawie danych NFZ.

Wykres 156: Migracje pacjentów ambulatoryjnych ośrodków specjalistycznych do województwa małopolskiego (2012)



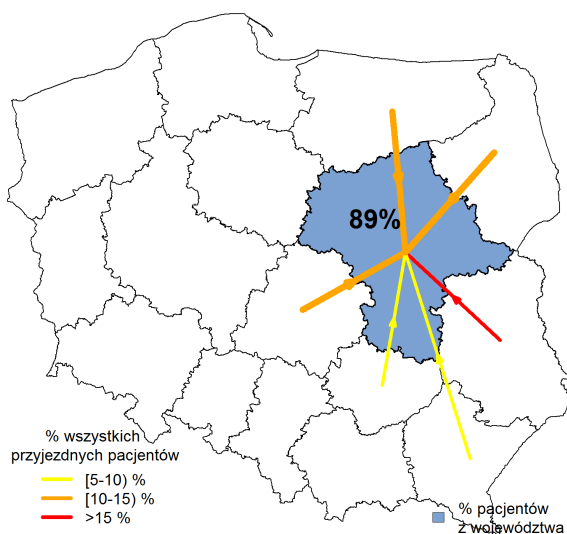
Źródło: opracowanie DAiS na podstawie danych NFZ.

Wykres 155: Migracje pacjentów ambulatoryjnych ośrodków specjalistycznych do województwa łódzkiego (2012)



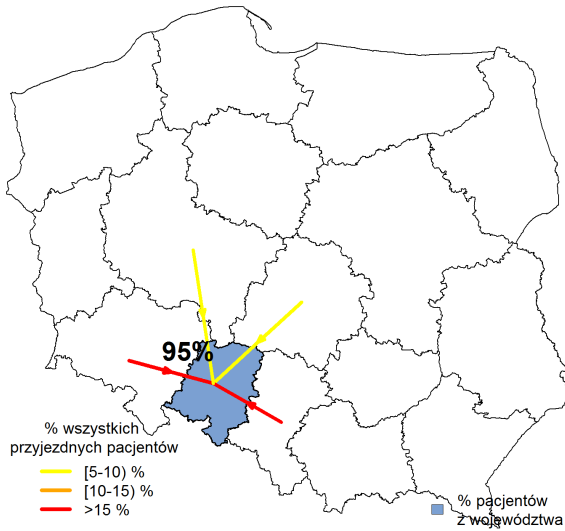
Źródło: opracowanie DAiS na podstawie danych NFZ.

Wykres 157: Migracje pacjentów ambulatoryjnych ośrodków specjalistycznych do województwa mazowieckiego (2012)



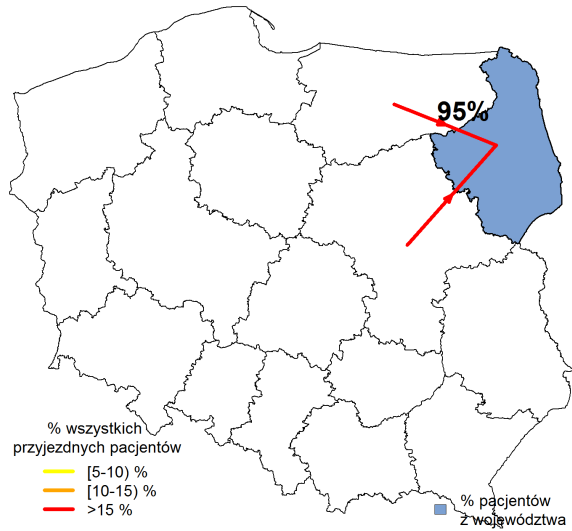
Źródło: opracowanie DAiS na podstawie danych NFZ.

Wykres 158: Migracje pacjentów ambulatoryjnych ośrodków specjalistycznych do województwa opolskiego (2012)



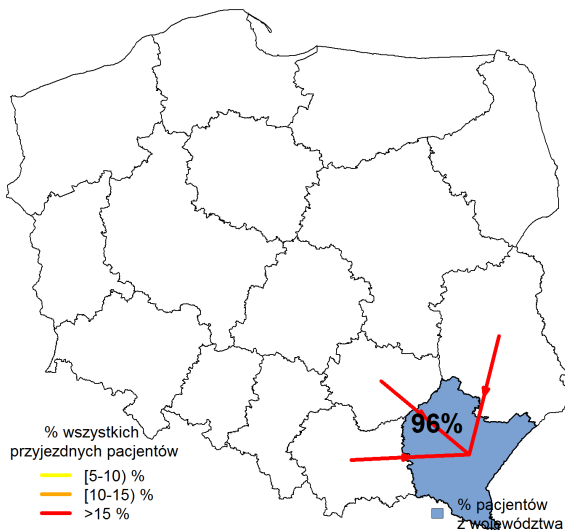
Źródło: opracowanie DAiS na podstawie danych NFZ.

Wykres 160: Migracje pacjentów ambulatoryjnych ośrodków specjalistycznych do województwa podlaskiego (2012)



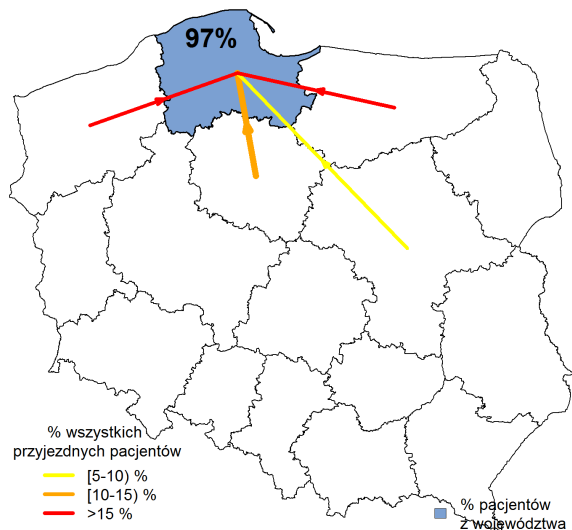
Źródło: opracowanie DAiS na podstawie danych NFZ.

Wykres 159: Migracje pacjentów ambulatoryjnych ośrodków specjalistycznych do województwa podkarpackiego (2012)



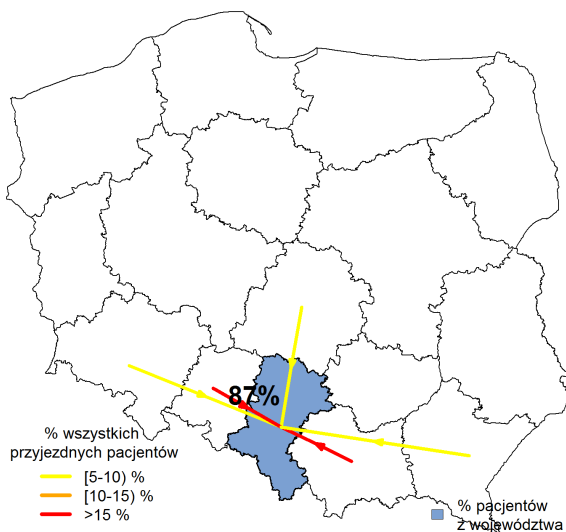
Źródło: opracowanie DAiS na podstawie danych NFZ.

Wykres 161: Migracje pacjentów ambulatoryjnych ośrodków specjalistycznych do województwa pomorskiego (2012)



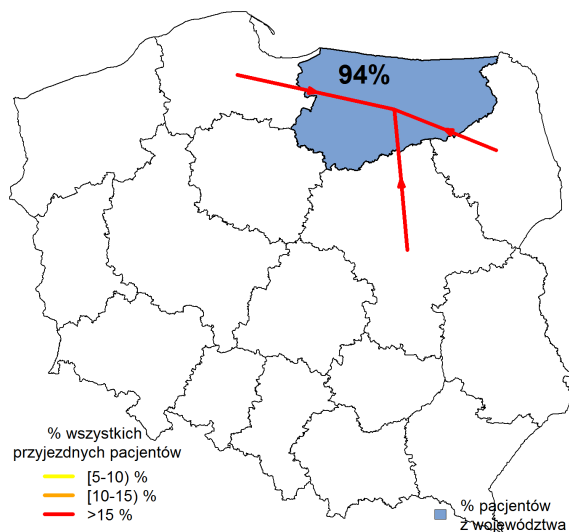
Źródło: opracowanie DAiS na podstawie danych NFZ.

Wykres 162: Migracje pacjentów ambulatoryjnych ośrodków specjalistycznych do województwa śląskiego (2012)



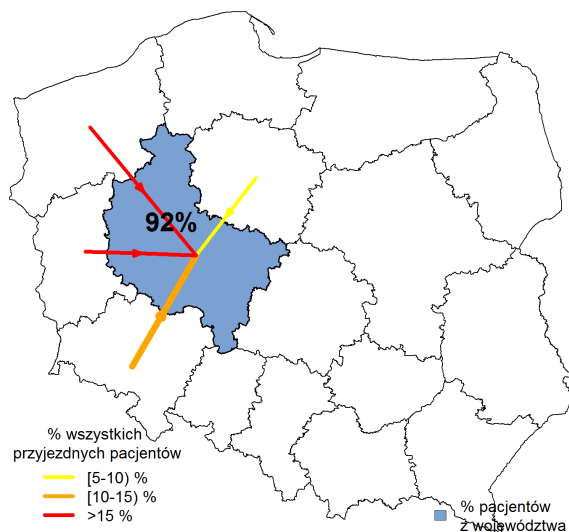
Źródło: opracowanie DAiS na podstawie danych NFZ.

Wykres 164: Migracje pacjentów ambulatoryjnych ośrodków specjalistycznych do województwa wamińskiego-mazurskiego (2012)



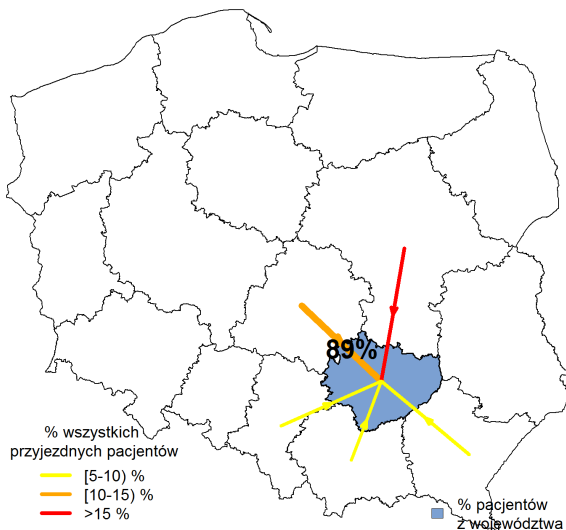
Źródło: opracowanie DAiS na podstawie danych NFZ.

Wykres 165: Migracje pacjentów ambulatoryjnych ośrodków specjalistycznych do województwa wielkopolskiego (2012)



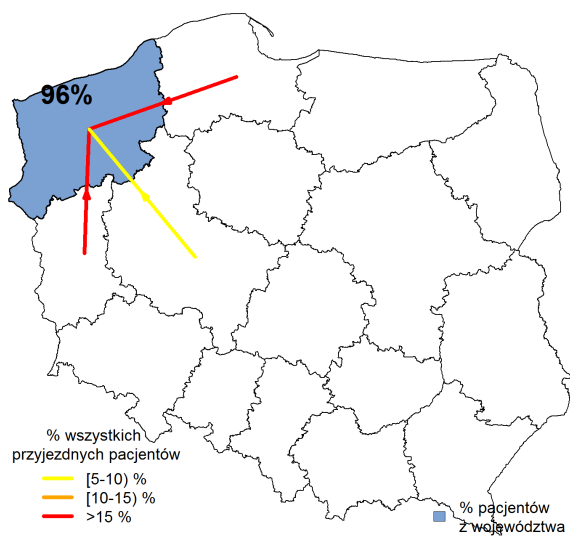
Źródło: opracowanie DAiS na podstawie danych NFZ.

Wykres 163: Migracje pacjentów ambulatoryjnych ośrodków specjalistycznych do województwa świętokrzyskiego (2012)



Źródło: opracowanie DAiS na podstawie danych NFZ.

Wykres 166: Migracje pacjentów ambulatoryjnych ośrodków specjalistycznych do województwa zachodniopomorskiego (2012)



Źródło: opracowanie DAiS na podstawie danych NFZ.

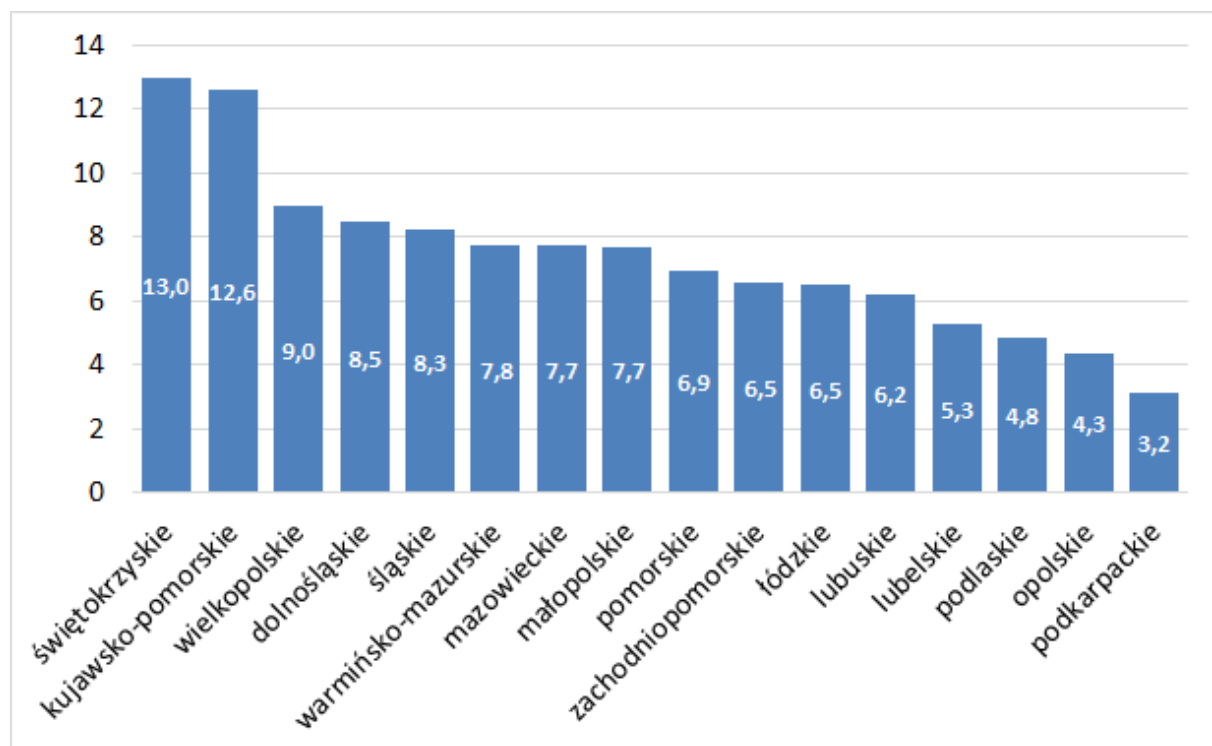
2.3 Pozytonowa Tomografia Emisyjna (PET)

Wykres 167: Migracje pacjentów między województwami w celu uzyskania świadczenia PET (2012) (kolumny - województwo zamieszkania pacjenta, wiersze - województwo udzielenia świadczenia)

Woj.	dolnośląskie	kujawsko-pomorskie	lubelskie	lubuskie	łódzkie	małopolskie	mazowieckie	opolskie	podkarpackie	podlaskie	pomorskie	śląskie	świętokrzyskie	warmińsko-mazurskie	wielkopolskie	zachodniopomorskie
dolnośląskie	2 294		2 129	38	30	4	220	6	2	3	136	2	2	107	16	
kujawsko-pomorskie	25	2 562	151	38	175	50	100	1	25	15	517	7	8	218	165	530
lubelskie	2		213				6		13	1		2	1	2		
łódzkie	2	4	1		1 089	1	11		1	3	1	6	2	1	7	3
małopolskie	7	1	5		2	1 951	7	7	206		2	68	29	1	1	
mazowieckie	38	30	668	17	189	48	3 772	18	107	457	45	90	62	109	56	39
pomorskie	2	6	4		1		3		1	1	891			28	1	39
śląskie	42	15	24	8	59	379	21	185	56	20	7	3 394	56	6	21	18
świętokrzyskie	6	2	74		65	114	146	1	254	3	4	106	1 496	14	1	3
warmińsko-mazurskie	1				1		26	1		75	97	2		741		
wielkopolskie	51	26	5	444	23	4	12	5	2	4	24	5	1	3	2 755	479

Źródło: opracowanie DAiS na podstawie danych NFZ.

Wykres 168: Liczba świadczeń na 10 tys. mieszkańców wg województwa zamieszkania (2012)

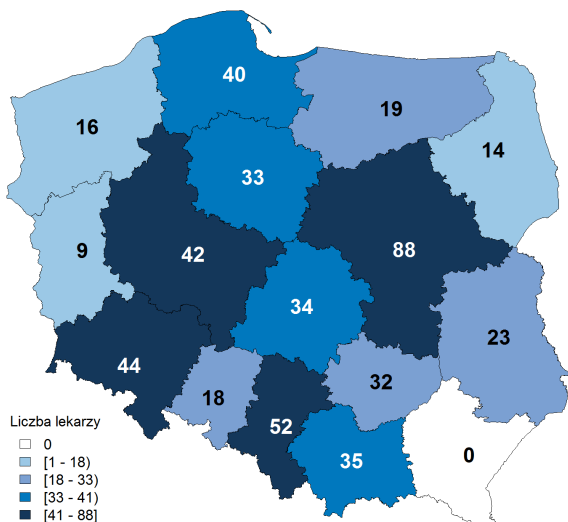


Źródło: opracowanie DAiS na podstawie danych NFZ.

2.4 Kadry medyczne¹

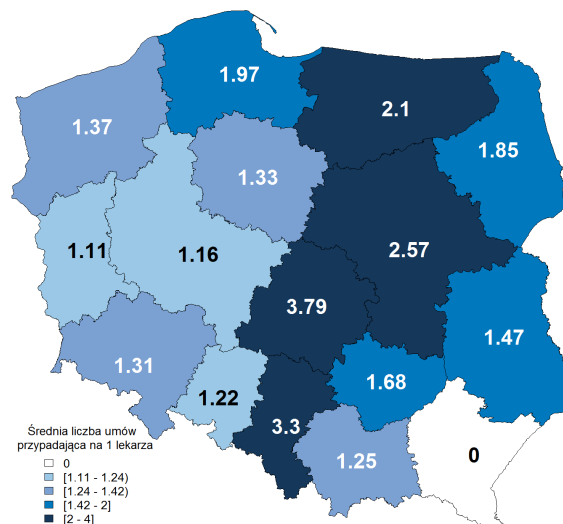
Chirurdzy onkolodzy

Wykres 170: Liczba chirurgów onkologów w poszczególnych województwach w 2012 r.



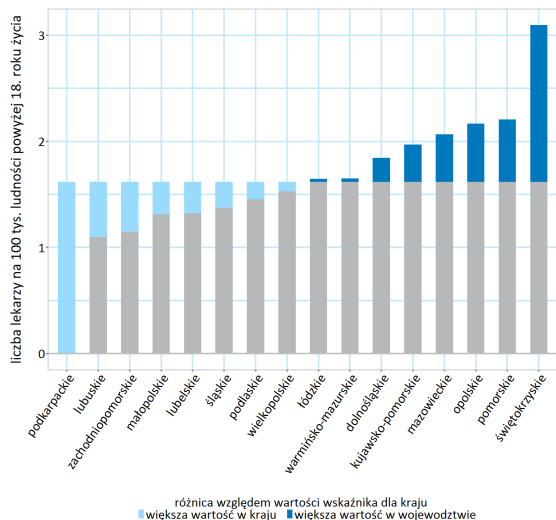
Źródło: opracowanie DAiS na podstawie danych NIL

Wykres 172: Liczba umów ze świadczeniodawcami rozliczającymi się z płatnikiem publicznym przypadająca na jednego chirurga onkologa w poszczególnych województwach w 2012 r.



Źródło: opracowanie DAiS na podstawie danych NIL, NFZ

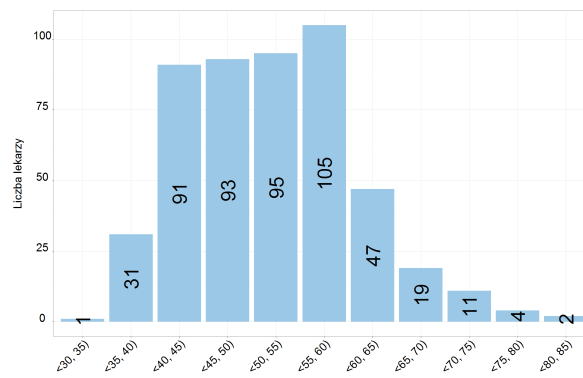
Wykres 171: Liczba chirurgów onkologów przypadających na 100 tys. dorosłej ludności w poszczególnych województwach w 2012 r.



Źródło: opracowanie DAiS na podstawie danych NIL, GUS

¹ Ministerstwo Zdrowia kieruje szczególne podziękowania dla Naczelnej Izby Lekarskiej za udostępnienie danych dotyczących kadry lekarskiej, które były wykorzystane do sporządzenia analiz zawartych w niniejszym rozdziale.

Wykres 173: Struktura wieku chirurgów onkologów w Polsce w 2012 r.

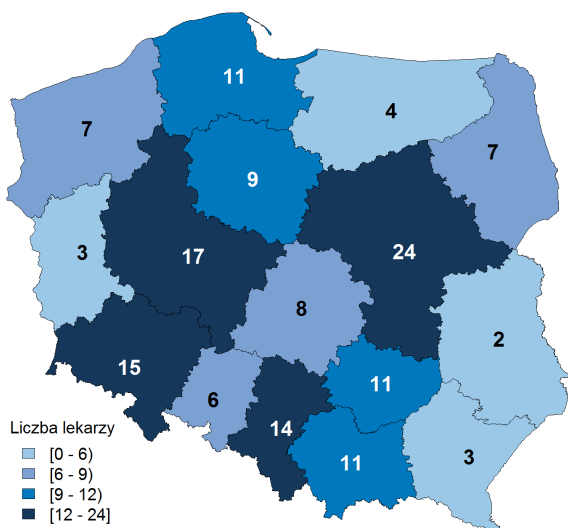


Źródło: opracowanie DAiS na podstawie danych NIL

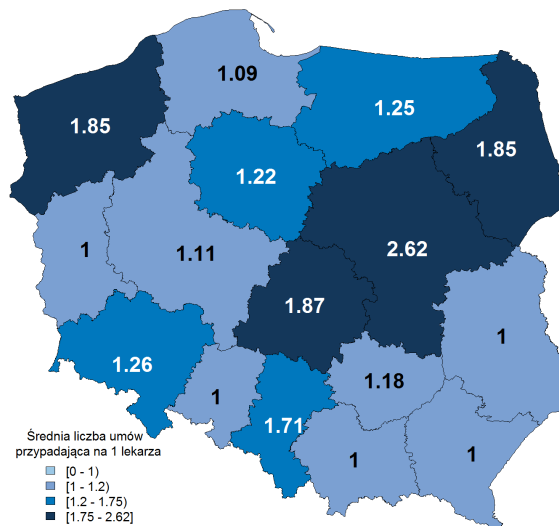
Ginekolodzy onkologiczni

Wykres 176: Liczba umów ze świadczeniodawcami rozliczającymi się z płatnikiem publicznym przypadająca na jednego ginekologa onkologicznego w poszczególnych województwach w 2012 r.

Wykres 174: Liczba ginekologów onkologicznych w poszczególnych województwach w 2012 r.

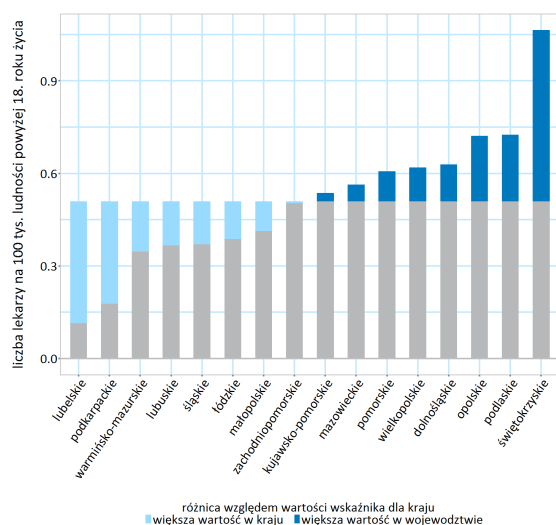


Źródło: opracowanie DAiS na podstawie danych NIL



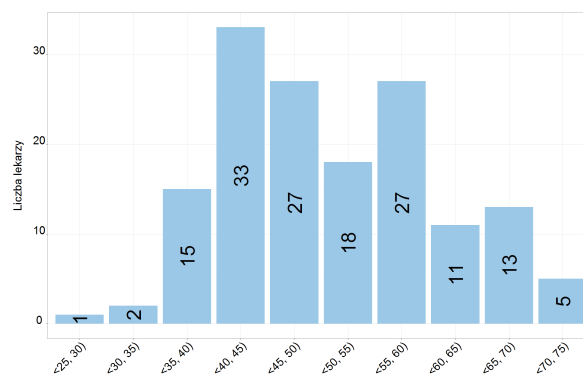
Źródło: opracowanie DAiS na podstawie danych NIL, NFZ

Wykres 175: Liczba ginekologów onkologicznych przypadających na 100 tys. dorosłej ludności w poszczególnych województwach w 2012 r.



Źródło: opracowanie DAiS na podstawie danych NIL, GUS

Wykres 177: Struktura wieku ginekologów onkologicznych w Polsce w 2012 r.

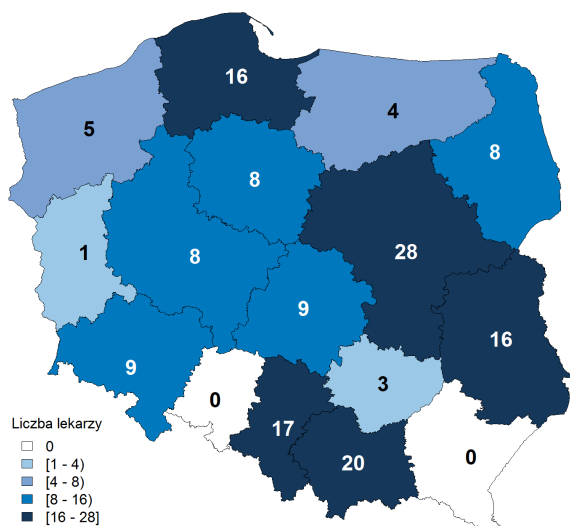


Źródło: opracowanie DAiS na podstawie danych NIL

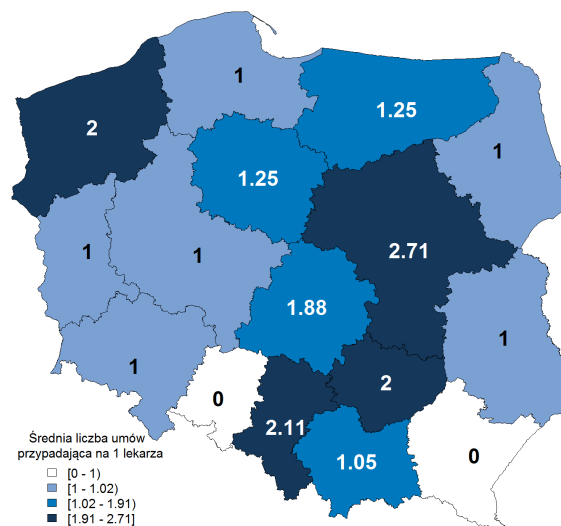
Onkolodzy i hematolodzy dziecięcy

Wykres 180: Liczba umów ze świadczeniodawcami rozliczającymi się z płatnikiem publicznym przypadająca na jednego onkologa i hematologa dziecięcego w poszczególnych województwach w 2012 r.

Wykres 178: Liczba onkologów i hematologów dziecięcych w poszczególnych województwach w 2012 r.

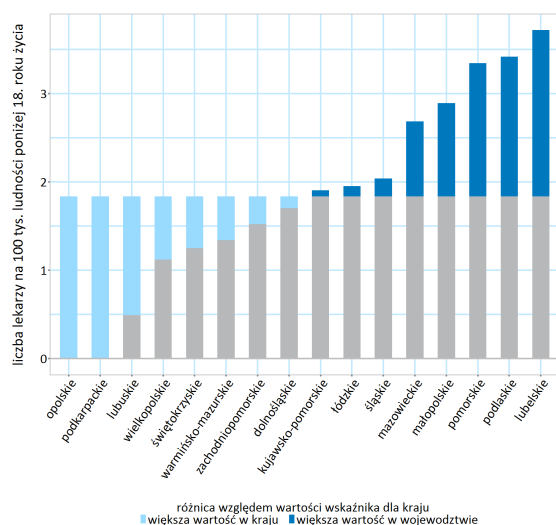


Źródło: opracowanie DAiS na podstawie danych NIL



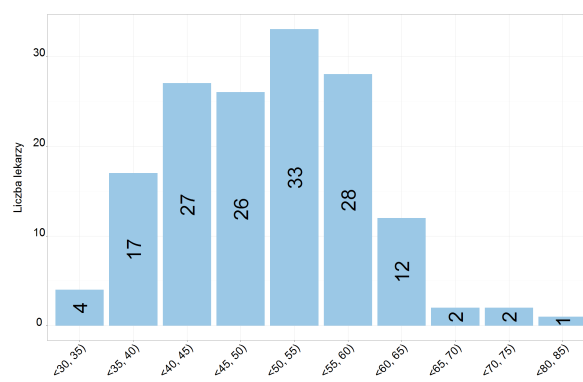
Źródło: opracowanie DAiS na podstawie danych NIL, NFZ

Wykres 179: Liczba onkologów i hematologów dziecięcych przypadających na 100 tys. niepełnoletniej ludności w poszczególnych województwach w 2012 r.



Źródło: opracowanie DAiS na podstawie danych NIL, GUS

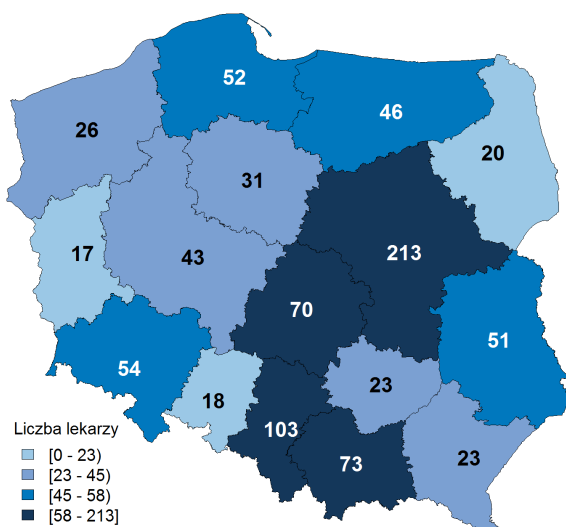
Wykres 181: Struktura wieku onkologów i hematologów dziecięcych w Polsce w 2012 r.



Źródło: opracowanie DAiS na podstawie danych NIL

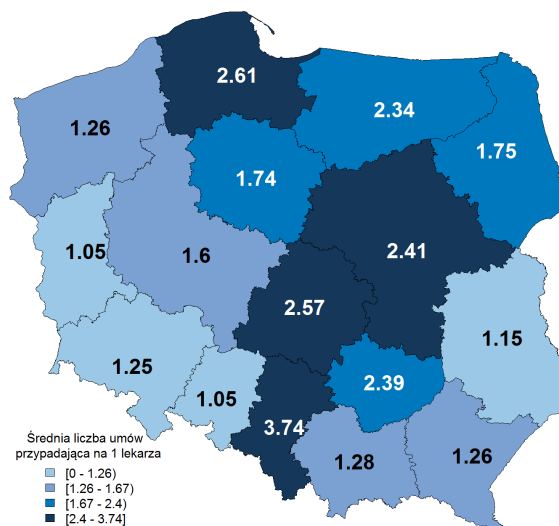
Onkolodzy kliniczni

Wykres 182: Liczba onkologów klinicznych w poszczególnych województwach w 2012 r.



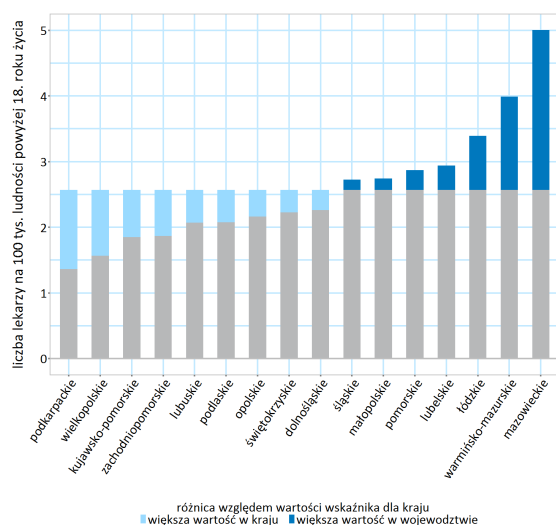
Źródło: opracowanie DAiS na podstawie danych NIL

Wykres 184: Liczba umów ze świadczeniodawcami rozliczającymi się z płatnikiem publicznym przypadająca na jednego onkologa klinicznego w poszczególnych województwach w 2012 r.



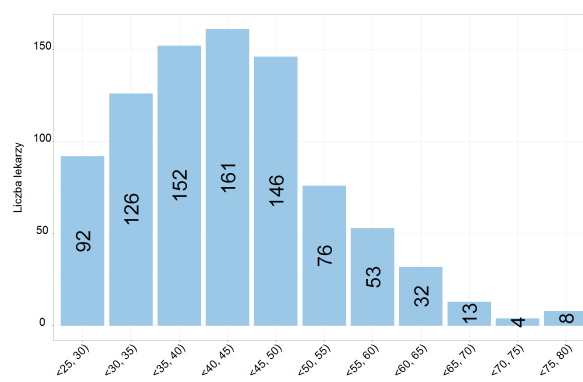
Źródło: opracowanie DAiS na podstawie danych NIL, NFZ

Wykres 183: Liczba onkologów klinicznych przypadających na 100 tys. dorosłej ludności w poszczególnych województwach w 2012 r.



Źródło: opracowanie DAiS na podstawie danych NIL, GUS

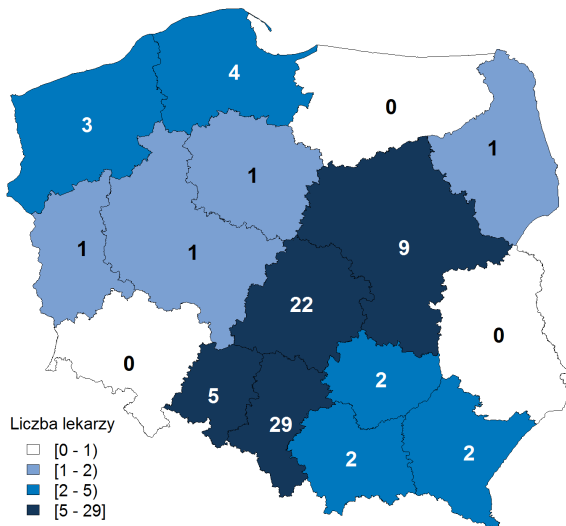
Wykres 185: Struktura wieku onkologów klinicznych w Polsce w 2012 r.



Źródło: opracowanie DAiS na podstawie danych NIL

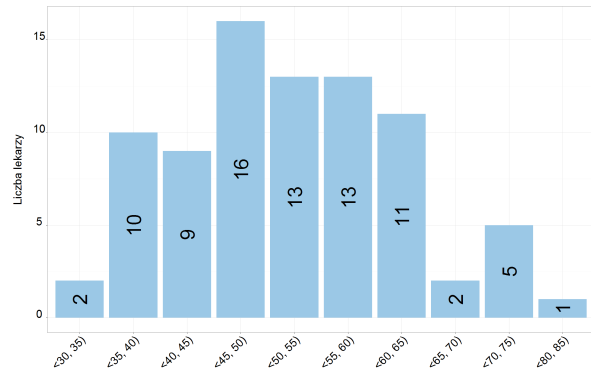
Patomorfology

Wykres 186: Liczba patomorfologów w poszczególnych województwach w 2012 r.



Źródło: opracowanie DAiS na podstawie danych NIL

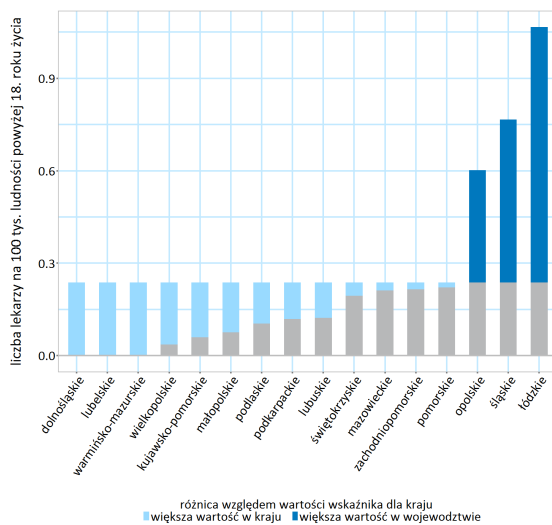
Wykres 188: Struktura wieku patomorfologów w Polsce w 2012 r.



Źródło: opracowanie DAiS na podstawie danych NIL

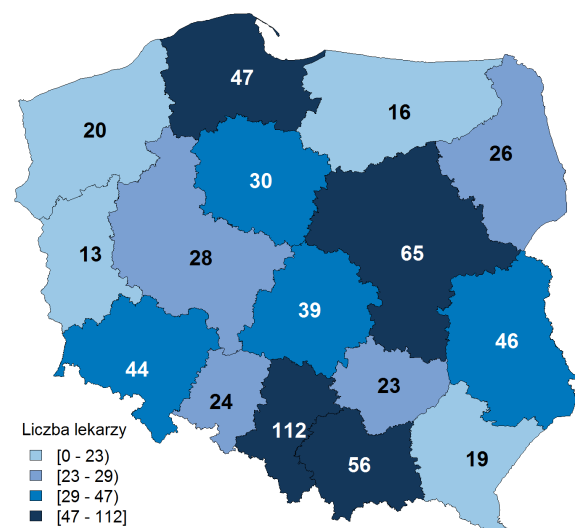
Radioterapeuci

Wykres 187: Liczba patomorfologów przypadających na 100 tys. dorosłej ludności w poszczególnych województwach w 2012 r.



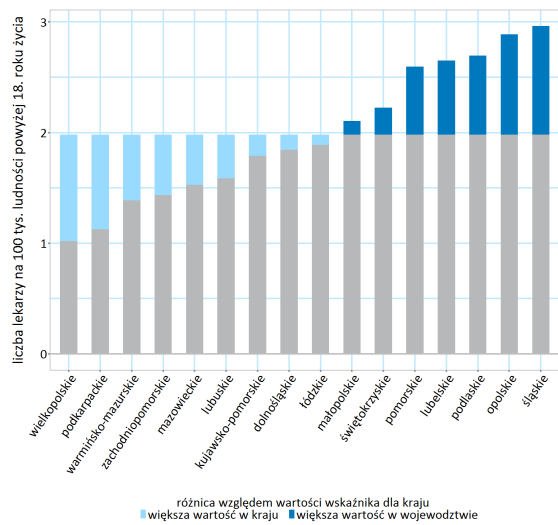
Źródło: opracowanie DAiS na podstawie danych NIL, GUS

Wykres 189: Liczba radioterapeutów w poszczególnych województwach w 2012 r.



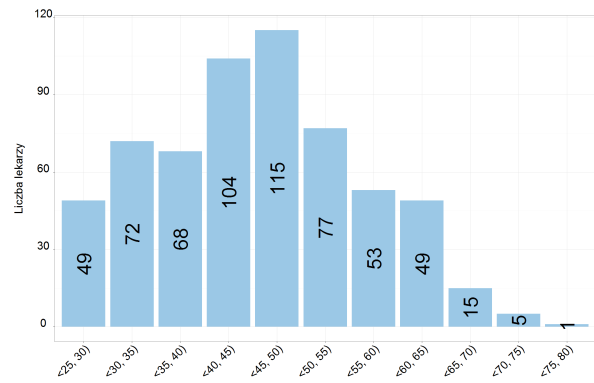
Źródło: opracowanie DAiS na podstawie danych NIL

Wykres 190: Liczba radioterapeutów przypadających na 100 tys. dorosłej ludności w poszczególnych województwach w 2012 r.



Źródło: opracowanie DAiS na podstawie danych NIL, GUS

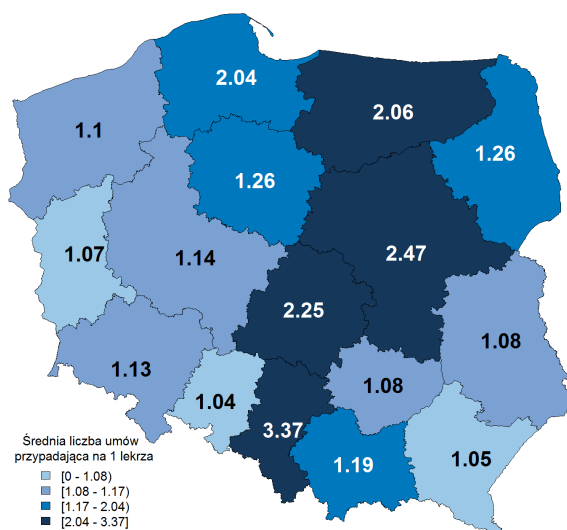
Wykres 192: Struktura wieku radioterapeutów w Polsce w 2012 r.



Źródło: opracowanie DAiS na podstawie danych NIL

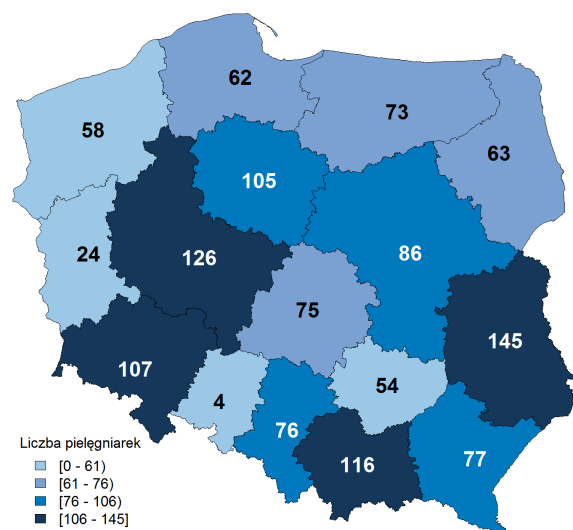
Pielęgniarki onkologiczne

Wykres 191: Liczba umów ze świadczeniodawcami rozliczającymi się z płatnikiem publicznym przypadająca na jednego radioterapeutę w w poszczególnych województwach w 2012 r.



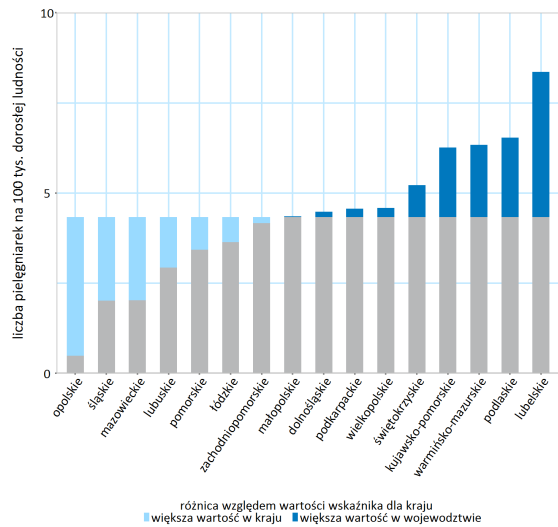
Źródło: opracowanie DAiS na podstawie danych NIL, NFZ

Wykres 193: Liczba pielęgniarek onkologicznych w poszczególnych województwach w 2015 r.



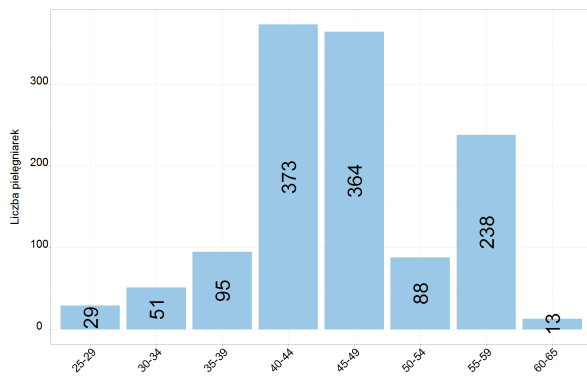
Źródło: opracowanie DAiS na podstawie danych NIL

Wykres 194: Liczba pielęgniarek onkologicznych przypadających na 100 tys. dorosłej ludności w poszczególnych województwach w 2015 r.



Źródło: opracowanie DAiS na podstawie danych NIL, GUS

Wykres 195: Struktura wieku pielęgniarek onkologicznych w Polsce w 2015 r.



Źródło: opracowanie DAiS na podstawie danych NIL



EFEKTYWNE DZIAŁANIE
PRZEZ MAPOWANIE
KARDIOLOGIA I ONKOLOGIA

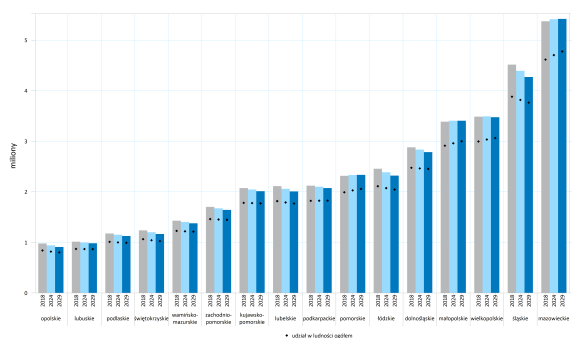


Załączniki do części III Prognozy potrzeb zdrowotnych

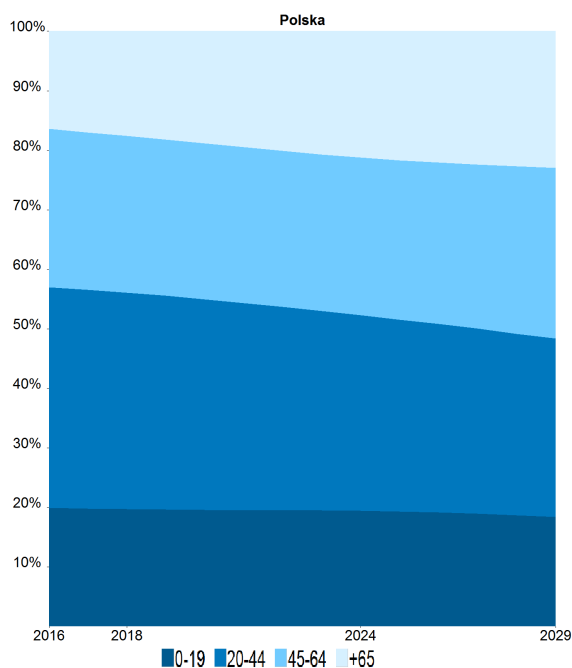
3.1 Prognozowana struktura ludności

Wykres 197: Prognozowana struktura ludności według podstawowych grup wieku w Polsce oraz w województwie pomorskim w latach 2016–2029

Wykres 196: Ludność w województwach w wybranych latach prognozy (w 2018, 2024 i 2029 roku)

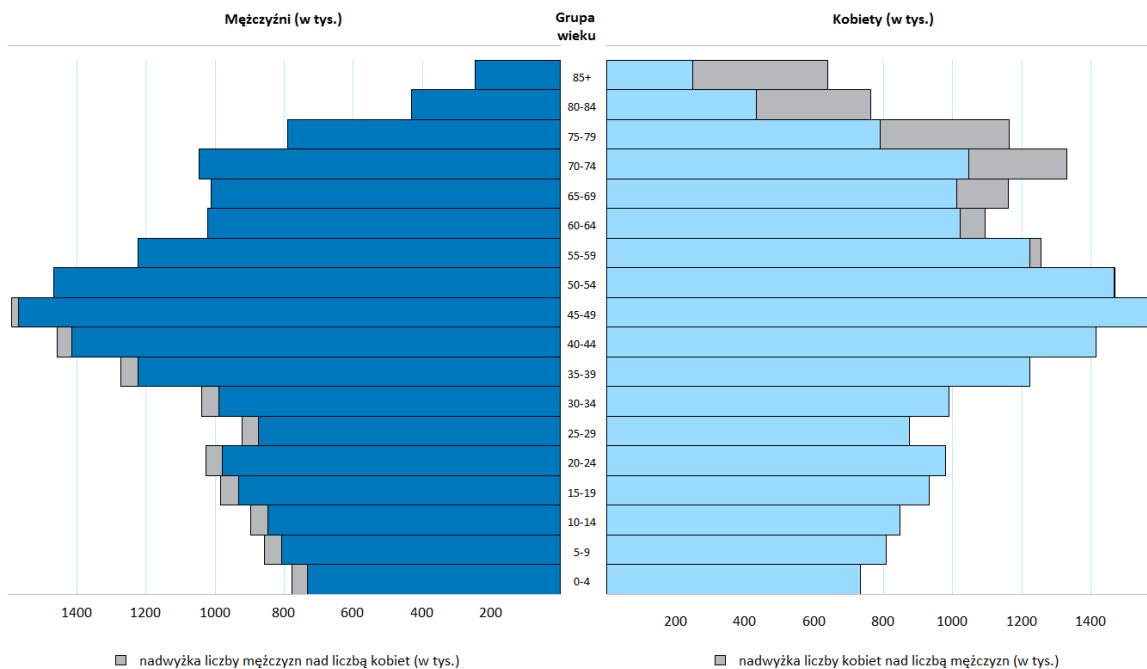


Źródło: opracowanie własne na podstawie danych GUS



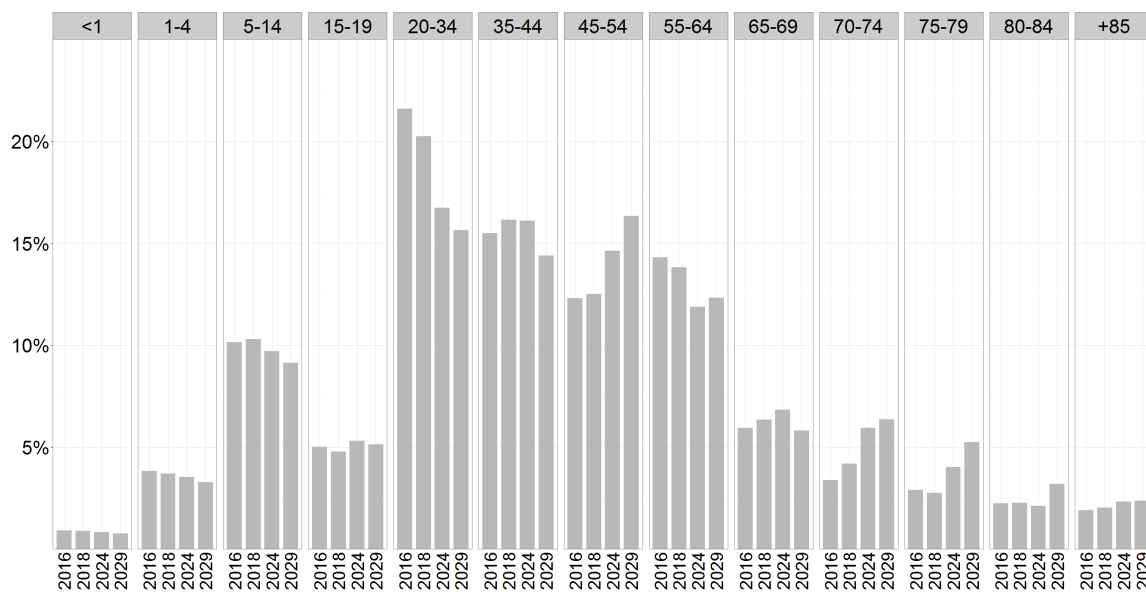
Źródło: opracowanie własne na podstawie danych GUS

Wykres 198: Prognozowana struktura ludności według płci i wieku w Polsce w 2029 r.



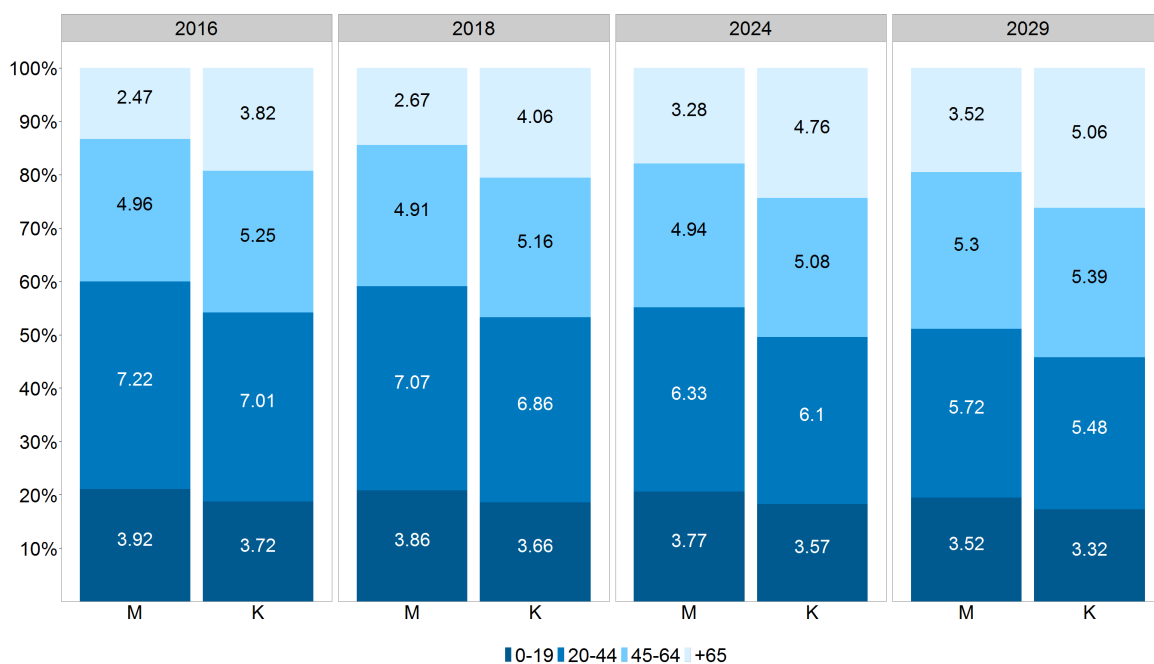
Źródło: opracowanie własne na podstawie danych GUS

Wykres 199: Prognozowana struktura ludności według grup wieku w wybranych latach prognozy (w 2016, 2018, 2024 i 2029 r.)



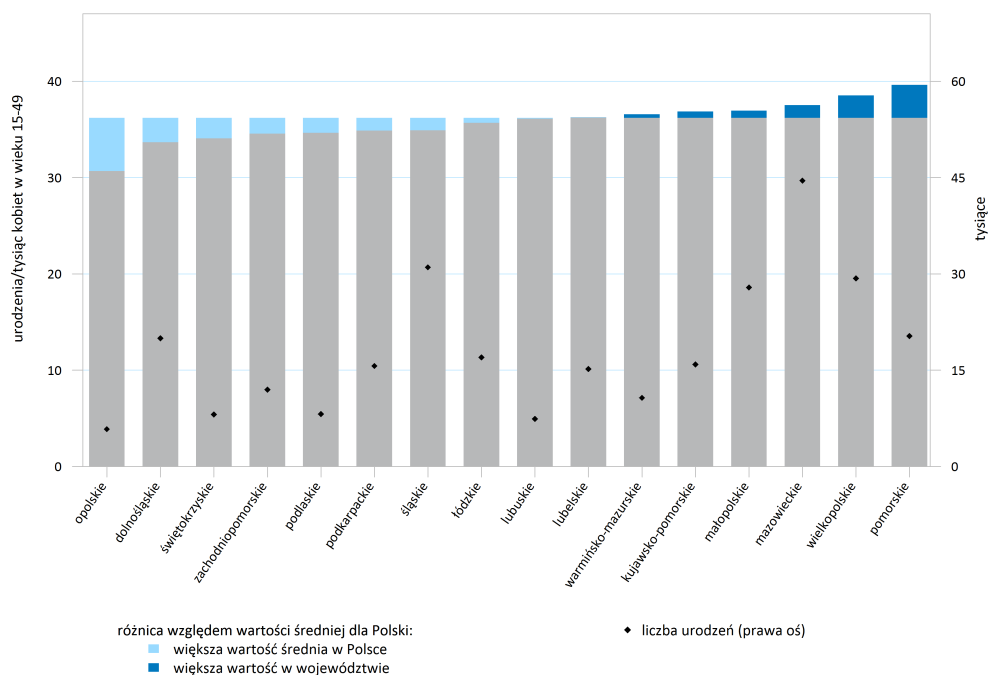
Źródło: opracowanie własne na podstawie danych GUS

Wykres 200: Prognozowana struktura ludności według płci i wieku w Polsce (udział oraz liczba osób w milionach) w wybranych latach prognozy (w 2016, 2018, 2024 i 2029 r.)



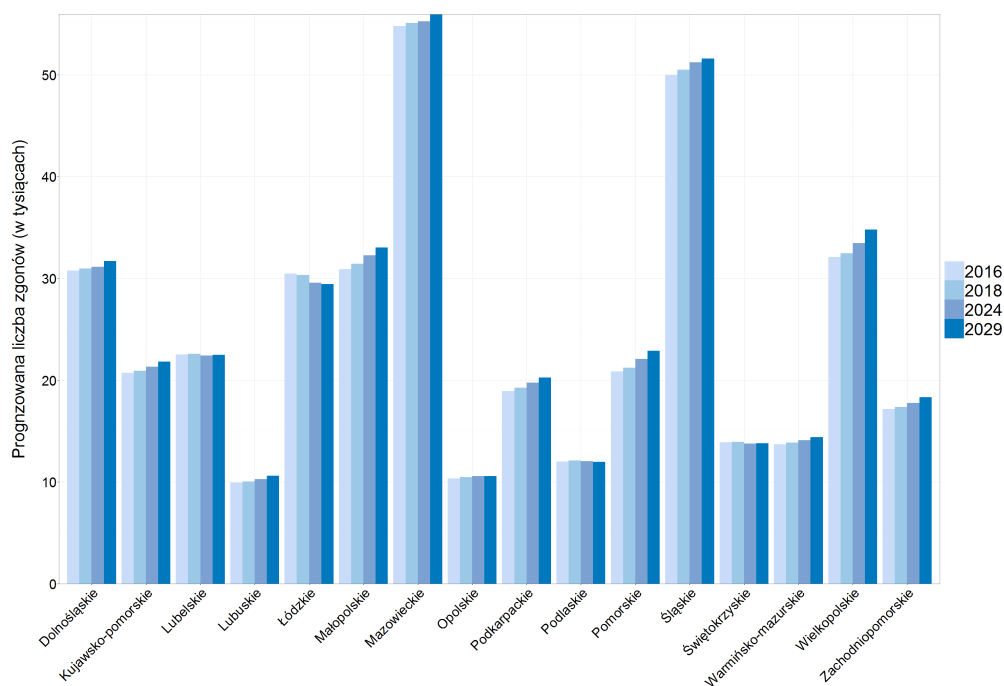
Źródło: opracowanie własne na podstawie danych GUS

Wykres 201: Prognozowany współczynnik płodności oraz urodzenia w województwach w 2029 r.



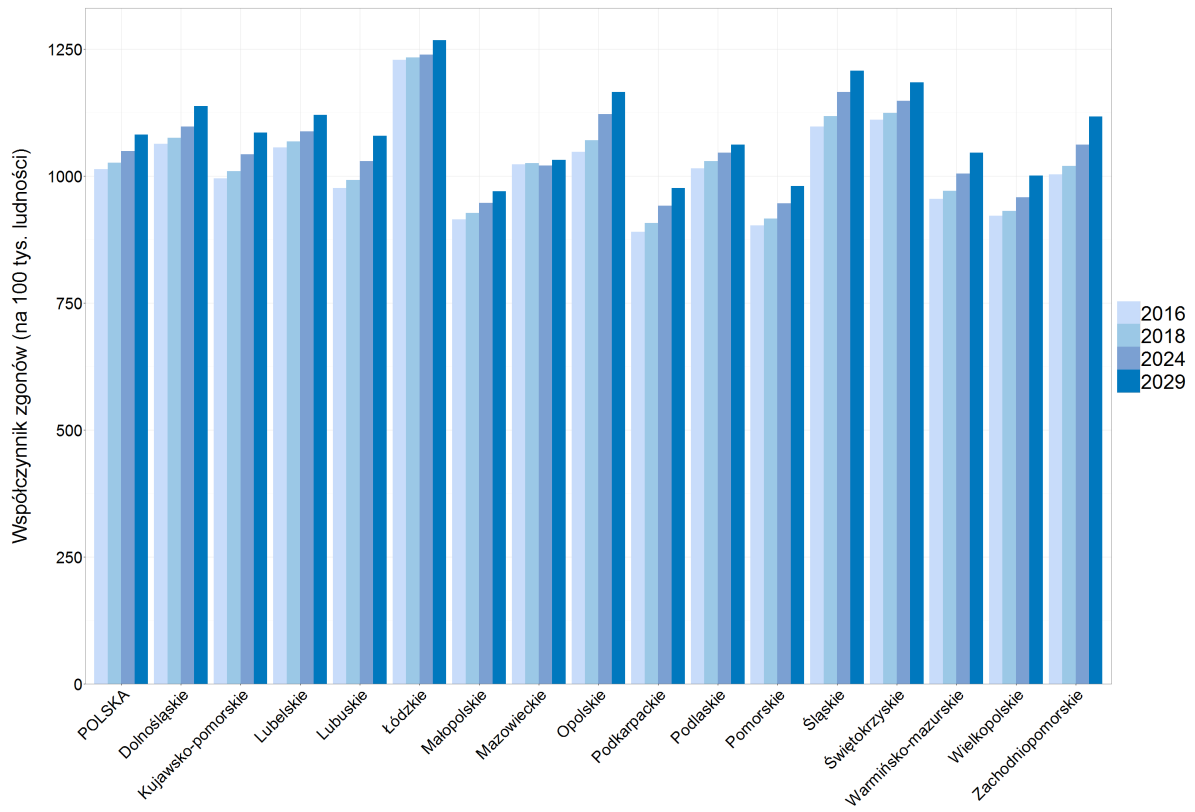
Źródło: opracowanie własne na podstawie danych GUS

Wykres 202: Prognozowana liczba zgonów (w tys.) według województw w wybranych latach prognozy (w 2016, 2018, 2024 i 2029 r.)



Źródło: opracowanie własne na podstawie danych GUS

Wykres 203: Prognozowane współczynniki zgonów (na 100 tys. osób) według województw w wybranych latach prognozy (w 2016, 2018, 2024 i 2029 r.)

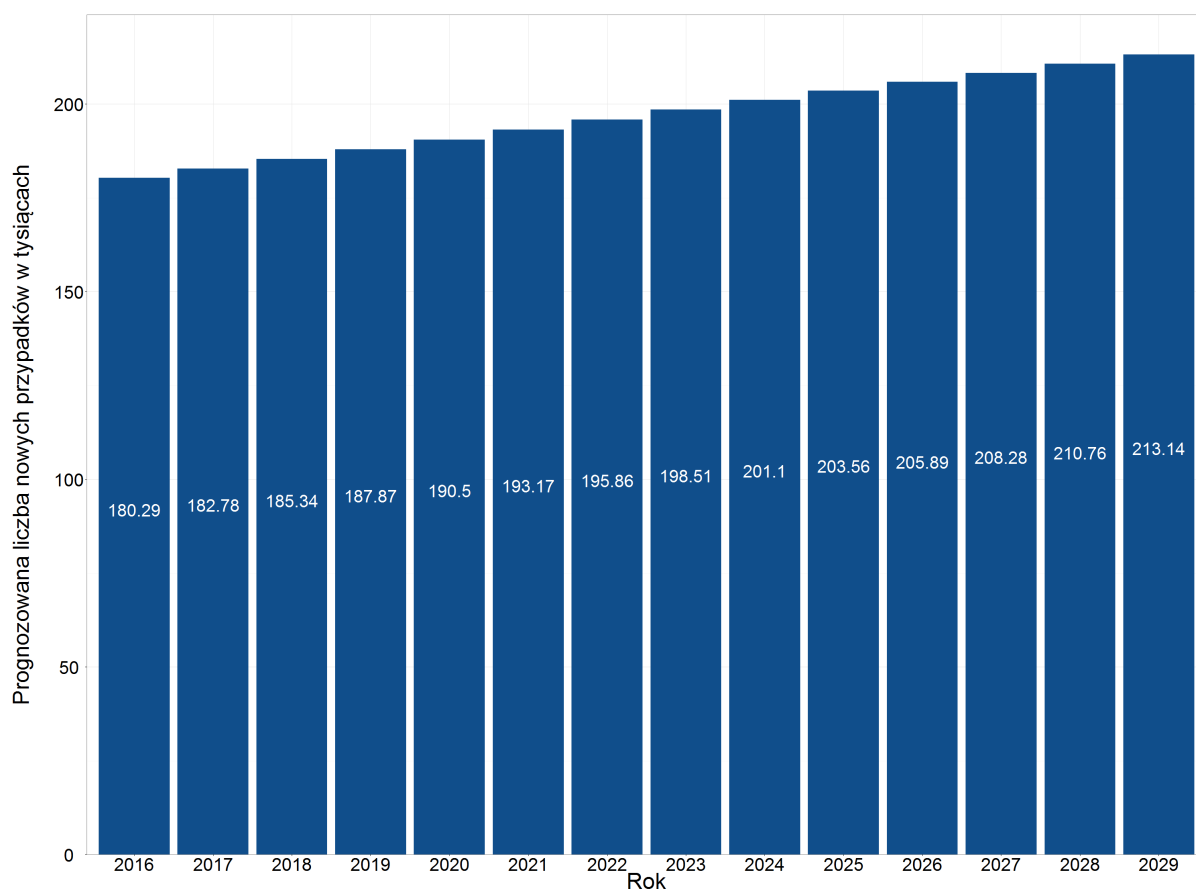


Źródło: opracowanie własne na podstawie danych GUS

3.2 Prognoza epidemiologiczna

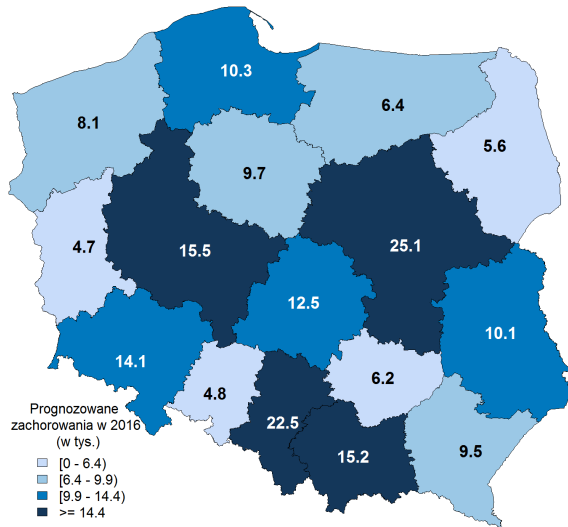
3.2.1 Prognoza zachorowalności

Wykres 204: Prognoza liczby nowych przypadków nowotworów złośliwych w Polsce w tysiącach w latach 2016–2029



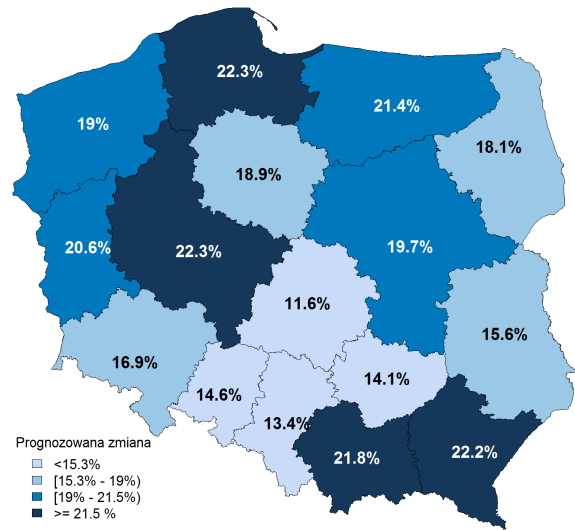
Źródło: opracowanie DAiS na podstawie bazy KRn, NFZ, BDL GUS

Wykres 205: Prognozowana liczba nowych przypadków nowotworów złośliwych w Polsce w podziale na województwa w 2016 r.



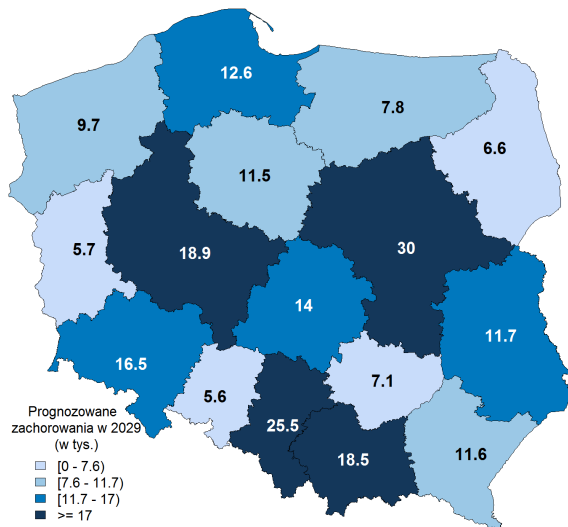
Źródło: opracowanie DAiS na podstawie bazy KRN, NFZ, BDL GUS

Wykres 207: Prognozowana zmiana liczby nowych przypadków nowotworów złośliwych w Polsce w podziale na województwa w roku 2029 w stosunku do roku 2016



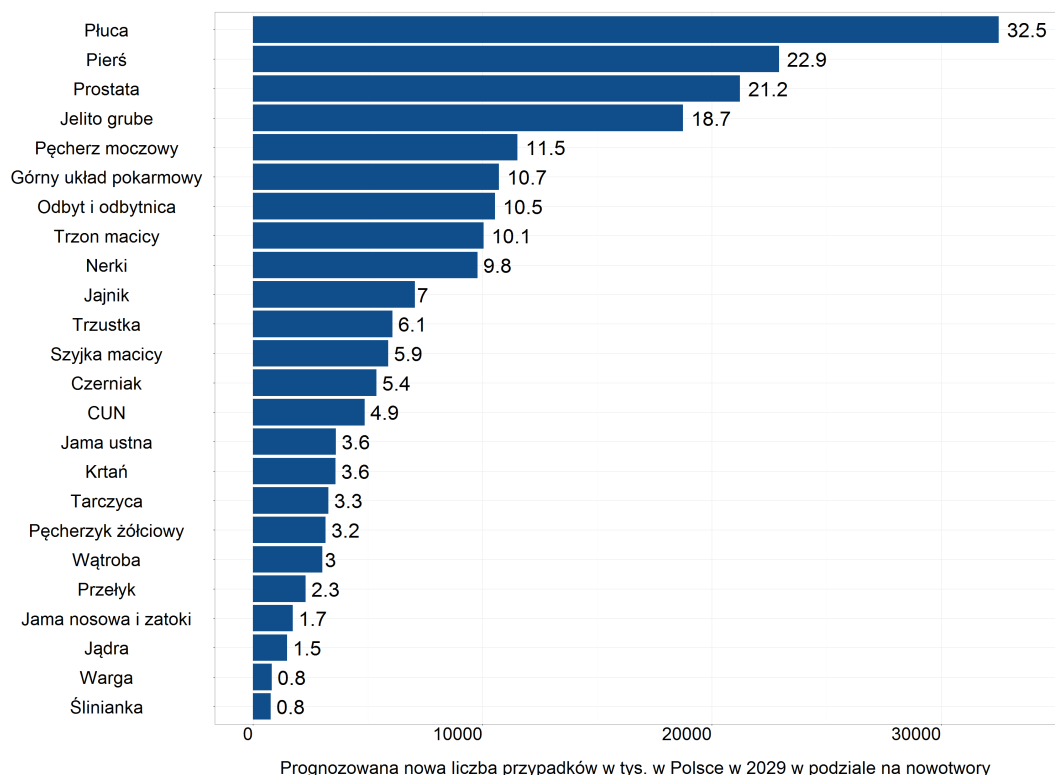
Źródło: opracowanie DAiS na podstawie bazy KRN, NFZ, BDL GUS

Wykres 206: Prognozowana liczba nowych przypadków nowotworów złośliwych w Polsce w podziale na województwa w 2029 r.



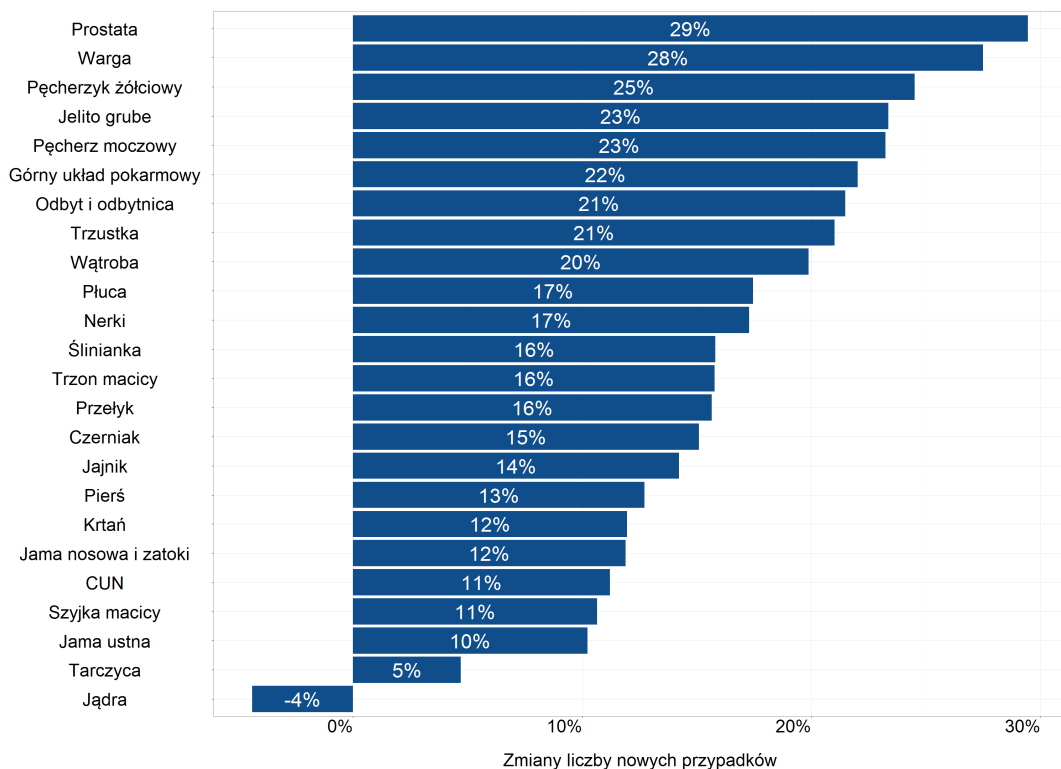
Źródło: opracowanie DAiS na podstawie bazy KRN, NFZ, BDL GUS

Wykres 208: Prognozowana liczba nowych przypadków nowotworów złośliwych w Polsce w roku 2029 w podziale na grupy nowotworów złośliwych



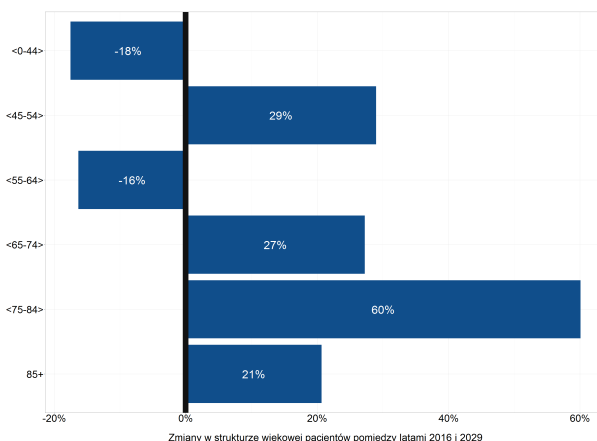
Źródło: opracowanie DAiS na podstawie bazy KRN, NFZ, BDL GUS

Wykres 209: Zmiany liczby nowych przypadków nowotworów złośliwych w ujęciu procentowym pomiędzy latami 2016 i 2029 w podziale na grupy nowotworów



Źródło: opracowanie DAiS na podstawie bazy KRN, NFZ, BDL GUS

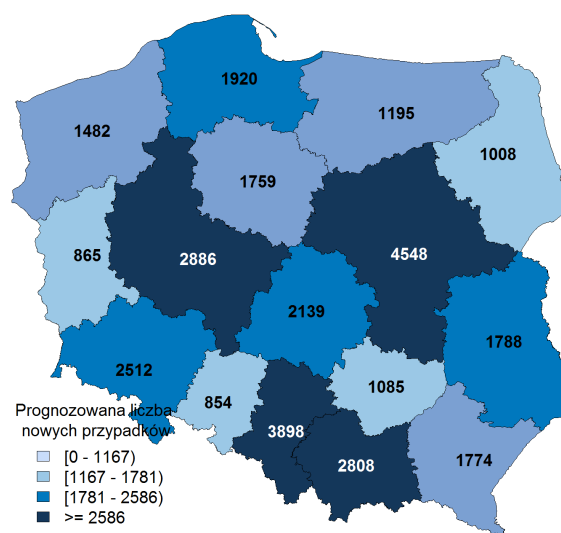
Wykres 210: Zmiany w liczbie nowych przypadków nowotworów złośliwych w ujęciu procentowym pomiędzy latami 2016 i 2029 w podziale na grupy wiekowe



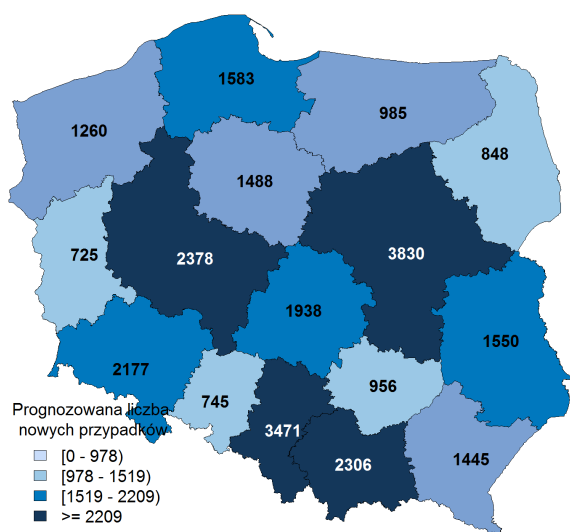
Źródło: opracowanie DAiS na podstawie bazy KRN, NFZ, BDL GUS

Nowotwory złośliwe tchawicy, oskrzela i płuca (C33, C34)

Wykres 212: Prognozowana liczba nowych przypadków nowotworów złośliwych płuca (C33, C34) w roku 2029



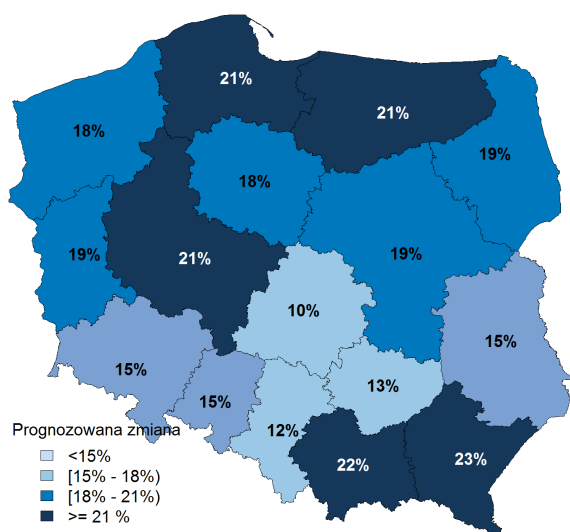
Wykres 211: Prognozowana liczba nowych przypadków nowotworów złośliwych płuca (C33, C34) w roku 2016



Źródło: opracowanie DAiS na podstawie bazy KRN, NFZ, BDL GUS

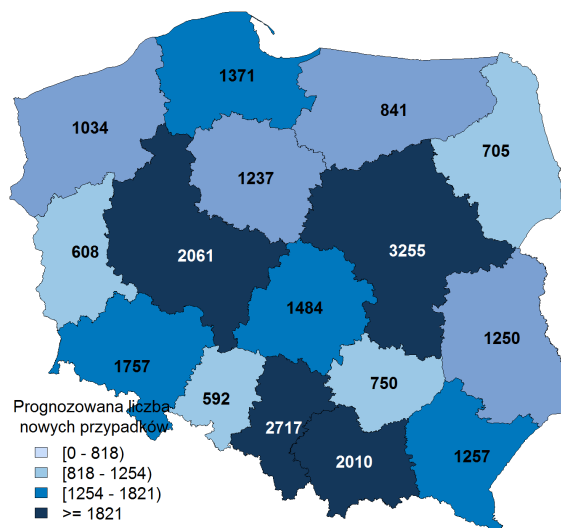
Źródło: opracowanie DAiS na podstawie bazy KRN, NFZ, BDL GUS

Wykres 213: Prognozowana zmiana liczby nowych przypadków nowotworów złośliwych nowotworów złośliwych płuc (C33, C34) w roku 2029 w stosunku do roku 2016



Źródło: opracowanie DAiS na podstawie bazy KRn, NFZ, BDL GUS

Wykres 215: Prognozowana liczba nowych przypadków nowotworów złośliwych piersi (C50, D05) w roku 2029

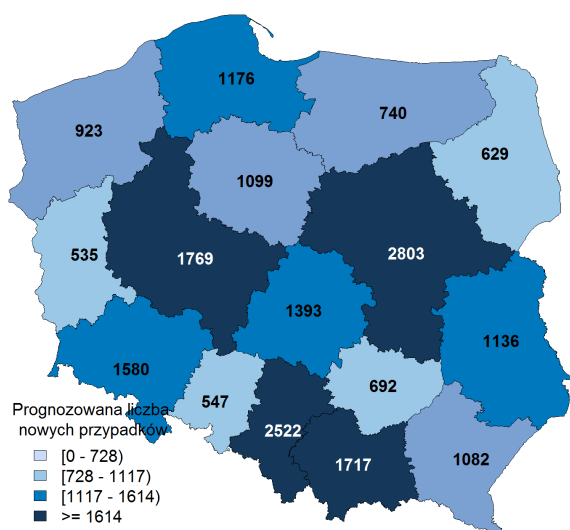


Źródło: opracowanie DAiS na podstawie bazy KRn, NFZ, BDL GUS

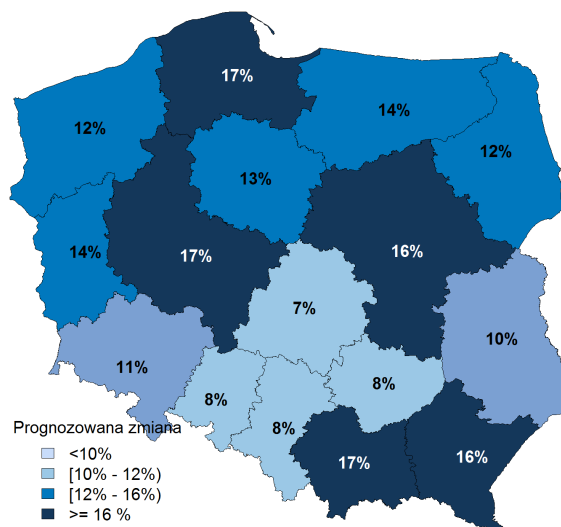
Nowotwory złośliwe piersi (C50, D05)

Wykres 216: Prognozowana zmiana liczby nowych przypadków nowotworów złośliwych piersi (C50, D05) w roku 2029 w stosunku do roku 2016

Wykres 214: Prognozowana liczba nowych przypadków nowotworów złośliwych piersi (C50, D05) w roku 2016



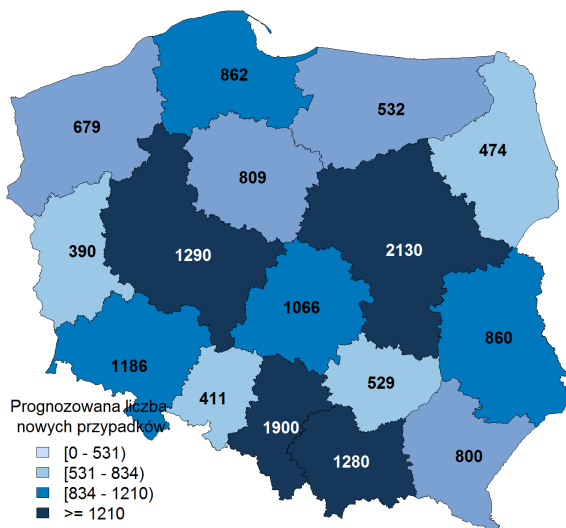
Źródło: opracowanie DAiS na podstawie bazy KRn, NFZ, BDL GUS



Źródło: opracowanie DAiS na podstawie bazy KRn, NFZ, BDL GUS

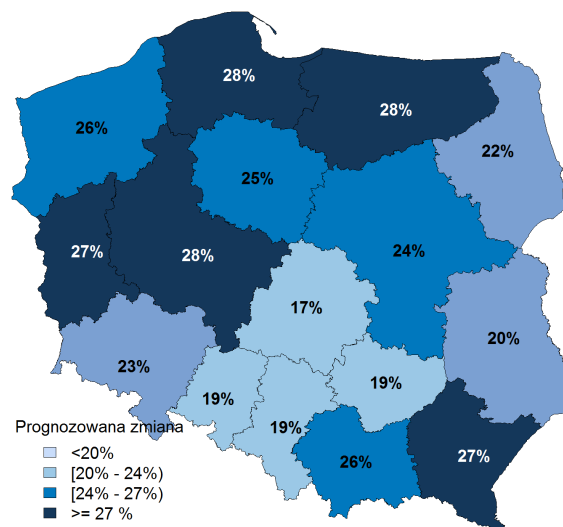
Nowotwory złośliwe jelita grubego (C18, C19)

Wykres 217: Prognozowana liczba nowych przypadków nowotworów złośliwych jelita grubego (C18, C19) w roku 2016



Źródło: opracowanie DAiS na podstawie bazy KRn, NFZ, BDL GUS

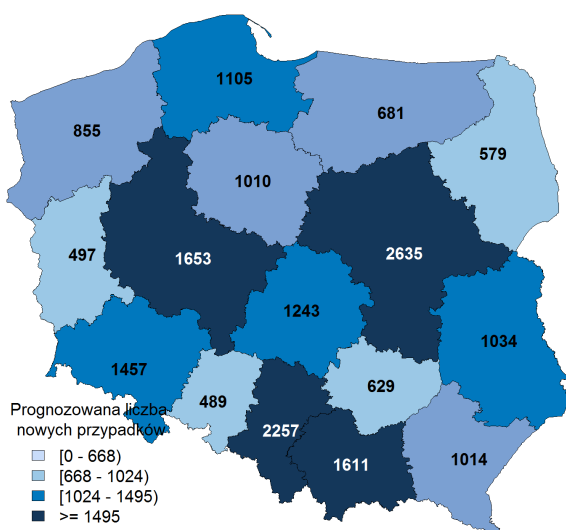
Wykres 219: Prognozowana zmiana liczby nowych przypadków nowotworów złośliwych jelita grubego (C18, C19) w roku 2029 w stosunku do roku 2016



Źródło: opracowanie DAiS na podstawie bazy KRn, NFZ, BDL GUS

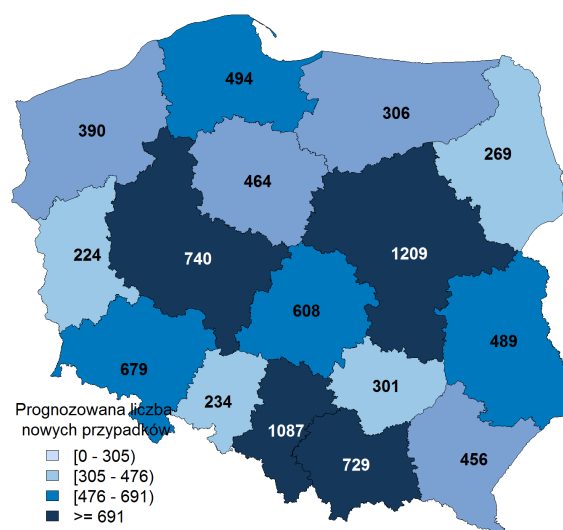
Nowotwory złośliwe odbytnicy i odbytu (C20, C21)

Wykres 218: Prognozowana liczba nowych przypadków nowotworów złośliwych jelita grubego (C18, C19) w roku 2029



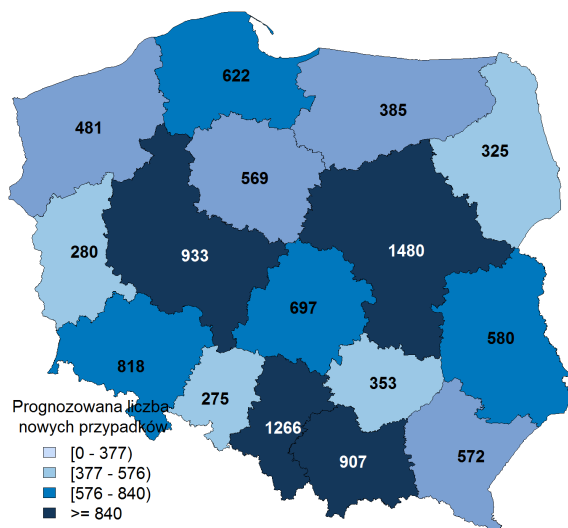
Źródło: opracowanie DAiS na podstawie bazy KRn, NFZ, BDL GUS

Wykres 220: Prognozowana liczba nowych przypadków nowotworów złośliwych odbytnicy i odbytu (C20, C21) w roku 2016



Źródło: opracowanie DAiS na podstawie bazy KRn, NFZ, BDL GUS

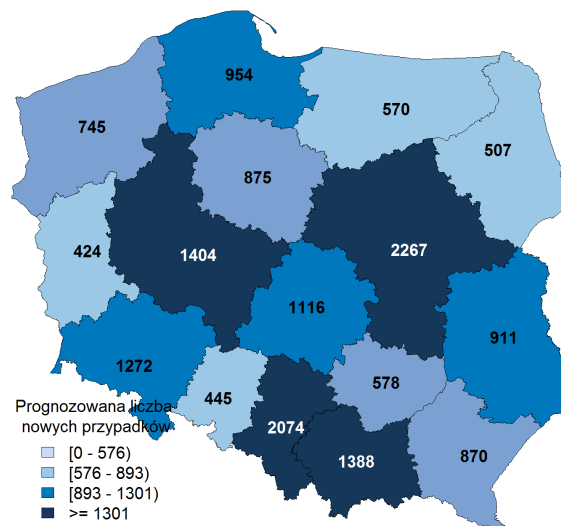
Wykres 221: Prognozowana liczba nowych przypadków nowotworów złośliwych odbytnicy i odbytu (C20, C21) w roku 2029



Źródło: opracowanie DAiS na podstawie bazy KRN, NFZ, BDL GUS

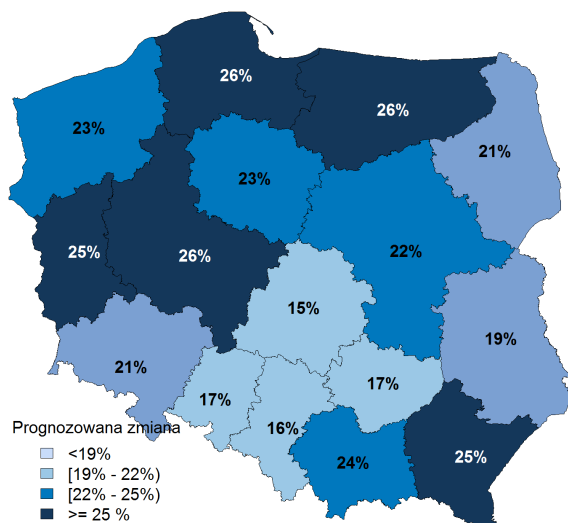
Nowotwór złośliwy gruczołu krokowego (C61)

Wykres 223: Prognozowana liczba nowych przypadków nowotworu złośliwego gruczołu krokowego (C61) w roku 2016



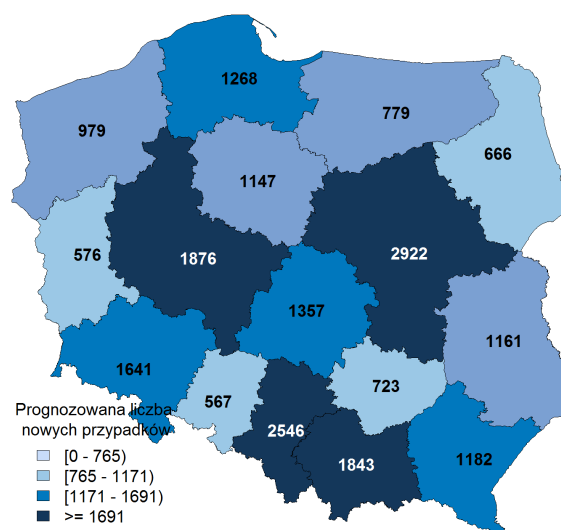
Źródło: opracowanie DAiS na podstawie bazy KRN, NFZ, BDL GUS

Wykres 222: Prognozowana zmiana liczby nowych przypadków nowotworów złośliwych odbytnicy i odbytu (C20, C21) w stosunku do roku 2016



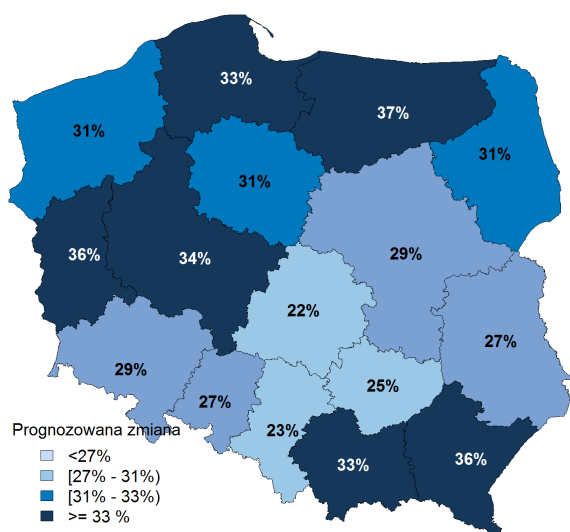
Źródło: opracowanie DAiS na podstawie bazy KRN, NFZ, BDL GUS

Wykres 224: Prognozowana liczba nowych przypadków nowotworu złośliwego gruczołu krokowego (C61) w roku 2029



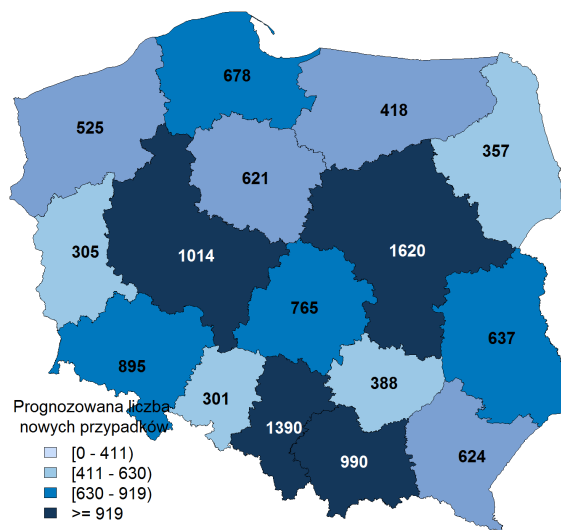
Źródło: opracowanie DAiS na podstawie bazy KRN, NFZ, BDL GUS

Wykres 225: Prognozowana zmiana liczby nowych przypadków nowotworu złośliwego gruczołu krokowego (C61) w roku 2029 w stosunku do roku 2016



Źródło: opracowanie DAiS na podstawie bazy KRN, NFZ, BDL GUS

Wykres 227: Prognozowana liczba nowych przypadków nowotworu złośliwego pęcherza moczowego (C67) w roku 2029

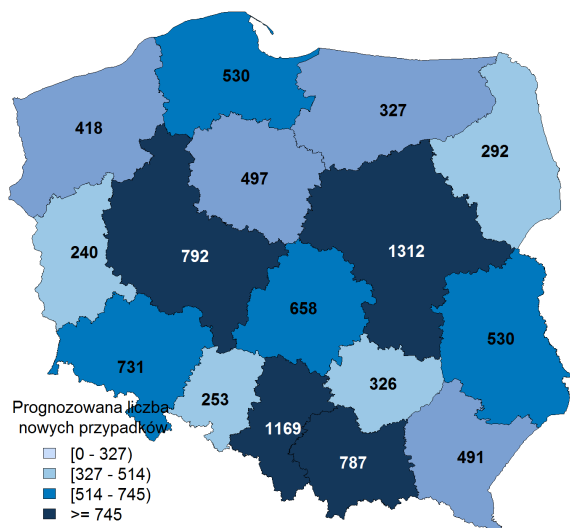


Źródło: opracowanie DAiS na podstawie bazy KRN, NFZ, BDL GUS

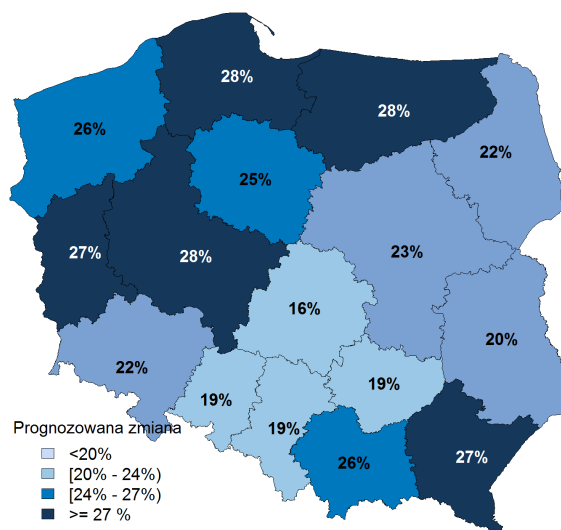
Nowotwór złośliwy pęcherza moczowego (C67)

Wykres 228: Prognozowana zmiana liczby nowych przypadków nowotworu złośliwego pęcherza moczowego (C67) w roku 2029 w stosunku do roku 2016

Wykres 226: Prognozowana liczba nowych przypadków nowotworu złośliwego pęcherza moczowego (C67) w roku 2016



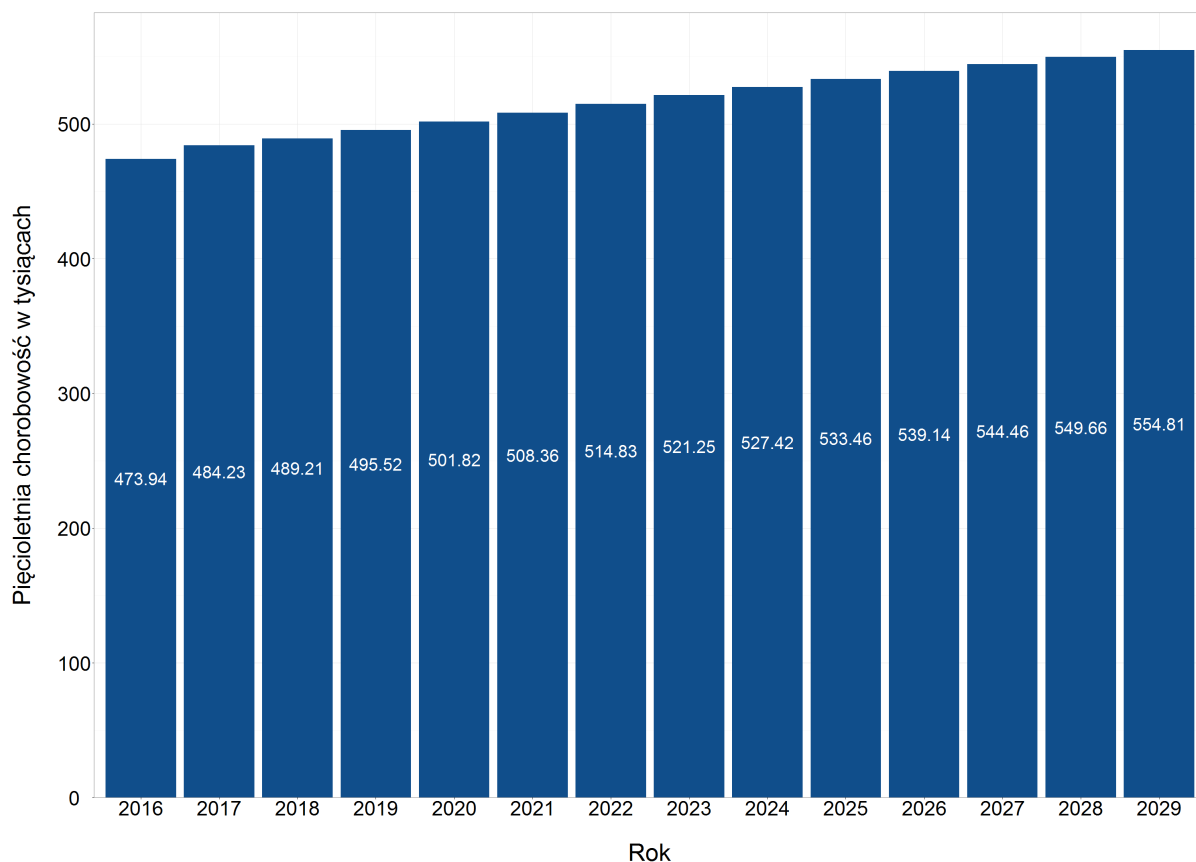
Źródło: opracowanie DAiS na podstawie bazy KRN, NFZ, BDL GUS



Źródło: opracowanie DAiS na podstawie bazy KRN, NFZ, BDL GUS

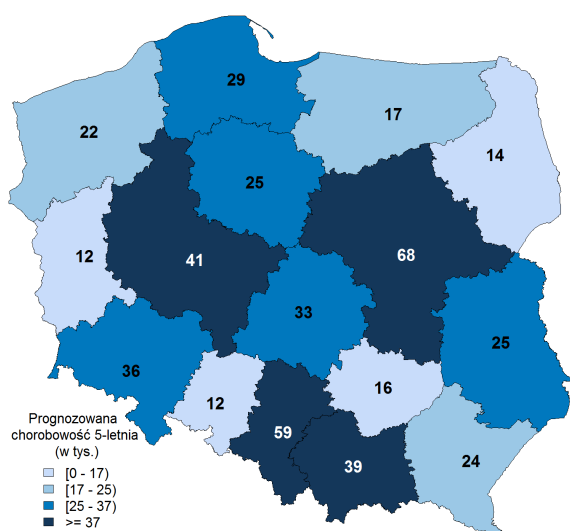
3.2.2 Prognoza 5-letniej chorobowości

Wykres 229: Prognozowana chorobowość 5-letnia (w tysiącach)



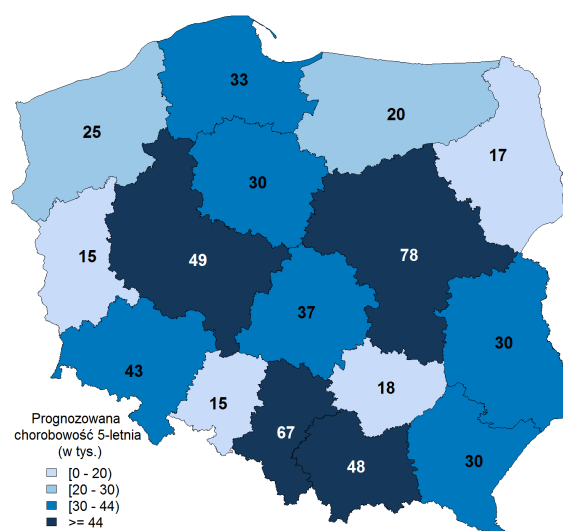
Źródło: opracowanie DAiS na podstawie bazy KRN, NFZ, BDL GUS

Wykres 230: Prognozowana chorobowość 5-letnia w roku 2016



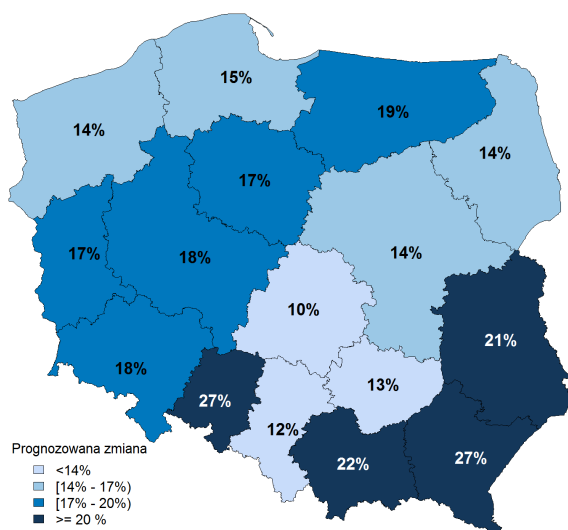
Źródło: opracowanie DAiS na podstawie bazy KRN, NFZ, BDL GUS

Wykres 231: Prognozowana chorobowość 5-letnia w roku 2029



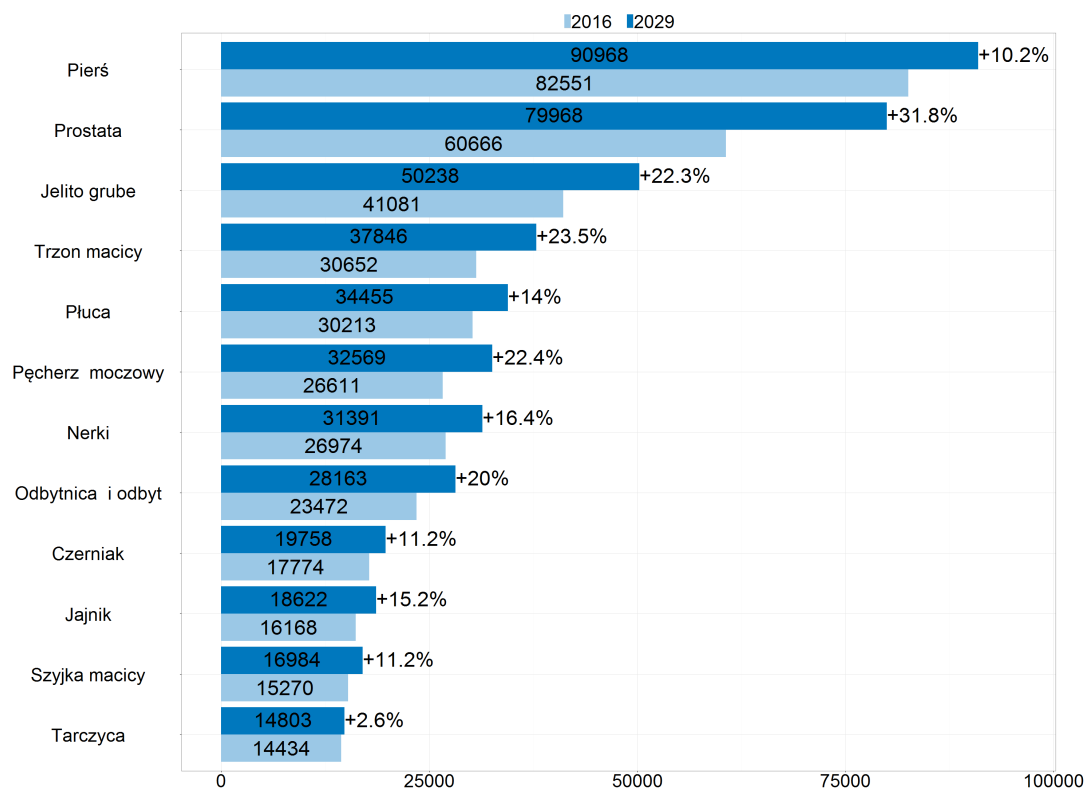
Źródło: opracowanie DAiS na podstawie bazy KRN, NFZ, BDL GUS

Wykres 232: Prognozowany procentowy wzrost chorobowości 5-letniej w latach 2016–2029



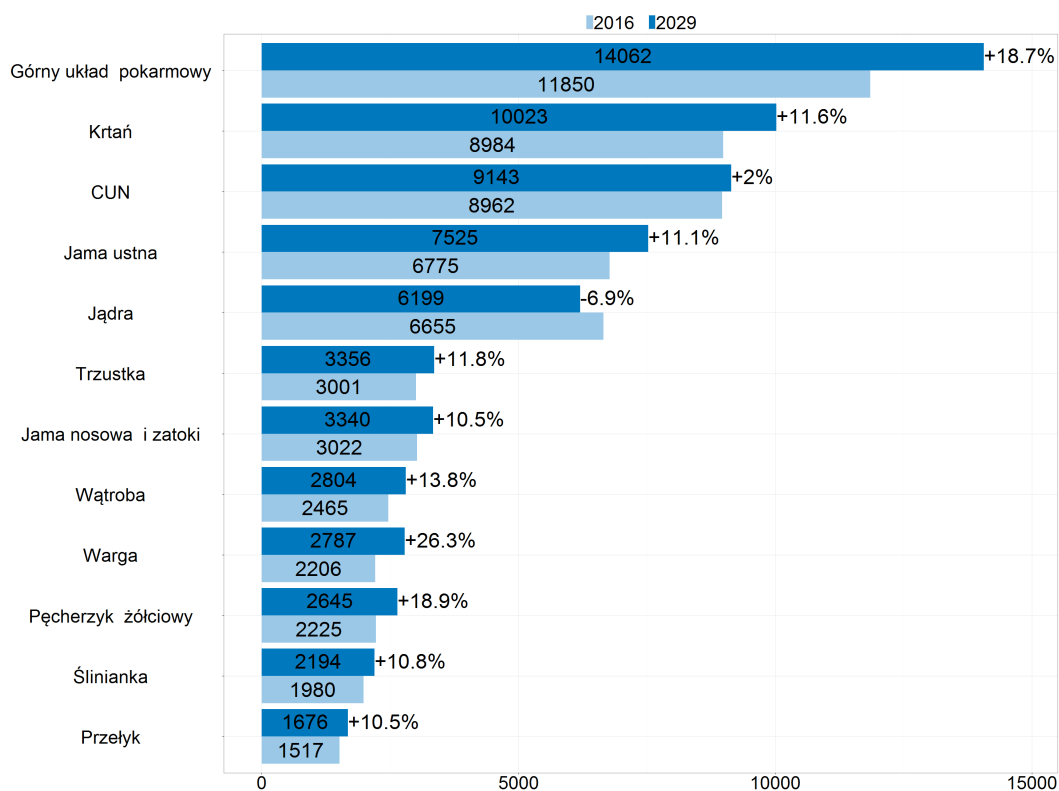
Źródło: opracowanie DAiS na podstawie bazy KRN, NFZ, BDL GUS

Wykres 233: Prognozowane zmiany chorobowości 5-letniej między rokiem 2016 a 2029 (część 1)



Źródło: opracowanie DAiS na podstawie bazy KRN, NFZ, BDL GUS

Wykres 234: Prognozowane zmiany chorobowości 5-letniej między rokiem 2016 a 2029 (część 2)



Źródło: opracowanie DAiS na podstawie bazy KRn, NFZ, BDL GUS

3.2.3 Prognoza świadczeń z zakresu chirurgii

Tabela 14: Prognoza zapotrzebowania na hospitalizacje celem wykonania leczniczego zabiegu chirurgicznego w najpowszechniejszych grupach nowotworów (2018)

	dolnośląskie	kujawsko-pomorskie	łódzkie	lubelskie	lubuskie	małopolskie	mazowieckie	opolskie	podkarpackie	podlaskie	pomorskie	śląskie	świętokrzyskie	warmińsko-mazurskie	wielkopolskie	zachodniopomorskie
n. dolnego odcinka układu pokarmowego	1 247	792	910	309	1 036	1 204	2 067	323	703	382	846	1 906	429	489	1 184	682
n. płuc	456	303	187	75	351	445	798		185	105	302	542	163	87	440	286
n. piersi	1 560	987	1 018	457	1 307	1 452	2 584	444	867	458	1 161	2 171	547	602	1 685	772
n. ginekologiczne	740	786	682	248	753	849	1 601	275	468	347	688	1 549	366	361	981	470
n. nerki	535	361	352	134	414	454	947	140	322	185	366	845	203	176	512	286

Źródło: opracowanie DAiS na podstawie bazy NFZ i prognozy demograficznej GUS.

Tabela 15: Prognoza zapotrzebowania na hospitalizacje celem wykonania leczniczego zabiegu chirurgicznego w najpowszechniejszych grupach nowotworów (2024)

	dolnośląskie	kujawsko-pomorskie	łódzkie	lubelskie	lubuskie	małopolskie	mazowieckie	opolskie	podkarpackie	podlaskie	pomorskie	śląskie	świętokrzyskie	warmińsko-mazurskie	wielkopolskie	zachodniopomorskie
n. dolnego odcinka układu pokarmowego	1 373	876	999	350	1 114	1 340	2 287	349	788	421	955	2 060	471	544	1 322	765
n. płuc	475	311	195	76	362	470	851		200	111	320	559	168	92	465	302
n. piersi	1 637	1 029	1 050	480	1 338	1 552	2 762	453	922	480	1 239	2 221	554	630	1 788	796
n. ginekologiczne	772	828	717	261	775	902	1 718	287	503	365	739	1 600	381	382	1 038	506
n. nerki	568	394	373	141	432	495	1 025	148	353	198	398	893	213	194	553	312

Źródło: opracowanie DAiS na podstawie bazy NFZ i prognozy demograficznej GUS.

Tabela 16: Maksymalna liczba umów w zakresie skojarzonym – pakiet onkologiczny, przy której możliwa jest realizacja co najmniej 60 zabiegów rocznie w każdej grupie nowotworów (2018)

Zakres skojarzony nielimitowany - pakiet onkologiczny	dolnośląskie	kujawsko-pomorskie	łódzkie	lubelskie	lubuskie	małopolskie	mazowieckie	opolskie	podkarpackie	podlaskie	pomorskie	śląskie	świętokrzyskie	warmińsko-mazurskie	wielkopolskie	zachodniopomorskie	SUMA
CHIRURGIA OGÓLNA	18	11	20	14	1	18	38	2	13	5	15	55	6	8	21	15	260
CHIRURGIA KLATKI PIERSIWEJ	7	5	5	3	1	7	12		3	1	5	9	2	1	7	4	72
CHIRURGIA ONKOLOGICZNA	38	23	28	23	10	34	67	9	14	10	23	31	10	10	38	13	381
CHIRURGIA PLASTYCZNA														1			1
CHIRURGIA SZCZĘKOWO-TWARZOWA	1					1	1									1	4
GINEKOLOGIA ONKOLOGICZNA	6	8				1	7				7	4	4	1	6		44
NEUROCHIRURGIA	3	3	2	2		2	4		1		2	3		1	2	1	26
OTOLARYNGOLOGIA	4	4	4	5		5	7		2	1	4	6	2	2	8		54
POŁOŻNICTWO I GINEKOLOGIA	4	3	11	10	3	9	17	4	7	4	2	20	1	4	9	7	115
UROLOGIA	14	13	11	9	2	11	26	2	7	3	9	21	5	2	12	6	153

Źródło: opracowanie DAiS na podstawie bazy NFZ i prognozy demograficznej GUS.

Tabela 17: Maksymalna liczba umów w zakresie skojarzonym – pakiet onkologiczny, przy której możliwa jest realizacja co najmniej 60 zabiegów rocznie w każdej grupie nowotworów (2024)

Zakres skojarzony nielimitowany - pakiet onkologiczny	dolnośląskie	kujawsko-pomorskie	łódzkie	lubelskie	lubuskie	małopolskie	mazowieckie	opolskie	podkarpackie	podlaskie	pomorskie	śląskie	świętokrzyskie	warmińsko-mazurskie	wielkopolskie	zachodniopomorskie	SUMA
CHIRURGIA OGÓLNA	20	12	21	17	1	22	41	2	15	6	18	59	6	8	23	16	287
CHIRURGIA KLATKI PIERSIOWEJ	7	5	6	3	1	7	13		3	1	5	9	2	1	7	5	75
CHIRURGIA ONKOLOGICZNA	40	24	28	24	11	38	72	10	17	10	25	34	10	12	41	14	410
CHIRURGIA PŁASTYCZNA														1			1
CHIRURGIA SZCZĘKOWO-TWARZOWA	1					1	1									1	4
GINEKOLOGIA ONKOLOGICZNA	6	9				1	7				8	4	5	1	6		47
NEUROCHIRURGIA	3	3	2	3		2	4		1		3	3		1	2	1	28
OTOLARYNGOLOGIA	5	4	4	5		6	7		3	1	4	6	2	2	8	1	58
POŁOŻNICTWO I GINEKOLOGIA	4	4	12	11	4	9	19	4	8	4	3	21	1	4	9	8	125
UROLOGIA	16	14	11	9	2	13	27	2	9	4	11	21	5	2	13	6	165

Źródło: opracowanie DAiS na podstawie bazy NFZ i prognozy demograficznej GUS.

3.2.4 Prognoza świadczeń PET

Tabela 18: Prognozowane zapotrzebowanie na świadczenia i aparaty PET (2018)

Województwo	Prognozowana liczba świadczeń	Prognozowana liczba pacjentów	Zapotrzebowanie	
			1913/1	4474/1
dolnośląskie	3048	2791	2	1
kujawsko-pomorskie	3093	2613	2	1
lubelskie	1451	1309	1	1
lubuskie	805	708	1	1
łódzkie	2389	2173	2	1
małopolskie	3994	3591	3	1
mazowieckie	5591	5027	3	2
opolskie	637	551	1	1
podkarpackie	971	846	1	1
podlaskie	814	747	1	1
pomorskie	2131	1903	2	1
śląskie	5058	4366	3	2
świętokrzyskie	2417	2123	2	1
warmińsko-mazurskie	1292	1194	1	1
wielkopolskie	3877	3412	3	1
zachodniopomorskie	1507	1364	1	1
POLSKA	39075	34719	21	9

Źródło: opracowanie DAiS na podstawie bazy NFZ i prognozy demograficznej GUS.

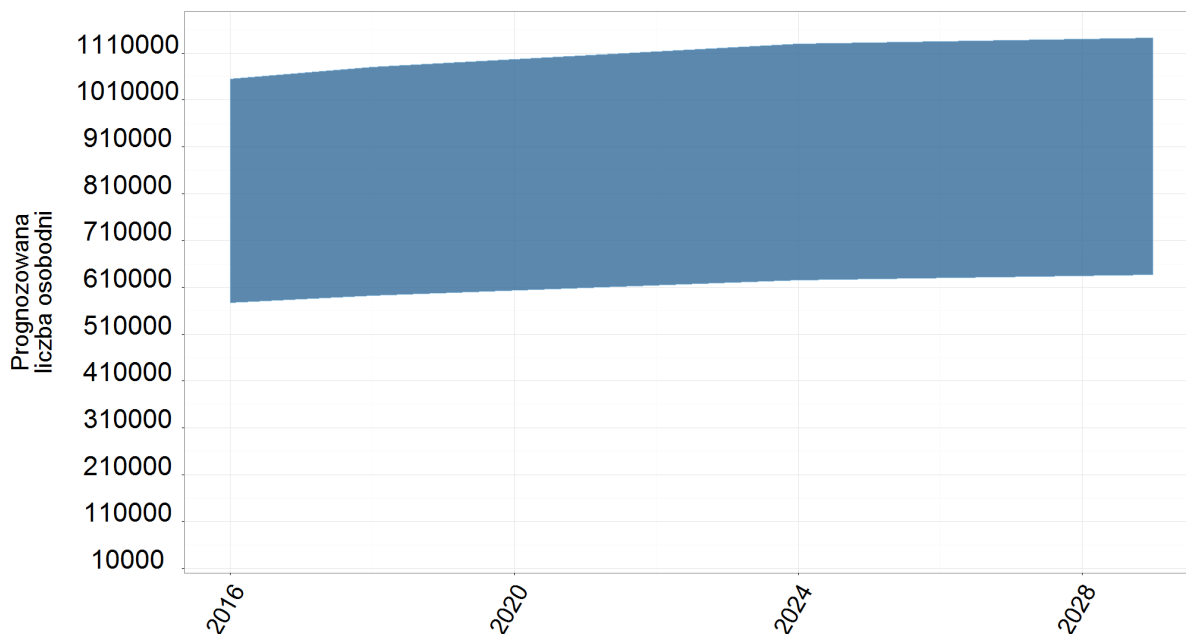
Tabela 19: Prognozowane zapotrzebowanie na świadczenia i aparaty PET (2024)

Województwo	Prognozowana liczba świadczeń	Prognozowana liczba pacjentów	Zapotrzebowanie	
			1913/1	4474/1
dolnośląskie	3259	3002	2	1
kujawsko-pomorskie	3332	2846	2	1
lubelskie	1516	1376	1	1
lubuskie	867	767	1	1
łódzkie	2468	2259	2	1
małopolskie	4430	4010	3	1
mazowieckie	6104	5520	4	2
opolskie	662	578	1	1
podkarpackie	1042	919	1	1
podlaskie	895	827	1	1
pomorskie	2355	2120	2	1
śląskie	5287	4587	3	2
świętokrzyskie	2570	2270	2	1
warmińsko-mazurskie	1415	1319	1	1
wielkopolskie	4208	3731	3	1
zachodniopomorskie	1624	1481	1	1
POLSKA	42035	37611	22	10

Źródło: opracowanie DAiS na podstawie bazy NFZ i prognozy demograficznej GUS.

3.2.5 Prognoza świadczeń chemioterapeutycznych

Wykres 235: Prognozowana liczba osobodni świadczeń chemioterapii do roku 2029



Źródło: opracowanie DAiS na podstawie bazy NFZ i prognozy demograficznej GUS.

Tabela 20: Prognozowana minimalna i maksymalna liczba osobodni świadczeń chemioterapii wg województw (2016)

Województwo	Minimum	Maksimum
dolnoslaskie	51 967	114 899
kujawsko-pomorskie	35 014	62 696
lubelskie	50 591	106 051
lubuskie	13 072	37 304
lodzkie	31 558	74 753
malopolskie	37 246	83 894
mazowieckie	104 693	241 647
opolskie	7 743	22 614
podkarpackie	31 145	62 893
podlaskie	14 905	34 752
pomorskie	40 091	58 880
slaskie	72 130	180 528
swietokrzyskie	24 328	55 032
warminsko-mazurskie	22 062	43 262
wielkopolskie	45 707	103 616
zachodniopomorskie	20 698	47 376

Źródło: opracowanie DAiS na podstawie bazy NFZ i prognozy demograficznej GUS.

Tabela 21: Prognozowana minimalna i maksymalna liczba osobodni świadczeń chemioterapii wg województw (2029)

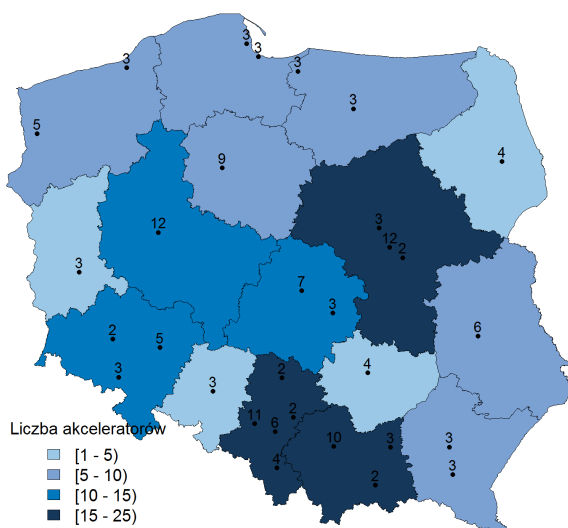
Województwo	Minimum	Maksimum
dolnoslaskie	57 101	123 286
kujawsko-pomorskie	38 663	67 960
lubelskie	56 539	115 780
lubuskie	13 617	38 369
lodzkie	32 790	76 348
malopolskie	43 186	96 221
mazowieckie	118 405	267 627
opolskie	8 178	23 901
podkarpackie	36 759	73 196
podlaskie	16 323	38 295
pomorskie	45 893	66 575
slaskie	75 279	184 831
swietokrzyskie	25 138	55 641
warminsko-mazurskie	24 360	48 116
wielkopolskie	51 600	115 803
zachodniopomorskie	22 542	50 384

Źródło: opracowanie DAiS na podstawie bazy NFZ i prognozy demograficznej GUS.

3.2.6 Prognoza świadczeń radioterapeutycznych

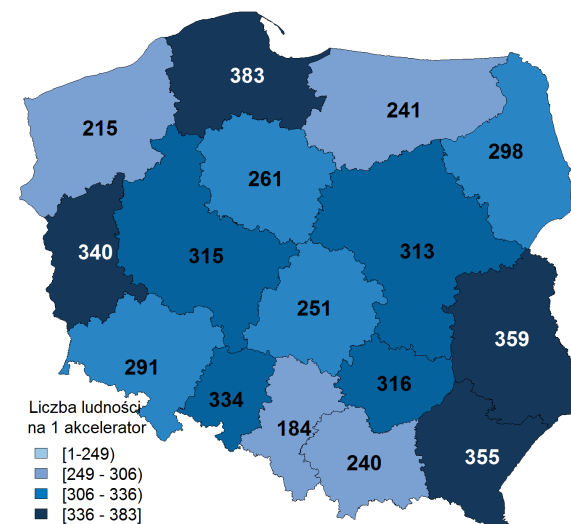
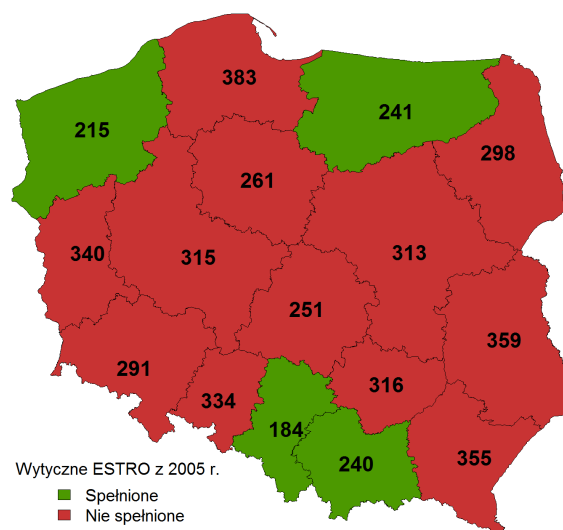
Przyspieszacz liniowy w Polsce w 2014 roku

Wykres 236: Rozmieszczenie akceleratorów w Polsce (2014)



Źródło: opracowanie DAiS na podstawie raportu nt. stanu radioterapii w Polsce (Gdańsk 2015).

Wykres 237: Liczba ludności (w tys.) przypadających na jeden akcelerator w województwach Polski (2014)



Źródło: opracowanie DAiS na podstawie raportu nt. stanu radioterapii w Polsce (Gdańsk 2015), NFZ oraz Banku Danych lokalnych GUS.

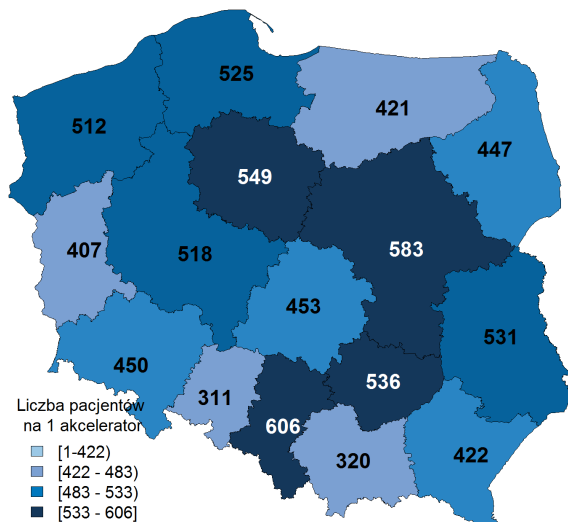
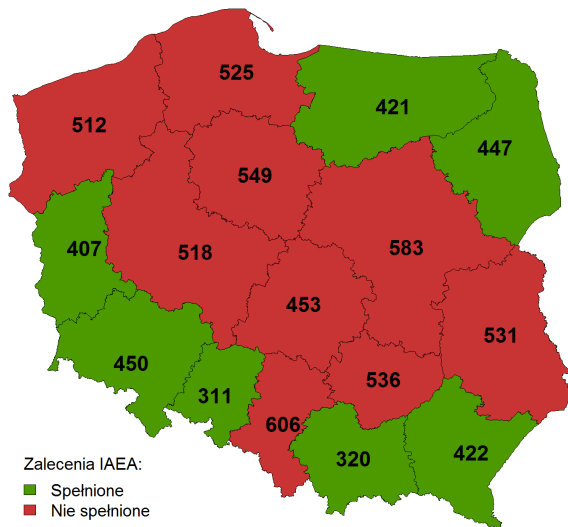
Tabela 22: Lokalizacja akceleratorów w Polsce (2014)

Województwo	Miasto	Świadczeniodawca	Liczba akceleratorów
dolnośląskie	Wrocław	Dolnośląskie Centrum Onkologii	5
	Legnica	Dolnośląskie Centrum Onkologii - filia	2
	Wałbrzych	Międzynarodowe Centrum Onkoterapii	3
kujawsko-pomorskie	Bydgoszcz	Centrum Onkologii im. Prof. F. Łukaszczyka	9*
lubelskie	Lublin	Centrum Onkologii Ziemi Lubelskiej	6
lubuskie	Zielona Góra	Lubuski Ośrodek Onkologii - Szpital Wojewódzki SPZOZ	3
łódzkie	Łódź	Wojewódzki Szpital Specjalistyczny im. M. Kopernika, Regionalny Ośrodek Onkologiczny	7
	Tomaszów Mazowiecki	NU-MED Centrum Diagnostyki i Terapii Onkologicznej	3
małopolskie	Kraków	Centrum Onkologii Instytut M. Skłodowskiej-Curie	4
		Uniwersytecki Szpital Dzieciątcy	2
		Szpital Uniwersytecki w Krakowie, Oddział Kliniczny Chirurgii Ogólnej i Gastroenterologicznej	1*
		Centrum Radioterapii Amethyst	3
	Tarnów	Zakład Radioterapii z Oddziałem Radioterapii Szpitala Wojewódzkiego im. Św. Łukasza SP ZOZ	3
Nowy Sącz	Szpital Specjalistyczny im. J. Śniadeckiego	2	
mazowieckie	Warszawa	Centrum Onkologii Instytut im. M. Skłodowskiej-Curie	12
	Wieliszew	Mazowiecki Szpital Onkologiczny	3
	Otwock	Międzynarodowe Centrum Onkoterapii	2
opolskie	Opole	Opolskie Centrum Onkologii im. Tadeusza Koszarowskiego	3
podkarpackie	Brzozów	1. Szpital Specjalistyczny - Podkarpacki Ośrodek Onkologiczny im. ks. Bronisława Markiewicza	3
	Rzeszów	Wojewódzki Szpital Specjalistyczny im. F. Chopina	3
podlaskie	Białystok	Białostockie Centrum Onkologii im. M. Skłodowskiej-Curie	4
pomorskie	Gdańsk	Klinika Onkologii i Radioterapii, Uniwersyteckie Centrum Kliniczne	3
	Gdynia	Gdyńskie Centrum Onkologii przy Szpitalu Morskim im. PCK	3
śląskie	Bielsko-Biała	Beskidzkie Centrum Onkologii - Szpital Miejski im. JP II	4
	Częstochowa	Wojewódzki Szpital Specjalistyczny im. NMP	2
	Dąbrowa Górnicza	Szpital Specjalistyczny im. Sz. Starkiewicza	2
	Gliwice	Centrum Onkologii - Instytut im. M. Skłodowskiej-Curie	11
	Katowice	Szpital im. S. Leszczyńskiego Uniwersyteckie Centrum Okulistyki i Onkologii	3 3
świętokrzyskie	Kielce	Świętokrzyskie Centrum Onkologii	4
warmińsko-mazurskie	Olsztyn	SP ZOZ MSWiA z Warmińsko-Mazurskim Centrum Onkologii	3
	Elbląg	NU-MED. Grupa SA, Centrum Radioterapii i Usprawniania	3
wielkopolskie	Poznań	Wielkopolskie Centrum Onkologii	10*
		Euromedic Onkoterapia sp. z o.o. Międzynarodowe Centrum Onkoterapii	2
zachodniopomorskie	Szczecin	Zachodniopomorskie Centrum Onkologii Oddział Kliniczny Radioterapii	5
	Koszalin	Euromedic Onkoterapia - Międzynarodowe Centrum Onkoterapii	3

*Kraków SU Chir, Poznań WCO, Bydgoszcz CO im. F.Ł. posiadały po jednym akceleratorze wyłącznie do radioterapii śródoperacyjnej.

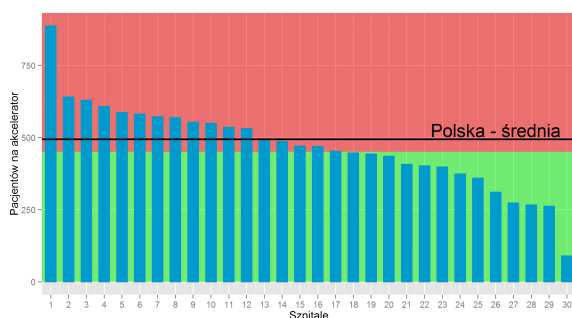
Źródło: opracowanie DAiS na podstawie danych NFZ oraz raportu nt. stanu radioterapii w Polsce (Gdańsk 2015).

Wykres 238: Liczba pacjentów przypadająca na jeden akcelerator w województwach (2014)



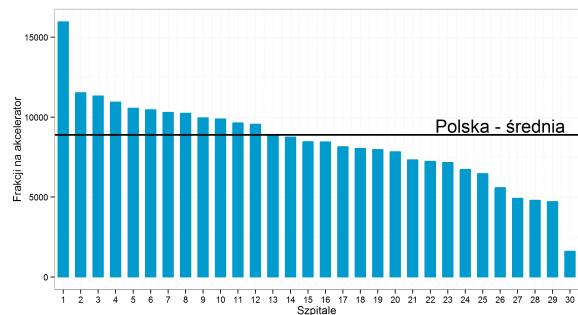
Źródło: opracowanie DAiS na podstawie raportu nt. stanu radioterapii w Polsce (Gdańsk 2015), NFZ oraz Banku Danych lokalnych GUS.

Wykres 239: Liczba pacjentów przypadających na akcelerator w szpitalach onkologicznych w Polsce (2014)



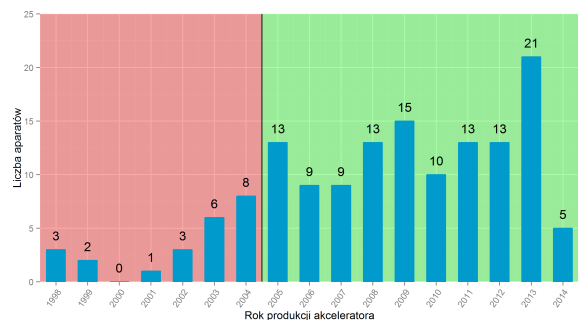
Źródło: opracowanie DAiS na podstawie danych NFZ oraz raportu nt. stanu radioterapii w Polsce (Gdańsk 2015).

Wykres 240: Szacunkowa liczba frakcji na pojedynczy akcelerator w szpitalach Polski (2014)



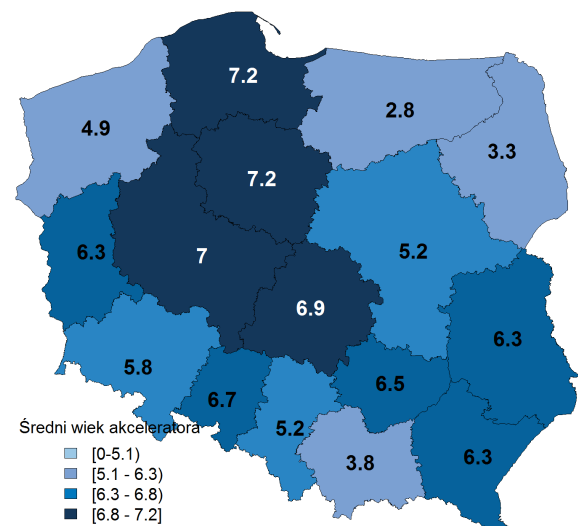
Źródło: opracowanie DAiS na podstawie danych NFZ oraz raportu nt. stanu radioterapii w Polsce (Gdańsk 2015).

Wykres 241: Liczba akceleratorów w Polsce w zależności od roku produkcji



Źródło: opracowanie DAiS na podstawie danych NFZ oraz raportu nt. stanu radioterapii w Polsce (Gdańsk 2015).

Wykres 242: Średni wiek akceleratorów w województwach Polski (2014)



Źródło: opracowanie DAiS na podstawie danych NFZ oraz raportu nt. stanu radioterapii w Polsce (Gdańsk 2015).

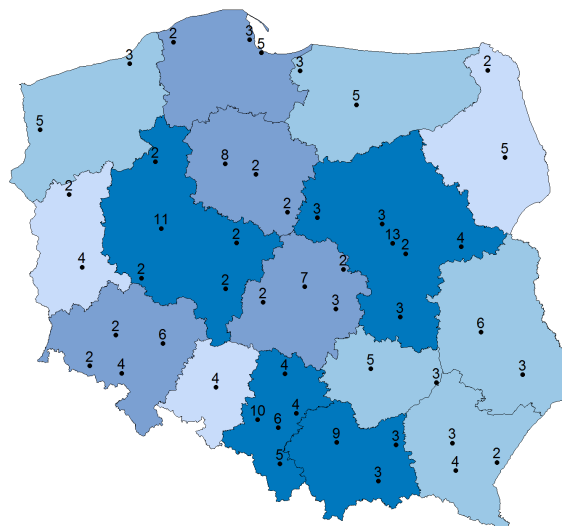
Wyniki modelu optymalizacyjnego

Tabela 23: Wyniki modelu optymalizacji zakupu i lokalizacji przyspieszaczy liniowych w Polsce na lata 2016-2025

Województwo	Miasto	Akceleratorów pod koniec 2015	Docelowa liczba akceleratorów w 2025 roku
dolnośląskie	Jelenia Góra	0	2
	Legnica	2	2
	Wałbrzych	3	4
kujawsko-pomorskie	Wrocław	6	6
	Bydgoszcz	8	8
	Toruń	0	2
lubelskie	Włocławek	0	2
	Biała Podlaska	0	2
	Lublin	6	8
lubuskie	Zamość	0	2
	Gorzów Wielkopolski	0	2
łódzkie	Zielona Góra	4	4
	Łódź	7	7
	Piotrków Trybunalski	0	0
	Sieradz	0	2
	Skiernewice	0	2
małopolskie	Tomaszów Mazowiecki	3	3
	Kraków	9	9
	Nowy Sącz	2	3
mazowieckie	Tarnów	3	3
	Wieliszew	3	4
	Otwock	2*	2
	Płock	0	2
	Radom	0	3
opolskie	Siedlca	0	2
	Warszawa	13	13
podkarpackie	Opole	3	4
	Brzozów	4	4
podlaskie	Rzeszów	3	4
	Tarnobrzeg	0	2
pomorskie	Białystok	4	5
	Suwałki	0	2
śląskie	Gdańsk	4	5
	Gdynia	3	3
	Słupsk	0	2
	Bielsko-Biała	4	5
	Częstochowa	2	4
świętokrzyskie	Dąbrowa Górnicza	2*	4
	Gilwice	10	10
warmińsko-mazurskie	Katowice	3+3*	6
	Kielce	4	4
wielkopolskie	Sandomierz	0	2
	Elbląg	3	3
	Olsztyn	3	5
	Kalisz	0	3
zachodniopomorskie	Konin	0	2
	Leszno	0	2
	Piła	0	2
	Poznań	10	10
zachodniopomorskie	Koszalin	3	3
	Szczecin	5	5

Źródło: opracowanie DAiS na podstawie bazy KRN, NFZ.

Wykres 243: Docelowa liczba przyspieszaczy liniowych w miastach Polski w 2025 roku wg modelu optymalizacji zakupu i lokalizacji przyspieszaczy liniowych w Polsce na lata 2016-2025



Źródło: opracowanie DAiS na podstawie bazy KRN, NFZ.